

595.336  
79 E

UNIVERSITATEA TEHNICA TIMISOARA  
FACULTATEA DE ELECTROTEHNICA

Teza de doctorat :

---

CERCETARI PRIVIND ECHIPAMENTE  
ELECTROTERMICE PENTRU TAIERI  
DE MATERIALE

---

CONDUCATOR STIINTIFIC

prof.dr.ing. Ioan Șora

DOCTORAND

ing. Alexandru P. Albu

BIBLIOTECA CENTRALĂ  
UNIVERSITATEA "POLITEHNICA"  
TIMIȘOARA

TIMIȘOARA

1994

Pentru inceput , as dori sa aduc multumiri dascalilor Universitatii Tehnice din Timisoara de la Facultatea de Electrotehnica, pentru formarea mea ca inginer (1969) si pentru sprijinul acordat ulterior , in pregatirea si elaborarea acestei lucrari de doctorat , in specialitatea Electrotehnologii , conducator stiintific prof. dr.ing. Ioan Sora .

As dori sa aduc multumiri Institutului de Sudura si Incercari de Materiale din Timisoara pentru sustinerea materiala in ultimii 20 de ani .

Ofer aceasta lucrare Universitatii Tehnice din Timisoara si Institutului de Sudura si Incercari de Materiale din Timisoara si o recomand spre consultare tuturor celor interesati in domeniul taierii de materiale prin procedee termice si electrotermice .

ing. Alexandru P. Albu

*Albu*

## INTRODUCERE

Lucrarea de fata prezinta un domeniu mai putin abordat in literatura tehnica indigena : taierea de materiale , in special prin procedee termice si electrotermice . Daca in domeniul sudarii materialelor exista un volum bogat de comunicari , in domeniul geaman, al taierei de materiale , preocuparile , in general au fost mai modeste, lucrarea de fata venind in intampinarea umplerii acestui gol informational .

Autorul prezinta unele aspecte ale echipamentelor de taiere termica , dupa o activitate de 20 de ani in domeniu , in cadrul Institutului de Sudura si Incercari de Materiale din Timisoara , in dorinta de a impartasi celor interesati, din experienta sa .

Cerinta deservirii complete a beneficiarilor potențiali , a condus la necesitatea situarii la jonctiunea mai multor domenii profesionale : fizica si chimia tehnologica a taierei , optica , mecanica, electronica, et c., intr-o conexiune functionala complexa, cu scop unic : livrarea unui echipament performant .

Sunt prezente cele 2 laturi ale taierei de materiale : aparatele de taiere si echipamentele de conturare .

Chiar si in conditiile existentei concurentiale a conturarii prin control numeric, in lucrare se prezinta conturarea prin urmarire optica . Indrazneala este motivata de saltul calitativ al realizarii unui cap optic rapid , precis , fara componente inertiale in miscare de rotatie , element de noutate pe plan european . La aceleasi performante de viteza si precizie cu ale comenzi numerice, pretul este de zeci de ori mai mic , iar fiabilitatea este de sute de ori mai mare .

Se apreciaza urmatoarele aspecte originale ale lucrarii :

- Rezolvarea problemei contactului electric la periile colectoare ale capului optic rotitor .
- Realizarea unor demodulatoare sincrone precise si fara transformatoare defazoare .
- Realizarea unor multiplicatoare de precizie in 4 cadrane, cu prelucrare simultana a 2 semnale analogice variabile independent .
- Realizarea unor variatoare de turatie specifice conturarii x,y, (reversibile si cu gama foarte larga de reglare a turatiei ), pentru mediu cu nivel ridicat de perturbatii ( oscilatorul pentru plasma ).
- Compensarea automata pe normala la contur , a fantei taieturii , utilizand un dispozitiv electronic (brevetat) , in locul dispozitivelor mecanice .
- Studiul distorsiunilor de compensare a fantei taieturii , la parcurgerea colturilor de contur .
- Studiul conexiunii intre compensarea prin rotatie si compensarea prin translatie .
- Prezentarea unei metode de calibrare a vernierului de compensare a fantei taieturii .
- Stabilirea incrementului de control pe axe x,y, ale masinilor de conturare prin sincronizare de pozitie .
- Marcarea automata in timpul urmaririi liniei desenate , prin utilizarea unui sistem diferential si a unor "marcheri" specifici .
- Studiul preciziei conturarii la masinile automate de taiere termica prin urmarire de desene la scara 1:1 si 1:10 .

- Stabilirea relatiei intre excentricitatea fotocelulei din capul optic si viteza maxima de avans .

- Elaborarea unor metode de depistare a cauzei generatoare de erori ale cotelor pieselor debitate , in scopul interventiei de corectie la fabricatie sau in exploatare .

- Introducerea " metodei urmaririi patratului etalon ", in scopul determinarii cauzei aparitiei unor erori de urmarire. Dupa aceasta analiza , s-a schimbat solutia constructiva , rezultand o scadere a erorii de urmarire din motive mecanice - geometrice .

- Analiza erorilor de urmarire din vina zonelor de insensibilitate a turatiei motoarelor de actionare  $m_x$ ,  $m_y$ ,  $m_z$  .

- Marirea eficacitatii optice prin utilizarea unui sistem specific de diafragme .

- Conceptia unui cap optic fara componente inertiale in miscare de rotatie , care , fata de capurile optice rotitoare utilizate pe plan european , ofera urmatoarele avantaje :

- de 100 de ori mai rapid
- de 6 ori mai precis
- de 100 de ori mai fiabil
- de 10 ori mai ieftin
- de 10 ori mai durabil
- de 10 ori mai economic (consum)
- fara inele si perii colectoare
- fara bec de iluminare
- fara stabilizator pentru bec
- fara motor electric
- fara variator de turatie
- fara rezolver bipolar rotativ
- fara roti dintate

- Stabilirea erorii de viteza si a erorii de pozitie din vina interpolarii liniare, la capul optic rapid nerotitor si concluzionarea realizarii unei erori foarte mici a pozitiei .

- Conceptia sistemului diferential de citire optica , in scopul reducerii perturbatiei derivei optice si termice asupra pozitiei fata de linia desenata .

- Conceptia unui dispozitiv electronic pentru "agatare" automata a liniei desenate si de oprire automata in cazul pierderii liniei desenate , in special in cazul capului optic rapid , nerotitor .

- Conceptia unei scheme electrice complete pentru un sistem de actionare in coordonate ("SAC"), utilizand un cap optic rapid ("COR"). Echipamentul a fost experimentat si multiplicat practic pentru o serie de masini automate de taiere termica , utilizand flacara oxigaz , plasma , laserul .

- Stabilirea unei metode de masurare a vitezei maxime de avans a capului optic rapid .

- Introducerea notiunii de " constantă de tesire a coltului , k<sub>tc</sub> ", pentru a caracteriza regimul cinamic specific parcurgerii coltului unei linii desenate .

- Prezentarea unor rezultate experimentale de conturare, utilizand echipamentul "COR-SAC70W" in concepție proprie .

- Stabilirea timpului maxim de franare , din conditia urmaririi colturilor liniei desenate cu viteza maxima .

## LISTA PRINCIPALELOR SIMBOLURI SI NOTATII UTILIZATE

### CAP. 1

qf	- cantitatea de caldura care trece prin unitatea de suprafață în unitatea de timp (MJ/mp.s)
Af	- aria orificiului diuzei (mp)
tf	- timpul de curgere a gazului prin diuza (s)
Qef	- contributia energetică (MJ/s)
Vg	- debitul volumic (mc/s)
Hf	- puterea calorica minima a gazului (MJ/mc)
mg	- contributia de gaz (l/mc)
kr	- factorul de reactie chimica (/)
Hf1	- puterea calorica minima a amestecului de gaze (MJ/mc)
vo	- viteza de curgere a flacarii oxigaz (m/s)
Kf	- energia primara a flacarii (MJ/mc)
Fn	- fanta taieturii, egală cu $2.f_n$ , (mm)
de	- diametrul echivalent de calcul al diuzei (mm)
da	- diametrul diuzei la intrarea gazului (mm)
db	- diametrul diuzei la ieșirea gazului (mm)
p	- presiunea oxigenului de taiere, a gazului plasmagen (Pa)
ps	- presiunea critica a oxigenului de taiere (Pa)
r	- raportul de consum (/)
I	- curentul în arcul de plasma (A)
Qg	- debitul de gaz plasmagen (l/min)
Qa	- debitul de apă (l/min)
hdp	- distanța diuza-piesă (mm)
α	- coeficientul de absorbție a radiatiei laser (/)
λ	- lungimea de undă a radiatiei laser (microni)
df	- distanța focală a lentilei (mm)
φf	- diametrul fasciculului laser în focar (mm)
Hf	- adâncimea focalizării laser (mm)
D1	- diametrul fasciculului laser natural (mm)
Klas	- eficacitatea taierei cu laser (/)
Wc	- energia cinetică de impact (J)
mp	- masa particulei (kg)
vp	- viteza particulei (m/s)
σ	- densitatea fluidului (kg/mc)

### CAP. 2

Ug	- tensiunea generată de oscilatorul pilot (V)
Ux	- tensiunea filtrată generată de demodul. sincron DSX (Vcc)
Uy	- tensiunea filtrată generată de demodul. sincron DSY (Vcc)
Ux'	- tensiunea nefiltrată generată de dem. sincron DSX (Vv-v)
Uy'	- tensiunea nefiltrată generată de dem. sincron DSY (Vv-v)
UT	- tensiunea constantă de 10 Vcc (Vcc)
Uvx	- tensiunea referință de viteză pentru variatoarele de turatie x și x' (Vcc)
Uvy	- tensiunea referință de viteză pentru variatoarele de turatie y și y' (Vcc)
Uex	- tensiunea de eroare de pozitie pentru variatorul de turatie x' (V)
Uey	- tensiunea de eroare de pozitie pentru variatorul de turatie y' (V)
Uez	- tensiunea de eroare de pozitie pentru variatorul de turatie z', rotire cap multiplu de taiere (V)

Ufx - tensiunea de compensare a fantei taieturii, pentru varia-  
torul de turatie x' (V)  
Ufy - tensiunea de compensare a fantei taieturii, pentru varia-  
torul de turatie y' (v)  
Urefx- tensiunea de insumare: Uvx+Uex+Ufx (V)  
Urefy- tensiunea de insumare: Uvy+Uey+Ufy (V)  
Upz - tensiunea purtatoarei pe axa z: sin i, cos i (V)  
Upxy - tensiunea purtatoarei pe axele x,y: sincro x-x', y-y' (V)  
kv - coeficientul de prescriere a vitezei de avans (0...1)  
kf - coeficientul de prescriere a fantei taieturii (0...1)  
vT - viteza tangentiala pe contur (m/min)  
vx - viteza de avans pe axa x (m/min)  
vy - viteza de avans pe axa y (m/min)  
fn - compensarea fantei taieturii pe normala la contur (mm)  
fx - compensarea fantei taieturii pe axa x' (mm)  
fy - compensarea fantei taieturii pe axa y' (mm)  
i - pozitia unghiulara a rezolverului capului optic (°)  
i' - pozitia unghiulara a rezolverului capului multiplu de taiere (°)  
d - (mo) modulul vectorului optic, sau excentricitatea foto-  
celulei pe tangenta la contur (mm)  
x - deplasarea pe axa x (mm)  
y - deplasarea pe axa y (mm)  
x' - deplasarea pe axa x' (mm)  
y' - deplasarea pe axa y' (mm)  
f - frecventa purtatoare generata de Pz si Pxy (Hz)  
t1 - timp de lipsa contact la peria colectoare (s)  
t2 - timp de existenta contact la peria colectoare (s)  
z1 - numarul de dinti la roata solidara cu tubul optic (/)  
z2 - numarul de dinti la roata solidara cu motorul mz (/)  
L - incrementul de control pe calea de rulare: 4.L' (mm)  
G1 - generator, oscilator pilot pentru alimentarea rezolverului din capul optic msz  
G2 - generator, oscilator pilot pentru alimentarea rezolverelor de sincronizare x-x', y-y'  
msz - rezolver din capul optic, pentru sin i si cos i  
msz1 - rezolver emisator din capul optic pentru sincronizare rotire sanfren  
msz' - rezolver receptor din capul multiplu de taiere pentru sincronizare rotire sanfren  
msx - rezolver emisator axa x, pentru sincronizare x-x'  
msx' - rezolver receptor axa x' pentru sincronizare x-x'  
msy - rezolver emisator axa y, pentru sincronizare y-y'  
msy' - rezolver receptor axa y' pentru sincronizare y-y'  
mz - motor pentru rotire cap optic, axa z  
mz' - motor pentru rotire cap multiplu de taiere, axa z'  
mx - motor pentru axa x  
mx' - motor pentru axa x'  
my - motor pentru axa y  
my' - motor pentru axa y'  
tx - tahogenerator pentru axa x  
tx' - tahogenerator pentru axa x'  
ty - tahogenerator pentru axa y  
ty' - tahogenerator pentru axa y'  
DSX - demodulator sincron pentru referinta de viteza axa x  
DSY - demodulator sincron pentru referinta de viteza axa y  
DSXX' - demodulator sincron pentru sincronizare x-x'  
DSYY' - demodulator sincron pentru sincronizare y-y'  
DSZZ' - demodulator sincron pentru sincronizare z-z'  
Pv - potentiometru pentru prescrierea vitezei de avans (kv)  
Pf - potentiometru pentru prescrierea fantei taieturii (kf)  
L - lampa pentru iluminare desen

M1 - multiplicator cu kf a fantei taieturii pe axa y'  
M2 - multiplicator cu kf a fantei taieturii pe axa x'  
M3 - multiplicator cu kv a vitezei de avans pe axe x,x'  
M4 - multiplicator cu kv a vitezei de avans pe axe y,y'  
FC - fotocelula  
FCO - fotocelula de lectura centrala  
FCD - fotocelula de lectura pe partea dreapta a liniei  
FCS - fotocelula de lectura pe partea stanga a liniei  
RED - reductor din capul optic  
I - inele colectoare din capul optic  
VAR.X - variator de turatie pentru axa x  
VAR.Y - variator de turatie pentru axa y  
VAR.x' - variator de turatie pentru axa x'  
VAR.y' - variator de turatie pentru axa y'  
VAR.Z - variator de turatie pentru axa z  
VAR.Z' - variator de turatie pentru axa z'  
Pz - formator de purtatoare pentru axa z (rotire cap optic)  
Pxy - formator de purtatoare pentru axe x,y (x-x',y-y')  
m - ax mecanic  
o - ax optic  
K - comutator pentru compensarea fantei taieturii +/-  
 $\Sigma$  - amplificator operational sumator  
PSX - pierdere sincronismului x-x'  
PSY - pierdere sincronismului y-y'  
PT - pierdere traectoriei  
KT - releu pentru pornire taiere  
KI - releu pentru pornire incalzire

### CAP. 3

ex - eroarea cotei pe axa x (mm)  
ey - eroarea cotei pe axa y (mm)  
ex' - eroarea de urmarire pe axa x (mm)  
ey' - eroarea de urmarire pe axa y (mm)  
j - eroarea unghiulara a capului optic ( $^{\circ}$ )  
fo - diametrul real al diafragmei fotocelulei (mm)  
fd - diametrul diafragmei fotocelulei, raportat la desen (mm)  
#U - abaterea tensiunii generate de traductorul optic (V)  
#Umax - excursia de la negru la alb a tensiunii generate de traductorul optic (V)  
#Ux - deriva zeroului tensiunii Ux generata de DSX (V)  
#Uy - deriva zeroului tensiunii Uy generata de DSY (V)  
#Uvx - deriva zeroului tensiunii Uvx generata de M3 (V)  
#Uvy - deriva zeroului tensiunii Uvy generata de M4 (V)  
#Uex - deriva zeroului tensiunii Uex generata de DSXX' (V)  
#Uey - deriva zeroului tensiunii Uey generata de DSYY' (V)  
q - abaterea unghiulara a pinionului pe cremalierele x',y' ale masinii ( $^{\circ}$ )  
s - scara de urmarire ideală (/)  
s1 - scara de urmarire reală (/)  
exo - eroarea la o tura a pinionului pe cremaliera (mm)  
j - jocul la reductoarele selsinelor msx', msy' (mm)  
p - unghiul intre ghidajele x,y, in plan orizontal ( $^{\circ}$ )  
m - unghiul intre ghidajul x si planul de lucru ( $^{\circ}$ )  
q' - unghiul de abatere al ghidajului vertical al apparatului de taiere ( $^{\circ}$ )  
s - sageata in plan orizontal a ghidajului longitudinal (mm)  
sa - sageata in plan orizontal a ghidajului transversal cu capul optic (mm)  
sb - sageata in plan orizontal a ghidajului transversal cu apparatul de taiere (mm)

- sc - sageata in plan vertical a ghidajului transversal cu capul optic (mm)  
sd - sageata in plan vertical a ghidajului transversal cu aparatul de taiere (mm)  
sai - sageata in plan orizontal a ghidajului transversal inferior cu capul optic (mm)  
sbi - sageata in plan orizontal a ghidajului transversal inferior cu aparatul de taiere (mm)  
a - bratul orizontal al capului optic (mm)  
b - bratul orizontal al aparatului de taiere (mm)  
c - bratul vertical al capului optic (mm)  
d - bratul vertical al aparatului de taiere (mm)  
e - bratul stang minim al riglei elastice (mm)  
f - bratul drept minim al riglei elastice (mm)  
g - inaltimea bratului stang al riglei elastice (mm)  
h - inaltimea bratului drept al riglei elastice (mm)  
v - distanta intre ghidajele transversale (mm)  
i - cursa verticala a aparatului de taiere (mm)  
b1 - bratul minor orizontal al aparatului de taiere (mm)  
b' - bratul orizontal de ghidare a aparatului de taiere (mm)  
e1 - bratul stang al grinzii transversale (mm)  
f1 - bratul drept al grinzii transversale (mm)  
E - modulul de elasticitate al riglei elastice (N/mp)  
Iz - momentul de incovoiere al riglei elastice (m<sup>4</sup>)  
F1 - forta elastica in rigla, in pozitia din stanga (N)  
F2 - forta elastica in rigla, in pozitia din dreapta (N)  
eo - eroarea cauzata de traductorul optic (mm)  
ex - eroarea cauzata de zona de insensib. a motorului mx (mm)  
ey - eroarea cauzata de zona de insensib. a motorului my (mm)  
ez - eroarea cauzata de zona de insensib. a motorului mz (mm)  
Ua - tensiunea generata de nivelul de alb (V)  
Ub - tensiunea generata de nivelul de negru (v)  
#Uo - tensiunea de decalaj a traductorului optic (V)  
#Ux - zona de insensibilitate a motorului mx (V)  
#Uy - zona de insensibilitate a motorului my (V)  
#Uz - zona de insensibilitate a motorului mz (V)  
x - axa mecanica transversala a masinii  
y - axa mecanica longitudinala a masinii  
xe - axa electrica transversala a rezolverului  
ye - axa electrica longitudinala a rezolverului

#### CAP. 4

- vT' - viteza tangentiala reala (m/min)  
vx' - viteza pe axa x, reala (m/min)  
vy' - viteza pe axa y, reala (m/min)  
#vx - eroarea de viteza pe axa x (m/min)  
#vy - eroarea de viteza pe axa y (m/min)  
#i - eroarea unghiulara a vectorului viteza tangentiala (°)  
e - eroarea de pozitie din vina interpolarii liniare (mm)  
tA - temporizarea la "agatarea liniei desenate" (s)  
tPT - temporizarea la "pierderea traectoriei" (s)  
PJ - "prag jos" la BE 555 (V)  
PS - "prag sus" la BE 555 (V)  
E - iluminarea (lx)  
I - intensitatea radianta (cd)  
r - distanta intre emitor si receptor (mm)  
Uoc - tensiunea de circuit deschis a fotodetectorului (mV)  
Isc - curentul de scurtcircuit al fotodetectorului (uA)  
Rs - rezistenta de sarcina (Ω)  
d1 - grosimea liniei desenate (mm)

d2 - imaginea grosimii liniei desenate (mm)  
d3 - diametrul fotodetectorului (mm)  
D1 - distanta obiectiv-desen (mm)  
D2 - distanta obiectiv-fotodetector (mm)  
do - diametrul diafragmei fotodetectorului (mm)  
 $\mu$  - eficacitatea traductorului optic (/)  
Ialb - curentul generat de fotodetector pe alb ( $\mu$ A)  
Inegrul - curentul generat de fotodetector pe negru ( $\mu$ A)  
Ualb - tensiunea generata de fotodetector pe alb (mV)  
Unegru - tensiunea generata de fotodetector pe negru (mV)

#### CAP. 5

v<sub>x</sub> - viteza de avans intrinseca a cap.optic pe axa x (mm/min)  
v<sub>y</sub> - viteza de avans intrinseca a cap.optic pe axa y (mm/min)  
x - deplasarea pe axa x (mm)  
y - deplasarea pe axa y (mm)  
t<sub>x</sub> - timpul necesar parcurgerii distantei x (s)  
t<sub>y</sub> - timpul necesar parcurgerii distantei y (s)  
U<sub>x</sub> - tensiunea generata de rezolverul optic pe axa x (V)  
U<sub>y</sub> - tensiunea generata de rezolverul optic pe axa y (V)  
U<sub>xd</sub> - tens.gen.de rezolv.optic pe axa x,in regim dinamic (V)  
U<sub>yd</sub> - tens.gen.de rezolv.optic pe axa y,in regim dinamic (V)  
U<sub>xs</sub> - tens.gen.de rezolv.optic pe axa x,in regim stationar (V)  
U<sub>ys</sub> - tens.gen.de rezolv.optic pe axa y,in regim stationar (V)  
T<sub>m</sub> - constanta de timp electromecanica (s)  
T<sub>e</sub> - constanta de timp electrica a capului optic (s)  
k<sub>ds</sub> - coeficientul dinamic al capului optic (/)  
ec - tesirea coltului de 90° (mm)  
k<sub>tc</sub> - constanta de tesire a coltului (s)  
P<sub>n</sub> - puterea nominala utila (W)  
M - cuplul motor (N.m)  
M<sub>n</sub> - cuplul nominal in regim stationar (N.m)  
M<sub>s</sub> - cuplul in regim stationar specific (N.m)  
M<sub>p</sub> - cuplul la pornire (N.m)  
M<sub>f</sub> - cuplul la franare (N.m)  
MR - cuplul static rezistent (N.m)  
M . imp - cuplul impulsional maxim admis (N.m)  
I<sub>A</sub> - curentul prin motor (A)  
I<sub>Ao</sub> - curentul la mers in gol (A)  
I<sub>An</sub> - curentul nominal in regim stationar (A)  
I<sub>As</sub> - curentul in regim stationar specific (A)  
I<sub>Ap</sub> - curentul la pornire (A)  
I <sub>Af</sub> - curentul la franare (A)  
IA. imp - curentul impulsional maxim admis (A)  
I<sub>circ</sub> - curentul de circulatie (A)  
U<sub>A</sub> - tensiunea la borne (V)  
U<sub>An</sub> - tensiunea la borne nominala, in regim stationar (V)  
U<sub>As</sub> - tensiunea la borne, in regim stationar specific (V)  
U<sub>A.max</sub> - tensiunea la borne maxima - la unghi de aprind.minim (V)  
U<sub>en</sub> - tensiunea de eroare de turatie (referinta de curent) (V)  
U<sub>ei</sub> - tensiunea de eroare de curent (V)  
U<sub>o-v</sub> - tensiunea pe suntul R (Vo-v)  
Utaho.x - tensiunea generata de tahogeneratorul tx (V)  
UD - tensiunea pe tiristor (v)  
Uef.trafo - tensiunea efectiva in secundarul transform. (V)  
EA - tensiunea electromotoare (V)  
n - turatie (rpm)  
nn - turatie nominala (rpm)  
ns - turatie in regim stationar specific (rpm)  
n.max - turatie maxima admisa (rpm)

$\Omega$  - viteza unghiulara (rad/s)  
 $\Omega_n$  - viteza unghiulara nominala (rad/s)  
 $\Omega_s$  - viteza unghiulara in regim stationar specific (rad/s)  
 $\Omega_o$  - viteza unghiulara in gol (rad/s)  
K - cuplul pe amper (N.m/A)  
TA - constanta de timp electrica a rotorului (s)  
Jm - momentul de inertie al motorului (kg.mp)  
Js - momentul de inertie al sarcinii (kg.mp)  
Js.max - momentul de inertie maxim al sarcinii (kg.mp)  
Jsurub - momentul de inertie al surubului cu bile (kg.mp)  
Jcuplaj - momentul de inertie al cuplajului (kg.mp)  
Jtranslatie - momentul de inertie de translatie (kg.mp)  
RA - rezistenta rotorului ( $\Omega$ )  
R - rezistenta suntelui ( $\Omega$ )  
LA - inductanta rotorului (H)  
L - inductanta de filtrare (H)  
Aio - amplificarea erorii in momentul zero (/)  
Ai - amplificarea erorii in regim stationar (/)  
 $\tau_{ir}$  - constanta de timp de filtrare, a reactiei de curent (s)  
 $\tau_i$  - constanta de timp a regulatorului de curent (s)  
tp - timpul de pornire (s)  
tf - timpul de franare (s)  
 $\sigma_c$  - suprareglarea pozitiei, la colt (mm)

## CAPITOLUL 1

TEHNOLOGII MODERNE DE TAIERE  
A MATERIALELOR IN SCOPUL  
CRESTERII CALITATII TAIETURII  
A PRODUCTIVITATII SI  
A ECONOMICITATII

### 1.1. Istorie si motivatie

Domeniul taierei termice a fost abordat de ISIM Timisoara (de fapt, sub denumirea initiala "CSIO") in 1973, prin demararea procedeelor de taiere : cu flacara oxigaz si cu plasma. In cei 20 de ani de activitate s-au realizat progrese permanente, fie in domeniul conceptiei aparatelor de taiere, fie in domeniul echipamentelor conexe responsabile de miscarea aparatelor de taiere in planul x,y (conturare).

Astfel, se noteaza aparattele de taiere oxigaz:

- ATOG-A, acetilena, table 3-300 mm
- ATOG-M, metan, table 3-300 mm
- ATOG-2A, acetilena, scurtat, table 3-300 mm
- ATOG-2M, metan, scurtat, table 3-300 mm
- ATOG-500, metan, table 300-500 mm
- ATOG-S, metan, pentru scobire (fisuri table)
- ATOG-F, metan, pentru flamare (destunderizare)
- ATOG-TB, metan, taiere blocuri turnate
- ITTPM, acetilena + pulberi metalice, oteluri aliate, et c.

De asemenea, se noteaza echipamentele de conturare:

- MATTOR-1, oxigaz, optic 1:10
- MATTOR-2, oxigaz, optic 1:10
- MATTO-G, oxigaz, optic 1:1
- MATTO-GI, oxigaz, optic 1:1
- MATTO-P, plasma, optic 1:1
- MATTO-GP, gaz + plasma, optic 1:1
- MINI-MATTO, oxigaz, optic 1:1
- MATTOM-G, oxigaz, optic 1:1 + magnetic
- MATTO-FV, oxigaz + plasma, optic 1:1
- MATT-P-CN, plasma, comanda numerica
- MATT-PG-CN, plasma + oxigaz, comanda numerica
- MATT-GL, oxigaz, benzi
- MATT-S, oxigaz, benzi
- MATT-B, oxigaz, benzi
- ICO-PL, laser, optic 1:1
- SMF, freza deget pentru sculptare lemn, optic 1:1, et c.

Cercetarile s-au concentrat la inceput asupra tehnologiei taierei, asupra fenomenelor fizico - chimice care au loc in procesul taierei termice, urmarindu-se realizarea unor apарате de taiere (oxigaz, plasma) care sa realizeze taieturi de calitate (rizuri si bavuri mici , fanta a taieturii mica), precise si cu productivitate mare (viteza de avans mare).

In continuare, in scopul oferirii unor servicii complete beneficiarilor, a aparut si necesitatea conceptiei si executiei unor echipamente responsabile de conducerea aparatului de taiere in planul x,y (al tablei care se supune procesului de debitare).

Aceasta conducere trebuie sa fie precisa, fara vibratii, si cu domeniu reglabil de prescriere a vitezei de avans, in functie de procesul fizico-chimic al taierei . In cazul contururilor de forma complexa , se pune conditia unei viteze tangentiale constante pentru un anumit regim tehnologic . Analiza cauzelor care genereaza erori ale pieselor taiate , precum si permanenta imbunatatire a solutiilor tehnice , a condus la incadrarea preciziei in prescriptiile normelor nationale si internationale.

Desi aceste echipamente de conturare au fost realizate ca o necesitate conexa a taierei oxigaz si cu plasma, pe parcursul anilor au aparut si solicitari ale unor beneficiari, pentru adaptarea echipamentelor de conturare la tajerea cu laser ("ICO-PL") si la sculptarea lemnului cu freza deget ("SMF") . De asemenea , aceste echipamente de conturare se pot adapta si in cazul altor aparate de tajere: cu jet de apa sub presiune , cu ultrasunete , et c.

Un caz deosebit il constituie tajerea cu fascicul laser . Tehnologia taierei cu fascicul laser permite precizie mare si viteza de avans mare, raportat la procedeul cu oxigaz si cu plasma. De aceea, in ultimii ani s-au realizat cercetari pentru conceperea unor echipamente de conturare mai performante : cap optic cu urmarire rapida si precisa, actionari x,y fara joc, et c.

## 1.2. Taierea termica oxigaz

Procedeul este denumit de unii utilizatori "taierea cu oxigen", sau "taierea cu flacara oxigaz".

Se aplica numai la debitarea otelurilor nealiate (cu continut de carbon sub 0,25 %), cu grosimea de 3 ... 2000 mm. In cazul otelurilor cu inclusiuni de carbon, se utilizeaza injectia de pulberi metalice, care prin ardere, elibereaza un surplus de energie termica.

Fanta taieturii are peretii paraleli, in cazul unui regim stabilit corect.

Regimul corect de taiere rezulta prin stabilirea unei corelari optime intre urmatorii parametri:

- grosimea tablei de debitat
- viteza de avans
- diametrul diuzei
- profilul ajutajului diuzei
- presiunea oxigenului de taiere
- presiunea oxigenului de incalzire
- presiunea gazului combustibil
- tipul gazului combustibil (metan, acetilena, propan, hidrogen, butan)

Scopul consta in realizarea unei taieturi fara rizuri, fara bavuri si cu fanta a taieturii cat mai redusa. Calitatea suprafetei taieturii se poate compara cu cea obtinuta prin prelucrari mecanice. Rugozitatea este de 16 ... 630 microni, comparabila cu rugozitatea rabotarii de exemplu, de 1 ... 250 microni.

### 1.2.1. Viteza de avans in functie de grosimea materialului

In principiu, viteza de avans descreste cu cresterea grosimii materialului, conform valorilor din tabelul 1.1.

Calitatea taieturii este foarte buna in domeniul grosimilor medii si mari (20 ... 305 mm), ceea ce recomanda utilizarea acestui procedeu de taiere inaintea procedeului de taiere cu plasma si cu laser. La grosimile mici (3 ... 5 mm), calitatea taieturii este slaba, manifestandu-se in special prin bavura mare.

Viteza de avans nu depaseste 0,8 metri / minut, deci echipamentul de conturare aferent nu pune probleme deosebite de dinamica.

Domeniu de grosimi de 3 ... 300 mm este cel utilizat in mod curent in constructiile metalice.

Tabelul 1.1.

Grosime (mm)	Viteza de avans (m/min.)
3,2	0,40 - 0,80
6,4	0,40 - 0,60
12,7	0,30 - 0,60
19,0	0,30 - 0,50
25,4	0,20 - 0,40
38,1	0,15 - 0,35
50,8	0,10 - 0,30
101,6	0,10 - 0,25
152,4	0,07 - 0,20
203,2	0,07 - 0,10
254,0	0,05 - 0,10
305,0	0,05 - 1,10

### 1.2.2. Intensitatea flacarii oxigaz

In cazul tacierii de otel cu flacara oxigaz, prin definitie, intensitatea flacarii "qf" reprezinta cantitatea de caldura care trece prin unitatea de suprafata in unitatea de timp:

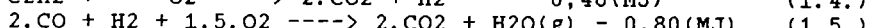
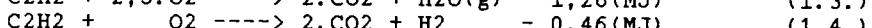
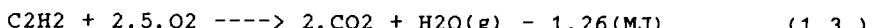
$$qf = Qf / Af \cdot tf \quad (\text{MJ/m.m.s}) \quad (1.1.)$$

Af este aria orificiului diuzei

tf este timpul de curgere a gazului prin diuza

$$Af = \pi \cdot (de^2 / 4) \quad (1.2.)$$

In cazul acetilenei utilizate ca gaz combustibil, reactiile chimice sunt :



Contributia energetica Qef (MJ/s) are expresia:

$$Qef = Vg \cdot Hf \cdot mg \cdot kr \quad (1.6.)$$

Vg este debitul volumic (m.m.m/s)

Hf este puterea calorica minima (MJ/m.m.m)

mg este contributia de gaz (l/m.m.m)

kr este factorul de reactie chimica

Puterea calorica minima Hf (7) are valorile :

Hf = 10,76 (MJ/m.m.m) la hidrogen

Hf = 56,94 (MJ/m.m.m) la acetilena

Hf = 108 (MJ/m.m.m) la popan si butan

Contributia de gaz mg are valorile :

mg = 0,74 (l/m.m.m) la hidrogen

mg = 0,47 (l/m.m.m) la acetilena

mg = 0,21 (l/m.m.m) la propan si butan

Puterea calorica minima a amestecului are valorile :

Hf1 = 7,96 (MJ/m.m.m) la hidrogen

Hf1 = 26,76 (MJ/m.m.m) la acetilena

Hf1 = 22,68 (MJ/m.m.m) la propan si butan

Produsul "Kf" = Hf.mg.kr se numeste "energie primara a flacarii si are valorile :

Kf = 6 (MJ/m.m.m) la hidrogen

Kf = 11 (MJ/m.m.m) la acetilena

Kf = 12 (MJ/m.m.m) la propan si butan

Conform (7) :

$$qf = Qef/Af = Vg \cdot Kf/Af \quad (\text{MJ/m.m.s}) \quad (1.7.)$$

iar :

$$vo = Vg/Af \quad (1.8.)$$

este " viteza de curgere a flacarii oxigaz " (m/s)

Rezulta deci :

$$qf = vo \cdot Kf \quad (1.9.)$$

Relatia pune in evidenta un aspect foarte important si anume ca intensitatea flacarii oxigaz qf este direct proportionala cu viteza de curgere a flacarii oxigaz vo . Fiecare gaz are Kf specific .

Tinand seama de acest aspect , se creeaza posibilitatea optimizarii diuzei. De exemplu, la ZIS Halle din Germania, in 1990 s-au stabilit pentru diuzele SK0, SK1, SK2, SK3, SK4, curbele care exprima relatia intre timpul de incalzire si presiunea amestecului pentru diferite grosimi de table  $s = 5, 16, 30 \text{ mm}$ , pentru diuze cu 8,10,12 fante. Curbele sunt prezentate in figurile 1.1. si 1.2. (7).

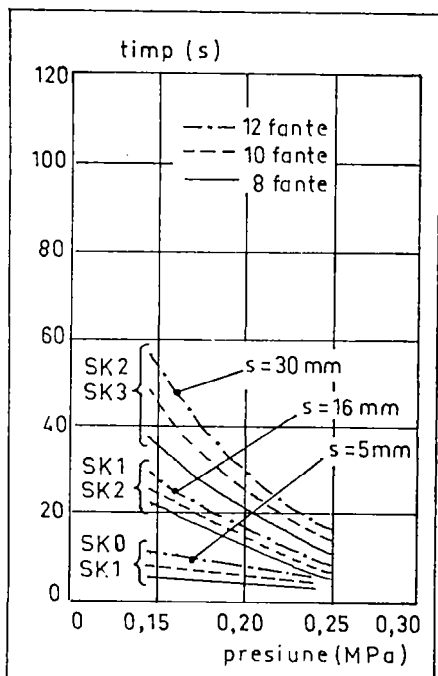


Fig. 1.1. Timpul de incalzire la diuzele: SK0, SK1  
SK2, SK3, cu  $\phi 8 \text{ mm}$

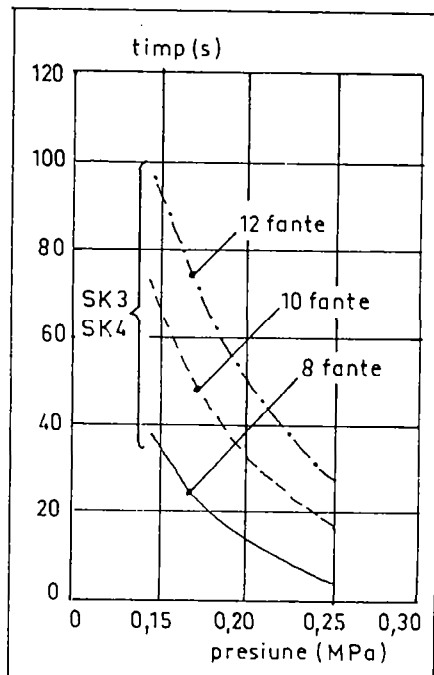


Fig. 1.2. Timpul de incalzire la diuzele: SK3, SK4 cu  $\phi 8 \text{ mm}$

### 1.2.3. Relatia intre fanta taieturii si diametrul diuzei

Relatia a fost stabilita si teoretic si experimental de R. Gunnert , in cadrul firmei AGA-Suedia (88):

$$F_n = 1,3 \cdot d_e \cdot (p/p_s) \quad (1.10.)$$

$F_n$  este fanta taieturii (mm)  
 $d_e$  este diametrul echivalent de calcul, al diuzei (mm)  
 $p$  este presiunea oxigenului de taiere (Pa)  
 $p_s$  este presiunea critica a oxigenului de taiere (Pa), (care conduce la o viteza de curgere egala cu viteza sunetului)

In figura 1.3. se evidenta marimile geometrice ale diuzei Fanta taieturii  $F_n$  , poate rezulta mai mica decat canalul diuzei de, daca presiunea oxigenului este mica in raport cu presiunea critica  $p_s$  .

Precum si epine de diametrele "da" si "db" si de forma canalului diuzei: cilindric, divergent et c.

Consumul de oxigen este minim, daca  $p = p_s$ . In acest caz :

$$F_n = 1,3 \cdot da \quad (1.11.)$$

In cazul canalului cilindric ( $da = db$ ) pentru scurgerea oxigenului cu viteza sunetului, se obtine :  $p = 190.000 \text{ Pa}$  (cca. 1,9 ata). Daca  $p$  este mai mare decat 190.000 Pa, viteza de curgere a oxigenului depaseste viteza sunetului.

In cazul in care diuza nu are forma cilindrica, in relatie (1.10.) se utilizeaza diametrul echivalent de calcul "de" :

$$de = db \cdot \sqrt{p / 190000} \quad (1.12.)$$

in care  $p$  se exprima in pascal (Pa). Pentru canalele divergente, in care  $p = 190.000 \text{ Pa}$ , rezulta  $de = db$  deci relatia pentru determinarea fantei taieturii  $F_n$ , devine :

$$F_n = 1,3 \cdot db \quad (1.13.)$$

#### 1.2.4. Diuze cu numar mare de fante

În 1990 firma "GCE-Rhona-Fulda" din Germania comunica realizarea unei geometrii noi la ajutajul amestecului de incalzire, conform figurii 1.4. (3).

In cazul unui numar mic de fante pentru iesirea amestecului de incalzire, nu se obtine o uniformitate a "cilindrului termic" care inconjoara jetul central al oxigenului de tare (cu presiunea  $m^r$ ). Acesta solutie a fost adoptata din considerente de reducere a prelucrarilor la executia diuzei.

Ideal ar fi un interstital inelar uniform si ingust, dar in acest caz, este dificila centrarea diuzei exterioare fata de diuza interioara. Excentrizarea ar conduce la regimuri termice diferite pentru diferite sensuri de avans ale apparatului de taiere in planul x,y (paralel cu planul tablei debitate). Solutia propune marirea numarului fanelor.

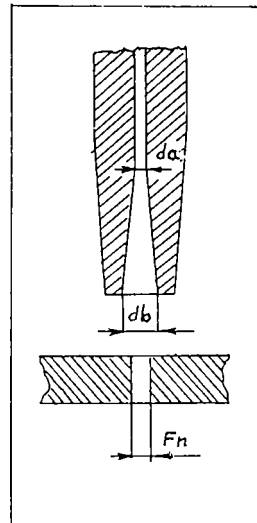


Fig. 1.3. Diametrul diuzei si fanta taieturii

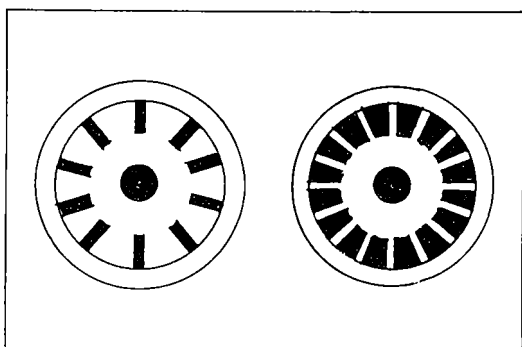


Fig. 1.4. Modernizarea diuzelor oxigaz, prin cresterea numarului de fante

### 1.2.5. Taierea cu presiune marita a oxigenului ("higher cutting speed") Diuza divergenta Laval

Acest-jul diuza gen' Laval , conform figurii 1.5., este mai dificil de realizat , dar ofera avantaje asupra productivitatii la taiere , datorita posibilitatii obtinerii unei viteze sporite de avans, cu 20-30%

Profilul special al canalului diuzei conduce la curgerea laminara a oxigenului de taiere , se elimina curgerea turbulentă . In acest caz, curgerea este silentioasa ( nu se aude acel suierat su arator ) si se creeaza posibilitatea măririi presiunii la o astfel de valoare (pana la 1 MPa), incat viteza de curgere a oxigenului atinge o valoare de 3 ori mai mare decat viteza sunetului.

Ceea ce este foarte important in acest caz este faptul ca nu este necesara marirea debitului oxigenului si nici a gazului combustibil (diuza este mai ingusta) . Deci rezulta economie de gaze pe metrul de taietura , tinand seama de faptul ca si viteza de avans este mai mare.

Firma GCE-Rhona-Fulda recomanda (3) pentru taierea tablelor cu grosimea sub 10 mm utilizarea aparatului de taiere normal, adica la o presiune a oxigenului de taiere sub 0,5 MPa (5 bari) , iar pentru taierea tablelor cu grosimea peste 100 mm se recomanda utilizarea aparatelor de taiere special construite pentru presiune mare de 1 MPa (10 bari).

Costul taierii la presiune marita este de cca. 100 DM/ora . Realizarea taierii la presiune marita este comunicata si de firma AGA-Suedia (135). Viteza de curgere a oxigenului de taiere este hipersonica ( 600 m/s ). Se realizeaza o economie a gazelor de pana la 30 % fata de taierea la presiune scazuta .

### 1.2.6. Puritatea oxigenului de taiere

In figura 1.6. este evideniat faptul ca prin utilizarea oxigenului impur , ( de obicei cu resturi de apa sau azot ), viteza de ardere scade mai mult decat proportional . Impuritati de 2 % conduc la scaderea vitezei de ardere cu 15 % . Notam ca practic, oxigenul contine sub 0,5 % impuritati .

In plus , prezenta impuritatilor conduce la cresterea rizurilor in taietura.

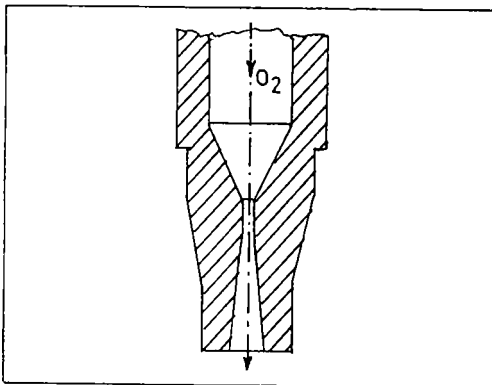


Fig. 1.5. Diuza Laval

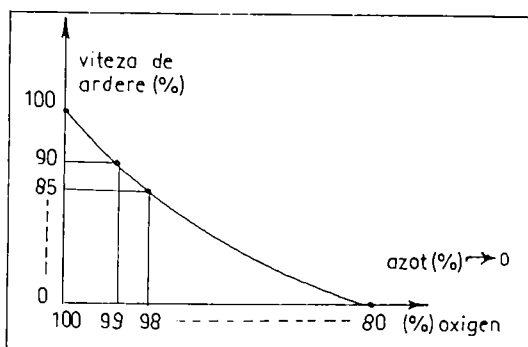


Fig.1.6. Viteza de ardere in functie de puritatea oxigenului

### 1.2.7. Alegerea gazului combustibil

Raportul de consum "r", definit ca debit oxigen / debit gaz combustibil, are valorile:

$r = 1,1 \dots 1,2$  in cazul acetilenei

$r = 2,0$  in cazul etilenei

$r = 4,5$  in cazul propanului

$r = 3,5$  in cazul tetraetanului

$r = 2,0 \dots 2,5$  in cazul gazului metan natural

Taierea cu metan este mai comoda, in sensul ca parametrii de taiere nu trebuie stabiliti foarte precis. In plus, pretul este mai scazut.

Taierea tablelor cu grosimi mari ( peste 300 mm ) motiveaza utilizarea propanului.

### 1.2.8. Inclinarea aparatului de taiere

I- (87) -- ----i-t-  
o metoda de marire a  
productivitatii, prin  
simpla inclinare a apa-  
ratului de taiere fata  
de sensul de avans ( fi-  
gura 1.7 ).

La taierea tablelor  
cu grosime sub 25 mm,  
prin inclinarea cu  $5 \dots 25^\circ$  se obtine o crestere  
a vitezei de avans si a  
productivitatii cu  $20^\circ$ .  
La grosimi mai mari nu  
se obtin efecte notabile.  
Calitatea tieturii insa  
este mai slaba ( rizuri  
mai mari ).

Bineintele, proce-  
deul se aplica numai la  
taierea in linie dreapta.

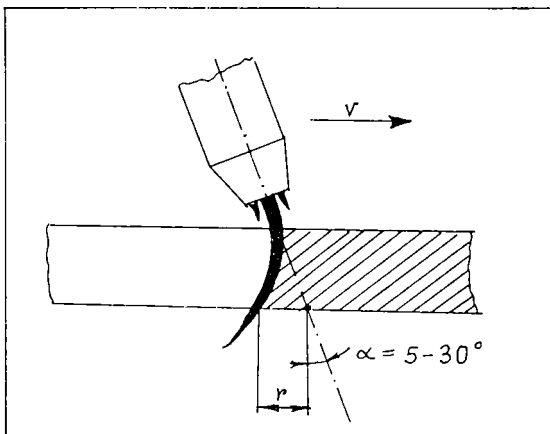


Fig. 1.7. Inclinarea aparatului de taiere oxigaz

### 1.2.9. Scurtarea timpului de strapungere prin sistemul " high - low "

In timpul strapungerii tablei, in faza initiala oxigenul de taiere este interupt. Aparatul de taiere lucreaza numai cu oxigenul de incalzire si cu gazul combustibil. Cu flacara rezultata din acest amestec se incalzeste tabla timp de  $1 \dots 2$  minute, a-  
poi se conecteza oxigenul de taiere care, datorita presiunii  
mai ridicate, produce o ardere mai intensa si expulzeaza "dopul"  
de metal incalzit. In timpul strapungerii sar stropi de metal  
topit si zgura, care de multe ori, infunda orificiile diuzei. In  
acest moment aparatul de taiere trebuie sa fie ridicat ("high")  
 $15$  mm. Imediat (dupa  $0,5 \dots 2$  secunde), simultan cu avansul  $x$ ,  
 $y$ , diuza este coborata din nou ("low") la distanta de  $3 \dots 6$  mm.

Sistemul necesita un servomecanism automat foarte rapid de  
coborare / ridicare a aparatului de taiere ( axa z ).

1.2.10. Regimuri tehnologice  
ale taierei termice oxigaz  
pentru grosimea de 2-250 mm

Regimurile tehnologice (23) sunt prezentate sintetic in tabelul 1.2., pentru otel cu maxim 0,25 % carbon :

Regimuri tehnologice, otel 2-250 mm

Tabelul 1.2.

Grosime de taiere (mm)	Viteza de avans (mm/min)	Presiune (MPa)	Fanta taieturii		
		Oxigen de taiere	Oxigen de incalzire	Gaz combust.	
2- 4	720	0,20	0,20	0,02	0,6-1,0
4- 6	680	0,35	0,25	0,03	
6- 8	680	0,40	0,25	0,03	1,2-1,6
8- 10	570	0,50	0,30	0,03	
10- 15	500	0,50	0,30	0,03	
15- 20	450	0,55	0,30	0,03	1,5-1,9
20- 25	400	0,60	0,30	0,03	
25- 30	350	0,60	0,30	0,03	2,0-2,4
30- 40	320	0,60	0,30	0,03	
40- 50	300	0,60	0,45	0,03	
50- 75	250	0,65	0,45	0,03	2,0-2,6
75-100	220	0,75	0,45	0,03	
100-125	160	0,75	0,45	0,05	2,6-3,0
125-200	140	0,75	0,50	0,05	4,0
200-250	120	0,75	0,50	0,05	6,0

(1 MPa = 10 bari)

Gazul combustibil poate sa fie : acetilena, propan, gaz natural (metan), gaz urban (butan).

Pentru fiecare tip de gaz combustibil exista diuze exterioare (de incalzire) specifice :

- acetilena - A : 500, 501, 502
- propan - P : 521, 522
- butan - L : 541, 542
- metan - M : 561, 562

De asemenea, difera si diuzele interioare (de taiere) :

- acetilena - A : 000, 001, 002, 003, 004, 005, 006, 007
- propan - PLM : 020, 021, 022, 023, 024, 025, 026, 027
- butan - PLM : ----- idem -----
- metan - PLM : ----- idem -----

**1.2.11. Consumurile de gaze  
la taierea termica oxigaz  
pentru grosimea de 2-250 mm**

Aceste consumuri de gaze (23) sunt prezentate sintetic in  
tabelele 1.3. si 1.4., in Nmc/ora :

**Consum de oxigen, otel 2-250 mm**

**Tabelul 1.3.**

Grosime (mm)	Oxigen de taiere (Nmc/ora)				Oxigen de incalzire (Nmc/ora)			
	*	A	P	L	M	A	P	L
2- 4	0,83	0,30	0,30	0,30	0,22	0,29	0,42	0,43
4- 6	1,23	1,23	1,23	1,23	0,22	0,58	0,83	0,84
6- 8	1,34	1,34	1,34	1,34	0,30	0,78	0,89	0,96
8- 10	1,61	1,61	1,61	1,61	0,30	0,78	0,89	1,02
10- 15	2,86	2,86	2,86	2,86	0,30	0,96	1,02	1,02
15- 20	3,06	3,06	3,06	3,06	0,36	0,96	1,02	1,02
20- 25	3,60	3,60	3,60	3,60	0,36	1,32	1,08	1,14
25- 30	3,60	3,60	3,60	3,60	0,42	1,32	1,08	1,14
30- 40	3,60	3,60	3,60	3,60	0,42	1,32	1,08	1,20
40- 50	4,81	4,81	4,81	4,81	0,42	1,44	1,27	1,27
50- 75	5,58	5,58	5,58	5,58	0,42	1,75	1,27	1,33
75-100	9,25	9,25	9,25	9,25	0,73	1,96	1,27	1,33
100-125	9,25	9,25	9,25	9,25	0,73	2,06	1,39	0,78
125-200	17,18	17,18	17,18	17,18	0,84	2,64	1,84	1,83
200-250	26,42	26,42	26,42	26,42	1,02	3,12	2,05	2,29

**Consum de gaz combust.**

**otel 2-250 mm**

**Tabelul 1.4.**

Grosime (mm)	Gaz combustibil (Nmc/ora)				
	*	A	P	L	M
2- 4	0,26	0,14	0,77	0,17	
4- 6	0,28	0,23	1,50	0,31	
6- 8	0,34	0,96	1,56	0,36	
8- 10	0,34	0,27	1,56	0,42	
10- 15	0,34	0,34	1,70	0,46	
15- 20	0,39	0,34	1,70	0,46	
20- 25	0,39	0,47	1,83	0,48	
25- 30	0,45	0,47	1,83	0,48	
A - taiere cu acetilena	30- 40	0,45	0,47	1,83	0,48
P - taiere cu propan	40- 50	0,45	0,61	1,97	0,49
L - taiere cu butan	50- 75	0,45	0,68	1,97	0,49
M - taiere cu metan	75-100	0,78	0,77	1,97	0,49
	100-125	0,78	0,87	2,92	0,49
	125-200	0,90	1,03	3,21	0,47
	200-250	1,08	1,20	3,21	1,08

### 1.2.12. Taierea termica oxigaz prin injectie de

pulberi metalice

#### Taierea otelurilor cu grosime foarte mare

Pentru taierea cu oxigaz, materialele trebuie sa indeplineasca urmatoarele conditii :

- temperatura de aprindere sa fie mai mica decat temperatura de topire a materialului .
- temperatura de topire a oxizilor materialului sa fie mai mica decat temperatura de topire a materialului .
- caldura dezvoltata de ardere sa fie mare .
- conductibilitatea termica sa fie cat mai mica.

Aceste conditii sunt indeplinite de otelurile carbon si slab aliate (cu continut de carbon sub 0,25 %). In mod normal, nu se poate taja otelul inalt aliat, cuprul si aluminiul , decat daca in flacara oxigaz se injecteaza pulbere de fier. Aceasta conduce la cresterea temperaturii de reactie peste temperatura de topire a oxizilor greu fuzibili (oxidul de cupru, oxidul de aluminiu, oxidul de crom, et c.). Procedeul se aplică și la taierea otelului cu grosimi foarte mari, pana la 2 metri, la rețezarea capetelor blocurilor turilate (in metalurgie) . In figurile 1.8. și 1.9. este ilustrat acest fapt.

In figura 1.10. este prezentat un aparat de taiere oxigaz cu injectie de pulberi metalice tip "AC.4", realizat de firma Messer Griesheim (68) . Materialele care se pot taja sunt urmatoarele :

- otel aliat: max. 300 mm
- cupru: max. 15 mm
- aluminiu: max. 100 mm



Fig. 1.8. Aparat de taiere "HHC" BOC Anglia pentru grosime 1,5m

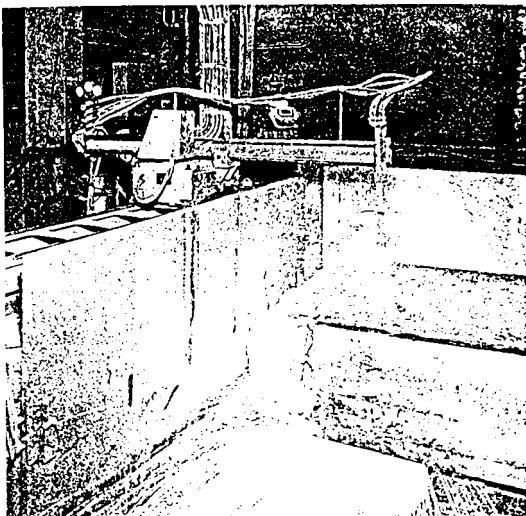


Fig. 1.9. Aparat de taiere "BSE.2" Messer Griesheim, pt.1,2m

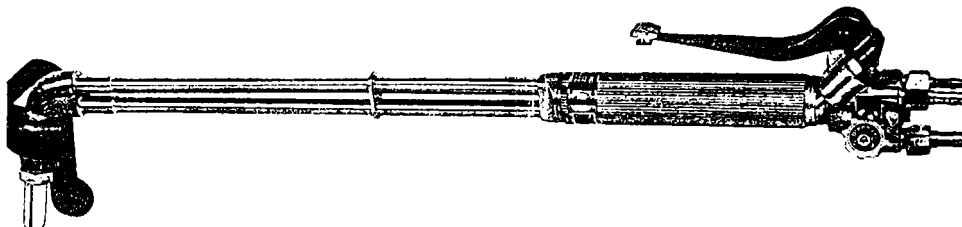


Fig. 1.10. Aparat de taiere oxigaz, cu injectie de pulberi metalice, tip "AC. 4"

Pulberea metalica este injectata prin antrenare cu aer comprimat la presiunea de 0,15 MPa .

In tabelul 1.5. sunt prezentate regimurile tehnologice de taiere, iar in tabelul 1.6. sunt prezentate consumurile de gaze si de pulbere metalica .

Regimuri de taiere ("AC. 4")

Tabelul 1.5.

Grosime	Viteza de avans (mm)	Fanta taiturii (mm/min)	Presiune gaze (MPa)	Oxigen	Acetilena	Propan	Metan
5- 10	800-500	3,5		0,35	0,05	0,01	0,03
10- 25	440-360	4,5		0,35	0,05	0,01	0,03
25- 40	320-230	6,0		0,40	0,05	0,01	0,03
40- 60	190-140	8,0		0,40	0,05	0,03	0,05
60-100	120-100	9,0		0,40	0,05	0,03	0,05
100-200	80- 70	12,0		0,50	0,05	0,03	0,05
200-300	60- 40	17,0		0,60	0,05	0,03	0,05

(1 MPa = 10 bari)

Consumuri ("AC. 4")

Tabelul 1.6.

Grosime	Consum pe ora	oxigen (Nmc/ora)	acetilena (Nmc/ora)	propan (Nmc/ora)	metan (Nmc/ora)	pulbere (kg/ora)
5- 10	2,5- 3-2	0,50	0,30	0,90	6- 8	
10- 25	4,7- 5,5	0,60	0,36	1,08	6- 8	
25- 40	8,7- 9,7	0,75	0,45	1,35	6- 8	
40- 60	13,0-14,3	1,00	0,60	1,80	8-10	
60-100	20,0-21,6	1,20	0,72	2,16	8-10	
100-200	29,0-30,8	1,40	0,77	2,50	10-12	
200-300	40,0-42,4	1,80	1,08	3,25	12-15	

Aparatul de taiere termica oxigaz tip "PRESTOCUT 1200", realizat de firma Messer Griesheim (100) se poate utiliza in 2 regimuri: cu pulbere metalica si fara pulbere metalica, prin schimbarea diuzelor. Grosimea otelurilor debitata este de 50 ... 1200 mm . Gazul combustibil poate sa fie: propan, butan, sau metan .

In tabelul 1.7. sunt prezentate regimurile tehnologice de taiere, iar in tabelul 1.8 . sunt prezentate consumurile de gaze si de pulbere metalica .

Regimuri de taiere ("PRESTOCUT 1200")

Tabelul 1.7.

Grosime Viteza Fanta piesa avans taiere			Presiune gaze (MPa)				
	Oxigen taiere (mm)	Oxigen incalz. (mm)	Propan	Butan	Metan		
50-	360-	5-	0,30-	0,08-	0,01-	0,02-	0,02-
- 300	- 150	- 10	- 0,8	- 0,10	- 0,02	- 0,07	- 0,03
300-	150-	8-	0,65-	0,08-	0,01-	0,06-	0,03-
- 600	- 60	- 15	- 1,0	- 0,10	- 0,02	- 0,10	- 0,05
600-	60-	13-	0,65-	0,10-	0,02-	0,08-	0,05-
- 900	- 55	- 19	- 1,0	- 0,15	- 0,03	- 0,12	- 0,07
900-	55-	14-	0,75-	0,15-	0,03-	0,12-	0,07-
- 1200	- 40	- 34	- 1,0	- 0,20	- 0,05	- 0,18	- 0,10

(1 MPa = 10 bari)

Consumuri ("PRESTOCUT 1200")

Tabelul 1.8 .

Grosime		Consum pe ora				
	Oxigen taiere (mm)	Oxigen incalz.	Propan	Butan	Metan	Pulbere (kg/ora)
50- 300	16- 60	5- 7	4- 8	10- 20	6-10	6-15
300- 600	60-120	7-10	4- 8	20- 40	10-16	20-25
600- 900	120-180	10-15	6-13	40- 70	16-35	25-30
900-1200	180-240	15-20	13-20	70-110	35-50	25-30

Pentru taierea otelurilor cu grosime foarte mare se pot nota aparatele de taiere :

- " BSE 3K " ( firma BOC Anglia ), pentru grosime de 2 metri , viteza de avans 20 - 500 mm/minut .
- " PRESTOCUT GIGANT " ( firma Messer Griesheim Germania ), pentru grosime de 2 metri .
- " HHC " (firma BOC Anglia ), pentru grosime de 1,5 metri , variantele : standard , scurt si racit cu apa , viteza de avans 25-250 mm/minut .

### 1.2.13. Taierea tevilor cu flacara oxigaz

Taierea se executa in scopul imbinarii ulterioare prin sudura. Problema este dificila, din cauza ca, pe langa deplasarea in spatiu cu viteza constanta pe contur, mai este necesara si rotirea inclinarii aparatului de taiere in scopul sanfrenarii variabile pe contur.

In figura 1.11. sunt prezentate cateva exemple de tevi taiate in sanfren.

Curba comună a intersecției de suprafețe este prescrisa fie prin comanda numerică (de obicei în 6 axe), fie prin elemente mecanice (roti, came, culise, parghii, et c.), actionate toate de un singur motor electric.

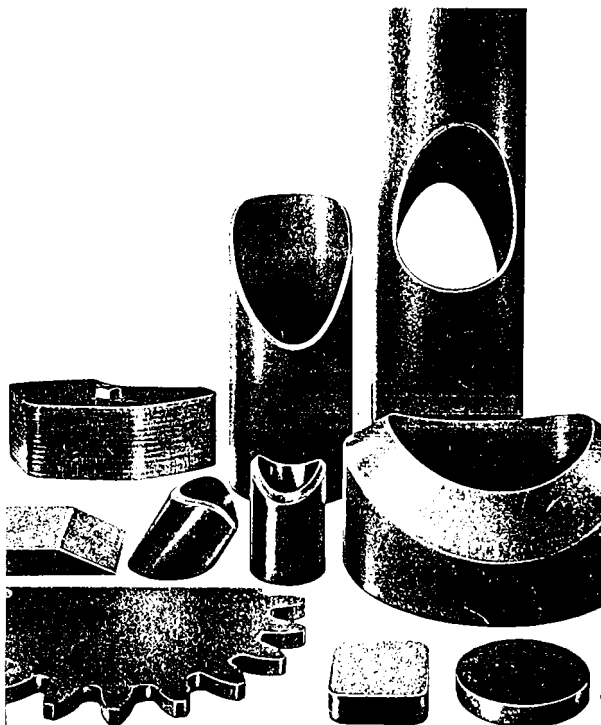


Fig. 1.11. Tevi taiate in sanfren

### 1.3. Taierea cu plasma

Taierea cu plasma se aplica la oteluri nealiate si aliate , cupru , aluminiu , in general , la metale cu grosime de 0,7 ... 50 mm . Domeniul se poate extinde pana la 160 mm , la un curent de 1000 A (125) , cu motivatie economica mai redusa .

Spre deosebire de taierea oxigaz , unde efectul termic rezulta din oxidare , in cazul plasmei ,taierea se executa prin topire .

Există, in general , urmatoarele aparate de taiere cu plasma ( "generatoare de plasma" ) :

a) Aparate de taiere cu 2 gaze : un gaz genereaza plasma , celalalt concentreaza jetul de plasma si realizeaza protectia fata de atmosfera ambianta . Se utilizeaza combinatii : hidrogen / argon , azot / argon, azot / bioxid de carbon, argon / argon, azot / oxigen, azot / hidrogen, et c.

b) Aparate de taiere " plasma-aer " : se utilizeaza un singur gaz , aerul , insa electrodul trebuie executat din zirconiu. Se noteaza generarea de noxe si se recomanda taierea sub apa .

c) Aparatele de taiere cu injectie de apa : pe langa cele 2 gaze , se injecteaza apa , care , prin disociere si eliberare de hidrogen , contribuie la cresterea aportului energetic .

Fanta taieturii , de obicei , are forma de " V " (nu are pereti paraleli) . Inclinarea este mai mare de 2 - 3 ° . In cazul turbionarii , cei doi pereti au inclinari diferite , in functie de sensul turbionarii : 7° si 2° .

#### 1.3.1. Regimuri de taiere cu plasma

In tabelul 1.9 . se prezinta taierea otelului nealiat , a otelului aliat si a aluminiului (125) .

Parametrii regimului de taiere cu plasma variaza considerabil, in functie de echipamentul cu care se lucreaza , de material , de calitatea solicitata , de productivitatea propusa , de tipul gazelor utilizate, de curentul electric al arcului, de grosimea materialului , de diametrul diuzei , et c.

Astfel, in (142) se prezinta regimuri de taiere si consumuri de gaze , pentru cateva echipamente de taiere cu plasma , conform tabelului 1.10 .

Material	Grosime (mm)	Viteza de avans (m/min)
Otel nealiat	6	5,0
	13	2,5
	25	1,2
	50	0,6
Otel aliat	6	5,0
	13	2,5
	25	1,2
	50	0,5
	100	0,2
Aluminiu	6	7,5
	13	5,0
	25	2,2
	50	0,5
	100	0,3

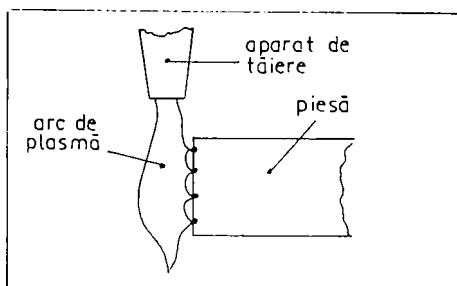
**Regimuri de taiere cu plasma ale unor echipamente**

**Tabelul 1.10.**

Echip.	Grosime tabla (mm)	Viteza avans (mm/min)	Curent in arc (A)	Putere in arc (kW)	Debit gaze (Nm <sup>3</sup> /ora)	Ar	H <sub>2</sub>	N <sub>2</sub>
"PA-20-2"	5	7.000	150	30	1,1	0,8	-	-
Mansfeld	15	1.800	150	30	1,1	0,8	-	-
Germania	20	1.300	150	30	1,1	0,8	-	-
	30	700	150	30	1,1	0,8	-	-
	40	500	150	30	1,1	0,8	-	-
	50	300	150	30	1,1	0,8	-	-
	60	200	160	29,7	1,1	0,8	-	-
"PCR-50Y"	6,25	4.430	80	12	-	-	0,6	-
BOC	12,5	3.080	80	12	-	-	1,2	-
Anglia	25	1.510	150	46,5	-	0,6	0,8	-
	51	630	225	69,7	-	0,6	0,8	-
	76	400	350	84	2,7	0,8	-	-
	102	200	500	120	2,7	0,8	-	-
"UPR-601"	4-10	4.200	500	42,5	2,5	2	-	-
Rusia	20	2.200	600	60	3	2,5	-	-
	30	1.500	650	71,5	3	3	-	-
	40	850	700	84	3	3	-	-
	60	500	700	94,5	3,5	3,5	-	-
	80	400	700	98	3,5	3,5	-	-
	100	300	700	101,5	4	3,5	-	-
	120	200	700	108,5	4	3,5	-	-
	160	100	700	115,5	4	4	-	-

**1.3.2. Taierea cu plasma de azot si injectie de apa**

In timpul tarii cu arc de plasma, conform figurii 1.12., nu exista contact intamplator intre jetul de plasma si piesa, ci in cateva puncte de contact. In punctul de contact curentul are valoare maxima(de scurtcircuit). Din cauza aceasta temperatura este maxima, conducand imediat la topirea punctului de contact si intreruperea curentului. Faza este data cu o frecventa de cca.1000 de scurtcircuite pe secunda, avand si efectul sonor de fluierat. Aceste intreruperi, corelate cu avansul (mai ales in cazul avansului rapid), conduc la striuri in taietura, care sunt mai mari decat in cazul tarii cu flacara oxigaz .



**Fig. 1.12. Contactul intre arcul de plasma si piesa in timpul tarii**

Remedierea , in cazul plasmei, se face prin taierea sub apa si prin rotirea jetului de plasma ( figura 1.13. ). Gazul (azot) se roteste in acelasi sens cu apa, conform figurii 1.14.

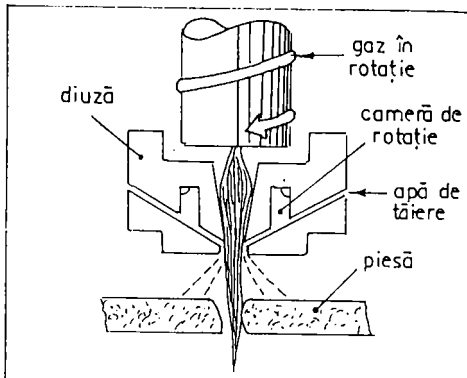


Fig. 1.13. Rotirea jetului de plasma

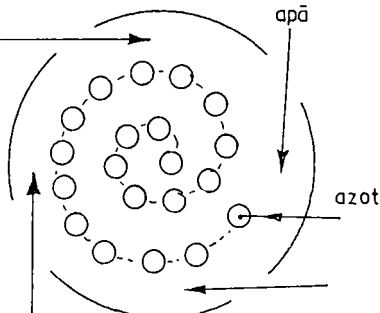


Fig. 1.14. Rotirea gazului si rotirea apei

Fanta astăzi este ne-simetrica , din cauza rotirii ( turbinarii ) gazului, conform figurii 1.15.

Variabilele procesului :

- distanta diuza-piesa
  - intensitatea curentului
  - viteza de avans
- Parametrii care afecteaza calitatea taieturii sunt :
- tipul gazului
  - debitul gazului
  - presiunea gazului
  - temperatura apei de racire
  - debitul apei de taiere
  - tensiunea arcului
  - materialul piesei debitat

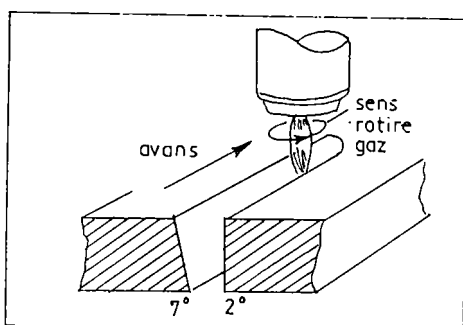


Fig. 1.15. Asimetria fantei taieturii, in cazul rotiri gazului

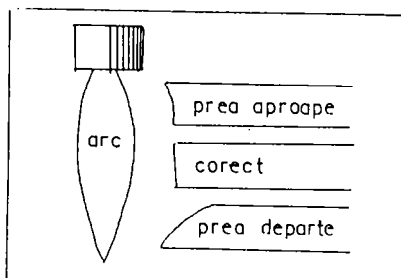


Fig. 1.16. Influenta distantei diuza - piesa

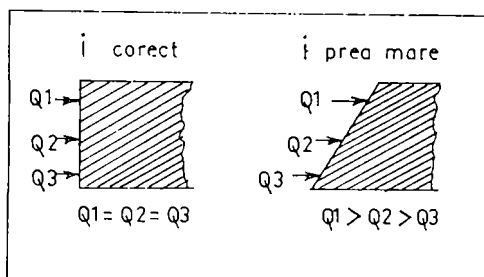


Fig. 1.17. Influenta curentului electric in arc

In figura 1.16. este evidențiată influența distantei diuza - piesa debitată . Un curent electric în arc , prea mare , conduce la taietura în V , conform figurii 1.17.

Se notează că în cazul taieriei sub apă, azotul nu trebuie să fie pur, în schimb, apa de taiere trebuie să fie demineralizată, având rezistivitatea de minim 34 kohmi/cm<sup>2</sup>/cm .

Daca apa de taiere are rezistivitatea mai mica, rezulta bavura la taiere , in schimb , daca rezistivitatea apei de taiere este mare , intre coloana de plasma si piesa exista un film izolant de jur-imprejur, care favorizeaza stabilitatea arcului . Debitul apei de taiere este de 1,5 litri / minut .

Viteza de avans prea mare conduce la scaderea bavurii , dar aceasta este sudata de piesa si se indeparteaza foarte greu, iar fanta taieturii este in V simetric .

Viteza de avans prea mica , conduce la bavura mare, dar ne-sudata si se indeparteza usor , iar fanta taieturii are peretii paraleli, dar inclinati fata de normala la tabla . Practic , viteza de avans este de 600 ... 6.000 mm/minut si curentul de plasma 150 ... 750 A (12) .

In cazul taierii sub apa , nu exista noxe industriale si nu mai este necesara instalatia de exhaustare .

In 1989 firma " L-TEC " comunica (12) parametrii de taiere prezentati in tabelul 1.11.

Taierea cu injectie de apa

Tabelul 1.11.

Parametrii regimului tehnologic	Grosime tabla (mm)	Viteza de avans (mm/min)		
		OLC	INOX	AL
de = 3,2 mm	0,7	6.000	6.000	6.000
I = 250 A	1,5	6.000	6.000	6.000
Qg = 50 l/min	3,0	6.000	6.000	6.000
Qa = 1,4 l/min	5,0	4.500	4.700	5.000
p = 0,3 MPa	6,5	2.800	3.000	4.000
hdp = 6,3 mm	9,5	2.000	2.500	2.800
de = 4,0 mm	1,5	6.000	6.000	6.000
I = 400 A	3,0	6.000	6.000	6.000
Qg = 66 l/min	5,0	6.000	6.000	6.000
Qa = 1,6 l/min	6,5	3.500	3.600	4.000
p = 0,35 MPa	9,5	3.000	3.100	3.800
hdp = 9,5 mm	13,0	2.500	2.600	2.800
	19,0	1.400	1.600	2.500
	25,0	900	1.100	1.400
de = 5,0 mm	13,0	3.000	3.100	4.000
I = 600 A	19,0	1.700	1.800	2.500
Qg = 70 l/min	25,0	1.400	1.500	1.900
Qa = 1,7 l/min	30,0	700	800	1.000
p = 0,4 MPa	50,0	400	500	800
hdp = 13 mm				
de = 6,1 mm	19,0	1.800	2.000	NU
I = 750 A	25,0	1.600	1.700	NU
Qg = 78 l/min	30,0	800	1.000	NU
Qa = 1,8 l/min	50,0	600	700	1.000
p = 0,5 MPa	35,0	250	300	600
hdp = 15 mm				

de -diametru diuza Qg -debit de gaz p -presiune gaz  
I -current in arc Qa -debit de apa hdp -distanta diuza-piesa

Procesul de taiere sub apa , cu plasma, introdus de firma L-TEC la Santierul Dubigeon din Nantes , Franta , a condus la efecte economice in 1988, in cazul tablelor cu grosimea de 5 ... 8 mm , astfel : scaderea costului de la 5 FF la 1,5 FF pe un metru de taietura , fata de taierea oxigaz .

In plus , se noteaza scaderea zgomotului de la 110 dB la 82 dB, prin trecerea de la taierea cu plasma in aer la taierea cu plasma sub apa (13) .

Firma "ESAB" Suedia (24) prezinta dependenta vitezei de avans de grosimea tablei de debitat, conform figurii 1.18. , utilizand instalatia de taiere sub apa " Hypertherm " montata pe masini de conturare cu comanda numerica tip :" Telerelex TXB ", " Numorex NXB ", " Suprarex SXD ". Utilizand surse de curent cu DA = 100 % , se pot tai grosimile de tabla :

- 25 mm cu I = 400 A ( cu 65 % argon + 35 % apa )
- 60 mm cu I = 600 A
- 75 mm cu I = 800 A
- 150 mm cu I = 1000 A

Asocierea apei la taierea cu plasma conduce la cresterea temperaturii in coloana arcului pana la + 50.000 °C , datorita energiei termice suplimentare produsa de hidrogenul rezultat prin disocierea apei .

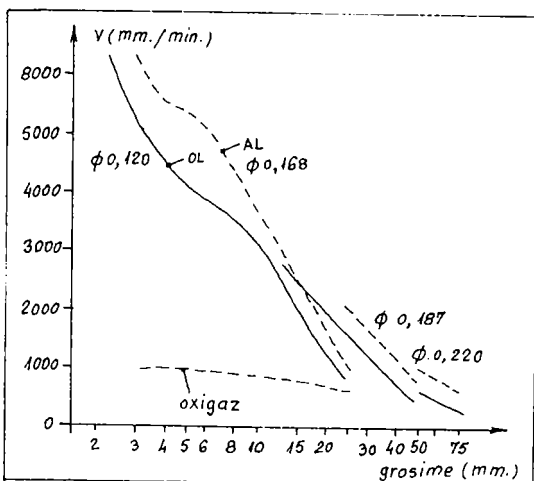


Fig. 1.18. Viteza de avans in functie de grosimea tablei, la taierea cu plasma sub apa

### 1.3.3. Taierea cu plasma de aer

In acest caz , electrodul (catod) nu se executa din wolfram din cauza proprietatiilor sale de a se oxida foarte intens , daca temperatura depaseste 1000°K . In acest caz, se executa din zirconiu . Zirconiul nu se poate utiliza in curent alternativ, pentru ca stratul de oxid protector se distrug la alternanta inversa ( plusul pe electrod), de aceea nu se poate utiliza la taierea aluminiului. De asemenea, zirconiul nu se poate utiliza in mediul de hidrogen (mediu reducator) si la taierea cu injectie de apa . In (143) se apreciaza domeniul de parametri :

- grosime otel debitat : 0,3 ... 20 mm
- curent maxim : 80 A
- viteza de avans : 0,5 ... 6 m/min

#### 1.3.4. Taierea cu plasma de azot si injectie de oxigen

Gazul plasmagen este azotul, iar in jurul jetului de plasma se injecteaza un jet cilindric de oxigen. Acesta produce la jonctiunea cu arcul de plasma un surplus de temperatura prin oxidare, iar in exterior produce un gradient de temperatura ( viteza de scadere a temperaturii ), negativ, foarte mare in valoare absoluta, rezultand o fanta a taieturii mai ingusta .

In 1992 firma "L-TEC" comunica performantele realizate , apreciind ca finetea taieturii si viteza de avans sunt aproape similare cu cele realizate la taierea cu fascicul laser.

Parametrii comunicati sunt :

- grosime otel debitat : 1,5 ... 25 mm
- curent maxim : 260 A
- viteza de avans : 1,5 ... 12 m/min

In cazul taieriei tablei subtiri ( 0,5 ... 3 mm ), performantele realizate sunt prezentate in tabelul 1.12.

Plasma de azot, cu injectie de oxigen

Tabelul 1.12.

Grosime (mm)	Viteza de avans (m/min)	Curent in arc (A)	Diametru diuza (mm)	Presiune oxigen (MPa)	Fanta a taieturii (mm)
0,5	9,0-12,0	15	0,7	0,55	0,5
0,8	6,0- 8,0	15	0,7	0,55	0,5
1,2	4,2- 5,0	15	0,7	0,55	0,5
1,5	3,0- 3,2	25	0,9	0,55	1,0
2,0	2,5- 2,8	25	0,9	0,55	1,5
3,0	1,0- 1,6	25	0,9	0,55	1,5

#### 1.3.5. Taierea cu plasma de azot si injectie de hidrogen

Gazul plasmagen este azotul , iar gazul de protectie este hidrogenul. Se prezinta (143) parametrii :

- grosime otel debitat : 0,5 ... 20 mm
- curent maxim : 120 A
- viteza de avans : 0,5 ... 6 m/min

#### 1.3.6. Taierea cu plasma de argon si injectie de hidrogen sau azot

Gazul plasmagen este argonul , iar gazul de protectie este hidrogenul sau azotul . In tabelul 1.13. sunt prezentate regimurile tehnologice de taiere (143) .

- grosime otel debitat : 3 ... 125 mm
- curent maxim : 480 A
- viteza de avans : 1,11 ... 4 m/min

Plasma de argon

cu injectie de hidrogen sau azot

Tabelul 1.13.

Grosime tabla (mm)	Viteza de avans (m/min)	Curent in arc (A)	Diametru diuza (mm)	Gaze .../..	Debit gaze (l/min)	Fanta a taieturii (mm)
3	4,00	100	1,6	Ar/N2	10/20	2,0
5	1,80	100	1,6	Ar/N2	10*20	2,0
6	1,70	100	1,6	Ar/N2	10/20	2,5
12	1,50	250	2,0	Ar/H2	20/ 5	2,5
13	1,40	250	2,0	Ar/H2	20/ 5	3,5
16	1,00	250	2,0	Ar/H2	25/ 5	3,5
19	0,90	250	2,0	Ar/H2	25/ 5	3,5
25	0,80	250	2,0	Ar/H2	25/ 5	4,5
30	0,60	250	2,0	Ar/H2	25/ 5	4,5
38	0,40	250	2,0	Ar/H2	30/ 8	4,5
50	0,30	250	2,0	Ar/H2	30/ 8	5,5
65	0,18	250	2,0	Ar/H2	30/ 8	6,0
75	0,20	250	2,0	Ar/H2	40/20	8,0
80	0,15	250	2,0	Ar/H2	40/20	8,0
90	0,40	450	2,5	Ar/H2	45/20	8,0
120	0,12	480	3,0	Ar/H2	45/25	11,0
125	0,11	480	3,0	Ar/H2	45/25	11,0

### 1.3.7. Taierea cu plasma de hidrogen si injectie de argon

Parametrii sunt prezentati (143) in tabelul 1.14.

Plasma de hidrogen, cu injectie de argon

Tabelul 1.14.

Material debitat	Grosime maxima (mm)	Viteza de avans (m/min)	Curent in arc (A)	Presiune hidrogen (MPa)	Presiune argon (MPa)
aluminiu	35	1,5	70	0,6	0,6
aluminiu	35	3,0	120	0,6	0,6
otel nealiat	35	2,5	120	0,6	0,6
otel aliat	35	2,5	120	0,6	0,6

### 1.3.8. Taierea cu plasma de hidrogen si injectie de aer

Parametrii sunt prezentati (143) in tabelul 1.15.

Plasma de hidrogen, cu injectie de aer

Tabelul 1.15.

Material debitat	Grosime maxima (mm)	Viteza de avans (m/min)	Curent in arc (A)	Presiune hidrogen (MPa)	Presiune aer (MPa)
aluminiu	35	3,0	150	0,6	0,6
aluminiu	35	2,0	125	0,6	0,6
aluminiu	35	1,5	70	0,6	0,6
otel nealiat	35	6,0	150	0,6	0,6
otel aliat	35	6,0	150	0,6	0,6

#### 1.4. Taierea cu laser

##### 1.4.1. Categorii de laseri pentru taieri de materiale

In domeniul industrial s-au impus 3 categorii de laseri :

- laserul cu bioxid de carbon ( 10,6 microni )
- laserul cu neodim-ytriu-aluminiu (Nd:YAG, 1,06 microni)
- laserul cu excimer (ultraviolet)

In domeniul taierii termice se utilizeaza pe scara larga laserii cu CO<sub>2</sub> in domeniul de puteri 25W ... 25 kW . In general, peste 1,5 kW nu se mai obtine o distributie gaussiana a intensitatii fasciculului (TEM 00) , de aceea s-a "batatorit" mai mult domeniul 25W ... 1,5 kW .

##### 1.4.2. Coeficientul de absorbtie a radiatiei

Taierea cu laser a diferitelor materiale se explica pe baza caracteristicilor spectrale de absorbtie a fiecarui material . Un material se poate tăia usor , daca are proprietatea de a absorbi radiatia incidenta cu o anumita lungime de unda . Daca materialul reflecta radiatia respectiva, materialul nu se poate tăia .

In figura 1.19. sunt prezentate cateva caracteristici spectrale de absorbtie, pentru diferite materiale (144) .

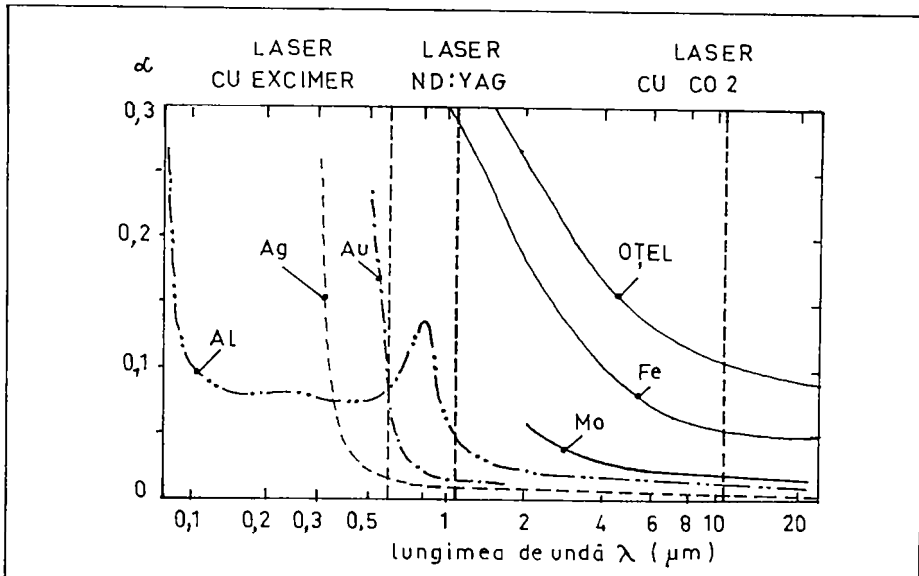


Fig. 1.19. Caracteristici spectrale de absorbtie a radiatiei pentru diferite materiale

Coefficientul de absorbtie "α" are valoarea relativa 1, daca absoarbe toata radiatia incidenta (nu reflecta nimic) .

Se remarcă cele trei verticale corespunzatoare celor trei tipuri de laseri :

- cu CO<sub>2</sub> (10,6 microni)
- cu Nd:YAG (1,06 microni)
- cu excimer (ultraviolet)

De asemenea, se constată ca : argintul, aurul, cuprul, aluminiul, molibdenul, se taie foarte greu cu laserul cu CO<sub>2</sub>, având pentru lungimea de undă de 10,6 microni, un coefficient de absorbtie foarte mic . În acest caz , se recomandă laserul cu excimer. Aceasta însă, nu se poate realiza pentru puteri mari .

#### 1.4.3. Laserul cu Nd:YAG

Laserul cu Nd:YAG ( "neodymium-yttrium-aluminium-garnet" ) are mediul activ solid sub forma de tija rezonatoare , iar excitorul este o lampa cu descarcare ("flash") . Operează , de obicei, în regim pulsat ( 1 ... 10.000 pulsuri/secunda ). În special , poate crea impulsuri scurte de intensitate foarte mare ( 5 ... 8 Joule/puls ), de aceea se utilizează cu succes la gărirea adanță de precizie. Domeniul de puteri este de 100...400 W iar durata unui puls este de 0,5 ... 2 ms (127) .

#### 1.4.4. Laserul cu bioxid de carbon

Mediul activ este un amestec de gaze :

- heliu (60 ... 80%)
- azot (13 ... 35%)
- CO<sub>2</sub> ( 1 ... 9%)

Poate opera în undă continuă (CW) și în regim pulsat (1 ... 10.000 pulsuri/secunda) . Până la puteri de 100 W laserii cu CO<sub>2</sub> pot fi de tip "închis" ( tubul laser este umplut periodic cu gazele mediu laser ) , iar la puteri peste 100 W ( până la 25 kW ) se execută cu circulație de gaze .

În afară de heliu, azot, CO<sub>2</sub>, amestecul mediu laser poate conține și : xenon și hidrogen .

Concentrația diferențierelor gaze oferă diferențite moduri de distribuție a intensității în secțiunea fasciculului laser : TEM 00 (gaussian), TEM 01, TEM 21, etc.

Fasciculul laser natural are diametrul de 2 ... 20 mm .

Generatorul laser se prezintă în mai multe variante constructive :

a) Un singur tub cilindric lung, prevăzut la capete cu cele 2 oglinzi concave (din care una are prevăzut orificiul de ieșire al fasciculului laser ) și cu electrozi conectați la sursa de tensiune înaltă .

b) "Impachetat" - mai multe tuburi dispuse în paralel, care sunt străbatute în serie de fasciculul laser deviat cu oglinzi inclinate la 45° .

Oglinzile se execută din aur sau alt material reflectorizant pentru lungimea de undă de 10,6 microni și sunt racite cu apa .

Laserii cu circulație de gaze , în funcție de modul de circulație a gazelor, se clasifică astfel (127) :

a) cu circulatie longitudinala lenta ("slow axial flow"), cu puteri de max. 50 W pe metru de rezonator, pana la puteri totale de 1 kW in regim CW .

b) cu circulatie longitudinala rapida ("fast axial flow") cu puteri de max. 500 W pe metru de rezonator, pana la puteri totale de 1,5 kW in regim CW .

c) cu circulatie transversala ("transverse flow"), cu puteri de max. 1 kW pe metru de rezonator , pana la puteri totale de 20 kW in regim CW .

In functie de sursa de excitatie , laserii cu CO<sub>2</sub> se clifica astfel :

a) cu sursa de tensiune continua (DC), 10 ... 20 kV .

b) cu sursa de tensiune alternativa (AC) de inalta frecventa : 2 kV , 13,5 MHz sau 27 MHz ( frecvente alocate domeniului industrial ).

#### 1.4.5. Constructia capului laser pentru taiere de materiale

Capul laser ( figura 1.20. ) are concentra fasciculul natural si de a crea jetul gazului de taiere coaxial cu fasciculul laser.

Fasciculul laser natural , cu diametrul de 2 ... 20 mm este deviat la 90° (in jos) cu ajutorul unei oglinzi plane care este racita cu apa si are coeficient de absorbtie foarte mic pentru lungimea de unda de 10,6 microni (aur) si coeficient de reflexie mare.

Fasciculul este focalizat cu ajutorul unei lentile din selenura de zinc sau din arsenura de galiu, in cazul laserului cu CO<sub>2</sub>. La laserul Nd:YAG lentila se poate executa din sticla . Aceasta lentila este racita cu apa si este relativ groasa , prezinta la presiunea de 0,1 ... ,6 MPa (1 ... 6 bar') din colectoare a gazului de taiere.

Diuza trebuie sa fie foarte bine centrata, pentru a crea o panza cilindrica de gaz in jurul fasciculului laser. Pentru aceasta , capul laser este prevazut cu vernier pentru centrare.

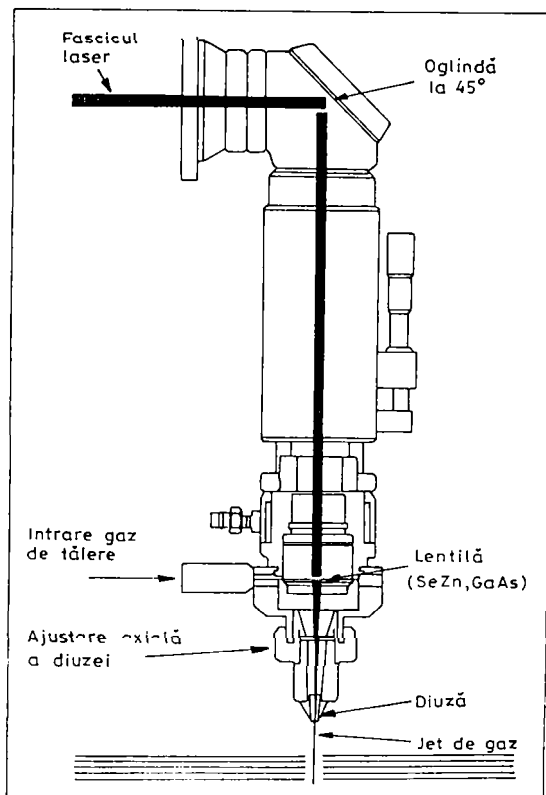


Fig. 1.20. Cap laser pentru taiere de materiale

In procesul de taiere se produce un fenomen de opacifiere a lentilei de focalizare . Opacifierea este intensificata in cazul taierei unor materiale reflectorizante pentru lungimea de unda de 10,6 microni, cum ar fi : aurul, cuprul, aluminiul , ajungandu-se chiar la accidente de fisurare sau ciupire a lentilei . In mod normal, lentila, oglinda plana si oglinzile din tubul laser se inlocuiesc dupa cateva mii de ore de functionare efectiva .

#### 1.4.6. Focalizarea fasciculului laser

Lentilele de focalizare, de obicei, se construiesc in variantele :

- cu focalizare scurta, cu distanta focala de 63 mm

- cu focalizare lunga , cu distanta focala de : 127, 190, 250 mm  
Diametrul fasciculului laser in focar depinde de distanta focala : cu cat dorim un fascicul mai ingust, cu atat trebuie sa lucram cu distante focale mai mici. Aceasta conduce, de fapt, si la o fanta a tieteturii mai ingusta , dar se ajunge la inconvenientul ca variația diametrului fasciculului este foarte brusca in directie axiala . Acest lucru conduce practic la imposibilitatea taierei unor grosimi mari de materiale.

In cazul unor grosimi mari , suntem obligati sa lucram cu lentile cu focalizare lunga , chiar daca aceasta conduce la fanta a tieteturii mai mare. In general , distanta focala se coreleaza cu grosimea metalului taiat astfel (127) :

- $df = 63$  mm, pentru grosimi sub 5 mm
- $df = 127$  mm, pentru grosimi 5...16 mm
- $df = 190 .. 250$  mm, pentru grosimi peste 16 mm

Diametrul fasciculului laser in focar "  $\phi_f$  " (123) , conform figurii 1.21., se determina cu relatia :

$$\phi_f = \frac{4 \cdot \lambda \cdot df}{\pi \cdot D_l} \quad (1.14.)$$

$\lambda$  este lungimea de unda a radiatiei  
 $df$  este distanta focala a lentilei  
 $D_l$  este diametrul fasciculului laser natural

Adancimea focalizarii "Hf" (123) se determina cu relatia :

$$H_f = \frac{2 \cdot \lambda \cdot df^2}{\pi \cdot D_l} \quad (1.15.)$$

In tabelul 1.16. sunt prezentate  $\phi_f$  si  $H_f$  , pentru 3 tipuri de lentile, cu distantele focale: 63,5 mm, 127 mm, 190,5 mm in cazul laserului cu CO<sub>2</sub> (123) .

Problema focalizarii fasciculului laser a fost studiata si de F.Hauser (2), la Institutul de Sudura (ZIS) din Halle, Germania, Utilizand laserul "GTL-452" :

- putere : 1 kW, cu circulatie transversala de gaze
- distanta focala  $df$  : 127 mm
- diametru lentila : 75 mm

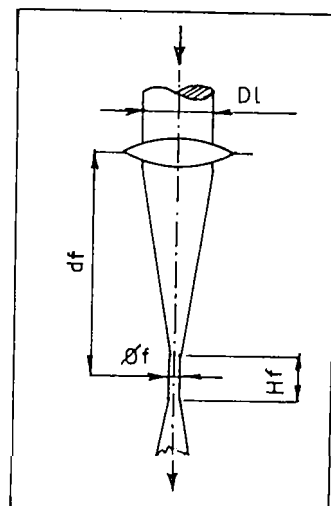


Fig.1.21. Focalizarea fasciculului laser

Diametrul in focar si adancimea focalizarii

Tabelul 1.16.

$df$ (mm)	$D_1$ (mm)	$\phi_f$ (mm)	$H_f$ (mm)
63,5	5	0,170	4,35
	10	0,086	1,09
	15	0,057	0,48
	20	0,043	0,27
	25	0,032	0,17
127	5	0,340	17,42
	10	0,170	4,36
	15	0,110	1,94
	20	0,086	1,09
	25	0,068	0,70
190,5	5	0,520	38,99
	10	0,260	9,74
	15	0,170	4,33
	20	0,130	2,44
	25	1,100	1,56

In (2) sunt prezentate cateva sisteme complexe de focalizare, conform figurii 1.22.

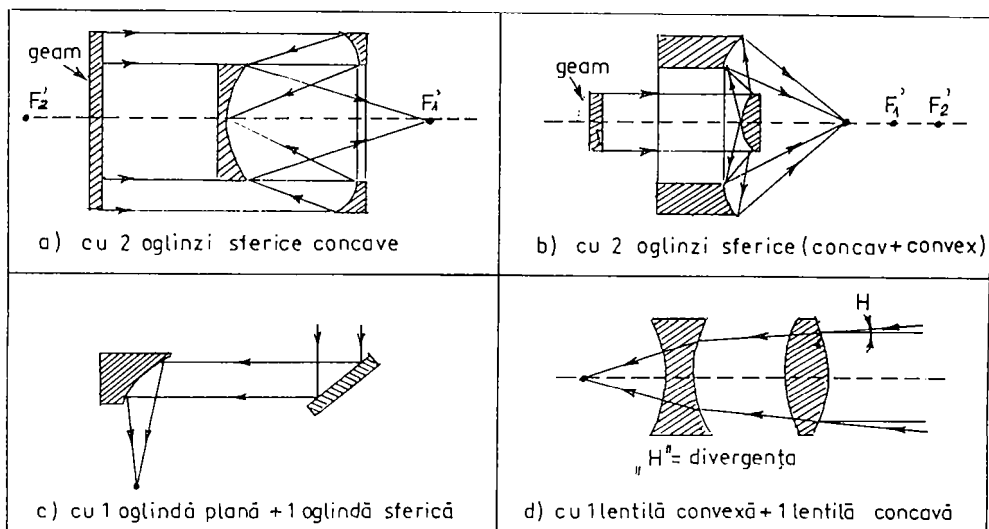


Fig. 1.22. Sisteme complexe de focalizare

In cazul radiatiei cu lungimea de unda de 10,6 microni , indicii de reflexie pentru materialele din care se executa lentilele sunt : GaAs - 3,27 , ZnSe - 2,42 , KCl - 1,46 .

Densitatea de putere maxim admise sunt : GaAs - peste 2000 W/cmp , ZnSe - peste 1000 W/cmp , KCl - sub 100 W/cmp . Bineintele ca cele mai performante sunt lentilele din arsenura de galiu , dar si pretul este mai ridicat .

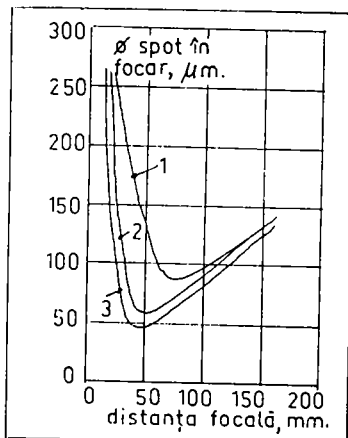
Lentilele se pastreaza curate . Degresarea se face cu : alcool, etanol, metanol, acetona, sau tricloretilena .

Diametrul fasciculului laser in focar depinde si de materialul lentilelor (2). In figura 1.23. este prezentata dependenta diametrului fasciculului laser in focar  $\phi_f$  de distanta focala  $df$ , pentru trei lentile :

- 1 - KCl , lentila plan - convexa
- 2 - ZnSe , lentila plan - convexa
- 3 - ZnSe , lentila menisc

Diametrul fasciculului in focar este minim la lentilele cu distanta focala de 50 mm . Sub 50 mm variatia nu se mai supune relatiilor (1.14.), (1.15.) .

Fig. 1.23. Dependenta  $\phi_f - df$



#### 1.4.7. Focalizarea fata de piesa debitata

In timpul deplasarii in planul x,y, trebuie mentinuta constanta distanta intre diuza si materialul debitat. Focarul trebuie dispus la un anumit nivel in sectiunea piesei . In figurile 1.24. si 1.25. este prezentata infuenta abaterii axiale de la focar asupra vitezei de avans .

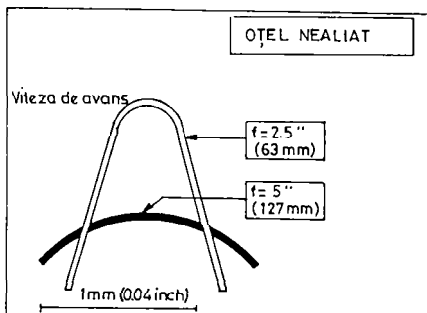


Fig. 1.24. Viteza de avans in functie de abaterea axiala fata de focar, la otel nealiat

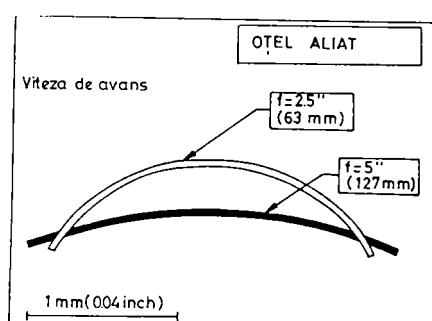


Fig. 1.25. Viteza de avans in functie de abaterea axiala fata de focar, la otel aliat

Practic, din cauza lipsei de focalizare, suntem obligati sa scadem viteza de avans. Se remarcă faptul ca o abatere axiala de 1 mm nu produce efecte deranjante asupra vitezei de avans. De asemenea , se remarcă si faptul ca , in cazul lentilelor cu distanta focala mai mare, efectul este mai scazut .

In majoritatea cazurilor focarul este dispus la nivelul de 30 % din grosimea piesei , fata de suprafata de atac cu fascicul laser .

H.J.Telzer remarcă in (5) faptul ca aceste abateri au efect si asupra rugozitatii taieturii: in cazul taiierii unor table din aliajul "St-T-Zn-A3" cu grosimea de 2 mm, la focalizare cu 1,2mm sub suprafata de atac, se obtine o rugozitate de 24,4 microni ,

iar la focalizare cu 3 mm deasupra suprafetei tablei rugozitatea este de 30,4 microni (mai proasta) . Rugozitatea taieturii creste cu grosimea tablei debitata :

- 40 microni, la grosimea 0,8 ... 3 mm
- 80 microni, la grosimea 4 mm
- 150 microni, la grosimea 5 mm

#### 1.4.8. Diuza capului laser

Diuza se executa de obicei din cupru.

Diametrul diuzei este de 0,25 ... 3,0 mm si reprezinta un parametru al tehnologiei de taiere. In cazul otelurilor nealiate diametrul diuzei creste de la 1,1 mm (pentru grosimea de 1 mm) , la 1,6 mm (pentru grosimea de 10 mm) . In cazul otelurilor aliate, diametrul diuzei creste de la 1,1 mm ( pentru grosimea de 1 mm ) la 2,0 mm (pentru grosimea de 5 mm) .

Necentrarea diuzei fata de fasciculul laser , conduce la un aspect striat al taieturii .

Distanta intre diuza si lentila este ajustabila . De fapt , se poate ajusta si pozitia lentilei (axial) in domeniul de 20 mm si pozitia diuzei (axial) in domeniul de 2,5 mm. Ajustarea radiala este in domeniul 0,1 ... 0,2 mm .

In general , calitatea taieturii creste daca se lucreaza cu diuza mai mica si cu presiune mai mare a gazului de taiere .

Cea mai buna calitate a taieturii se obtine prin utilizarea unor distante foarte mici diuza-piesa, chiar 0,1 mm ! Bineintele , acest lucru este dificil de realizat , deoarece se creeaza probleme cu pastrarea distantei diuza-piesa .

In tabelul 1.17. este prezentata relatia intre diametrul diuzei , distanta diuza-piesa , presiunea gazului de taiere si grosimea piesei de debitata .

Tabelul 1.17.

Material debitat	Grosime piesa	Presiune gaz de taiere	Diametru diuza	Distanța diuza-piesa
	(mm)	(MPa)	(mm)	(mm)
Otel nealiat	1	0,30	1,0	0,4
	3	0,20	1,0	0,4
	6	0,15	1,5	0,4
	9	0,12	1,5	0,4
Otel aliat	1	0,50	1,0	0,2
	3	0,70	1,5	0,2
	6	0,90	1,5	0,2
Aluminiu	1	0,60	1,0	0,2
	3	0,90	1,5	0,2

(1 MPa = 10 bari)

#### 1.4.9. Eficienta tajerii cu laser

Energetic , "eficienta tajerii cu laser" (134), este caracterizata de coeficientul "Klas" :

$$Klas = \frac{4 \cdot \lambda}{\pi} \cdot \frac{df}{Dl \cdot \phi f} \quad (1.16.)$$

Valoarea cea mai buna a lui "Klas" este 1 (ideal) .

#### 1.4.10. Gazul mediu laser

AGA-Suedia (127) apreciaza in cazul unor laseri cu CO<sub>2</sub> de puteri mari ( 1,5 kW ), consumurile de gaze :

- heliu : 40 litri/ora
- azot : 20 litri/ora
- CO<sub>2</sub> : 3 litri/ora

In (134) AGA-Suedia apreciaza ca anual, pentru un laser cu puterea CW de 1 kW , se consuma :

- heliu : 150 Nmc/an
- azot : 60 Nmc/an
- CO<sub>2</sub> : 30 kg/an

apreciate la un debit total de 50 ... 200 litri/ora .

#### 1.4.11. Gazul de taiere

Consumul este variabil in functie de diametrul diuzei si presiune, in principiu este in functie de materialul care se debiteaza . Cu aproximatie suficient de mare se apreciaza (134) consumurile , pentru un laser cu CO<sub>2</sub> cu puterea de 1 kW :

- aer : 50 ... 200 litri/minut
- oxigen : 20 ... 50 litri/minut (la oteluri nealiate)  
40 ... 90 litri/minut (la oteluri aliate)
- azot : 100 ... 400 litri/minut (la oteluri aliate)
- argon : 30 ... 150 litri/minut (la titan)

Aerul se utilizeaza in general pentru taierea materialelor nemetalice. Se utilizeaza reteaua industriala de aer comprimat , de 0,1 ... 0,6 MPa (1 ... 6 bari) .

Oxigenul se utilizeaza la taierea metalelor .

Argonul se utilizeaza la taierea titanului si a unor oteluri aliate la care se doreste diminuarea produselor de oxidare. Azotul se utilizeaza la taierea otelurilor aliate .

#### 1.4.12. Puterea electrica instalata a laserilor

Randamentul este suficient de scazut . In cazul unui laser cu CO<sub>2</sub> , randamentul este de cca. 10 % . Se opereaza curent cu consumuri in domeniul 5 ... 10 kVA pentru laseri cu puterea utila de 0,5 ... 1 kW (puterea fasciculului laser).

In cazul laserilor cu Nd:YAG, randamentul este de numai 1 %. Tipic este consumul de 20 kVA al unui laser cu puterea utila de 200 W.

In cazul laserilor cu Nd:YAG nu exista gaze mediu laser, deci nu se pune problema acestor consumuri. In schimb, elementul consumabil este lampa "flash" care suporta cca. 10 milioane de impulsuri.

#### 1.4.13. Taierea otelurilor slab aliate

In acest caz, gazul de taiere este oxigenul. Pentru a se asigura tajerea uniforma in orice directie, este necesar ca fasciculul laser sa aiba o distributie a intensitatii uniforma (TEM 00).

In figura 1.26. se poate remarcă dependența vitezei de avans de grosimea materialului, pentru 3 variante de putere laser. Se remarcă faptul că diametrul diuzei în valori între 1,1 și 1,6 mm și crește cu grosimea materialului. Presiunea oxigenului descrește pe măsură ce crește grosimea materialului și ia valori în domeniul 0,05...0,3 MPa (0,5...3 bari).

Nu este posibil să se tăie cu viteza mai mică decât 0,5 m/minut, din cauza tesirii colturilor prin ardere. Aceasta se întâmplă în cazul laserilor cu CO<sub>2</sub> lucrând în regim de undă continuă (CW). Un aspect frumos al colturilor pe contur se obține prin utilizarea regimului pulsat (sursa de tensiune pentru laser este mai scumpă). Se lucrează cu 200...1000 Hz. Eliminarea arderilor se mai poate realiza și prin pulverizarea apăi în zona de tajere.

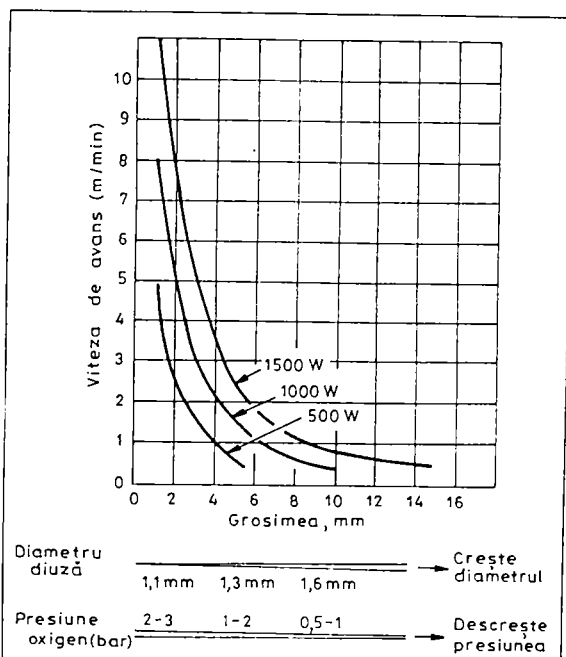


Fig. 1.26. Viteza de avans in functie de grosimea materialului, in cazul otelurilor nealiate

#### 1.4.14. Taierea otelurilor inalt aliate

Faza de tajerea otelurilor slab aliate, in cazul otelurilor inalt aliate, prezinta carbonului conduce la alte mecanisme tehnologice.

La otelurile inoxidabile, prezenta \_\_\_\_\_ lui conduce la aparitia unor bavuri deranjante in zona iesirii fasciculului laser din taiatura (oxizi de crom). Aceste bavuri au o aderenta foarte puternica si nu se pot indeparta decat prin polizare. O masura de reducere a bavurii este reducerea vitezei de avans, de altfel, acest lucru rezulta si din figura 1.27.

Spre deosebire de otelurile nealiate, in astfel, dupa cum rezulta si din figura 1.27 presiunea oxigenului creste cu grosimea materialului si este mai mare si anume, de 0,2 .. 1 MPa (2 .. 10 bari). Diuză are diametru mai mare (1,1 ... 2,0 mm).

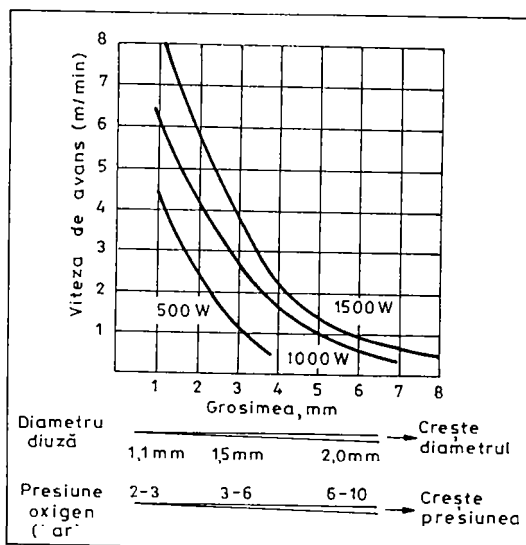


Fig. 1.27. Viteza de avans in functie de grosimea materialului, in cazul otelurilor aliate

#### 1.4.15. Taierea metalelor neferoase

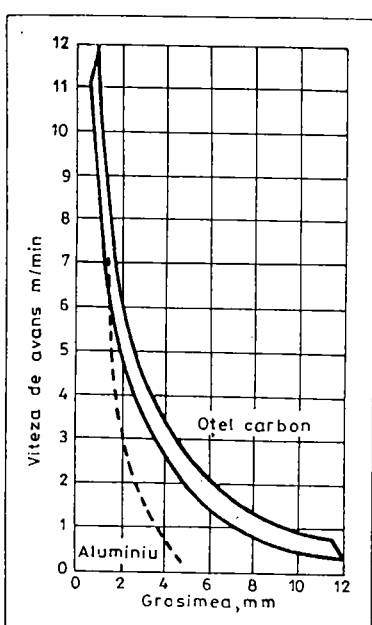


Fig. 1.28. Viteza de avans in functie de grosime la aluminiu si otel

#### a) Aliajele de aluminiu

Viteza de avans este cu mult mai mica, dupa cum rezulta si in figurile 1.28 si 1.29.

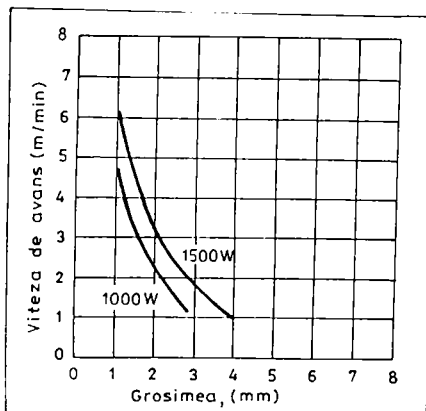


Fig. 1.29. Viteza de avans in functie de grosime la aluminiu

Acest lucru se explica prin urmatoarele aspecte :

- aluminiul reflecta foarte puternic radiatia cu lungimea de unda de 10,6 microni
- conductivitatea termica a aluminiului este foarte mare
- oxidarea este foarte puternica

Cel mai dificil lucru in cazul taierei aluminiului este inițierea taierei. Aluminiul rece are un coeficient de reflexie foarte mare, iar aluminiul topit are un coeficient de reflexie mic (pentru 10,6 microni). Acest lucru conduce de multe ori la accidente tehnice si anume la distrugerea diuzei prin reflexie, sau chiar a lentilei concentratoare.

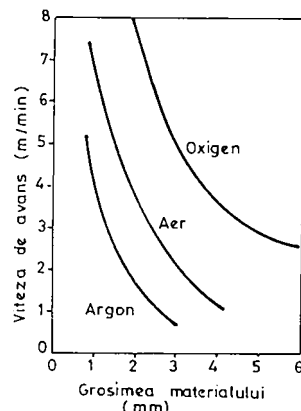
O solutie de diminuare a fenomenului consta in slefuirea suprafetei, pentru a deveni mata, cu o solutie chimica (pe baza de hidroxid de sodiu). In cazul inceperei taierei in material, o alta solutie este executia unei gauri mici cu o masina de gaurit (cu burghiu), in locul de inceput al taierei.

#### b) Aliajele de titan

Gazul de taiere poate sa fie oxigenul sau un gaz inert (de obicei argon).

In cazul utilizarii oxigenului, rezulta oxizi de titan, ceea ce constituie un fapt negativ, pentru ca daca piesele tiate urmeaza a fi sudate, acesti oxizi inclusi in satura conduc la suduri defectuoase.

Solutia este de a poliza marginile tiate, sau de a utiliza in locul oxigenului - argonul. Utilizarea argonului, insa, conduce la scaderea aportului energetic, deci, conduce la scaderea vitezei de avans, conform figurii 1.30.



#### c) Aliajele de nichel

Viteza de avans este aproximativ jumatate din viteza de avans din cazul otelurilor aliante, la aceeasi grosime de material si la aceeasi putere laser.

Fig. 1.30. Viteza de avans in functie de grosimea materialului, in cazul aliajelor de titan

#### d) Aliajele de cupru

Cuprul este forte reflectorizant pentru radiatia de 10,6 microni, de aceea taierea este foarte dificila. Puterea minima a laserului este de 1kW.

In tabelul 1.18 sunt prezentate cateva date tehnologice ale taierei.

Tabelul 1.18 .

Material	Grosime material (mm)	Viteza avans (m/min)	Putere laser (kW)
cupru	1	1,5	1,5
cupru	2	0,5	1,5
cupru	1	1,0	1,5
alamă	1	3,0	1,5
alamă	2	1,5	1,5
alamă	1	2,0	1,5

#### 1.4.16. Taierea materialelor nemetalice

In acest caz , gazul de taiere este aerul . Taierea depinde in conditii foarte bune si se bazeaza pe evaporarea materialului (nu pe topire, cum este in cazul metalelor).

Cu cat viteza este mai mare, cu atat striatiunile din tietura sunt mai pronuntate. Aceste striatiuni sunt specifice fenomenului de evaporare, care produce turbulente . Reducerea turbulentei se face prin reducerea presiunii gazului suflat prin diuza, ajungand chiar la 0,01 MPa (foarte mica).

##### a) Materiale acrilice (PMMA)

Dupa cum rezulta din figura 1.31. viteza de avans este foarte mare. Diametrul diuzei este de 2 mm, presiunea de 0,01 MPa puterea fasciculului laser este de 500 W.

Se noteaza degajarea de vaporii cu miros insuportabil, deci este absolut necesara exhaustarea locala.

##### b) Cauciucul

Prezenta carbonului in cauciuc conduce la scaderea vitezei de avans. Porii de dimensiuni variabile conduc la diferite viteze de avans.

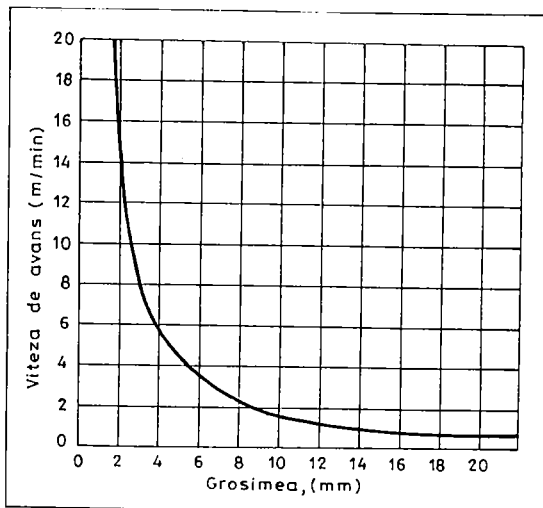


Fig. 1.31. Viteza de avans in functie de grosimea materialele acrilice

#### 1.4.17. Taierea materialelor termoplastice (PVC)

Presiunea aerului este de 0,1 .. 0,3 MPa.

In general, cu un laser cu puterea de 100 W se pot efectua servicii in acest domeniu.

In cazul materialelor plastice termorrigide, muchiile taitoare rezulta netede si inegrite ( rasilini formice, fenolice, epoxidice, fibre de sticla).

In tabelul 1.19 . sunt date aplicatii .

Tabelul 1.19 .

Material	Grosime material (mm)	Viteza avans (m/min)	Putere laser (W)
Rasina formica	1,6	7,8	400
Rasina formica	1,6	14,0	1.200
Rasina formica	3,0	2,8	400
Rasina fenolica	3,0	2,9	400
Rasina fenolica	6,0	1,1	400
Rasina epoxidica	1,6	5,2	450
Rasina epoxidica	1,6	15,0	1.200
Rasina epoxidica	3,2	2,4	400
Rasina epoxidica	4,5	1,5	400

Cu un laser cu puterea de 500 W se pot taiia urmatoarele materiale plastice, cu grosimea de 1 ... 12 mm :

- polietilena (0,3 ... 11,0 m/min)
- polipropilena (0,4 ... 17,0 m/min)
- polistiren (0,7 ... 19,0 m/min)
- nylon (0,5 ... 20,0 m/min)
- ABS (0,6 ... 21,0 m/min)
- policarbonat (0,6 ... 21,0 m/min)
- PVC (1,0 ... 28,0 m/min)

#### 1.4.18. Taierea lemnului

Gazul de taiere este aerul comprimat , cu o presiune de 0,4 ... 0,6 MPa. Taierea este insotita de degajare masiva de fum de aceea este necesara exhaustarea locala.

In general, este util un laser cu puterea de 100 W , dar se poate lucra si cu puteri mai mari.

#### 1.4.19. Taierea ceramicii si sticlei

In tabelul 1.20. sunt prezentate cateva exemple .

Tabelul 1.20.

Material	Grosime material (mm)	Viteza de avans (m/min)	Putere laser (W)
Sticla	1	1,5	500
Sticla	2	1,0	500
Sticla	3	0,5	500
Alumina	1	1,4	500
Alumina	2	0,6	500
Alumina	2	2,0	1.000
Silicati	1	0,6	1.200
Ceramica	6,3	0,6	1.200

Problema esentiala in acest caz , este realizarea primului impuls laser. Aceasta poate conduce la spargerea sticlei . Rezolvarea problemei se face prin cresterea treptata a puterii fasciculului laser , la inceperea taieriei , pentru diminuarea socrului termic , sau prin preincalzirea sticlei .

O utilizare mai larga o are prelucrarea artistica a ceramicii si sticlei fara penetrare completa , in regim pulsat de obicei , rezultand inscriptionarea materialului, sau prelucrarea in relief .

#### 1.4.20. Taierea materialelor textile compozite si alimentare

Unele exemple aplicative sunt prezentate in tabelul 1.21.

Tabelul 1.21.

Material	Grosime material (mm)	Viteza de avans (mm/min)	Putere laser (W)
Azbest (fire)	6,0	1,5	400
Azbociment	5,0	1,2	500
Carpeta auto	3,5	45,0	1.300
Carpeta	6,0	18,0	400
Carpeta	6,0	35,0	1.200
Bumbac	15,0	1,0	500
Pasla	6,0	40,0	1.000
Pasla	6,0	19,0	400
Grafit	1,0	2,0	500
Piele	1,6	18,0	1.200
Hartie par avion	0,05	1.000,0	500
Hartie de scris	0,12	600,0	500
Carton	0,2	90,0	500
Carton	4,6	9,0	350
Lana	0,7	50,0	500

#### 1.4.21. Prezentare rezumativa a taiierii cu laserii cu Nd:YAG si cu CO2

In tabelul 1.22. se prezinta comparativ, posibilitatile generale de utilizare a laserilor cu Nd:YAG si cu CO2 .

Tabelul 1.22.

Material de debitat	Calitatea taiierii cu laserii:	
	cu ND:YAG	cu CO2
Otel nealiat	excelenta	excelenta
Otel aliat	excelenta	excelenta
Aluminiu	buna	buna
Cupru	buna	dificila
Aur	buna	imposibila
Titan	buna	buna
Ceramica	moderata	buna
Materiale acrilice	slaba	excelenta
Polietilena	slaba	excelenta
Policarbonat	slaba	buna
Lemn	slaba	excelenta

In tabelul 1.23. este prezentata o situatie globala a posibilitatilor de taiere cu laserii cu CO2 .

Taierea unor materiale cu laser

Tabelul 1.23.

Material	Grosime (mm)	Viteza (m/min)	Putere (W)
(1)	(2)	(3)	(4)
Plop	10	5,0	500
Pin galben	10	3,2	500
Nuc	10	3,8	500
Cires	10	4,3	500
Pin scotian	10	3,3	500
Fag	10	4,0	500
Mahon	10	3,1	500
Stejar	10	2,9	500
Carbune	10	2,6	500
Abanos	10	1,2	500
PAL	17	1,2	1000
PAL	15	1,7	1000
Placaj	17	1,4	1000
Placaj	12	4,0	1000
Placaj	12	1,4	500
Placaj	9	2,8	500
Brad	7	2,2	75
Brad	25,4	0,3	250
Brad	12,7	4,3	1000
PAL	18	0,2	250
Placaj	8	3,5	250
Furnir	12	0,4	250
Prespan	12	0,4	250
Carpeta auto	3,5	45,0	1300
Carpeta	6	18,0	400
Carpeta	6	35,0	1200
Bumbac	15	1,0	500
Bumbac	15	0,9	250
Pasla	6	40,0	1000
Pasla	6	19,0	400
Pasla	4	6,0	250
Piele	1,6	18,0	1200
Hartie	0,05	1000,0	500
Hartie	0,12	600,0	500
Carton	0,2	90,0	500
Carton	0,2	90,0	500
Carton	4,6	9,0	350
Hartie	3	0,6	250
Lana	0,7	50,0	500
Azbest	6	1,5	400
Azbest cementat	5	1,2	500
Azbest cementat	5	0,6	250
Azbest dur	3	0,3	250
Klingerit	3	0,5	250
Klingerit	1	3,0	250
Klingerit	1	2,0	250
Klingerit	0,5	4,5	250
Acetit	0,3	6,0	250
Termoplastice	1	20,0	500
Termoplastice	5	2,5	500
Termoplastice	10	0,8	500
Nylon	0,1	2000000	250
Plexiglas	20	0,35	250
Plexiglas	12	0,7	250
Plexiglas	10	0,8	250

	(1)	(2)	(3)	(4)
Plexiglas	5	1,9	250	
Plexiglas	3	5,0	250	
Polietilena	1	11,0	500	
Polietilena	5	1,2	500	
Polietilena	10	0,4	500	
Polipropilena	1	17,0	500	
Polipropilena	5	2,0	500	
Polipropilena	10	0,7	500	
Polistiren	1	19,0	500	
Polistiren	5	2,3	500	
Polistiren	10	0,9	500	
Nylon	1	20,0	500	
Nylon	5	2,6	500	
Nylon	10	0,8	500	
ABS	1	21,0	500	
ABS	5	2,7	500	
ABS	10	0,9	500	
Policarbonat	1	21,0	500	
Policarbonat	5	2,7	500	
Policarbonat	10	0,9	500	
PVC	1	28,0	500	
PVC	5	3,2	500	
PVC	10	1,2	500	
PVC	3	3,3	250	
PVC	5	2,05	250	
PVC	10	1,09	250	
PVC dur	16	0,55	250	
PVC-s	5	2,75	250	
Pvc-s	13	1,0	250	
PVC-vinoflex	5	2,5	250	
PVC-vinoflex	8	1,8	250	
PVC-vinoflex	12	1,0	250	
PVC-vinoflex	15	0,73	250	
PVC-vinoflex	16	0,55	250	
PVC-vinoflex	17	0,5	250	
PVC-vinoflex	20	0,48	250	
Novolan PP	2	3,2	250	
Novolan PP	5	0,9	250	
Novolan PP	10	0,42	250	
Novolan PP	15	0,25	250	
Novolan PP	20	0,175	250	
Lupolen PE 5052C	5	1,4	250	
Lupolen PE 5052C	10	0,7	250	
Lupolen PE 5052C	12	0,5	250	
Lupolen PE 5052C	15	0,375	250	
Lupolen PE 5052C	20	0,18	250	
Lupolen PE	5	0,55	250	
Lupolen PE	10	0,3	250	
Lupolen PE	15	0,15	250	
Lupolen PE	20	0,1	250	
Poliester cu sticla	3	0,1	250	
Poliester cu sticla	6	0,07	250	
Hostiren N 200	4	1,6	250	
Hostiren N 200	4	1,6	250	
Hostiren S 4200	4	1,7	250	
Hostiren S 6600	4	1,7	250	
Hostalit	17	0,25	250	
Hostalit	4	3,0	250	
Hostapor 0,569 t/mc	10	0,7	250	

	(1)	(2)	(3)	(4)
Hostapor 0,569t/mc	30	0,1	250	
Hostapor 0,781t/mc	10	0,45	250	
Hostapor 0,814t/mc	10	0,2	250	
Hostalen PP17 1050	3	2,0	250	
Hostalen PPN 1060	4	2,0	250	
Hostalen PPR 1042	4	1,4	250	
Hostalen PPN.VP.7180TV/20	4	1,3	250	
Hostalen PPN.VP.7180GV/20	4	1,25	250	
Hostalen GM 5050	5	1,2	250	
Hostalen PPN.VP.7190TV/40	4	1,1	250	
Hostalen LD.D 1018	4	1,05	250	
Hostalen LD.H 1018	4	1,05	250	
Hostalen GC.VP.7260 GV 1/20	4	1,0	250	
Hostalen PPN.VP.7790 GV 2/30	4	0,95	250	
Hostalen GD 7260	4	0,95	250	
Hostalen PPT.VP.7090 AV/40	4	0,9	250	
Hostalen PPN.VP.7790 GV 1/30	4	0,9	250	
Hostalen PPH.2250	5	0,9	250	
Hostalen GM.5050	30	0,1	250	
Hostalen PPH.2250	30	0,1	250	
Hostalen GUR	42	0,08	250	
Hostaform C.9021	3,2	3,3	250	
Hostaform C.9021.TF	4	2,2	250	
Hostaform C.9021.K	4	2,1	250	
Hostaform C.2521	4	2,1	250	
Hostaform C.27021	4	2,2	250	
Hostadur AVP.4000	4	2,2	250	
Hostadur BVP.8600	4	2,0	250	
Hostadur KVP.6022	6	1,1	250	
Hostadur KVP.8022.GV 1/30	4	0,75	250	
Hostadur KVP.8022 GV 1/20	4	1,2	250	
Rasina formica	1,6	7,8	400	
Rasina formica	1,6	14,0	1200	
Rasina formica	3	2,8	400	
Rasina fenolica	3	2,9	400	
Rasina fenolica	6	1,1	400	
Fibra de sticla cu epoxy	1,6	5,2	450	
Fibra de sticla cu epoxy	1,6	15,0	1200	
Fibra de sticla cu epoxy	3,2	2,4	400	
Fibra de sticla cu epoxy	4,5	1,5	400	
Sticla	1	1,5	500	
Sticla	2	1,0	500	
Sticla	3	0,5	500	
Alumina	1	1,4	500	
Alumina	2	0,6	500	
Alumina	2	2,0	1000	
Silicat	1	0,6	1200	
Ceramica	6,3	0,6	1200	
Tabla cositorita (Fe+St) (*O2)	1	3,5	250	
Tabla cositorita (Fe+St) (*O2)	1,5	3,5	250	
Tabla cositorita (Fe+St) (*O2)	2	2,25	250	
Tabla cositorita (Fe+St) (*O2)	2,5	1,1	250	
Tabla cositorita (Fe+St) (*O2)	3	1,2	250	
Tabla cositorita (Fe+St) (*O2)	3,5	0,6	250	
Tabla neagra	3	1,5	250	
Otel crom/nichel (*O2)	0,5	4,5	250	
Otel crom/nichel (*O2)	1	2,0	250	
Otel crom/nichel (*O2)	1,5	1,3	250	
Otel crom/nichel (*O2)	2	0,7	250	

	(1)	(2)	(3)	(4)
Otel crom/nichel (*O2)	3	0,2	250	
Otel calibil (*O2)	0,2	6,0	250	
Otel calibil (*O2)	2	1,5	250	
Otel calibil C100 (*O2)	0,3	6,0	250	
Otel calibil C75 (*O2)	1	2,8	250	
Tabla zincata (*O2)	0,8	3,0	250	
Tabla zincata (*O2)	1	2,7	250	
Tabla zincata (*O2)	1,5	2,4	250	
Titan (*Ar)	3	13,0	250	
Titan (*Ar)	8	3,0	250	
Titan (*Ar)	10	2,8	250	
Titan (*Ar)	40	0,5	250	
Plumb (*O2)	2	2,5	250	
Plumb (*O2)	3	1,8	250	
Cupru (*O2)	1	1,5	1500	
Cupru (*O2)	2	0,5	1500	
Alama (*O2)	1	3,0	1500	
Alama (*O2)	2	1,5	1500	
Alama (*O2)	1	2,0	1500	
Aliaj de titan (*Ar)	1,6	1,5	500	
Aliaj de titan (*Ar)	3,2	0,3	500	
Aliaj de titan (*O2)	3,2	2,0	500	
Aliaj de titan (*O2)	6,4	1,0	500	
Aliaj de titan (*O2)	6,4	2,0	1000	
Aliaj de titan (*O2)	2,5	6,0	1000	
Aluminiu (*O2)	1	4,7	1000	
Aluminiu (*O2)	2,5	1,5	1000	
Otel nealiat (*O2)	0,5	15,0	500	
Otel nealiat (*O2)	1	11,0	800	
Otel nealiat (*O2)	2	7,0	1000	
Otel nealiat (*O2)	4	4,0	1000	
Otel nealiat (*O2)	6	2,5	1000	
Otel nealiat (*O2)	8	2,0	1500	
Otel nealiat (*O2)	12	1,0	1500	
Otel aliat (*O2)	0,5	15,0	500	
Otel aliat (*O2)	1	11,0	800	
Otel aliat (*O2)	2	7,0	1000	
Otel aliat (*O2)	4	3,0	1000	
Otel aliat (*O2)	6	0,6	1500	
Otel aliat (*N2)	1	2-5,5	1500	
Otel aliat (*N2)	2	1,3-2,5	1500	
Otel aliat (*N2)	3	0,5-1,1	1500	
Otel aliat (*N2)	4	0,5-0,6	1500	
Otel nealiat (*O2)	1	6,0	500	
Otel nealiat (*O2)	2	2,5	500	
Otel nealiat (*O2)	3	1,5	500	
Otel nealiat (*O2)	4	1,2	500	
Otel nealiat (*O2)	5	0,6	500	
Otel aliat (*O2)	1	4,0	500	
Otel aliat (*O2)	2	2,3	500	
Otel aliat (*O2)	3	1,1	500	
Otel aliat (*O2)	4	0,3	500	

NOTA:    "(\*O2)"-taiere cu oxigen  
          "(\*Ar)"-taiere cu argon  
          "(\*N2)"-taiere cu azot  
          "       "-taiere cu aer (nespecificat)

## 1.5. Taiera cu jet de apa sub presiune

### 1.5.1. Presiunea si viteza la impact

Eroziunea materialului in procesul taierei se produce prin utilizarea energiei cinetice de impact "Wc" a particulelor antrenate de fluidul utilizat.

$$W_c = \frac{m_p \cdot v_p^2}{2} \quad (1.17.)$$

$m_p$  este masa particulei,  $v_p$  este viteza particulei

Efectul este deranjant in cazul panourilor solare ale satelitilor, unde particule cosmice cu masa de  $0,0000001 \dots 0,1$  mg si diametrul de 0,1 mm care sosesc cu viteza de 100 km/s (foarte mare), produc la impact un orificiu adanc de 2 mm.

La taierea cu jet de apa sub presiune se utilizeaza uneori pulbere abraziva pentru cresterea efectului de coroziune.

In baza legii lui Bernoulli, presiunea fluidului "pf" este proportionala cu patratul vitezei de curgere a fluidului, deci si cu patratul vitezei particulelor antrenate "vp" :

$$p_f = \frac{v_p^2}{2 \cdot \sigma} \quad (1.18.)$$

in care :  $\sigma$  este densitatea fluidului

Utilizand presiuni pana la 380 MPa (3800 bari), se obtine o viteza de curgere de 500 m/s (123).

### 1.5.2. Echipamentul de taiere cu jet de apa sub presiune

Presiunea de 380 MPa se realizeaza cu ajutorul unui amplificator hidraulic, conform figurii 1.32. Amplificatorul (126) are un circuit de joasa presiune (20 MPa) cu ulei antrenat de o pompa de debit relativ mare si un circuit de mare presiune (380 MPa) cu apa filtrata, la debit relativ mic.

Filtrarea apei se face mecanic si ionic, pentru a elimina particulele cu dimensiuni mai mari de 0,45 microni.

Circuitul de mare presiune nu se poate realiza cu furtune flexibile, ci cu tevi metalice rigide. Daca este necesara deplasarea diuzei de taiere pentru taierea prin conturare, aceste tevi au articulatii speciale.

Diuza primara are diametrul de 0,2 ... 0,5 mm si se executa din safir (diamant).

In cazul injectarii de pulbere abraziva in jetul de apa, camera de mixare are 2 diuze : prima din safir (diuza primara) numai pentru apa filtrata si a 2-a (diuza secundara) din ceramica, pentru amestecul apa + pulbere abraziva, cu diametrul de 0,75 ... 2,5 mm.

Granulatia pulberii abrazive este de 60 ... 120, la un consum de 0,25 ... 2,0 kg/minut (123).

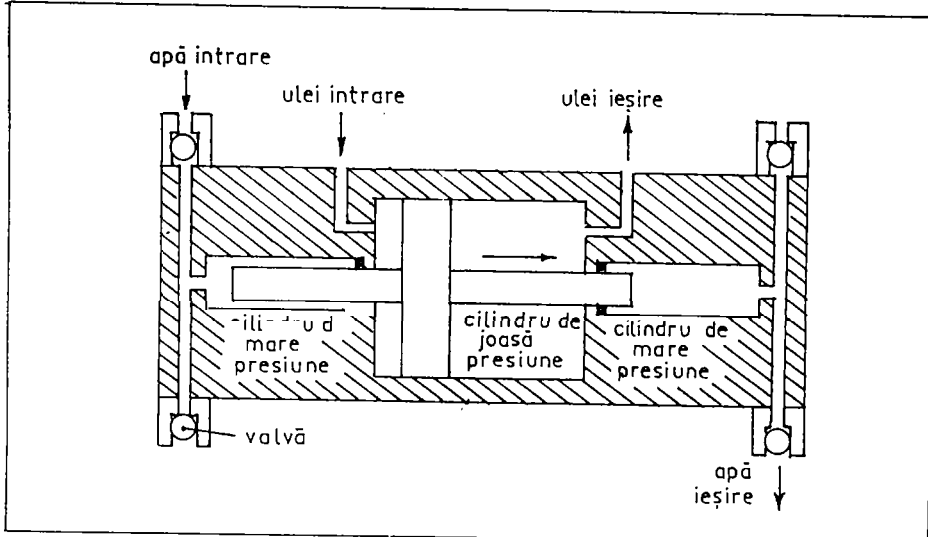


Fig. 1.32. Amplificator hidraulic

Bazinul colector al jetului trebuie sa permita o lungime a a jetului de minim 600 mm, pentru a nu fi taiat sau supus eroziunii. Piesa taiata trebuie sa fie fixata in asa fel , incat dupa taiere, sa nu fie aruncata in bazinul colector datorita presiunii jetului de apa. Accidentalul conduce la ciupiri ale suprafetei piesei, sub actiunea jetului de apa.

Nivelul de zgomot este mare, de 120 dB. Cel mai mare zgomot il face , de fapt, amplificatorul hidraulic.

Durata de viata a diuzei din safir este mai mare daca apa este filtrata mecanic si ionic (200 ... 500 ore).

Distanta diuza-tableta este de 2,5 ... 6,5 mm , iar in cazuri izolate , de maxim 50 mm.

### 1.5.3. Taierea cu apa, fara pulbere abraziva

conform (126):

Tabelul 1.24.

Material	Grosime material de avans (mm)	Viteza diuza (m/min)	Diametru diuza (mm)	Presiune apa (MPa)
Carton ondulat	7	3,30	0,25	385
Covor din cauciuc	18	0,12	1,15	380
Piele finisata	1	1,27	0,13	275
Azbest placă	18	1,52	0,20	190
Cauciuc	3	0,15	0,13	380
Uretan	2	0,10	0,10	380
Sticla izolanta	300	0,42	0,15	350
Policarbonat	2	0,02	1,15	380
Polipropilena	2	0,06	1,10	380
poliester	12	0,60	0,15	380
PVC	0,75	0,30	1,10	380
Placa circuit imprimat	1,5	0,05	0,15	380
Grafit	1,6	0,01	0,15	380
Fibra sticla cu epoxy	1,6	0,04	0,20	385
Spuma poliuretanica	50	0,10	0,13	380

#### 1.5.4. Avantaje si dezavantaje ale taierei cu jet de apa sub presiune fata de taierea cu laser

##### a) Avantaje :

- Grosimea materialelor care se pot tăia este mai mare .
- Taierea este omnidirectională la materialele armate cu fibre .
- Nu se rotunjesc colturile conturului (sub aspect tehnologic).
- Costul utilajului este mai redus.
- Nu este necesată găurile tablei la începerea taierei.
- Nu există zonă influențată termic (ZIT).
- Diversitatea de materiale este mai mare (Cu,Al,Au,Ag).
- Nu se degaja fum în timpul taierei.

##### b) Dezavantaje :

- Fanta taieturii este mai mare (cca.2 mm).
- viteza de avans este mai mică. De exemplu , la oțel nealiat cu grosimea de 1,6 mm , viteza de avans este de numai 0,5 m/min. , fata de taierea cu un laser cu CO<sub>2</sub> cu puterea de 1 kW, la care viteza de avans este de 9 m/min (123).
- Costul pe metru liniar de taietura este mai ridicat, din cauza vitezei de avans mai mici.
- Zgomotul este foarte mare (120 dB).

#### 1.6. Analiza comparativa a procedeelor de taiere: cu oxigaz, cu plasma, cu laser, cu jet de apa sub presiune

##### 1.6.1. Performantele unor procedee de taiere fata de taierea cu laser cu CO<sub>2</sub>

In tabelul 1.25. sunt prezentate performantele procedeelor de taiere: cu laser cu Nd:YAG, cu plasma, cu jet de apa sub presiune (cu pulbere abraziva), cu oxigaz, - fata de taierea cu laser cu bioxid de carbon :

Tabelul 1.25.

Domeniu	Parametru comparat	Performante la taierea cu : Nd: YAG	Plasma	Apa	Oxigaz
Taiere metale:	Cost investitie	S	B	S	FB
	Cost productie	S	S	S	B
	Viteza de avans	R	B	FR	R
	Calitate taietura	S-B	FB	FB	R
Taiere ceramica:	Grosime maxima	S	FB	FB	FB
	Zona infl. termic	S-B	FR	FB	R
	Fanta a taieturii	S-B	FR	FR	FR
	Viteza de avans	R	NU	R	NU
Taiere polimeri:	Calitate taietura	S-B	NU	B	NU
	Grosime maxima	S-B	NU	FB	NU
	Fanta a taieturii	S-B	NU	R	NU
	Viteza de avans	NU	NU	S	NU

Nota : FB-foarte bine, B-bine, S-similar, R-rau, FR-foarte rau,  
NU-neaplicabil

Cel mai larg domeniu al tipurilor de materiale care se pot tăia, îl are tăierea cu apă sub presiune, apoi tăierea cu laser cu CO<sub>2</sub>. Tăierea cu plasma se aplică la metale (inclusiv: inox, aluminiu, cupru), iar tăierea cu oxigaz nu se poate aplica decât la oțelurile cu carbon puțin (sub 0,25%). Totuși, volumul productiv în acest caz este foarte mare, având în vedere costul redus al investiției.

Fanta tăieturii este foarte îngustă (0,1...1 mm) numai la tăierea cu laser, în special la Nd:YAG.

Viteza de avans, în cazul metalelor, este performanța la plasma. În special, aluminiul se tăie foarte bine cu plasma; cu laser CO<sub>2</sub> și cu oxigaz nu se poate tăia în condiții economice.

### 1.6.2. Tăierea oțelului nealiat

În cazul oțelului nealiat, în figura 1.33 sunt prezentate vitezele de avans în funcție de grosime, în 3 cazuri:

- tăierea cu oxigaz
- tăierea cu laser
- tăierea cu plasma

În figura se remarcă creșterea exponentială a vitezei de avans, în cazul laserului, la grosimile mici de tablă. De aceea, în domeniul 0-5 mm se recomandă tăierea cu laser. Tăierea cu plasma se recomandă (sub aspect calitativ similar) la grosimea de 1-50 mm.

Peste 50 mm devine necompetitiva cu tăierea oxigaz, cu observația că tăierea oxigaz se aplică numai la oțeli nealiate și cu carbon puțin. În cazul altor metale, plasma este utilizabilă până la grosimi de 120-150 mm. Tăierea oxigaz se extinde până la 2000 mm (otel cu carbon puțin).

În tabelul 1.26., conform (134), firma AGA-Suedia prezintă tăierea oțelului nealiat cu grosimea de 6 mm, prin 3 procedee:

- cu laser de 1,5 kW, cu CO<sub>2</sub>
- cu plasma
- cu flacără oxigaz

și analizează relația între fanta tăieturii și energia consumată pentru a realiza 1 milimetru liniar de tăietură.

Cheltuielile de productie sunt proporționale cu consumurile energetice (kJ/mm), rezultând recomandarea utilizării laserului.

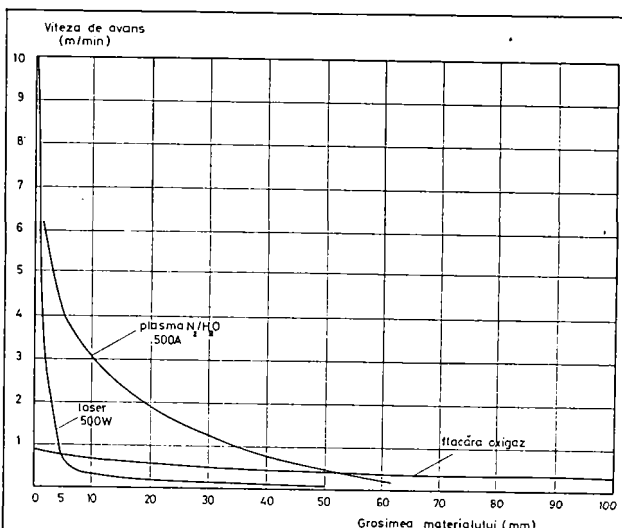


Fig. 1.33. Viteza de avans în funcție de grosime, în cazul oțelului nealiat

Tabelul 1.26.

Procedeul de taiere	Viteza de avans (m/min)	Fanta taieturii (mm)	Zona infl. termic (mm)	Energia pt.1 mm (kJ/mm)
a) cu laser 1,5 kW	2,20	0,3	0,15	0,16
b) cu plasma	3,78	3,2	0,50	0,91
c) cu oxigaz	0,60	1,3	1,00	1,10

Sub aspectul investitiilor, insa , cheltuielile se prezinta astfel :

- a) Laser de 1,5 kW si masina cu CNC : 530.000 US\$
- b) Plasma si masina cu CNC : 250.000 US\$
- c) Oxigaz si masina cu CNC : 190.000 US\$

Deci pretul investitiei este mai mare in cazul laserului , amortizarea realizandu-se numai daca se debiteaza cantitati mari de materiale.

## CAPITOLUL 2

ECHIPAMENTE DE CONTURARE X, Y  
PRIN URMARIRE DE DESENE  
CU CAPURI OPTICE ROTITOARE

## 2.1. Probleme generale specifice

### 2.1.1. Principiul conturarii x,y, prin urmarire optică

In figura 2.1. se prezintă componentă minimală a unui echipament de conturare x,y echipat cu cap optic rotitor.

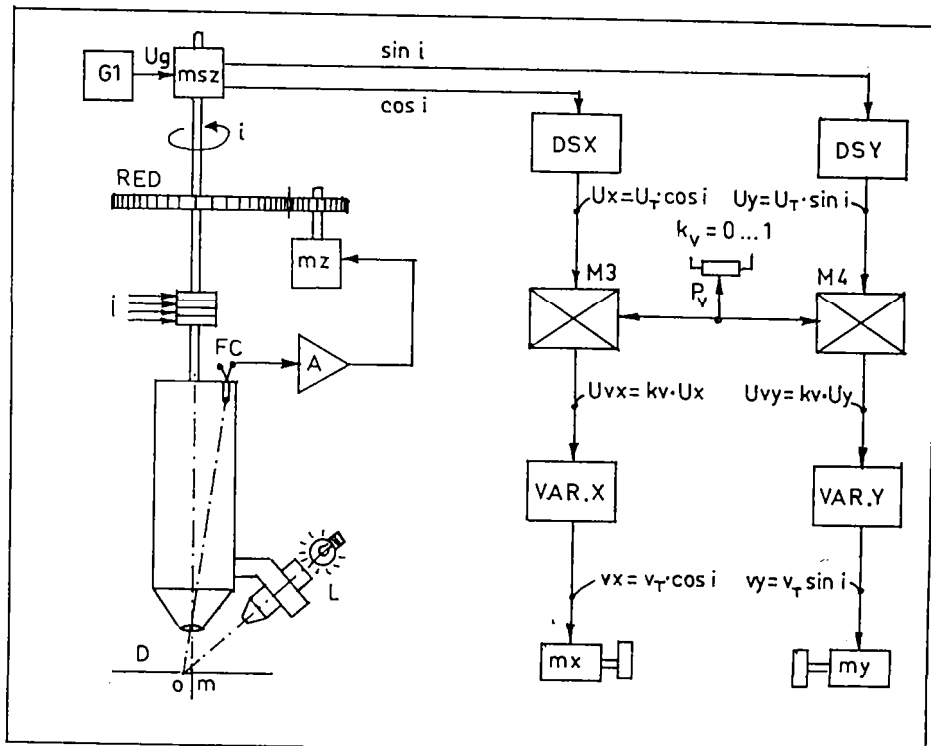


Fig. 2.1. Componenta minima a unui echipament de conturare x,y prin urmarire optica utilizand cap optic rotitor

Urmarirea liniei desenate D, cu ajutorul fotocelulei FC, se bazeaza pe existenta excentricitatii "o" a oculului (axul optic "o") fata de centrul rulmentului (axul mecanic "m"), in virtutea geometriei euclidiene, de a determina o directie, avand 2 puncte. In cazul nostru, vectorul optic mo indica sensul de avans, deci vectorul viteza tangentiala la curba vT este sp  $\rightarrow$  mo .

Daca apare o deviere unghiulara a conturului fata de vectorul optic mo , conform figurii 2.2., fotocelula FC va genera un semnal electric mai mic sau mai mare , in functie de nivelul de alb/negru "vazut".

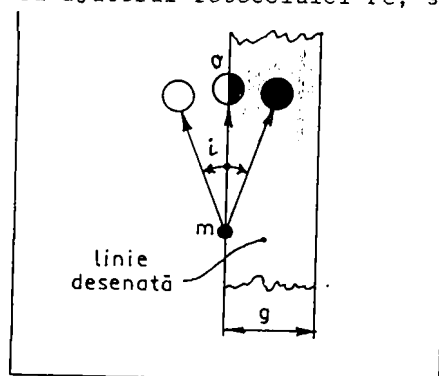


Fig. 2.2. Deviatia fotocelulei fata de linia desenata

Acest semnal se prescrie variatorului de turatie A , care , prin intermediul motorului mz si a reductorului RED , se readuce in mod automat fotocelula pe jonctiunea alb/negru a liniei desenate . Aceasta este bucla minoră de reglare unghiulara a pozitiei fotocelulei pe linia desenata si este inclusa in bucla de reglare globala x,y de pozitie si de viteza .

Solidar, pe axul rotitor al tubului optic, se afla dispozitivul de descompunere in coordonate sinus/cosinus "msz" (tip potentiometru, sau tip rezolver bipolar), care are rolul de a descompune vectorul viteza tangentiala  $\vec{v}_T$  in cele 2 componente  $v_x$  ,  $v_y$  , conform figurii 2.3. Vectorul viteza tangentiala  $\vec{v}_T$  trebuie sa aiba modulul constant pe curba , prescris prin tehnologia taierei .

$$U_x = U_T \cdot \cos i \quad (2.1.)$$

$$U_y = U_T \cdot \sin i \quad (2.2.)$$

$$v_x = v_T \cdot \cos i \quad (2.3.)$$

$$v_y = v_T \cdot \sin i \quad (2.4.)$$

$$U_T = 10 V \quad (2.5.)$$

Prin inelele si periile colectoare "I" (figura 2.1.) se transmite semnalul de la fotocelula FC si se alimenteaza lampa "L" cu tensiune .

Aparatul de taiere este sincronizat in miscare , cu axul mecanic "m"(centrul rulmentului). Existenta excentricitatii mo conduce la fenomenul nedorit de tesire a colturilor pe contur.Suntem tentati sa reducem excentricitatea mo , pentru a reduce tesirile . Dar constatam ca , la un moment dat , excentricitatea nu se mai poate reduce , pentru ca apare fenomenul de pendulare unghiulara a capului optic ( instabilitate dinamica ). Practic , se considera ca exista o legatura intre viteza de avans si excentricitatea mo : cu cat dorim o viteza de avans mai mare , cu atat este necesara o excentricitate mo mai mare , deci va rezulta o tesire a colturilor mai pronunta .

Semnalele sin i , cos i , generate de "msz" sunt prelucrate cu dispozitivele DSX, DSY . Se disting doua situatii :

a) Daca "msz" este de tip potentiometru (dublu, cu sectoare rezistive distribuite in quadratura sinus/cosinus ) , atunci generatorul "G1" este de tensiune continua +/- 10V , iar DSX SI DSY nu mai sunt necesare .

b) Daca "msz" este de tipul rezolver bipolar , atunci generatorul "G1" este de tensiune alternativa ( 400 Hz ... 4 kHz ) si este denumit "oscilator pilot" (O) in unele scheme electrice.

Multiplicatoarele M3 si M4 realizeaza multiplicarea semnalilor  $U_x$  si  $U_y$  cu aceeasi constanta  $k_v = 0 \dots 1$  , prescrisa cu potentiometrul Pv de pe panoul de comanda , in scopul modificarii vitezei de avans  $v_T$  :  $U_{vx} = k_v \cdot U_x$  ,  $U_{vy} = k_v \cdot U_y$  . Acestea constituie referintele de viteza care se prescriu celor 2 variatoare de turatie VAR.X si VAR.Y , reversibile .

Motoarele electrice mx si my pot fi de tipul de curent continuu sau de tipul asincron bifazat , necesitind blocuri de comanda VAR.X , VAR.Y specifice celor 2 cazuri .

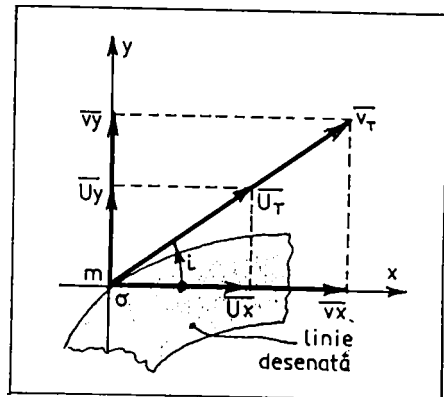


Fig. 2.3. Descompunerea in  
coordonate  $v_x, v_y$

### 2.1.2 Moduri de urmarire a liniei desenate

In figura 2.4. se prezinta 3 moduri de urmarire a liniei desenate :

- a) cu 1 fotocelula , pe marginea liniei desenate
- b) cu 2 fotocelule , pe mijlocul liniei desenate
- c) cu modulare - demodulare

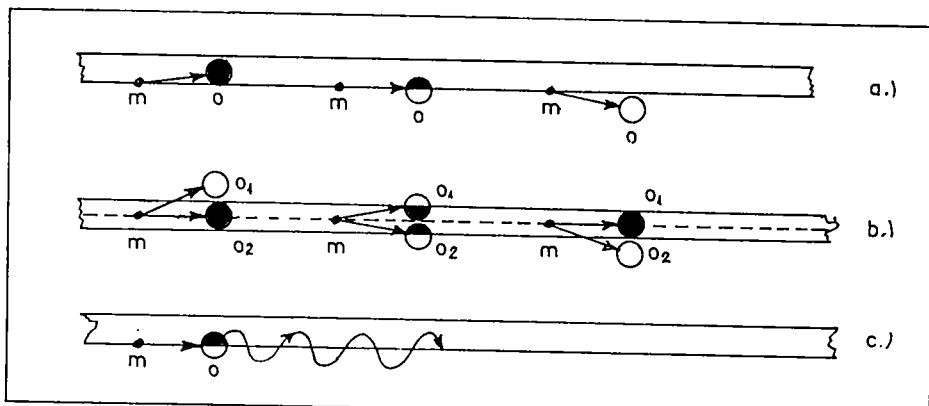


Fig. 2.4. Moduri de urmarire a liniei desenate

Modul de urmarire cu 1 fotocelula permite urmarirea unor linii desenate cu colt, pe cand modul de urmarire cu 2 fotocelule pretinde desenarea cu raze de curbura ( fara colt ). Modul b) reduce cu un ordin de marime efectul perturbator al derivei optice si termice , iar modul c) reduce total acest efect . Modul c) , in schimb , necesita dispozitive de pendulare a imaginii . Frecventa de pendulare este de obicei de 50 de Hz. Filtrarea dupa demodulare la 50 Hz introduce in sistemul automat o constanta de timp de filtrare Tf, care are efect negativ asupra vitezei de avans a capului optic. Dispozitivul de pendulare (de vibrare) este realizat in mai multe feluri :cu motor sincron, cu vibrator electromagnetic, cu tija piezoceramica, et c. Acest dispozitiv , in practica, s-a dovedit a nu fi suficient de fiabil, din cauza ruperii prin oboseala . Chiar si in cazul tijei piezoceramice , dupa un timp se constata dezlipirea monturii reflectorizante . In plus, dispozitivul de pendulare necesita 2 ... 4 inele colectoare in plus la tubul optic .

### 2.1.3. Incetinirea la colt

Incetinirea la colt a aparut ca o necesitate in cazul vitezelor mari de avans pe linia desenata , caz in care ar apare pericolul pierderii urmaririi .

Procedeul consta in dispunerea in tubul optic a inca 2 fotocelule, de "avangarda" care sesizeaza colturile liniei desenate , cu cateva fractiuni de secunda mai devreme decat fotocelula principala (de lectura) .

Acest sistem, adoptat de multi constructori la generatiile mai vechi de echipamente, a fost abandonat , pe masura progreselor realizate la viteza de raspuns a actionarilor electrice, dar si motivat de variatia fantei taieturii in cazul variatiei vitezei de avans .

#### 2.1.4. Problema contactului electric la periile colectoare

Circuitul fotocelulei, fiind de impedanta mare (cca.  $1 \text{ M}\Omega$ ) nu pune probleme de rezistenta de contact, ci de rezistenta de izolatie.

Circuitul lampii este de impedanta mica (2,2V/0,18A/12,2Ω, sau 6V/2,5A/2,4Ω) si pune probleme deosebit de spinoase in privinta rezistentei de contact.

S-au experimentat cateva variante de materiale pentru inelele si periile colectoare, diferite forte de contact si duriati Brinell.

Compozitia aliajelor s-a studiat prin spectrometrie de masa. Desi varianta inel aur / perie argint a oferit performanta, din motive economice s-a stabilit varianta inel alama / perie argint. In acest caz, rezultate bune s-au obtinut cu alamele care contin numai cupru si zinc, fara inclusiuni de Pb, S, Fe. Periile se executa din argint dur (aliaj special pentru contacte de releu). Esential este ca duritatea periilor din argint sa fie mai mare decat a inelelor din alama. In acest fel, se inlatura uzura argintului, obtinandu-se si un efect de autocuratire a oxizilor de pe inelele din alama.

O alta cale adoptata pentru realizarea unui bun contact electric consta in dublarea periilor (in paralel). In acest fel, probabilitatea nerealizarii simultane a contactului se reduce de cateva mii de ori. Acest lucru se explica prin faptul ca in timpul rotirii inelului colector, timpul de lipsa contact ( $t_1$ ) este foarte scurt in raport cu timpul de contact ( $t_2$ ) si este foarte imposibila intreruperea simultana la cele 2 peri, conform figurii 2.5.

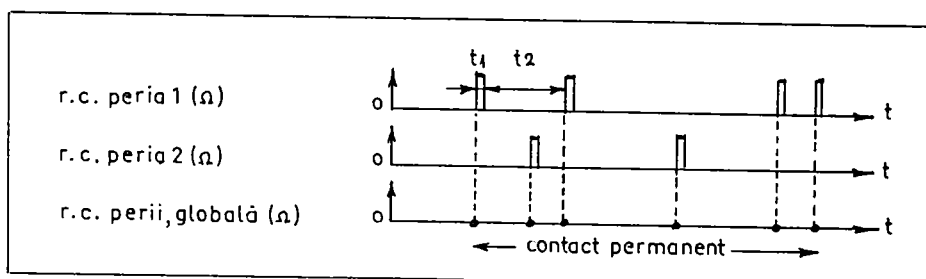


Fig. 2.5. Probabilitatea lipsei contactului la 2 peri colectoare, simultan

Adoptand dublarea periilor si utilizand materiale adecvate, durata de functionare fara interventie de curatire, s-a marit de la cca. 2 zile la cca. 2 ani.

#### 2.1.5. Dispozitive pentru descompunerea in coordonate sinus / cosinus

Există 2 tipuri de dispozitive care realizează aceasta funcție:

a) Potentiometrul dublu cu distribuție sinusoidală / cosinusoidală a rezistenței.

b) rezolverul bipolar

In figura 2.6. se prezinta conexiunile exterioare ale potentiometrului dublu :

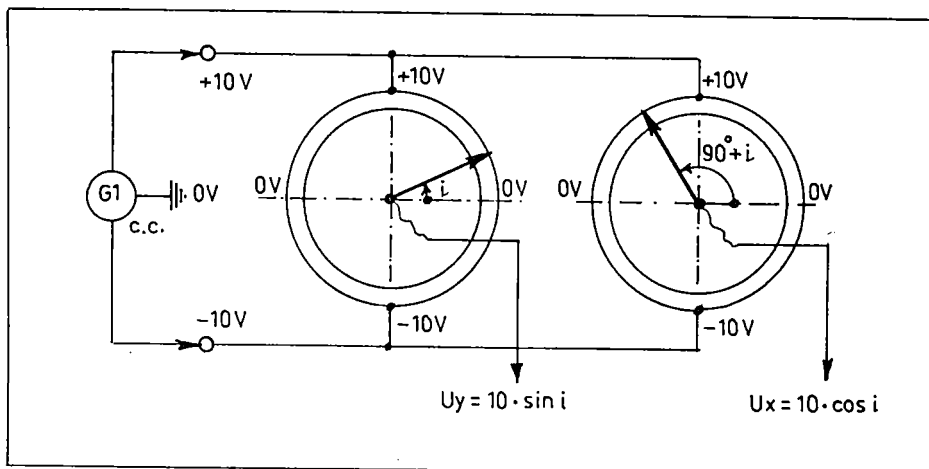


Fig. 2.6. Conexiunile potentiometrului dublu P1, P2 ( msz ) pentru descompunerea in coordonate sinus/cosinus

Acest dispozitiv a fost utilizat la utilajele mai ieftine si din generatia veche . Chiar daca ofera avantajul raspunsului electric instantaneu, acest dispozitiv nu este suficient de fiable din cauza contactelor alunecatoare pe cele doua sectoare rezistive .

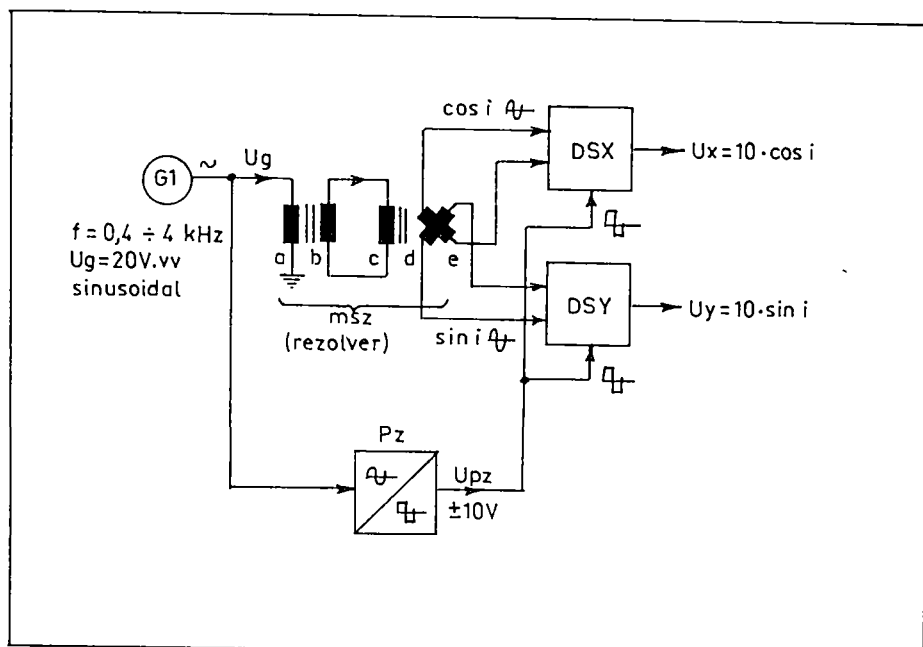


Fig 2.7. Conexiunile rezolverului bipolar msz , pentru descompunerea in coordonate sinus / cosinus

In figura 2.7. se prezinta conexiunile exterioare ale rezolverului bipolar msz .

Rezolverul msz , in tehnologie moderna, este construit fara perii. Infasurarile a si b sunt cuplate inductiv axial , deci amplitudinea tensiunii induse din primarul a (fix) in secundarul b (mobil) este constanta pentru orice pozitie unghiulara.

Infasurarile c si d<sub>te</sub> sunt cuplate inductiv radial, deci amplitudinea tensiunii induse din primarul c in secundarele d si e depinde de unghiul geometric intre c si d , respectiv intre c si e . Bobinele c si e sunt dispuse in quadratura sunt fixe .

Amplitudinea tensiunii din infasurarea d este maxima daca infasurarea d este paralela cu infasurarea c ; amplitudinea este zero daca infasurarile c si d sunt perpendicularare.Similar se petrec lucrurile intre infasurarile c si e , cu observatia ca atunci cand in infasurarea d tensiunea este maxima, in infasurarea e tensiunea este zero ( sunt in quadratura ).

Infasurarea a este alimentata cu un semnal sinusoidal cu amplitudine si frecventa constanta ( de exemplu  $U_g = 20 \text{ V.vv}$  si  $f = 0,4 \dots 4 \text{ kHz}$  ). Acest semnal sinusoidal este transformat in semnal dreptunghiular sincron, cu limitare stabila la  $\pm 10 \text{ Vcc}$ , in formatorul de purtatoare Pz .

Frecventa purtatoare este utilizata la sincronizarea demodulatoarelor sincrone DSX , DSY .

Conform figurii 2.8., daca primarul a se alimenteaza cu tensiunea  $U_g$  , atunci la iesirea din DSY se obtin semnalele  $U_y'$  , reprezentate in figura 2.8., pentru 6 unghiuri i .

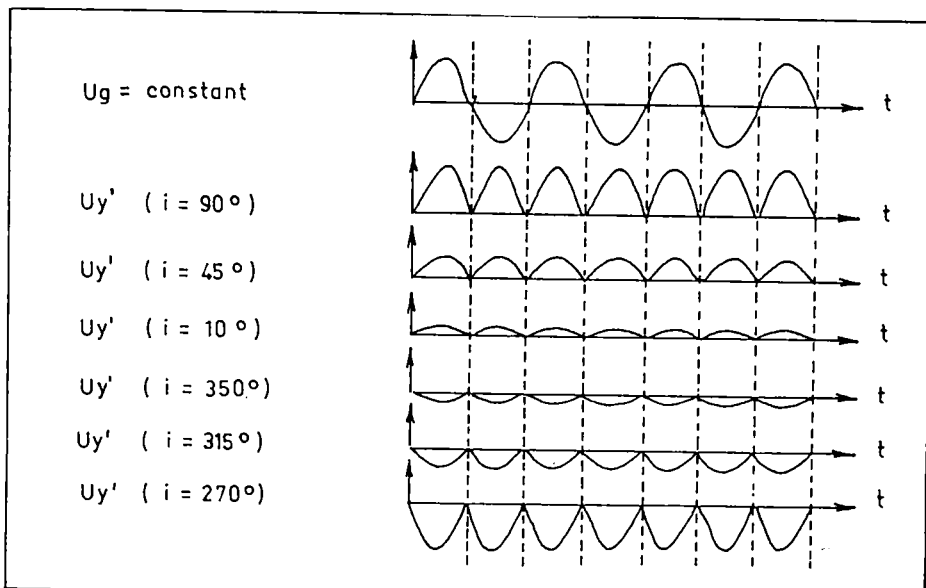


Fig. 2.8. Tensiunea  $U_y'$  la iesirea demodulatorului sincron DSY

De fapt , aceasta tensiune  $U_y'$  este filtrata , rezultand in final tensiunea  $U_y$  ( valoarea medie ).

### 2.1.6. Urmărirea la scara redusă

Masiniile mari, cu deschideri de 8 ... 17 metri și căi de rulare de 16 ... 32 metri, utilizate de obicei în săntierele navale pentru debitarea cu oxigaz a tablelor din otel, utilizează urmărirea unor desene executate la scara 1:10.

Spre deosebire de urmărirea la scara 1:1, urmărirea la scara redusă necesită creșterea de precizie sau suruburi conduce-toare de precizie în scopul sincronizării deplasărilor:  $x-x'$ ,  $y-y'$ .

Sincronizarea miscării aparatului de tăiere cu miscarea capului optic se face în două moduri:

a) Sincronizarea mecanică (prin raport de transmisie la rotile dintate) este o soluție mai ieftină și mai imprecisă. Masina necesită numai 2 motoare electrice ( $mx$  și  $my$ ) și nu necesită selsine (pentru sincronizarea deplasării).

b) Sincronizarea electrică se face separat pe cele 2 coordinate  $x'$  cu  $x$  și  $y'$  cu  $y$ . Masina necesită 4 motoare electrice  $mx$ ,  $mx'$ ,  $my$ ,  $my'$  și 4 selsine:  $msx$ ,  $msx'$ ,  $msy$ ,  $msy'$ .

Există astfel 2 masini distincte: o masina pentru urmărirea desenului (cu cap optic) și o masina pentru tăiere (echipată cu 1 sau mai multe aparate de tăiere).

Semnalul de eroare  $U_{ex}$  între selsinele  $msx$  și  $msx'$  comandă variatorul motorului  $mx'$  ("slave"), iar semnalul de eroare  $U_{ey}$  între selsinele  $msy$  și  $msy'$  comandă variatorul motorului  $my'$ . Motoarele  $mx$  și  $my$  au rolul de pilot ("master").

Selsinele sunt conectate în regim de transformator, conform figurii 2.9. iar semnalul alternativ generat, este prelucrat cu demodulatoare sincrone  $DSXX'$ ,  $DSYY'$ .

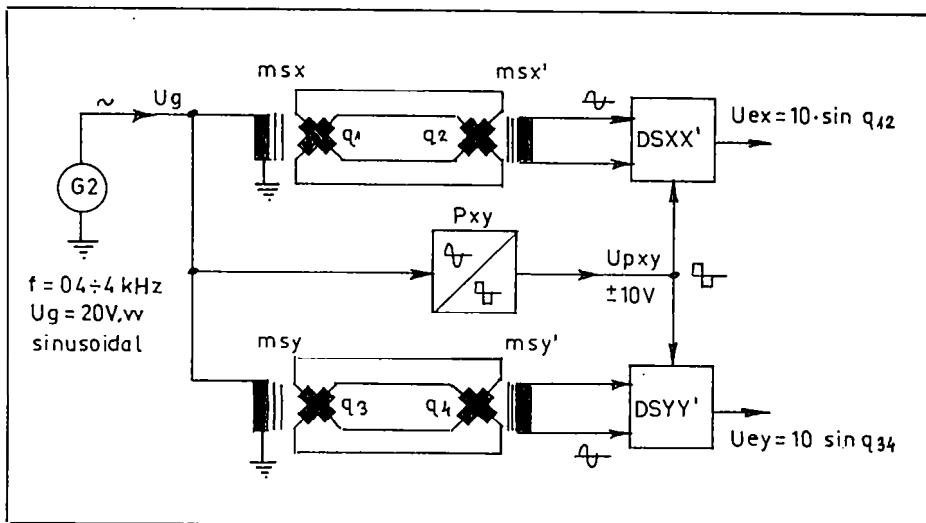


Fig. 2.9. Conexiunile selsinelor  $msx$ ,  $msx'$ ,  $msy$ ,  $msy'$  pentru sincronizarea deplasării

Demodulatoarele sincrone  $DSXX'$  și  $DSYY'$  sunt concepute identic cu  $DSX$ ,  $DSY$ , iar formatorul de purtătoare  $P_{xy}$  este similar cu  $P_z$ . Semnalele  $U_{ex}$  și  $U_{ey}$  sunt tensiuni continue care primesc valori în domeniul  $-10V \dots +10V$  și constituie semnalele de eroare de pozitie între  $x-x'$ , respectiv  $y-y'$ . Practic, în timpul urmăririi,  $U_{ex}$  și  $U_{ey}$  oscilează în jurul valorii zero.

Amplitudinea acestor oscilatii, de fapt, este o masura a calitatii executiei mecanice a masinii, in sensul ca la o executie ingrijita, aceste oscilatii au o amplitudine mica, ideal zero.

Existenta jocului in reductoarele cuplate la motoarele electrice  $m_x, m_x'$ ,  $m_y, m_y'$ , conduce la cresterea oscilatiilor  $U_{ex}$  si  $U_{ey}$ . Din cauza acestui joc mecanic, calitatea sistemului automat scade. Marierea amplificarii in regulatorul de pozitie este limitata de intrarea in pendulare.

### 2.1.7. Reductorul RED al motorului $m_z$ , din capul optic

#### 2.1.7.1. Raportul de transmisie $z_1/z_2$

Pentru a se obtine o viteza mare de raspuns, se lucreaza cu raport de transmisie mic : 5 ... 30. Motoarele electrice care exceleaza prin posibilitatea functionarii la turatii mici (cele cu rotor disc sau pahar, de exemplu) sau cele cu multe lamele la colector, permit utilizarea unui raport de transmisie  $z_1/z_2 = 5$ . La motoarele electrice de curent continuu cu rotor cu fier, precum si la motoarele asincrone bifazate se utilizeaza reductoare cu raport de transmisie mai mare :  $z_1/z_2 = 30$ .

#### 2.1.7.2. Problema jocului

Se doreste existenta unui joc zero. Executia reductorului cu roti compensate (arcuite tangential), elibera jocul la vitezze mici de avans, putandu-se aproxima functionarea ca un regim stationar (acceleratie zero). La variatii rapide insa, arcuirea conduce la existenta unor elemente elastice in sistemul automat, care produce intrarea in pendulare. De aceea, se prefera rotile dintate simple, dar cu joc foarte mic. In acest caz, modulul danturii este relativ mic, sub 0,7.

### 2.1.8. Aspecte constructive de ordin mecanic

#### 2.1.8.1. Ghidarea

Pana la ecartamente de 10 metri se prefera ghidarea pe o singura cale de rulare, cu 4 role, conform figurii 2.10.

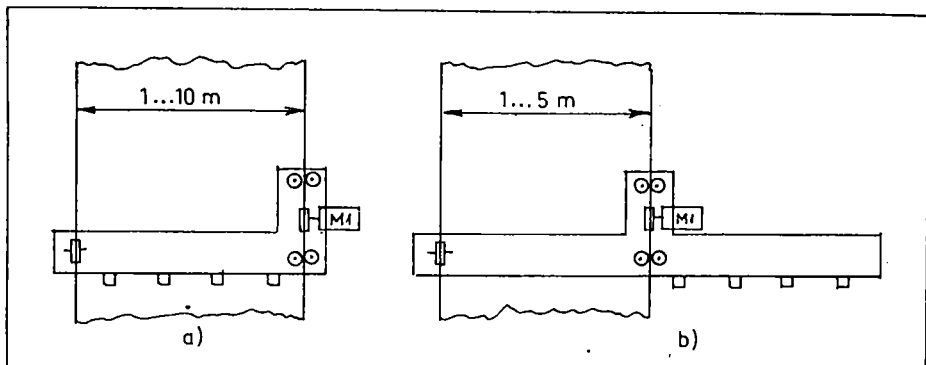


Fig. 2.10. Ghidarea pe o singura cale de rulare, cu 4 role  
a) tip portal b) tip consola

In acest fel, se utilizeaza un singur motor pentru antrenarea longitudinala si 4 role de ghidare laterala .

In cazul unor ecartamente foarte mari, pana la 18 metri, se utilizeaza antrenarea grinzi la ambele capete, prin arbore electric . In acest caz se utilizeaza 2 motoare pentru antrenare longitudinala si numai 2 role de ghidare laterala, conform figurii 2.11.

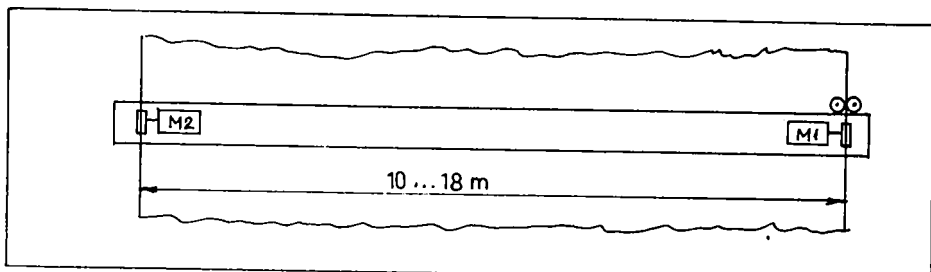


Fig. 2.11. Ghidarea pe o singura cale de rulare, cu 2 role

#### 2.1.8.2. Antrenarea si controlul deplasarii x,y

Pe directia longitudinala , la lungimi mari, controlul deplasarii se face numai cu cremaliera de masura , pe care ruleaza traductorul de pozitie ( selsina, traductor incremental, et c. ) Antrenarea se face fie pe aceeasi cremaliera ( rol dublu: de masura si de cuplu ), fie cu roata de fuga ( prin frictiune ).

Pe directia transversala , controlul deplasarii se face fie cu cremaliera de masura, fie cu surub conducator . Antrenarea se face fie cu roata de fuga, fie pe cremaliera , fie cu surub conducator , fie cu banda conducatoare . In cazul antrenarii cu surub cu bile, se elimina total reductorul cu roti dintate, pentru a se obtine joc zero . Motorul electric se coupleaza direct la surubul conducator .

#### 2.1.8.3. Constructia masinii "MATTOR"

Masina automata de taiere termica prin urmarire optica la scara redusa , tip MATTOR (56) , reprezentata in figura 2.12., are un ecartament de 7,5 metri , este de tip portal si are ghidarea laterala cu 4 role . Antrenarea longitudinala se face cu roata de fuga , numai la unul din capetele grinzi . Antrenarea transversala se face cu banda conducatoare . Fiecare aparat de taiere se poate cupla pe ramura de sus sau de jos a benzii , realizandu-se posibilitatea tajerii de piese simetrice, simultan .

Controlul deplasarii se face pe ambele axe cu cremaliere de masura cu modulul 1,25 .

Echipamentul care este responsabil cu urmarirea desenului , la scara 1:10 , are antrenarea cu suruburi conducatoare ( pe ambele axe x, y ).

Deplasarea se controleaza cu aceleasi suruburi conducatoare

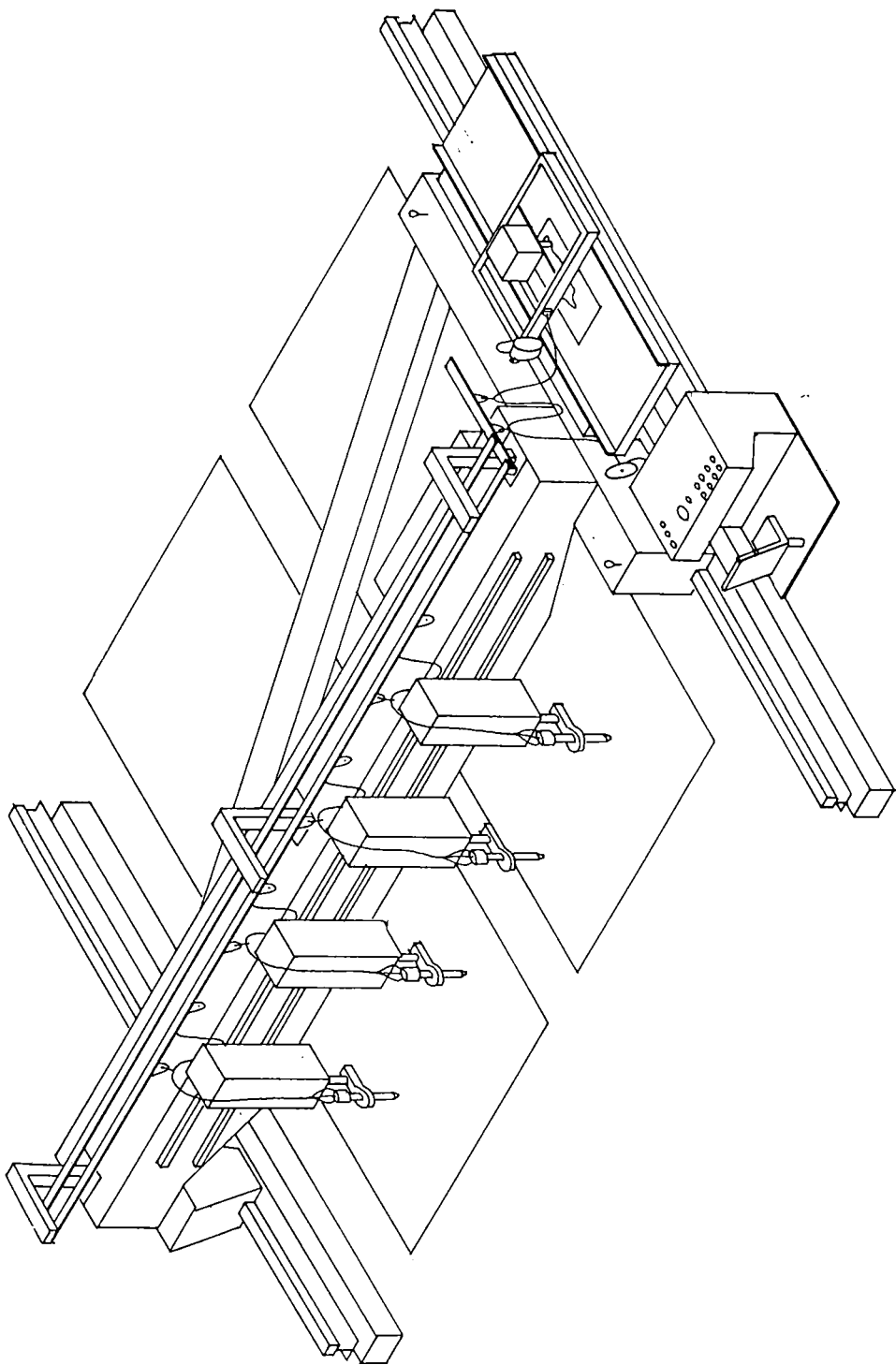


Fig. 2.12. Massina MATTOR

## 2.2. Blocuri electronice functionale

### 2.2.1. Excitarea rezolverului bipolar și a selsinelor emitatoare. Oscilatorul pilot

Excitarea cu frecventa de 50 Hz a fost abandonata , din cauza constantelor electrice de timp mari care s-ar introduce dupa demodularea sincrona ( constante de timp de filtrare ). De aceea se utilizeaza rezolvere si selsine care lucreaza in domeniul de 0,4 ... 4 kHz , sau chiar pana la 10 kHz .

Puterea si tensiunea pe care trebuie sa le ofere oscilatorul pilot sunt dependente de tipul rezolverului utilizat .

S-a ales alimentarea rezolverului la frecventa de 1,3 kHz , ca un compromis intre curentul absorbit si precizia demodularii. Astfel , scaderea frecventei conduce la cresterea curentului absorbit de rezolver . Cresterea frecventei conduce la scaderea preciziei demodularii , fie din cauza purtatoarei trapezoidale , ( se doreste forma rectangulara ) , fie din cauza intarzierii trecerii prin zero , datorita comportarii rezolverului ca o linie de intarziere .

In figura 2.13. se prezinta un exemplu de oscilator pilot .

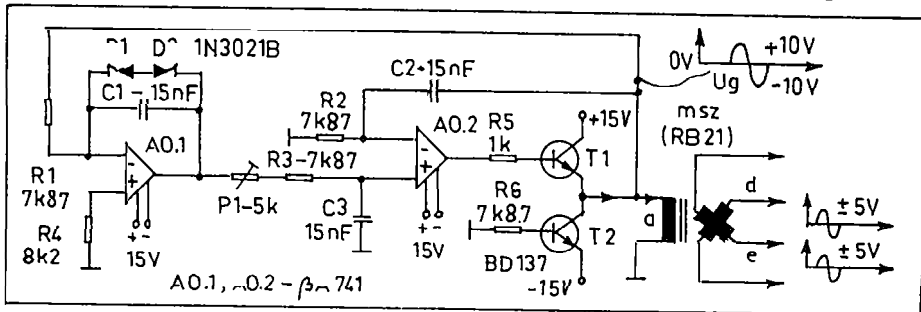


Fig.2.13. Oscilator pilot in quadratura

Cu ajutorul potentiometrului P1 se stabileste forma sinusoidală a tensiunii generate  $U_g$  , imediat dupa limita de intrare in oscilatie . Urmărindu-se stabilitatea amplitudinii , se prefera o usoara intrare in limitare (datorita diodelor Zener de 11V)

Reactia de la rezolver este globala prin R1 si C2 , obtinandu-se o componenta continua zero in primarul rezolverului . Componenta continua diferita de zero este nedorita , pentru ca produce o incalzire inutila a primarului , care are o rezistenta in curent continuu suficient de mica .

In cazul utilizarii oscilatorului pilot pentru alimentarea selsinelor responsabile de controlul sincronismului  $x-x'$  ,  $y-y'$  , se poate utiliza un singur oscilator pilot pentru ambele axe. In acest caz , primarele selsinelor emitatoare sunt in paralel .

Datorita faptului ca rezolverul msz sau selsinele msy sunt dispozitive scumpe , circuitele s-au dimensionat de asa maniera , incat aparitia componentei continue in primar si deci a curentului de scurtcircuit , sa nu deterioreze rezolverul sau selsinele , ci mai degraba sa introduca in limitare sursa stabilizata de  $+/-15V$  sau , in cel mai rau caz , sa distruga transistoarele T1 si T2 ( pe post de fuzibil ).

### 2.2.2. Formarea tensiunii rectangulare in scopul refacerii purtatoarei

In figura 2.14. se prezinta formatorul de purtatoare .

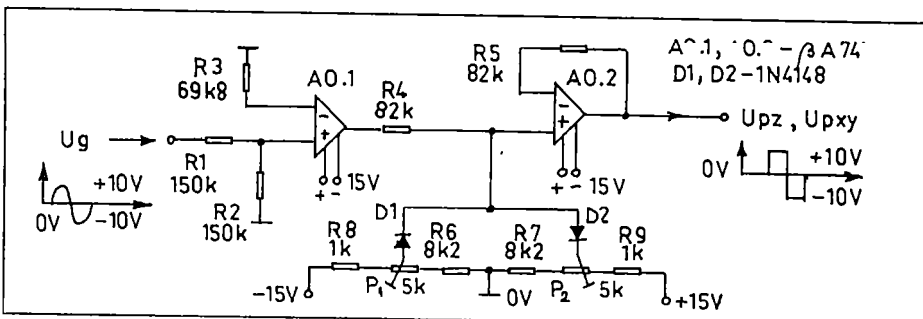


Fig. 2.14. Formatorul de purtatoare  $P_z, P_{xy}$

Frecventa purtatoare de 1,3 kHz utilizata ca referinta pentru demodulatoarele sincrone , trebuie transformata ca forma , din sinusoidal in rectangular .

Pentru realizarea demodularii precise, este necesar ca limitarea la +10V , respectiv , la -10V , a celor 2 alternante sa se stabilieasca foarte precis si sa se garanteze pastrarea in timp .

Cu potentiometrele P1 si P2 se stabilesc cele doua limite de +10V si -10V ale tensiunii  $Upz$  , respectiv ,  $Up_{xy}$  .

AO.1 este repetor , cu impedanta mare de intrare .

### 2.2.3. Demodularea sincrona in lantul referintelor de viteza x, y si in lantul erorilor de pozitie $x-x'$ , $y-y'$

S-au experimentat mai multe variante de demodulatoare sincrone . Varianta care se prezinta in figura 2.15. se considera optima , pentru ca asigura o stabilitate de ordinul 1/10.000 a tensiunii demodulate la variatia temperaturii intre +5 ... +40°C Pe de alta parte , ofera avantajul de a nu folosi transformatoare defazoare , care ar mari gabaritul si manopera la executie .

Demodulatorul este de tipul in inel , cu diodele D1 ... D4.

La bornele A, B se aplica semnalul "purtat" generat de rezolver ( cu amplitudine variabila ), iar la bornele C, D se aplica semnalul "purtator" (Rectangular, de 1,3 kHz, cu amplitudine constanta ).

Pentru asigurarea demodularii bialternanta , s-a recurs la formarea unei prize mediane virtuale ( intre R1 si R2 ) legata la masa, avand in vedere ca rezolverul nu dispune de priza mediana . Pentru aceasta, se utilizeaza rezistentele R1, R2 .

Se remarcă soluția defazării cu  $180^\circ$  , de precizie , cu amplificatorul operational AO.1 , a semnalului purtator aplicat la borna C . Astfel , la borna D , semnalul este defazat cu  $180^\circ$  față de semnalul la borna C .

Din punctul median situat între R3 și R4 se culege semnalul demodulat , nefiltrat , atenuat . Acest semnal se aplica amplificatorului operational AO.2 , care amplifica și filtrează acest semnal , generând la ieșire o tensiune continuă care are excursia între -10V și +10V .

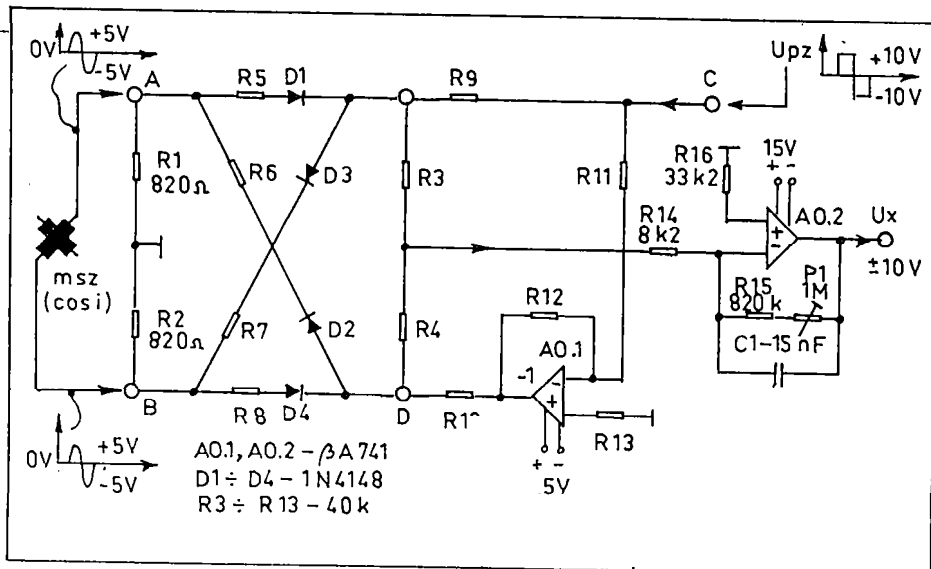


Fig. 2.15. Demodularea sincrona in lantul referintei de viteza x (cos i)

Stabilirea acestor limite se face cu potentiometrul P1 . Egalitatea valorilor absolute ale limitelor de -10V si +10V , este asigurata prin pretentia utilizarii unei tolerante sub 1% la rezistentele R1 ... R10 . De altfel, rezistentele R5 ... R8 in serie cu diodele D1 ... D4 au rolul de a egaliza rezistentele dinamice in sens direct ale diodelor D1 ... D4 .

Echipamentele de conturare la scara 1:1 sunt prevazute cu 2 demodulatoare sincrone ( DSX, DSY ) . Echipamentele de conturare la scara redusa sunt prevazute cu 4 demodulatoare sincrone ( DSX DSY, DSXX', DSYY' ).

#### 2.2.4. Realizarea accelerarii constante Demaroarele X, Y

Masinile automate de taiere termica prin urmarire optica de desene, de cele mai multe ori, dispun si de posibilitatea taierei benzilor, dupa directia x sau dupa directia y . De asemenea, dispun si de posibilitatea deplasarii rapide pe distanta mare , in scopul pozitionarii unei noi debitari . Pornirea si oprirea unor mase inertiale mari , la viteza mare , impune prevederea unui dispozitiv de accelerare constanta, pentru a se evita supracentrui mari de pornire / franare la motoarele electrice . Aceste curenti sunt mai mari mai ales in cazul in care la aceste actionari se utilizeaza motoare electrice cu rotor disc cu inerție redusa .

Aceste dispozitive, numite demaroare electronice, sunt dispuse in lantul referintelor de viteza, inainte de multiplicarea cu o constanta kv numai pentru prescrierea manuala a vitezei .

In figura 2.16. este prezenta o varianta de demaror .

Cu ajutorul contactelor K1, K2, K3, se selecteaza una din tensiunile : Ux0, Ux1, Ux2 . Selectarea tensiunilor Ux1, Ux2, pentru deplasarea pe o axa inainte sau inapoi conduce la variația tensiunii la ieșire (Ux) liniar variabil, cu o panta / rampa determinata de C1 si R3 .

AO.2 lucreaza in regim de integrator .

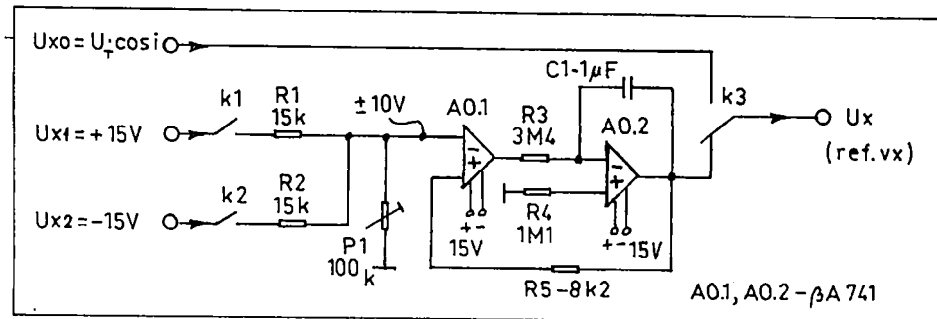


Fig. 2.16. Demaror X

In situatia reprezentata in figura 2.16. combinatia contactelor K1, K2, K3, determina la iesire  $U_x = 0V$ . Actionarea lui K1 si K2 conduce la secventa reprezentata in figura 2.17.

Datorita reactiei globale prin  $R_5$ , se remarcă existența tensiunii zero la iesire  $U_x = 0$  cu o precizie foarte mare. Acest lucru este absolut necesar in cazul echipamentelor de conturare.

Tensiunea  $U_{x0} = U_T \cdot \cos i$  nu este supusa actiunii de intarziere si este prioritara, in cazul secventei de urmarire automata ( prin K3 ) a liniei desenate ( "lectura" ).

Similar cu demarorul X, exista inca un demaror Y .

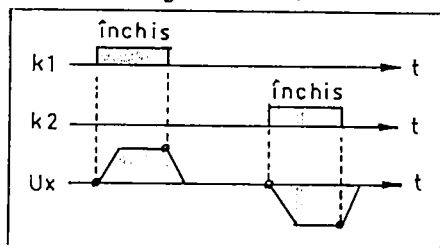


Fig. 2.17. Tensiunea generata de demarorul X

### 2.2.5. Multiplicarea cu o constanta $k_v$ a referintelor de viteza x, y

Inainte de a se aplica variatoarelor de turatie x,y , referintele de viteza :  $U_x = 10 \cdot \cos i$  si  $U_y = 10 \cdot \sin i$  sunt reduse corespunzator cu viteza tehnologica dorita. Pentru a nu se produce o rotire a vectorului viteza tangentiala  $v_T$  , ci numai o modificare a modulului acestui vector, reducerea tensiunilor  $U_x$ ,  $U_y$  trebuie sa se faca proportional, cu acelasi coeficient "kv". Conform figurii 2.1. functia este realizata de multiplicatoarele M3, M4 :

$$U_{vx} = kv \cdot U_x \quad (2.6.)$$

$$U_{vy} = kv \cdot U_y \quad (2.7.)$$

$$kv = 0 \dots 1 \quad (2.8.)$$

Solutia cea mai simpla consta in utilizarea potentiometrului dublu, ca in figura 2.18. Desi solutia este simpla, prezinta 2 inconveniente :

a) Coeficientul  $kv$  nu este riguros acelasi pentru cele 2 potentiometre, la diferite pozitii ale cursoarelor .

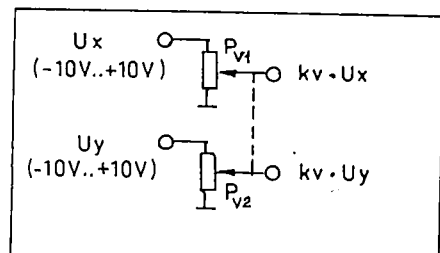


Fig. 2.18. Multiplicarea cu ajutorul potentiometrului dublu

Aceasta conduce la rotirea vectorului viteza tangentiala  $v_t$  deci la erori diferite ale pozitiei, in timpul urmaririi liniei desenate, in functie de viteza de avans prescrisa cu  $P_v$ . Oferta de potentiometre duble, cu precizie foarte mare a liniaritatii, este mica.

b) Fiind piesa de uzura, datorita manipularilor permanente pe panoul de comanda, fiabilitatea sistemului este afectata destul de mult.

Gasirea altor solutii este ingreunata din cauza faptului ca tensiunile  $U_x$  si  $U_y$  au valori de ambele semne si sunt diferite pe cele doua axe  $x$ ,  $y$ .

In figura 2.19. este prezentat un multiplicator realizat pe principiul choppului cu umplere variabila. Coeficientul  $k_v$  este chiar coeficientul de umplere. Precizia pastrarii lui  $k_v$  pe ambele axe  $x$ ,  $y$ , este foarte mare. Comanda  $k_v$  se realizeaza cu un singur potentiometru  $P_v$ .

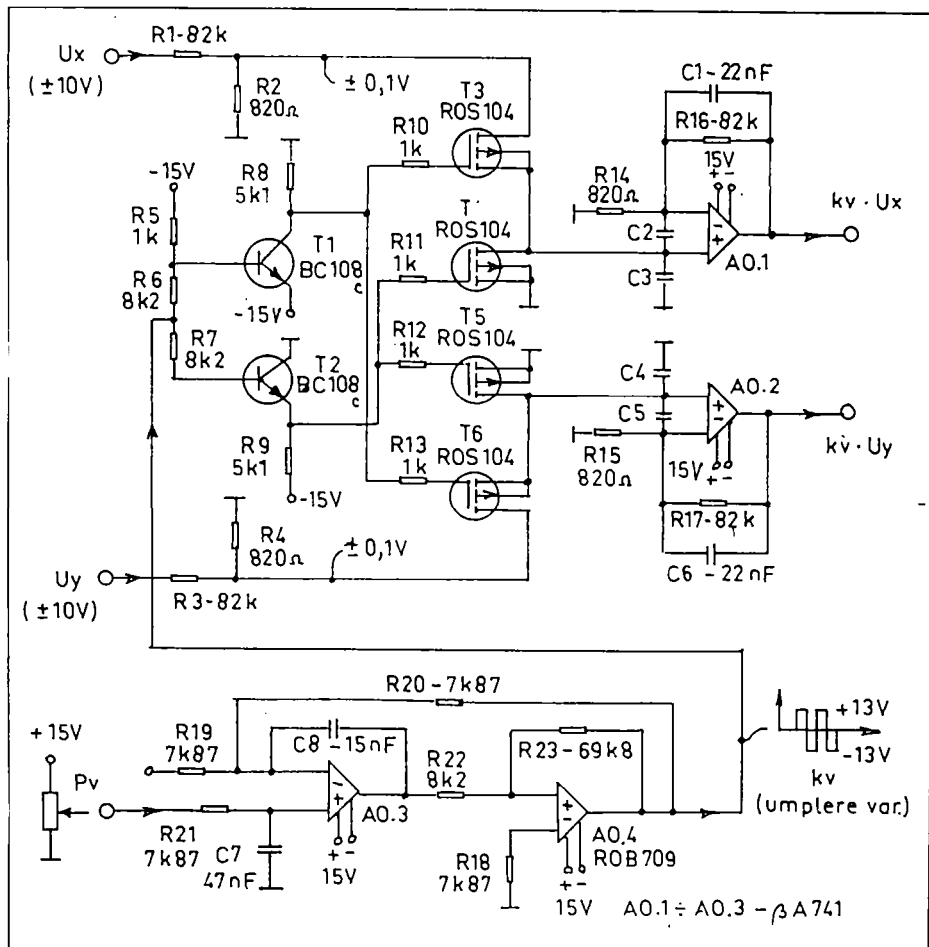


Fig. 2.19. Multiplicator cu chopper serie - sunt

Tranzistoarele cu efect de camp T3, T4 realizeaza chopparea tensiunii  $U_x$ . Tranzistoarele cu efect de camp T5, T6 realizeaza chopparea tensiunii  $U_y$ . Fiecare chopper este de tipul se-

Divizoarele rezistive R1/R2 , R3/R4 coboara tensiunea Ux la  $Ux/100$  , respectiv , Uy la  $Uy/100$  , in domeniul liniar de lucru in regim de rezistenta variabila a tranzistoarelor T3 ... T4 .

Chopperul prezentat in figura 2.19. prezinta o dependenta neliniara intre kv si pozitia unghiulara a cursorului potentiometrului Pv . In figura 2.20. este prezentata o varianta de chopper cu dependenta liniara .

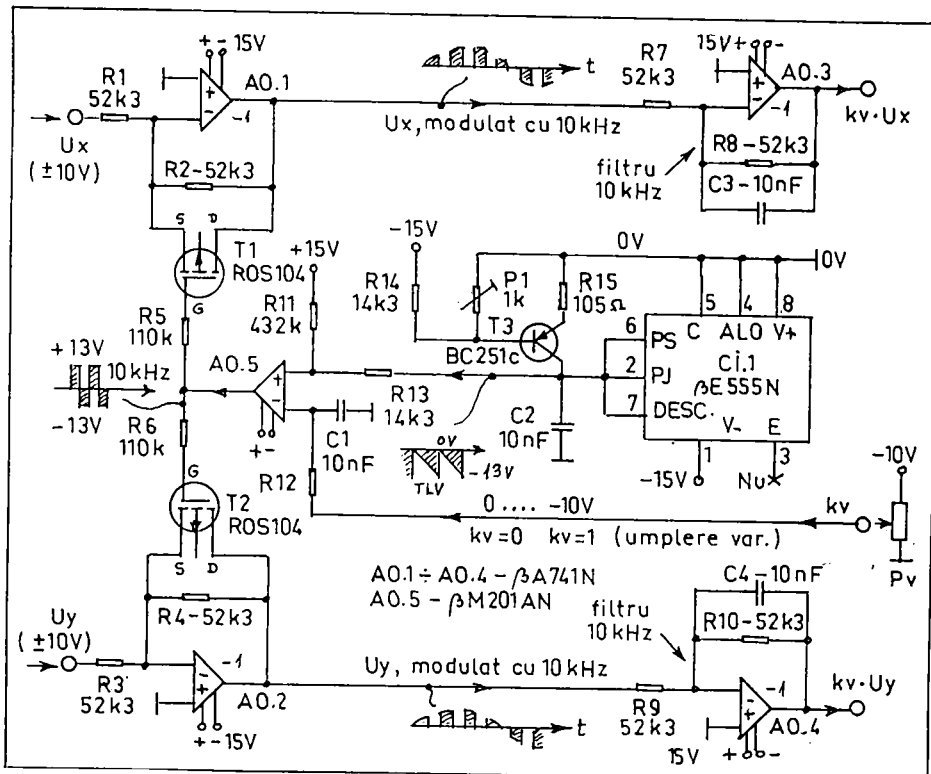


Fig. 2.20. Multiplicator cu chopper cu dependenta liniara  $kv - Pv$

Daca tensiunea generata de Pv este 0V , atunci  $kv = 0$  ; daca tensiunea generata de Pv este (-10V) , atunci  $kv = 1$  .

In principiu , multiplicarea cu o constanta se poate face si la nivelul tensiunii alternative  $Ug$  generate de G1 , cu referire la figura 2.7. In acest caz , insa , apar erori suficient de mari la nivelul formatorului de purtatoare  $Pz$  , in domeniul tensiunilor mici  $Ug$  , de aceea , acest sistem a fost abandonat .

## 2.2.6. Detectia pierderii sincronismului $x-x'$ , $y-y'$

Similar cu situatia pierderii urmaririi liniei desenate (" pierdere traectorie - PT " ), in cazul urmaririi la scara redusa , apare suplimentar posibilitatea pierderii sincronismului ( de avarie ) , fie pe axa x (PSX) , fie pe axa y (PSY) . Si in acest caz , pentru a nu se rebuta piesa taiata , echipamentul este prevazut cu doua dispozitive de sesizare a pierderii sincronismului , care blocheaza in mod automat taierea si avansul . In figura 2.21. este prezentat un dispozitiv de detectie a pierderii sincronismului .

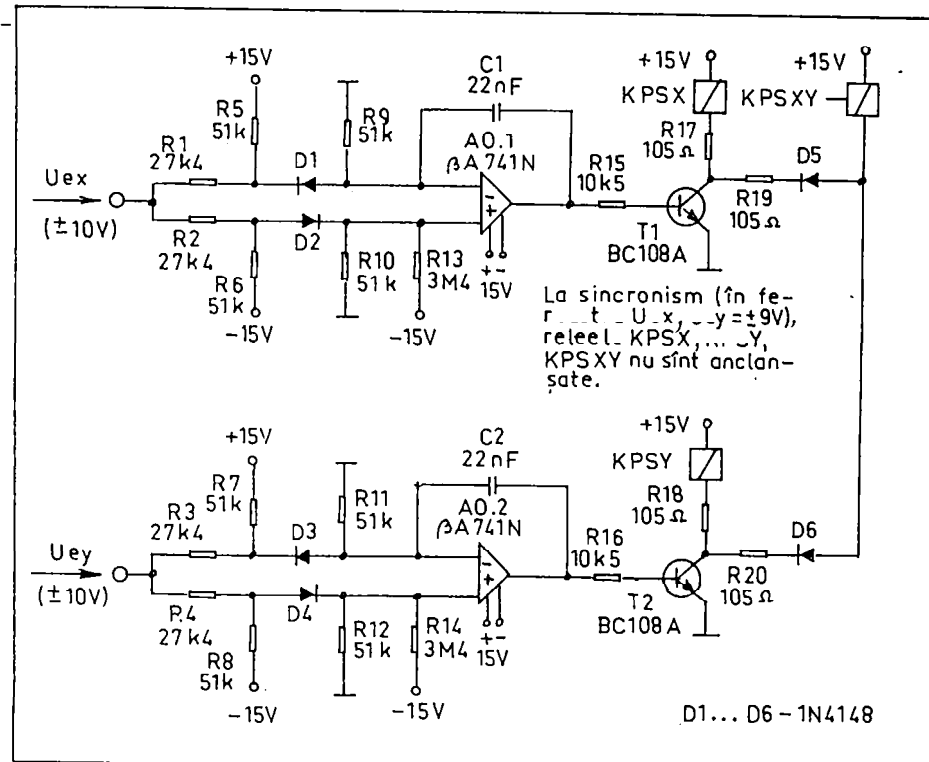


Fig. 2.21. Detectia pierderii sincronismului PSX, PSY

Releele KPSX si KPSY sunt cuplate, la pierderea sincronismului . La intrare se aplica tensiunile de eroare de pozitie  $U_{ex}$  ,  $U_{ey}$  , care pot lua valori in domeniul  $-10V \dots 0V \dots +10V$  . Daca  $U_{ex}$  ,  $U_{ey}$  au valori cuprinse in fereastra ( $-9V \dots +9V$  ) , atunci se considera ca nu este pierdut sincronismul si releele KPSX , respectiv KPSY , nu sunt anclansate .

### 2.2.7. Reglarea automata a distantei intre diuza si materialul de taiat

Aceasta actiune este necesara in cazul tablelor subtiri , care prezinta fenomenul de ondulare . Mantinerea distantei intre diuza si materialul de taiat este imperios necesara , in special in cazul tacierii cu plasma si cu laser .

In practica s-au impus urmatoarele tipuri de dispozitive :

- a) Cu rola
- b) cu microcontacte
- c) cu perna de aer comprimat
- d) cu traductor inductiv de distanta
- e) cu traductor capacativ de distanta

In cazurile b, d, e, suportul aparatului de taiere este prevazut cu servomotor . De obicei , regulatorul care-l comanda, nu este proportional ci tripozitional cu fereastra .

Se noteaza ca nici unul din tipurile de dispozitive nu ofera performantele dorite, de aceea de cele mai multe ori, se prefere comanda manuala a pozitiei apparatului de taiere fata de material. In cazul traductorului capacativ, de exemplu, nu se poate asigura distanta constanta in cazul tajerii la margininea tablei, pentru ca suprafata condensatorului echivalent este  $1/2$  sau  $1/4$  din suprafata armaturii condensatorului echivalent.

Principiul de functionare rezulta din figura 2.22.

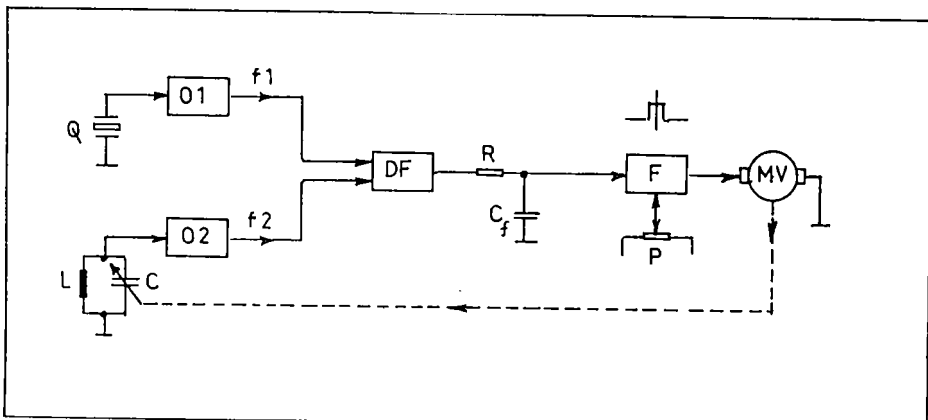


Fig. 2.22. Regulator de distanta diuza - material, realizat cu traductor capacativ CV

Detectorul de raport DF compara semnalele generate de oscilatoarele : O1 cu frecventa constanta si O2 cu frecventa variabila. Semnalul rezultat din comparare se aplica la regulatorul tripozitional cu fereastra F si apoi servomotorului MV (vertical). Condensatorul CV este traductorul capacativ de masura aflat in bucla de reglare. Cu potentiometrul P se prescrie distanta diuza - material.

Traductoarele capacitive nu se pot utiliza la tajerea materialelor nemetalice, iar traductoarele inductive se utilizeaza numai la materialele feromagnetice. Regulatoarele cu perna de aer au dezavantajul ca produc praf prin suflarea aerului comprimat. In cazul tajerii cu plasma, sub apa nu se pot utiliza traductoare capacitive nici regulaatoare cu aer comprimat.

#### 2.2.8. Sanfrenarea tripla automata pe contur

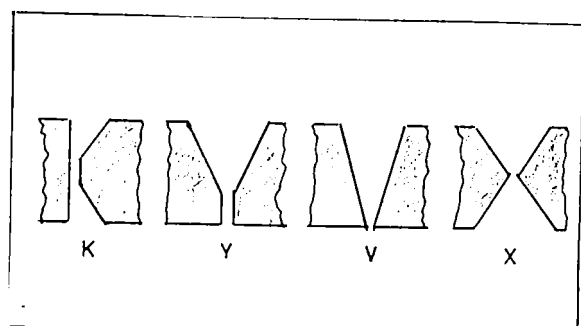


Fig. 2.23. Moduri de sanfren

Sanfrenarea se executa in scopul sudarii ulterioare a piezelor debitate. In figura 2.23. sunt prezentate diferite moduri de sanfren .

Taierea in sanfren (inclinata) se realizeaza numai in cazul procedeului de taiere oxigaz . Se utilizeaza 2 sau 3 aparate de taiere simultana , cu o decalare spatiala de cca. 5-10 mm, unul fata de altul , masurat pe conturul tajeturii ( aparatele de taiere 1, 2, 3, nu sunt in acelasi plan ).

Sanfrenarea la taierea in linie dreapta nu pune probleme deosebite . Insa in cazul sanfrenarii pe contururi curbe, se pune problema rotirii capului multiplu de taiere cu unghiul  $i'$ , intru a-1 m t ... a... si pozitie fata de normala la contur , conform figurii 2.24.

In cazul taierii prin urmarire optica de desene cu cap optic rotitor capul multiplu de taiere se roteste cu unghiul  $i'$ , sincron cu unghiul  $i$  al capului optic .

Regulatorul de pozitie este similar cu cel din figura 2.9. Servomotorul  $mz'$  , care roteste capul multiplu de taiere , aduce tot timpul in sincronism selsina ( sau sincrorezolverul )  $msz'$  ( de pe capul multiplu 'a ere ) cu  $msz_1$  ( din capul optic rotitor ), conform figurii 2.25.

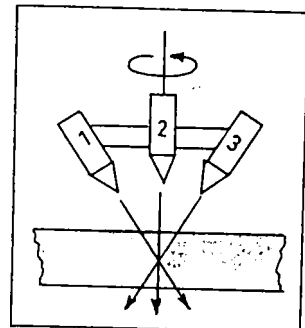


Fig. 2.24. Rotirea capului multiplu de taiere

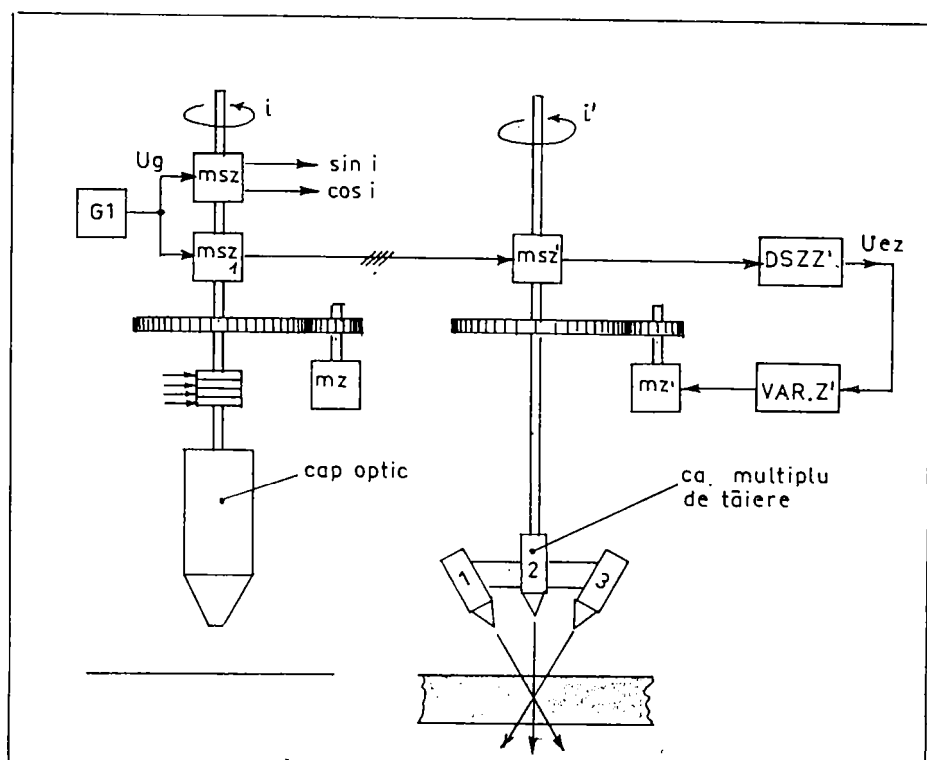


Fig. 2.25. Sincronizarea rotirii capului multiplu de taiere , cu rotirea capului optic

Demodulatorul sincron DSZZ' este similar cu DSX, DSY, DSXX' DSYY'. Tensiunea de eroare Uez comanda variatorul de turatie VAR.Z' pentru actionarea motorului "slave" mz'. Legarea selsineelor msz1 si msz' intre ele , se face similar cu legarea selsineelor msx-msx' , msy-msy' , reprezentate in figura 2.9.

Capul multiplu de taiere mareste considerabil pretul echipamentului . Inafara de faptul ca necesita : 1 motor, 2 selsine, 1 reductor, 1 variator, - capul multiplu de taiere necesita 3 camere inelare colectoare pentru : oxigenul de taiere , oxigenul de incalzire si gazul combustibil. Aceste camere colectoare dispun de garnituri speciale pentru etansare , cu fiabilitate suficient de scazuta . De aceea , achizitionarea unui cap multiplu de taiere trebuie sa fie bine motivata din punctul de vedere al unor necesitati cu total speciale .

#### 2.2.9. Reglarea turatiei x,y . Variatoare de turatie specific echipamentelor de conturare

Actionarile x,y ( variator + motor + reductor ), specific echipamentelor de conturare trebuie sa exceleze prin aspectele :

a) Gama foarte larga de turatie, la cuplu de sarcina variabil 5 ... 3.000 rpm. (1 / 6.000), pentru a nu rezulta taietura in trepte . In special , se urmareste ca turatia minima sa fie cat mai apropiata de zero .

b) Timp de raspuns cat mai mic , pentru a se reduce rotunjirea colturilor conturului, sau a suprareglarilor de pozitie .

c) Joc zero la reductoarele cu roti dintate , actionarea fiind reversibila si de precizie sporita . Pentru a se asigura joc cat mai mic la rotile dintate , se recurge la raport de transmisie foarte mic, chiar daca este in detrimentul utilizarii rationale a motorului electric , sub aspectul raportului gabarit / putere .

Tinand seama de aceste aspecte , alegerea motoarelor de actionare nu se face din conditia de incalzire , ci din conditiile prevazute la punctele a), b), c). Aceasta conduce la necesitatea asigurarii unei rezerve pentru cuplul dinamic, deci se ajunge la o supradimensionare de 10 ... 50 ori a puterii motorului electric , fatala de dimensionarea din conditia termica .

In contradictie cu aceste aspecte se prezinta faptul ca actionarile x,y fiind dispuse pe echipamentul mobil ( de cele mai multe ori ) , greutatea trebuie sa nu fie prea mare . Raporturi bune gabarit / putere sunt oferite de motoarele de curent continuu, de asemenea , acestea ofera o gama larga de turatie si sunt reversibile . Se utilizeaza cu succes motoarele de curent continuu cu inertie redusa , cu rotor disc, cum ar fi de exemplu tipul " SRD-350 ", cu tahogenerator incorporat . Utilizandu-se in mare parte la utilajele de conturare pentru taiere termica , se prezinta, cu titlu informativ, caracteristicile motorului SRD-350 :

- puterea nominala - 350 watt
- cuplul nominal - 1,12 N.m
- cuplul maxim - 12 N.m
- turatia nominala - 3000 rpm
- tensiunea nominala - 60 V
- curentul nominal - 7,4 A
- momentul de inertie - 0,00016 kg.m
- constanta de timp mecanica - 0,0055 secunde

(145)

La masinile cu gabarit mic (cu ecartament sub 2 metri) , de exemplu la masina " MATTO-G " , se utilizeaza motoare de curent continuu de tipul " MA-13 " , " MAA-13 " . Tot cu titlu informativ se dau caracteristicile motorului " MAA-13 " :

- puterea nominala - 13 watt
- cuplul nominal - 0,022 N.m
- turatia nominala - 6.000 rpm
- tensiunea nominala - 12 V
- curentul nominal - 2,5 A
- greutatea - 420 grame

In cazul motoarelor MA-13 , MAA-13 , se propune variatorul prezentat in figura 2.26.

Regulatorul de turatie este realizat cu amplificatorul operational AO.6 , de tipul 8A.741N , la care este conectata si reteaua de acordare a regulatorului, formata din R18, R19, R20, C9

La borna 1 se aplica referinta de viteza kv . Uey , care poate lua valori cuprinse intre -10V si +10V .

Ao.5 este un inversor (amplificare A = -1) , dar are si rolul de a bloca referinta de viteza cand T5 este in conductie .

Comanda pe grila este blocata cu T6 (in conductie) , simultan cu blocarea tensiunii liniar variabile (prin AO.4, D12, R3).

La borna 2 se aplica tensiunea de blocare : la 0V se produce deblocarea , la +10V ... +15V se produce blocarea .

AO.2 are rolul de deplasare nivel in domeniul +/-15V necesar pentru comanda tranzistorului T5 . AO.3, D5, R14, C8, realizeaza o temporizare a momentului blocarii comenzii pe grila fata de momentul blocarii referintei de viteza . In acest fel , se acorda timp ( 50 ... 100 ms.) pentru fenomenul de franaire in contracurent , prin bucla de reglare , in cazul comenzii de oprire.

La bornele 24, 25, se aplica tensiunea alternativa de sincronizare a generatorului de tensiune liniar variabila (TLV) , de 50 Hz .

Amplificatoarele operationale AO.7, AO.8, lucreaza in regim de comparator . Se compara tensiunea liniar variabila cu semnalul de eroare de viteza , realizandu-se conversia tensiune - defazaj . AO.7 afecteaza numai sensul pozitiv de rotatie a motorului , iar AO.8 afecteaza sensul negativ de rotatie .

Cu potentiometrul P1 se stabileste curentul de circulatie .

Tranzistoarele T3, T4, blocheaza succesiv comanda pe grila la tiristoarele Ti1, Ti2 si anume numai alternantele corespunzatoare neconductiei , pentru a nu "obosi" poarta tiristoarelor in mod inutil .

Daca pe axul motorului se cupleaza un tahogenerator , reactia de turatie se aplica la borna 11 . Daca nu se dispune de tahogenerator , echipamentul functioneaza satisfactor si numai cu reactie de tensiune . In acest caz, se face o puncte intre bornele 6-9 si 11 . Pentru cele 2 cazuri se stabilesc pozitii diferite de reglare a potentiometrului P2 .

Se remarcă gabaritul suficient de redus al variatorului de turatie ( 160 x 100 mm ) , util in cazul masinilor usoare .

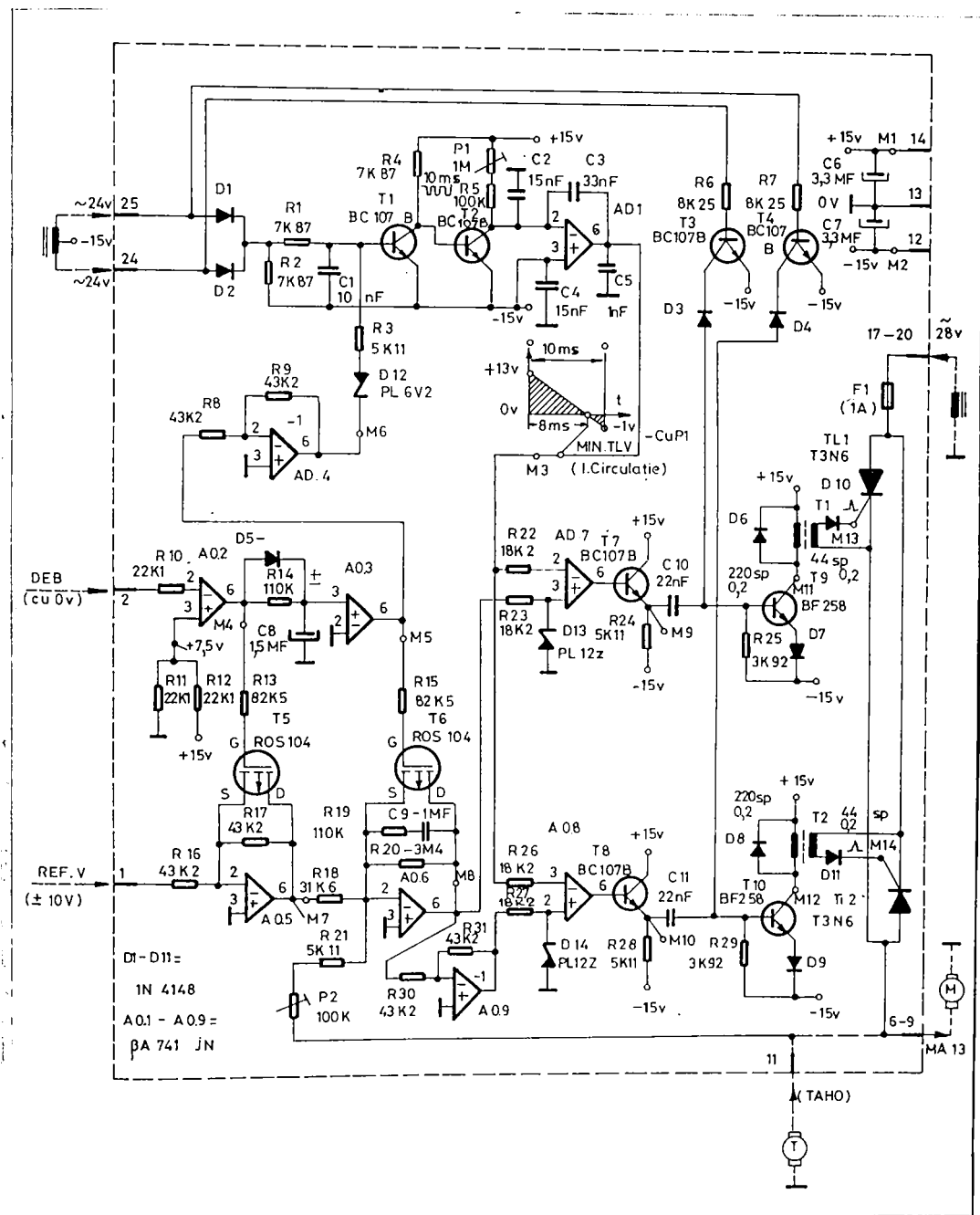


Fig. 2.26. Variator de turatie reversibil,  
monoalternanta, pentru motor  
MA-13, MAA-13

### 2.3. Compensarea automata pe normala la contur a fantei taieturii

#### 2.3.1. Fanta taieturii

Diverse procedee tehnologice de taiere conduc la forme si dimensiuni diferite ale fantei taieturii, conform figurii 2.27.

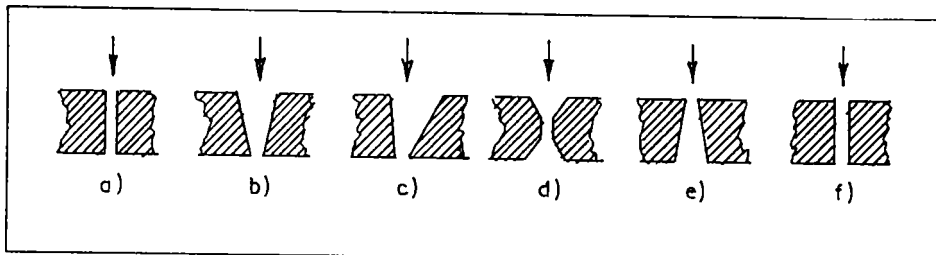


Fig. 2.27. Diverse forme ale fantei taieturii :

- a) taierea oxigaz
- b) taierea cu plasma laminara (simetric)
- c) taierea cu plasma turbionata (nesimetric)
- d) taierea cu fascicul laser focalizat in piesa
- e) taierea cu fascicul laser focalizat sub piesa
- f) taierea cu jet de apa sub presiune

In general , taierea oxigaz produce o fanta cu pereti paraleli , intr-o gama relativ larga a grosimii tablei . In domeniul de grosimi 5 ... 150 mm , fanta taieturii are valori cuprinse intre 1,5 ... 4,5 mm , iar viteza de avans este de 500 ... 50 mm / minut.

In cazul taierii oxigaz de inalta presiune si viteza marita ("higher cutting speeds"), fanta taieturii este cu 20 ... 30% mai mica, in conditiile maririi vitezei de avans cu 20 ... 30%.

Taierea cu jet de plasma, fiind un procedeu de taiere de inalta energie , produce fanta de taiere mai mica decit procedeul cu oxigaz , bineinteles viteza de avans este mai mare , depasind in unele cazuri, 6 metri / minut . Fanta insa, are un aspect mai putin placut, in forma de V, iar in cazul taierii cu turbionare, rezulta un V nesimetric (12).

Taierea cu fascicul laser este motivata, economic, la materialele subtiri, oferind viteza de avans foarte mare. De exemplu pentru nylon gros de 0,1 mm este necesara o viteza de 200 metri/minut (22). Fanta taieturii la taierea de materiale diverse este de 0,1 ... 3,5 mm (22). O fanta ingusta se obtine la " focalizarea scurta " (lentila cu distanta focala mica), dar in acest caz peretii taieturii nu rezulta paraleli , in special la grosimile mari de materiale. La acestea se recomanda " focalizarea lunga " dar in acest caz , fanta taieturii este mai mare , iar procedeul incepe sa nu fie motivat economic , datorita vitezei mici de avans si consumului energetic.

Taierea cu jet de apa sub presiune realizeaza fante de 1,2 ... 2,5 mm (14) . Acestea se realizeaza cu un jet cu diametrul de 0,1 mm.

#### 2.3.2. Problema compensarii fantei taieturii

Compensarea fantei taieturii consta in decalarea aparatului de taiere cu jumate din fanta taieturii , in scopul incadrarii piesei debitata in cotele prescrise ( figura 2.28. ).

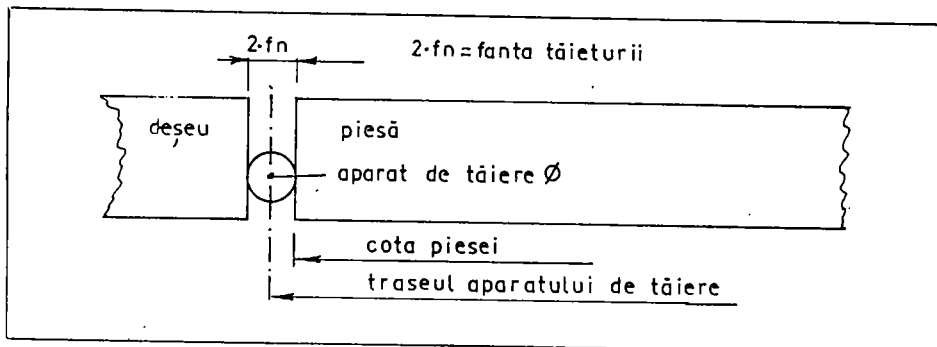


Fig. 2.28. Compensarea fantei tăieturii

Problema este deosebit de simpla in cazul benzilor , dar in cazul contururilor de forma complexa , se recurge la procedeele de compensare pe normala la contur.

Pentru a se realizea piesa la cotele prescrise : sau se executa un desen compensat cu  $1/2$  din fanta tăieturii , sau se utilizeaza un dispozitiv de compensare automata in decursul taierei

Prima solutie nu se utilizeaza de obicei , pentru ca valoarea compensarii nu este cunoscuta de desenator (sau programator, in cazul NC ), ci de tehnologul care deserveste masina. Deci corectia trebuie sa fie la indemana tehnologului si sa fie reglabilă . Compensarea trebuie sa aiba semn (+) si semn (-) , pentru a exista posibilitatea urmaririi conturului in doua sensuri , la alegere.

Dispozitivul de compensare se poate prevedea in cazurile :

- urmarire desene la scara 1:1
- urmarire desene la scara redusa ( 1:10 , 1:5 )
- comanda numerica

O problema delicata (in toate cele 3 cazuri) este urmarirea colturilor ascutite ale conturului, pe exterior sau pe interior, conform figurii 2.29.

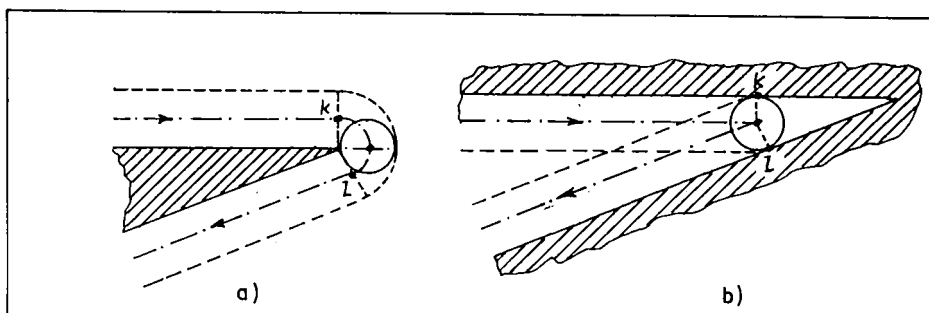


Fig. 2.29. Compensarea fantei tăieturii  
in zona colturilor ascutite:  
a) pe exterior; b) pe interior

In cazul compensarii pe exterior, sansa de a obtine colturi ascutite este mai mare . Se remarcă in figura 2.29. ca traseul aparaturii de tăiere pe portiunea k-l este un arc de cerc , rezultind totusi colt la piesa debitata . Transformarea punctului (ideal) in arc de cerc se realizeaza printr-un software special, in cazul controlului numeric.

Mai dificil este cazul b). Aici, intre punctele  $k$  si  $l$  rezulta intotdeauna o rotunjire a coltului. Pentru a fi cit mai multa, singura rezolvare consta in apelarea la procedeele de tajere cu densitate mare de energie (laser si plasma), care realizeaza fante inguste ale taieturii.

Există 2 procedee de compensare automata :

- compensare mecanica
- compensare electronica

### 2.3.3. Compensarea mecanica

Compensarea mecanica se poate aplica atit la urmarirea optica la scara 1:1 (cu legatura rigida intre apparatul de tajere si capul optic), cit si la urmarirea optica la scara redusa (cu legatura electrica de sincronizare intre miscarea apparatului de tajere si miscarea capului optic). Compensarea mecanica se aplica numai la capurile optice rotitoare.

#### 2.3.3.1. Compensarea mecanica prin translatie

Capul optic este prevazut cu un vernier, cu care se poate deplasa fotocelula, pe directia normala la contur. Se remarcă faptul ca odata cu deplasarea fotocelulei se deplasează și becul de iluminare, pentru a asigura iluminare constantă în zona "vazuta" de fotocelula.

Se poate vorbi de o dubla excentrizare a axului optic "o" fata de axul mecanic, realizata cu 2 verniere:

- o excentrizare  $mm'$ ,  $mm''$ , pe normala la contur, in scopul compensarii fantei taieturii.
- o excentrizare  $mo$ , pe tangentă la contur, in scopul direcționării vectorului viteza de avans.

Acest lucru este evidențiat în figura 2.30.

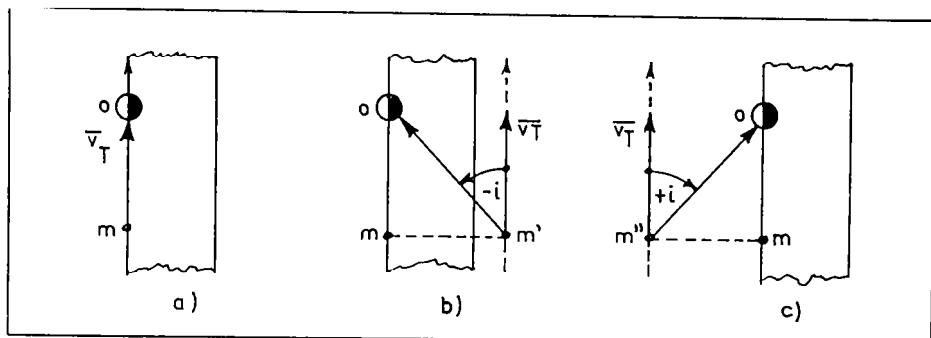


Fig. 2.30. Dubla excentrizare a fotocelulei

- a) compensare 0
- b) compensare + ( $mm'$ )
- c) compensare - ( $mm''$ )

Aparatul de tajere urmareste trajectoria axului mecanic  $m'$ , respectiv  $m''$ . Decalajul  $mm'$ , sau  $mm''$ , se poate modifica în domeniul  $0 \dots fn$ , unde  $(2.fn)$  este fanta taieturii maxima realizată de apparatul de tajere. Practic, la capurile optice pentru urmarire la scara 1:1, vernierul se poate regla în domeniul  $(-2,5) \dots 0 \dots (+2,5)$  mm, rezultând o compensare a fantei taieturii de maxim 5 mm.

Compensarea produce abateri nedorite in zona colturilor conturului, conform figurii 2.31.

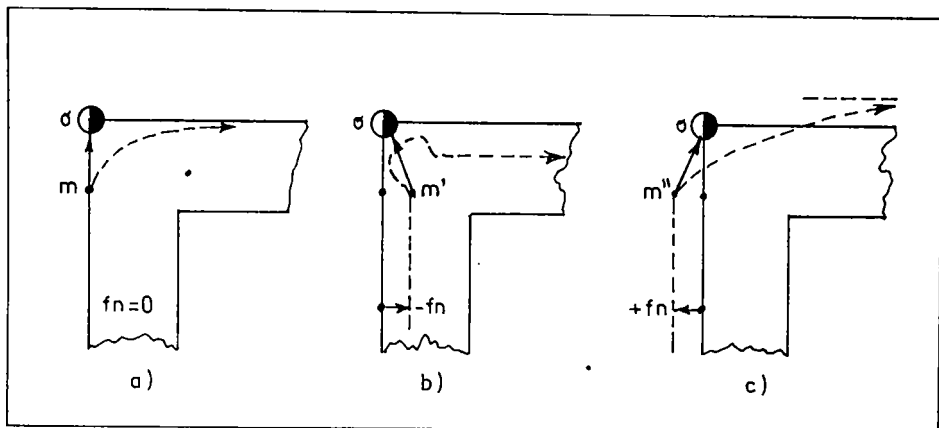


Fig. 2.31. Abateri nedorite in zona colturilor conturului  
 a) compensare 0  
 b) Compensare interioara coltului  
 c) Compensare exterioara coltului

Practic, se constata ca la compensare interioara coltului (cazul b), se obtine un colt pronuntat, iar la compensare exterioara coltului (cazul c), se obtine o rotunjire mai pronuntata decit in cazul compensarii zero (cazul a). Cu linie intrerupta s-a reprezentat traectoria aparaturii de taiere (axul mecanic).

#### 2.3.3.2. Compensarea mecanica prin rotatie

Se constata in figura 2.30. ca la o translatie  $mm'$ , corespunde o rotire cu unghiul  $+-i$  a vectorului optic  $m'o$ , respectiv  $m''o$ . Aceasta inseamna ca se realizeaza, de fapt, o rotire a sistemului de axe de coordonate electrice  $x_e, y_e$  fata de sistemul de axe de coordonate mecanice  $x, y$  (ghidajele masinii).

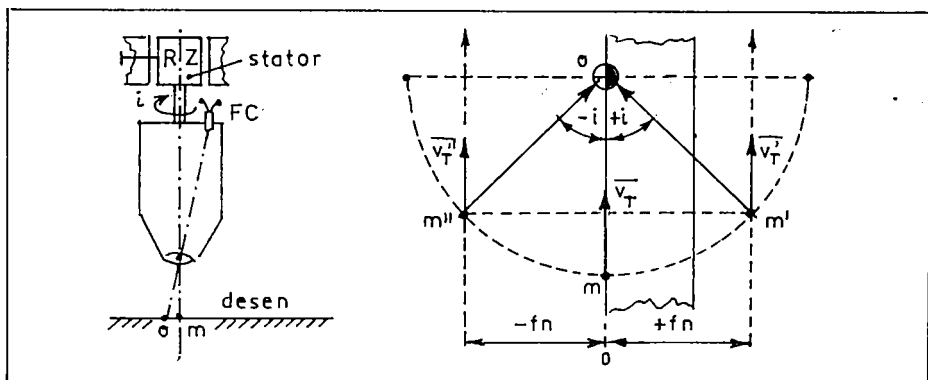


Fig. 2.32. Compensarea fantei taieturii prin rotirea rezolverului RZ in colierul sau de fixare

Aceasta conduce la ideea ca se poate realiza o compensare a fantei tăieturii și prin alt procedeu și anume, prin rotirea statorului rezolverului RZ în colierul sau de fixare, cu unghiul +/- i, conform figurii 2.32.

In acest caz insa, in exploatare, se constata ca la compensarile maxime +/- i, capul optic este instabil (intra in pendulara unghiulara). Explicatia rezida in faptul ca , pe masura crestterii unghiului i, proiectia vectorului optic m''o , m'o pe directia de avans vT, scade.

Fenomenul nu se produce in cazul compensarii prin translatie,conform figurii 2.30.In acest caz,proiectia vectorului optic m'o , m''o pe directia de avans vT, ramane constanta . In plus, vernierul are scala liniara.

### 2.3.3.3. Calibrarea vernierului de compensare a fantei tăieturii

Calibrarea pozitiei zero a vernierului se face tinand seama de efectul aditiv al compensarii prin translatie si al compensarii prin rotatie. Calibrarea se face la fabricatie,printr-o procedura specifica:

a) Se orienteaza segmentul mo, paralel cu o linie dreapta desenata . Garantia realizarii acestui fapt o da citirea valorii zero la iesirea traductorului optic, pe tot parcursul translatiei de la vernierul de excentrizare pe directia tangentei la contur mo. In tot acest timp, fotocelula "citereste" jonctiunea alb / negru a liniei desenate . Daca nu se realizeaza acest lucru , se roteste desenul, conform figurii 2.33.

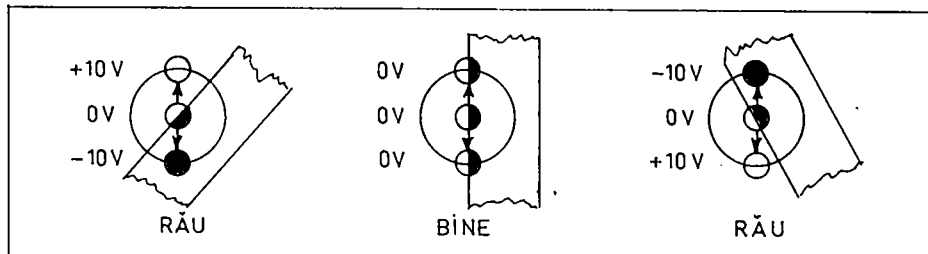


Fig. 2.33. Translatia tubului optic dupa tangenta la contur (pentru orientarea segmentului mo)

In acest fel, chiar daca fotocelula nu este dispusa pe compensare zero , exista garantia paralelismului segmentului mo cu linia desenata.

b) Se roteste manual tubul optic, exact cu 180 grade , conform figurii 2.34.

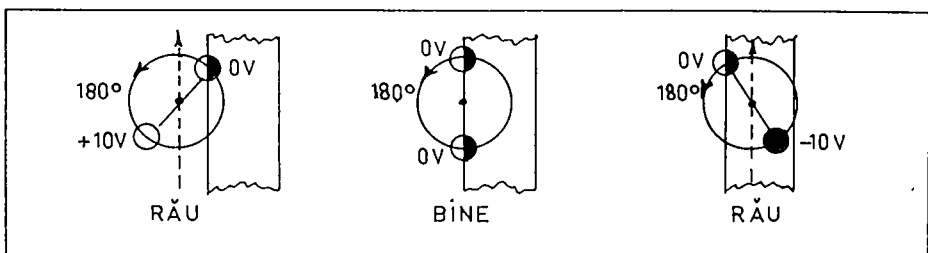


Fig. 2.34. Rotirea tubului optic cu 180 grade (pentru stabilirea compensarii 0)

In cele doua pozitii, trebuie ca tensiunea la iesirea transductorului optic sa se pstreze la valoarea zero. Daca nu se realizeaza acest lucru, se actioneaza vernierul de compensare (pe directia normala la contur).

Dupa aceasta operatie, exista garantia stabilirii compensarii si se traseaza pe vernierul de compensare diviziunea zero.

C) Apoi, in ultima faza, se urmareste optic ambele jonctiuni alb / negru ale unei linii desenate cu grosime calibrata x, conform figurii 2.35. Trebuie ca dispozitivul de scriere montat in locul aparaturii de taiere, sa realizeze aceeasi dimensiune calibrata x. Daca nu realizeaza acest lucru, se roteste statorul rezolverului RZ in colierul sau de fixare intr-o altitudine unghiulara si apoi se repeta proba. Aceasta operatie este necesara datorita efectului aditiv al rotirii rezolverului asupra compensarii fantei taieturii.

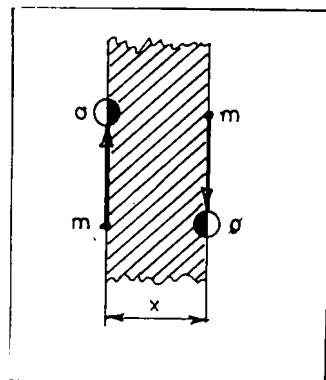


Fig. 2.35. Urmarirea unei linii desenate cu grosime calibrata x

#### 2.3.4. Compensarea electronica

Procedeul de compensare electronica se poate aplica numai la masinile cu legatura electrica de sincronizare intre miscarea apparaturii de taiere si miscarea capului optic. De obicei, aceste masini lucreaza la scara diferita de 1:1.

Ideea compensarii pe cale electronica, pleaca de la faptul ca motoarele  $mx'$ ,  $my'$  (pentru deplasarea apparatelor de taiere) pot fi decalate ca pozitie unghiulara, fata de motoarele  $mx$ ,  $my$  (pentru deplasarea capului optic). Deoarece decalajul trebuie sa fie constant pe normala la contur, este necesar un anumit algoritm de corespondenta intre unghiul  $i$  si decalajele actionarilor  $mx'$ ,  $my'$ .

In (55) se prezinta o metoda si un dispozitiv care realizeaza acest lucru :

Conform figurii 2.36. daca se face insumarea vectoriala pe axele x si y, rezulta referintele de viteza care se prescriu variatoarelor de turatie x si y:

$$U_{ref.x} = U_{vx} + U_{fx} = 10.kv.\cos i + 10.kf.\sin i \quad (2.9.)$$

$$U_{ref.y} = U_{vy} + U_{fy} = 10.kv.\sin i + 10.kf.(-\cos i) \quad (2.10.)$$

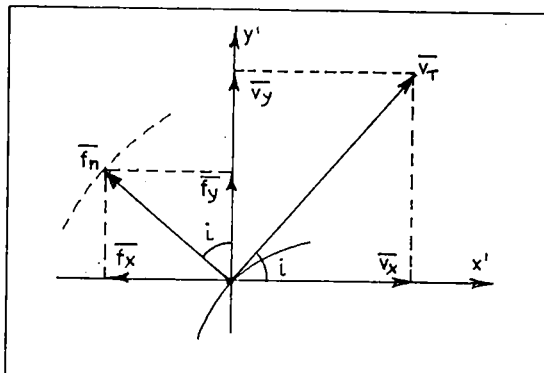


Fig. 2.36. Compunerea vectoriala a vectorului viteza de avans  $v_T$  cu vectorul compensare  $f_n$

In figura 2.36. :

$v_T$  este viteza de avans, pe tangenta la contur

$f_n$  este compensarea fantei taieturii, pe normala la contur

Relatiile 2.9. si 2.10. sunt valabile in ipoteza unei sincronizari perfecte  $x-x'$ ,  $y-y'$ . In practica, variatoarelor de turatie  $x', y'$  li se aplica si erorile de pozitie (de sincronizare)  $x-x'$ ,  $y-y'$ , noteate "U<sub>ex</sub>" si "U<sub>ey</sub>". In acest caz, relatiile 2.9. si 2.10. devin :

$$U_{ref.x'} = U_{vx} + U_{fx} + U_{ex} \quad (2.11.)$$

$$U_{ref.y'} = U_{vy} + U_{fy} + U_{ey} \quad (2.12.)$$

Termenii din relatiile 2.11. si 2.12., daca sunt transpusi in domeniul electric (lantul referintelor de la variatoarele de turatie), iau valori in domeniul (-10) ... 0 ... (+10) V. Aplicarea acestor tensiuni la variatoarele de turatie se face aditiv, prin rezistentele ponderate R<sub>v</sub>, R<sub>f</sub>, R<sub>e</sub>, conform figurii 2.37.

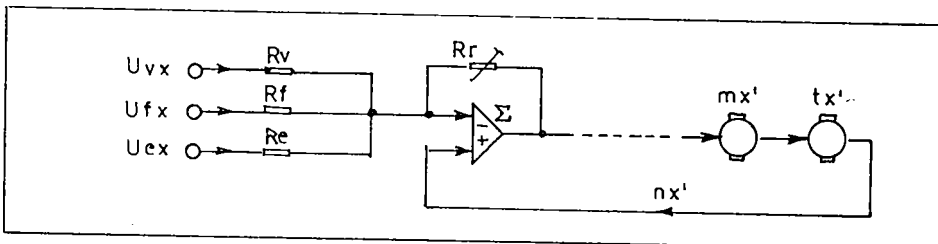


Fig. 2.37. Aplicarea semnalelor  $U_{vx}$ ,  $U_{fx}$ ,  $U_{ex}$ , la variatorul de turatie  $x'$

Dispozitivul de compensare automata nu complica prea mult echipamentul, avind in vedere ca si asa, sunt disponibile semnalele cos i, sin i si variatoarele de turatie  $x'$ ,  $y'$ . In figura 2.38. se prezinta schema de principiu a dispozitivului.

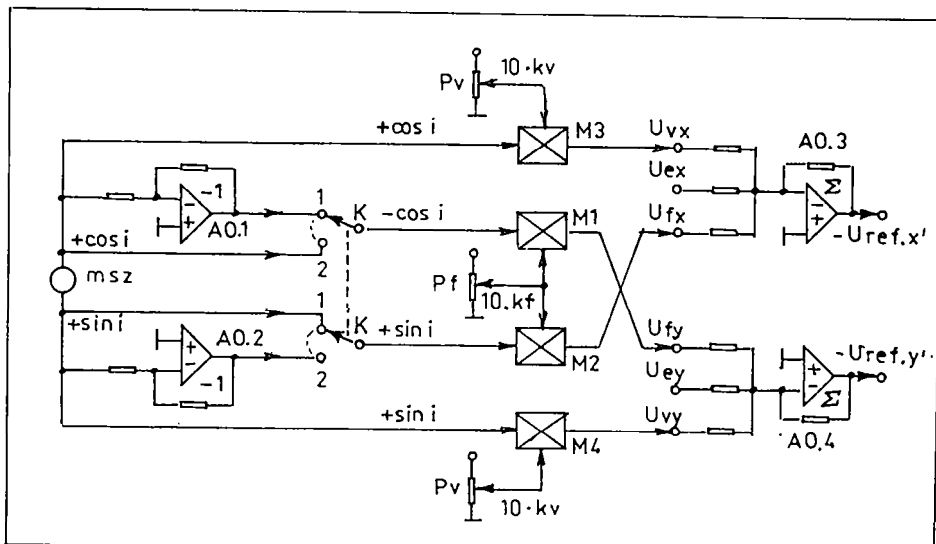


Fig. 2.38. Dispozitiv de compensare electronica automata a fantei taieturii

In figura 2.38. :

$$U_{vx} = 10 \cdot kv \cdot \cos i \quad (2.13.)$$

$$U_{vy} = 10 \cdot kv \cdot \sin i \quad (2.14.)$$

$$U_{fx} = 10 \cdot kf \cdot \sin i \quad (2.15.)$$

$$U_{fy} = 10 \cdot kf \cdot (-\cos i) \quad (2.16.)$$

- Dispozitivul de compensare este format din elementele:
- AO.1 si AO.2 - inversoare operationale
  - M1 si M2 - multiplicatoare analogice
  - Pf - potentiometru pentru prescrierea fantei taieturii ( $f_n$ )
  - K - comutator inversor: compensare (+), compensare (-)
- Rezolverul RZ genereaza semnalele  $\cos i$ ,  $\sin i$ , in domeniul  $(-10\dots 0\dots +10)$  volti.

Multiplicatoarele analogice M3, M4 realizeaza multiplicarea cu aceeasi constanta  $k_v = 0 \dots 1$ , in scopul modificarii vitezei de avans (cu potentiometrul  $P_v$  dispus pe panoul de comanda).

Multiplicatoarele analogice M1, M2 realizeaza multiplicarea cu aceeasi constanta  $k_f = 0 \dots 1$ , in scopul modificarii compensarii fantei taieturii (cu potentiometrul  $P_f$  dispus pe panoul de comanda).

Comutatorul inversor  $K$ , realizeaza cele 2 situatii de compensare: in stanga sau in dreapta liniei desenate.

Amplificatoarele sumatoare AO.3, AO.4 fac parte din varatoare de turatie  $x'$ ,  $y'$ .

Daca variatoarele de turatie au buclele de pozitie si turatie acordate in cascada, atunci semnalele de compensare a fantei taieturii  $U_{fx}$ ,  $U_{fy}$ , se aplica aditiv cu erorile de pozitie,  $U_{ex}$   $U_{ey}$ , conform figurii 2.39.

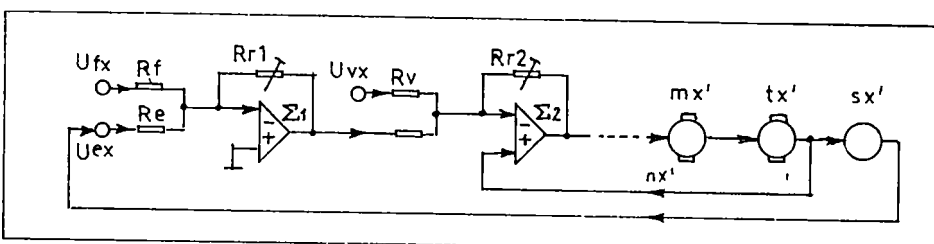


Fig. 2.39. Aplicarea semnalelor  $U_{ex}$ ,  $U_{fx}$ ,  $U_{vx}$  in cazul accordarii in cascada a buclei de pozitie si a buclei de turatie , la variatorul de turatie  $x'$

O problema importanta , in cazul compensarii pe calea electronica a fantei taieturii , este aceea a alegerii incrementului de control al deplasarii pe calea de rulare  $x'$  sau  $y'$ .

In cazul lipsei compensarii electronice , incrementul de control se alege din considerente de precizie si stabilitate fara de pendulare: un increment mic conduce la o precizie ridicata dar in acest caz, riscul de intrare in pendulare este mai mare , mai ales cind in sistem exista jocuri mecanice si elemente elastice.

In cazul existentei compensarii electronice, incrementul de control se alege din considerente de incadrare in domeniul maxim necesar pentru compensarea fantei taieturii . Un increment de control "L" corespunde cu o tura a selsinei bipolare, sau cu  $1/5$  ture a selsinei decapolare.

In cazul axelor  $x$ ,  $x'$ , tensiunea de eroare de pozitie intre selsina receptoare (axa  $x'$ ) si selsina emitatoare (axa  $x$ ), variaza conform relatiei :

$$U_{ex} = 10 \cdot \sin \left( \frac{x}{L} \cdot 360^\circ \right) \quad (2.17.)$$

$U_{ex}$  - tensiunea de eroare (V) ;  $L$  - incrementul de control (mm) ;  
 $x$  - decalajul pe calea de rulare (mm)

Tensiunea de eroare ex primește valoarea maxima de +10 V , in situația  $x/L = 1/4$  , deci la un sfert din incrementul de control.

Sistemul de reglare a pozitiei forteaza in mod automat situatia  $U_{ex} = -U_{fx}$  (cu referire la figura 2.39.) . Deci :

$$U_{fx} = - 10 \cdot \sin \left( \frac{x}{L} \cdot 360^\circ \right) \quad (2.18.)$$

In relatie 2.18. decalajul  $x$  , pe calea de rulare  $x'$  , constituie, de fapt, chiar valoarea compensarii fantei taieturii. Se remarcă variația neliniara a compensarii ( $x$ , in mm) cu tensiunea de compensare ( $U_{fx}$ , in volti) . Tensiunea de compensare este prescrisa , pe de o parte, cu potentiometrul  $P_f$  de pe panoul de comanda, pe de alta parte, depinde de unghiul  $i$  , conform relației 2.15.

De asemenea, se remarcă in relatie 2.18. faptul ca pentru a nu depasi tensiunea maxima disponibila de 10 V , trebuie ca  $1/4$  din incrementul de control  $L$ , sa fie mai mare decit valoarea maxima a compensarii :

$$x < L/4 \quad (2.19.)$$

Cu cit  $x$  este mai mic decit  $L/4$  , cu atit scala potentiometrului de prescriere a compensarii  $P_f$  este mai liniara . In cazul limitei ( $x = L/4$  ), scala are diviziunile repartizate sinusoidal .

Situatia se prezinta similar pe axa  $y'$  :

$$U_{fy} = - 10 \cdot \sin \left( \frac{y}{L} \cdot 360^\circ \right) \quad (2.20.)$$

$$y < L/4 \quad (2.21.)$$

In cazul masinilor automate de debitare tip " MATTOR " (56) s-a stabilit incrementul de control  $L = 60$  mm si compensarea maxima  $x = +/- 6$  mm .

In acest caz :

$$U_{fx} = - 10 \cdot \sin 36^\circ = - 10 \cdot 0,587 = 5,87 \text{ V} \quad (2.22.)$$

Aceste masini sunt echipate cu compensare electronica a fantei taieturii .

## 2.4. Marcarea automata in timpul urmaririi conturului

### 2.4.1. Scopul marcarii

#### 2.4.1.1. Marcarea pieselor debitate

De obicei, piesele debitate sunt utilizate la realizarea unor ansambluri sudate. Pozitionarea spatiala relativa, in scopul sudarii , este usurata , daca pe conturul pieselor sint marcate locurile de jonctiune . Marcarea se face fie simultan cu debita-re , fie prin urmarirea conturului a doua oara , fara a deplasa piesele din planul de debitare x,y . In acest fel, se elimina o-peratiile de trasaj manual.

#### 2.4.1.2. Marcarea desenului urmarit

In cazul taierei cu fascicul laser a furnirului , in scopul realizarii mobilei artistice cu entarsii, se pune problema obtu-rarii fasciculului laser pe anumite portiuni de contur: fie in timpul traversarii spre o noua piesa, fie pentru realizarea unor unghiiuri ascutite ale conturului (figura 2.40.).

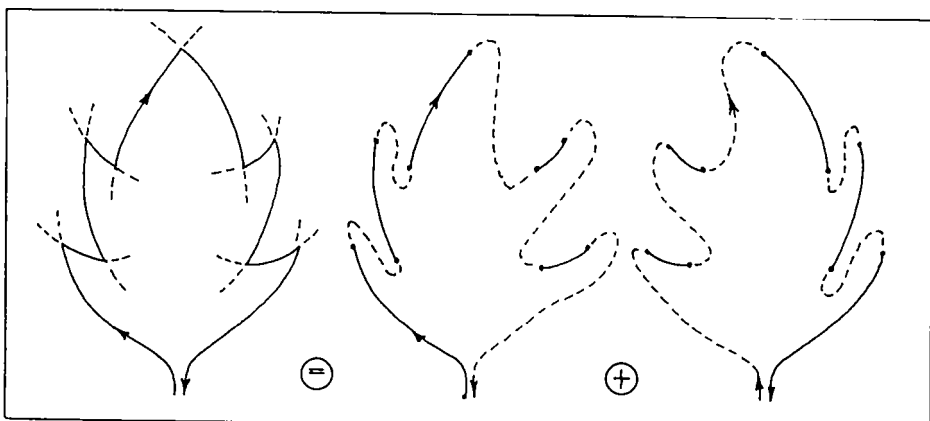


Fig. 2.40. Realizarea unghiurilor ascutite ale conturului

Problema se pune si in cazul comenzi numerice si in cazul urmaririi optice de linii desenate. In cazul comenzi numerice , la unghiurile ascutite ale conturului este necesara o decelerare si accelerare a fiecarei actionari (x,y), pentru a nu depasi cu-rentul maxim permis la motoarele electrice de actionare. Aceasta conduce la o "stationare" a procesului termic in zona coltului de contur, deci la o mare a fantei taieturii si la o rotunjire a coltului . Solutia prin care se evita aceste fenomene , consta in parcurgerea de doua ori a conturului , fie prin comanda nume-rica, fie prin urmarire optica, utilizind "bucle lente de racordare" reprezentate cu linie intrerupta in figura 2.40., in timpul carora tajerea este blocata.

Rotunjirea coltului din motive termice este suplimentata , in cazul capurilor optice rotative , cu o rotunjire determinata de existenta excentricitatii fotocelulei fata de axa rulmentului tubului optic.

Sistemul de pornire/ oprire pe contur nu este aplicabil de-cit la tajerea cu fascicul laser . In cazul taierei oxigaz , sau cu plasma, perforarea se face inafara conturului piesei, pentru a elibera craterul neaspectuos din locul perforarii . Perforarea este precedata de o stationare in scopul preincalzirii materialu-lui.

## 2.4.2. Sisteme de marcare a pieselor

### 2.4.2.1. Marcarea cu aparat de taiere oscilant

Sistemul este adoptat în special la taierea oxigaz a pieselor utilizate la construcțiile navale. Aparatul de taiere poate pendula cu o cursă de 1-5 mm în 8 sensuri, în planul x,y (figura 2.41.).

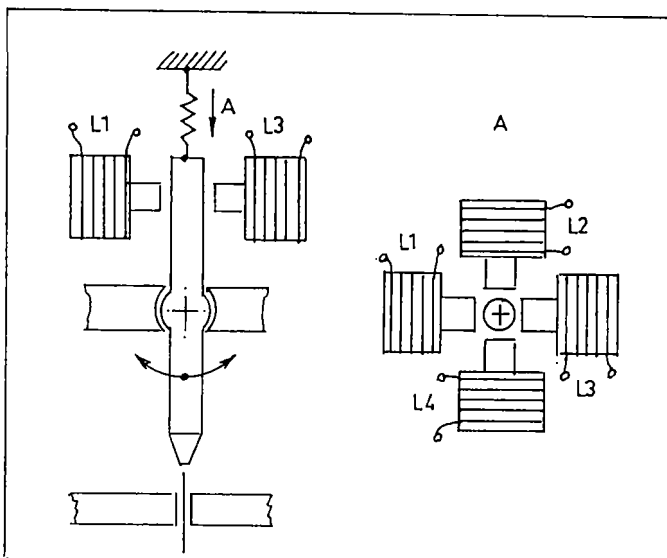


Fig. 2.41. Marcarea cu aparat de taiere oscilant

Cei 4 electromagneti sunt actionați sau cîte unul, sau cîte 2 adiacenți (pentru diagonale). Logica de alegere este impusă de pendularea aproximativ perpendicular pe contur, spre partea piesei (nu spre deseu), cu menținerea timp de 1-5 secunde. Conturul piesei este "ciupit" în locurile marcate pe desen, sau în program (la NC). Sensul de marcare este corelat cu un anumit algoritm al referințelor de viteza pentru variatoarele de turatie x, y (combinational x,y, cu element de prag).

### 2.4.2.2. Marcarea cu poanson electromagnetic

Există două sisteme:

- cu un singur poanson și aparat de taiere rotitor
- cu patru poansoane și aparat de taiere rigid

In primul caz, poansonul este montat lateral pe aparatul de taiere, pe partea piesei (nu a deseului). Există un sistem de sincronizare cu selsine, a pozitiei unghiulare a aparatului de taiere cu pozitia unghiulara a capului optic. Aparatul de taiere este prevazut cu inele colectoare pentru alimentarea electromagneticului și cu camere colectoare pentru transmisia gazelor la aparatul de taiere.

In al 2-lea caz, cu 4 poansoane, sistemul este similar cu sistemul de la aparatul de taiere oscilant. Selectarea celor 4 electromagneti se face similar, cu deosebirea ca nu se obtine o pendulare ci o percutare. Fata de primul caz, ofera avantajul ca nu-s necesare inele colectoare și nici camere colectoare de gaze

### 2.4.3. Sisteme de marcare a desenelor

In cazul echipamentelor de debitare prin urmarire de desene executate la scara , utilizind capuri optice rotitoare , exista mai multe sisteme de marcare a desenelor . "Marcherii" sunt dispuși pe desen , fie in scopul marcarii piesei debitata , fie in scopul pornirii si opririi automate a taierei, in timp ce se urmareste un contur.

#### 2.4.3.1. Marcarea asimetrica

In figura 2.42. este prezentat modul de dispunere a "marcherilor".

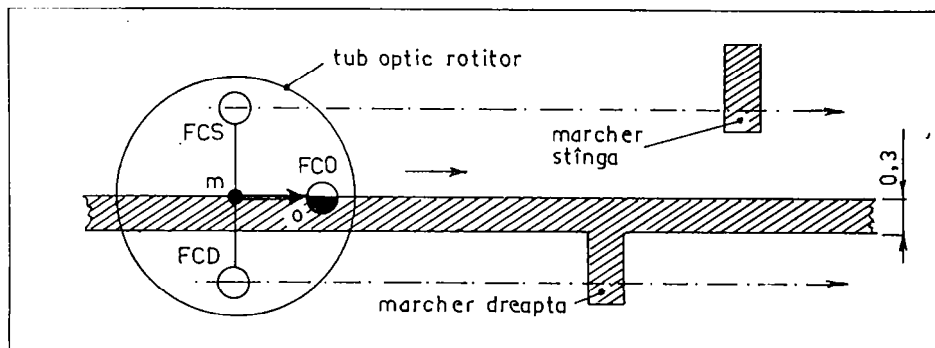


Fig. 2.42. Marcarea asimetrica

Marcherii sunt dispuși pe acea parte a liniei desenate , spre care se dorește oscilarea aparatului de taiere. Capul optic dispune de 3 fotocelule : FCO pentru urmarire, FCS pentru "citerea" marcherilor de pe partea stanga, FCD pentru "citerea" marcherilor de pe partea dreapta . FCS si FCD sunt dispuse simetric fata de axul mecanic "m" (al rulmentului tubului optic) . Se remarcă faptul ca marcherii de pe partea stanga a liniei desenate nu sunt lipiti de linia desenata, pentru a nu deranja fotocelula pentru urmarire FCO.

Sistemul ofera avantajul sesizarii stanga/dreapta, deci este universal valabil si in cazul marcarii de piese si in cazul pornirii/opririi automate pe contur. Dezavantajul consta in utilizarea a 2 fotocelule suplimentare (FCS si FCD).

#### 2.4.3.2. Marcarea simetrica

Fata de sistemul anterior , ofera avantajul de a nu utiliza fotocelule suplimentare. Este adaptabil numai la capurile optice diferențiale . Acestea sunt echipate cu doua fotocelule de urmarire , una pentru jonctiunea stanga FCS si una pentru jonctiunea dreapta FCD . In ansamblu, se obtine o urmarire a mijlocului liniei desenate.

Urmarirea diferențiala creste imunitatea fata de deriva optica ( variatia iluminarii hartiei utilizate ) si fata de deriva termica.

Sistemul se adapteaza la echipamentele de taiere cu fascicul laser, la care se obtureaza automat fasciculul in timpul urmaririi liniei desenate, pe anumite portiuni. In acest fel, este facilitata realizarea unghiurilor ascutite ale conturului , conform figurii 2.42.

In figura 2.43. este prezentat modul de desenare a "marcherilor".

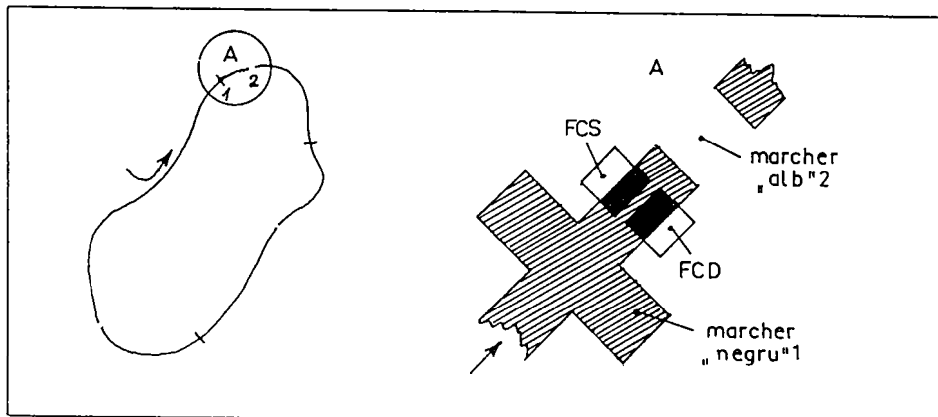


Fig. 2.43. Marcarea simetrica

Sistemul pretinde o linie desenata de grosime bine definita de exemplu 0,3 mm (+/-20%). Marcherii "negri" sunt liniute perpendiculare pe contur si sunt destinati activarii fasciculului laser. Marcherii "albi" sunt intreruperi de 0,3-0,5 mm ale conturului si sunt destinati dezactivarii fasciculului laser. Se aleg marcheri "albi" pentru dezactivare si nu pentru activare , din motivul blocarii automate a taierei in cazul pierderii conturului (iesirea pe cimpul alb al desenului), pentru a nu rebuta piesa.

In figura 2.44. este prezentata schema de principiu a procesorului.

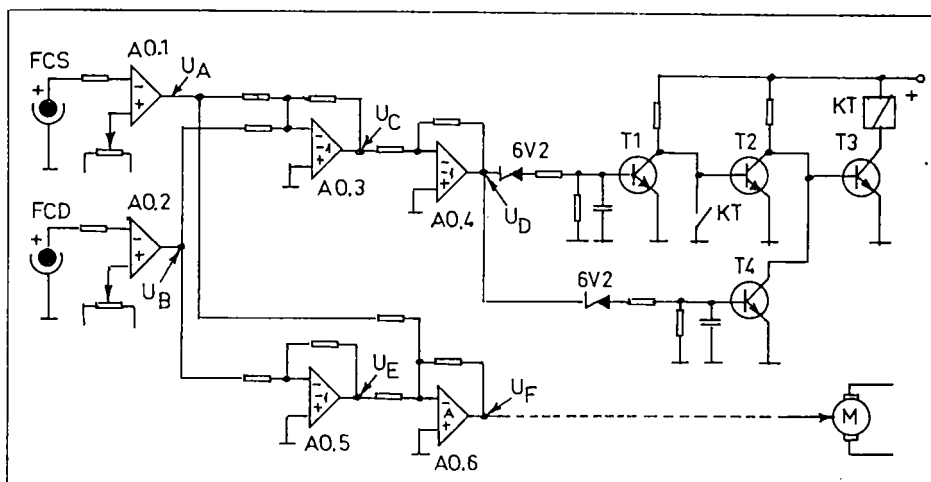


Fig. 2.44. Procesarea marcarii simetrice

Fiecare amplificator operational AO.1 si AO.2, genereaza la iesire semnal zero in cazul dispunerii pe jonctiunea alb/negru , semnal +10 V in cazul dispunerii pe negru si semnal -10 V in cazul dispunerii pe alb a fotocelulei respective.

Procesorul este format din doua dispozitive:

a) Dispozitivul de sesizare a marcherilor , format din amplificatorulsumator AO.3, comanda, prin "impuls de negru" pornirea laserului prin inversorul AO.4 si tranzistoarile T1,T2,T3 si reteleul KT ("T"=taiere) care realizeaza automentinarea comenzi ; comanda prin "impuls de alb" oprirea laserului prin T4.

b) Dispozitivul de corectie a pozitiei capului optic pe linia desenata, format din inversorul AO.5 ( pentru semnalul fotocelulei din dreapta) si sumatorul AO.6, sesizeaza diferenita semnalelor generate de cele doua fotocelule, diferenita care comanda motorul M de reglare a pozitiei unghiulare a capului optic pe linia desenata.

	a)	b)	c)	d)	e)
$U_A$ (V)	0	+10	-10	-10	+10
$U_B$ (V)	0	+10	-10	+10	-10
$U_C$ (V)	0	-10	+10	0	0
$U_D$ (V)	0	+10	-10	0	0
$U_E$ (V)	0	-10	+10	+10	-10
$U_F$ (V)	0	0	0	-10	+10

Fig. 2.45. Tensiunile  $U_A, U_B, U_C, U_D, U_E, U_F$  in 5 cazuri specifice a,b,c,d,e,f, de situare a fotocelulelor pe linia desenata .

Dupa cum rezulta din figura 2.45. marcherii afecteaza numai dispozitivul de sesizare a marcherilor prin  $U_D$  in cazurile b,c si nu afecteaza corectia de pozitie  $U_F$  in cazurile b,c. Pendularile sunt ignorate de catre dispozitivul de sesizare a marcherilor prin  $U_D$  in cazurile d,c dar sunt remarcate de dispozitivul de corectie prin  $U_F$  in cazurile d,c.

Sistemul marcarii simetrice a fost aplicat in anul 1988, la echipamentul de taiere cu laser a furnirului pentru entarsii tip "ICO-PL" (48), realizat la ISIM Timisoara.

### CAPITOLUL 3

PRECIZIA CONTURARII  
LA MASINILE AUTOMATE  
DE TAIERE TERMICA  
PRIN URMARIRE DE DESENE  
LA SCARA 1: 1 SI 1: 10

### 3.1. Conditii de precizie geometrica si electrica la masinile automate de taiere termica prin urmarire optica la scara 1:10

In scopul incadrarrii in limitele de precizie prevazute prin standarde, este necesara o analiza a cauzelor care contribuie la eroarea cotelor pieselor rezultate prin debitare. Problema preciziei se pune la toate procedeele de debitare termica prin conturare : cu flacara oxigaz, cu plasma, cu fascicul laser, cu ultrasunete, cu jet de apa sub presiune, et c.

In cazul conturarii x,y, prin urmarire optica de desene, se disting doua categorii de echipamente :

1 - cu urmarire de desene executate la scara 1:10

2 - cu urmarire de desene executate la scara 1:1

In primul caz , precizia este mai scazuta , din cauza unui lant mai lung de elemente generatoare de erori.

Pentru domeniul vast al constructiilor metalice , erorile totale s-au reglementat prin mai multe standarde internationale, norme navale, et c., conturandu-se prescriptiile de abateri maxime admise :

+/- 1,5 mm / 10 m, la urmarire 10:1

+/- 0,4 mm / 10 m, la urmarire 1:1

Cunoasterea ponderii cu care participa fiecare cauza generatoare de erori, conduce la gasirea metodelor de corectare , atit la executia echipamentului, cît si in exploatare.

In figura 3.1. este prezentat ansamblul elementelor esentiale care contribuie la realizarea unor erori :

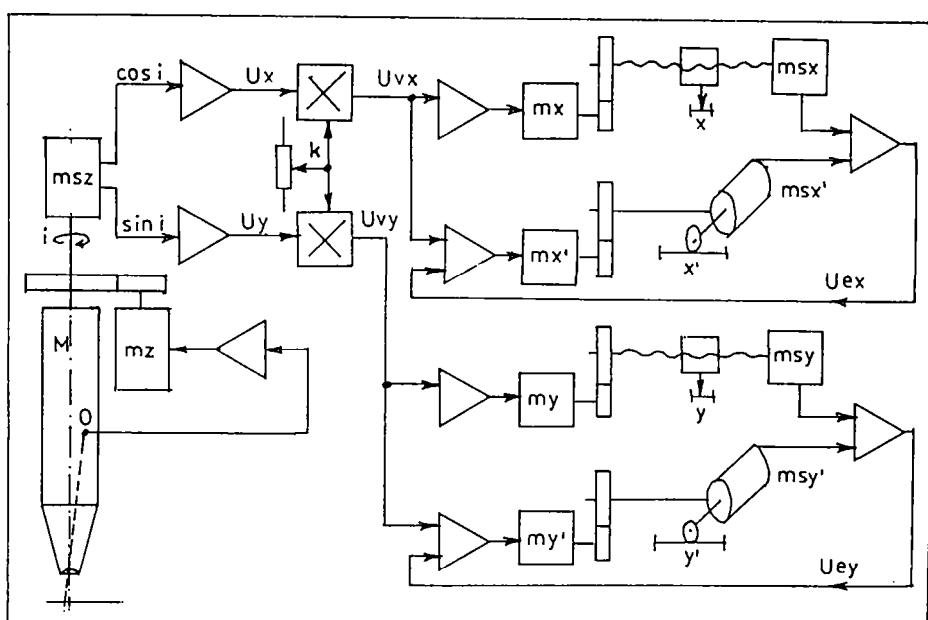


Fig. 3.1. Principiul de functionare

Stabilirea preciziei statice a sistemului se face prin utilizarea unui desen test, care este un patrat cu laturile de 1 m, paralele cu axele de coordonate .

In cazul scarii 1:10 , daca gabaritul mesei portdesen nu permite pe una din axe desene mai mari de 30 cm , se poate utiliza ca desen test un patrat cu latura de 20 cm, iar la rezultatele practice sa se tina seama ca unele erori depind de cota piesei, altele nu depind. In cazul patratului, este suficient sa se masoare cele doua laturi vecine si diagonalele , rezultind erorile  $ex, ey$  pe cele doua axe si abaterea de la perpendicularitate.

La stabilirea fiecarui tip de eroare se tine seama numai de cauza specifica si se considera ca toate celelalte cauze nu produc erori . De asemenea, referirea se face numai la cota pe axa Oy, deoarece pentru axa Ox aspectele sunt similare.

**3.1.1. Abaterea unghiulara a statorului rezolverului in colier  
( figura 3.2. )**

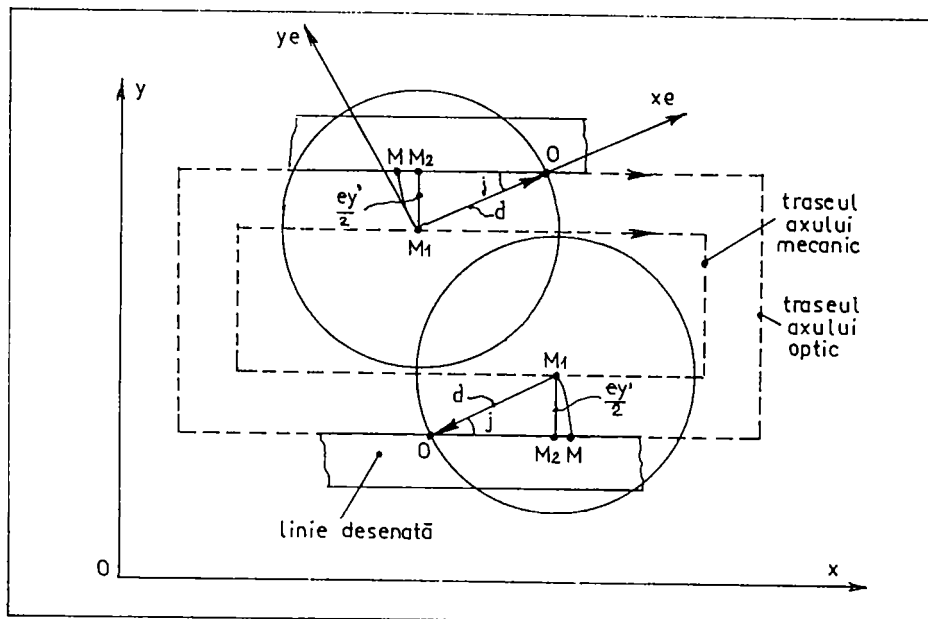


Fig. 3.2. Abaterea unghiulara a statorului rezolverului in colier

Rotirea statorului rezolverului in colierul sau de fixare cu unghiul  $j$  , corespunde cu rotirea sistemului de axe electrice  $xe, ye$ , fata de sistemul de axe mecanice  $x, y$  (ghidajele masinii).

Deoarece aparatul de taiere nu urmareste miscarea axului optic O, ci miscarea axului mecanic M<sub>1</sub>, rezulta o piesa mai mare sau mai mica decit cea prescrisa prin desen, eroarea  $ex = ey$  avand aceeasi valoare pe normala la contur:

$$ey = 2 \cdot 10 \cdot d \cdot \sin j = 20 \cdot d \cdot \sin j \quad (3.1.)$$

Se considera marimea  $10 \cdot d$  , avand in vedere scara de urmarire 10:1. Din relatia rezulta doua concluzii importante:

1. Eroarea nu depinde de cota piesei.
2. Eroarea depinde de excentricitatea  $d$  (intre axul optic

si axul mecanic). Alegerea unei excentricitati prea mici, insa, conduce la instabilitatea buclei de pozitie din capul optic, instabilitate favorizata de jocuri in angrenaj si masele inertiale ale capului optic.

Practic, in situatia optima, in care excentricitatea d este egala cu 0,2 mm, pentru diferite abateri unghiulare  $j$ , ale statorului rezolverului fata de colierul sau, rezulta erorile :

$$\begin{aligned} \text{la } j = 10' & \dots \dots \dots \text{ey} = 0,058 \text{ mm} \\ \text{la } j = 30' & \dots \dots \dots \text{ey} = 0,349 \text{ mm} \\ \text{la } j = 1 \text{ grad} & \dots \dots \dots \text{ey} = 0,698 \text{ mm} \\ \text{la } j = 2 \text{ grade} & \dots \dots \dots \text{ey} = 1,395 \text{ mm} \end{aligned}$$

Pozitia rezolverului in colier se stabileste, urmarind de mai multe ori un patrat desenat, pana cand eroarea  $ex = ey$ .

In toate cazurile, potentiometrul pentru prescrierea compensarii fantei taieturii este dispus pe zero.

### 3.1.2. Abaterea citirii desenului din cauza traductorului optic ( figura 3.3. )

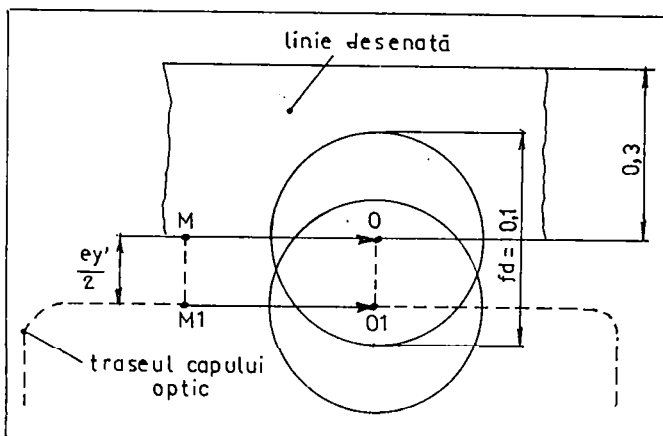


Fig. 3.3. Abaterea citirii desenului din cauza traductorului optic

Tinand seama de faptul ca diafragma fotocelulei  $fo = 0,6 \text{ mm}$  si marirea lentilei  $m = 6$  ori, diafragma redusa la desen este :

$$fd = \frac{fo}{m} = \frac{0,6}{6} = 0,1 \text{ mm} \quad (3.2.)$$

Variatia iluminarii hartiei si deriva termica a componentelor electronice, creeaza situatii ca la lectura jonctiunii intre negru si alb sa rezulte o tensiune diferita de zero la iesirea din traductor optic. Aceasta abatere  $\#U$ , raportata la excursia utila a tensiunii de la negru la alb  $\#U_{\max}$ , se aproximeaza ca variaza liniar cu decalajul  $ey' / 2$  raportat la decalajul maxim  $fd$  :

$$\frac{\#U}{\#U_{\max}} = \frac{ey' / 2}{fd} \quad (3.3.)$$

Eroarea piesei  $ey$  este mai mare de 10 ori, din cauza scarii

de urmarire :

$$ey = 10 \cdot ey' \quad (3.4.)$$

Din cele doua relatii rezulta :

$$\frac{ey}{\#U} = \frac{2 \cdot 10 \cdot fd}{\#U_{max}} \quad (3.5.)$$

Daca :  $\frac{\#U}{\#U_{max}} < 0,1 \quad (3.6.)$

rezulta :  $ey < 0,2 \text{ mm} \quad (3.7.)$

In concluzie :

1. Eroarea nu depinde de cota piesei.
2. Eroarea este constanta pe normala la contur.
3. Eroarea depinde de diafragma.

Reglarea "offsetul optic" si reglarea rezolverului in colier , sunt nedorit - aditive la compensarea fantei taieturii de la nivelul buclelor de pozitie  $x',y'$ .

3.1.3. Deriva termica a demodulatoarelor sincrone din lantul referintelor de viteza  
( figura 3.4. )

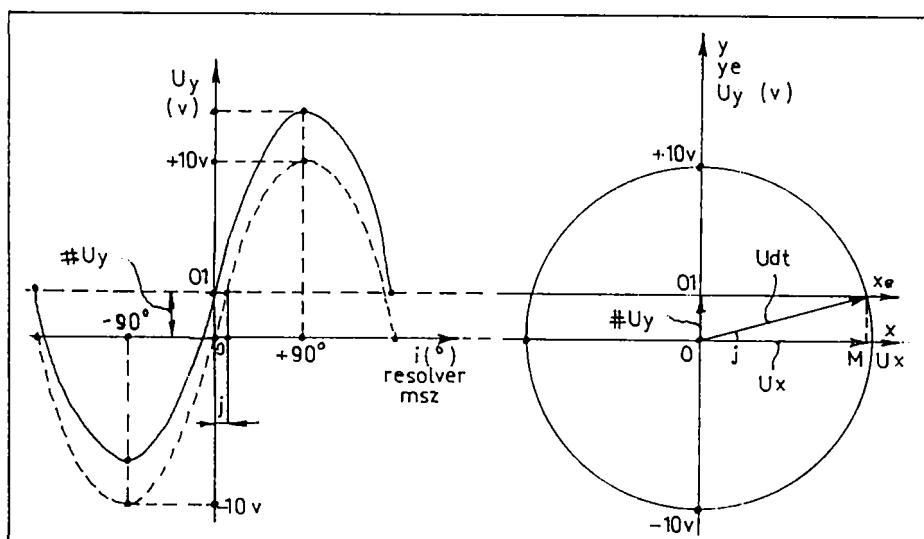


Fig. 3.4. Deriva termica a demodulatoarelor sincrone din lantul referintelor de viteza

Deriva termica poate crea situatia ca la tensiune zero la bornele rezolverului msz , sa corespunda o tensiune diferita de zero la bornele demodulatorului sincron, corespunzator axei respective (  $U_x$  sau  $U_y$  ). Aceasta se traduce prin deplasarea originii din O in O1, de exemplu pe directia  $Oy$  .

Deoarece componentelete vitezei vt pe cele doua axe :  $v_x$ ,  $v_y$ , sunt proportionale cu tensiunile  $U_x$  si  $U_y$ , o deriva a zeroului demodulatorului  $\#Uy$ , corespunde cu crearea unei componente nedoreite de viteza pe axa  $Oy$ , care roteste capul optic cu unghiul  $j$ ,

atunci cand se deplaseaza pe directia Ox.

$$\tan j = \frac{MM_1}{OM} = \frac{\#U_y}{10} \quad (3.8.)$$

Rotirea capului optic conduce la o eroare pe axa Oy :

$$e_y = 10 \cdot d \cdot \sin j \quad (3.9.)$$

Pentru unghiuri j suficient de mici (sub 2 grade) :

$$\tan j \approx \sin j \quad (3.10.)$$

Deci :  $e_y = d \cdot \#U_y$  ;  $d$  (mm) ;  $\#U_y$  (V)

Din relatie rezulta concluziile :

1. Eroarea nu depinde de cota piesei.
  2. Eroarea depinde de excentricitatea d (intre axul optic si axul mecanic).
  3. Nu se produce o alterare a cotei , ci numai o deplasare a piesei pe axa afectata de deriva , cu valoarea  $e_y$ .
- Practic , prin masuratorile efectuate asupra demodulatoarelor sincrone, au rezultat derive mai mici decit 0,1 V ( raportate la excursia utila intre -10 V si +10 V ) . Conform relatiei, aceste derive duc la deplasarea piesei pe axa respectiva cu :

$$e_y = 0,02 \text{ mm} \quad (3.12.)$$

Cota piesei este afectata numai daca in timpul tajerii, variaza temperatura mediului (0 ... +40 grade C), iar in acest caz, eroarea este 0,02 mm .

### 3.1.4. Deriva termica a multiplicatoarelor din lantul referintelor de viteza ( figura 3.5. )

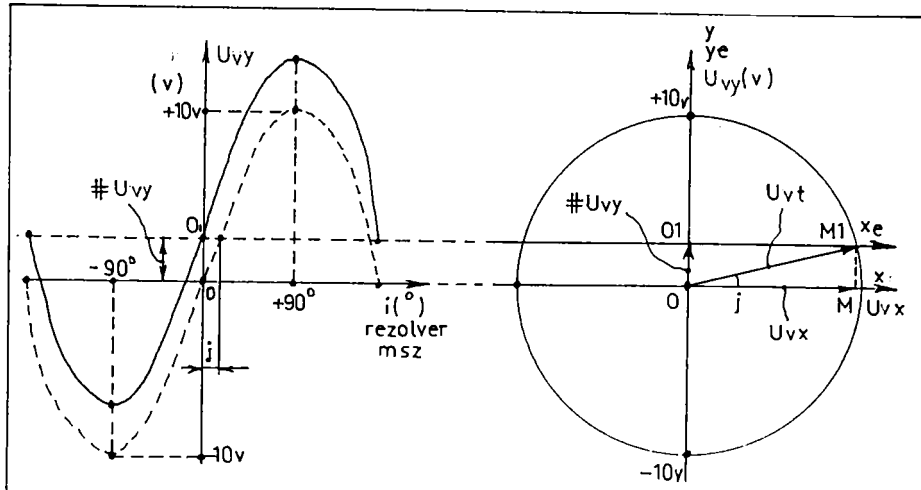


Fig. 3.5. Deriva termica a multiplicatoarelor din lantul referintelor de viteza

Deriva termica a multiplicatoarelor are efect similar cu al demodulatoarelor sincrone, cu deosebirea ca introduce erori care depind si de viteza de taiere (de avans in planul x,y) .

Ne propunem determinarea erorii ey, cind aparatul de taiere se deplaseaza paralel cu axa Ox :

$$U_{vx} = \frac{vx}{vx_{max}} \cdot U_{vx,max} \quad (3.13.)$$

unde , vx.max este viteza maxima de taiere (1000 mm/minut) , iar Unx.max este egala cu 10 V. Deci :

$$U_{vx} = \frac{vx}{100} \text{ (V)} ; \quad vx \text{ (mm/minut)} \quad (3.14.)$$

$$\tan j = \frac{MM1}{OM} = \frac{\#U_{vy}}{U_{vx}} = \frac{100 \cdot \#U_{vy}}{vx} \quad (3.15.)$$

Deriva tensiunii #Uvy la iesirea multiplicatorului , corespunde cu crearea unei componente nedorite de viteza pe axa Oy , care roteste capul optic cu unghiul j . Aceasta produce o eroare pe axa Oy :

$$ey = 10 \cdot d \cdot \sin j = 10 \cdot d \cdot \sin(\arctg \frac{100 \cdot \#U_{vy}}{vx}) \quad (3.16.)$$

ey (mm); d = 0,2 mm ; #Uvy = 0,1 V ; vx = 1000 mm/minut

Concluzii :

1. Eroarea nu depinde de cota piesei.
2. Eroarea depinde de excentricitatea d intre axul optic si axul mecanic din capul optic.
3. Eroarea depinde de viteza de taiere prescrisa, fiind mai mare la viteze de taiere mai mici.
4. Nu se produce o alterare a cotei, ci numai o deplasare a piesei pe axa afectata de deriva, cu valoarea ey.

In cursul taierei unei piese nu se modifica viteza de taiere, din motive tehnologice, deci cota nu este afectata decat daca in timpul taierei variaza temperatura mediului ambiant.

In cazul unei viteze minime de taiere vx = 100 mm/minut , eroarea ey este :

$$ey = \text{aprox. } 0,2 \text{ mm} \quad (3.17.)$$

In cazul unei viteze maxime de taiere vx = 1000 mm/minut , eroarea ey este :

$$ey = \text{aprox. } 0,02 \text{ mm} \quad (3.18.)$$

### 3.1.5. Deriva termica a demodulatoarelor sincrone din buclele de pozitie x-x', y-y' ( figura 3.6. )

Aceasta produce erori de urmarire x-x', y-y'. Incrementul de control al selsinelor x' si y' este de 60 mm pe tura .

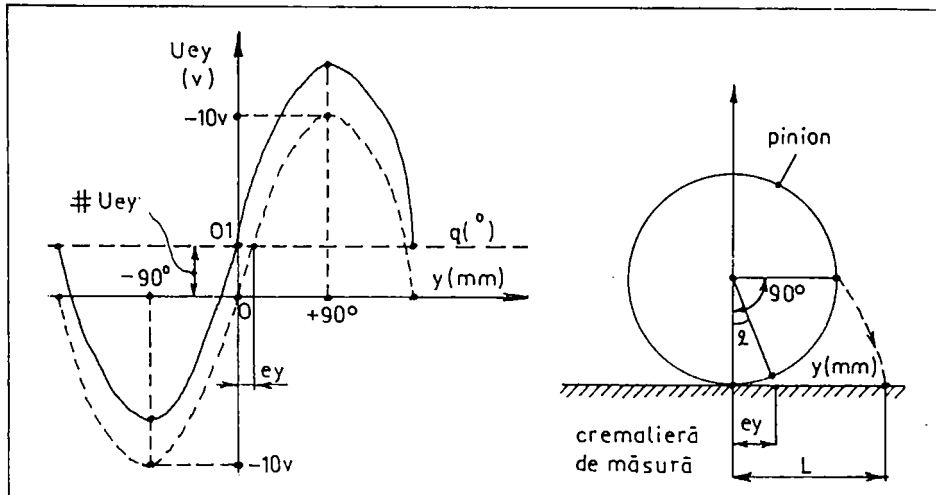


Fig. 3.6. Deriva termica a demodulatoarelor sincrone din buclele de pozitie x-x', y-y'

Din caracteristicile selsinelor rezulta ca la un sfert de tura ( $L' = 15 \text{ mm}$ ) , demodulatorul sincron corespunzator genereaza  $+10 \text{ V}$  (de exemplu pe axa  $Oy$ ). Deriva termica a acestui demodulator poate crea situatia ca la o tensiune zero generata de selsina sa corespunda o tensiune  $U_{ey}$  diferita de zero la ieșirea demodulatorului sincron . Aceasta se traduce prin deplasarea originii din  $O$  în  $O_1$ , cu valoarea  $\#U_{ey}$ . La aceasta deplasare , corespunde o deplasare a pinionului pe cremaliera cu valoarea  $ey$

$$\#U_{ey} = 10 \cdot \sin \left( \frac{ey}{L'} \cdot 90 \text{ grade} \right) \quad (3.19.)$$

De unde rezulta valoarea erorii pe axa  $Oy$  :

$$ey = \frac{L'}{90 \text{ grade}} \cdot \arcsin \frac{\#U_{ey}}{10} \quad (3.20.)$$

Din relatie rezulta concluziile :

1. Eroarea nu depinde de cota piesei.
  2. Eroarea depinde de incremental de control al selsinei.
  3. Nu se produce o alterare a cotei, ci numai o deplasare a piesei pe axa afectata de deriva, cu valoarea  $ey$ .
- Prin masurarea derivei demodulatoarelor sincrone, au rezultat abateri  $\#U_{ey}$  mai mici decit  $0,1 \text{ V}$ . Deci, eroarea pe axa  $Oy$  de exemplu, este :

$$ey = 0,09 \text{ mm} \quad (3.21.)$$

Cota piesei este afectata numai daca in timpul taierii ei , variaza temperatura mediului ( $0 \dots +45 \text{ grade}$ ), iar in acest caz eroarea este sub  $0,09 \text{ mm}$  .

3.1.6. Abaterea de la paralelism intre surubul conductor si ghidaj (figura 3.7.)

Capul optic urmareste conturul ABCD, iar selsina msy' este sincrona cu msy (la scara 10:1), cota piesei taiata va fi mai mare decit cea prescrisa si anume, va fi egală cu : 10 . AB2 . Deci eroarea cotei 10 . a , dupa axa Oy va fi :

$$ey = 10 \cdot (AB_2 - AB) = \\ = 10 \cdot a \cdot (1 - \cos j) \quad (3.22.)$$

Din relatie rezulta ca eroarea depinde de valoarea cotei piesei.

Piesa taiata nu va avea abateri de la perpendicularitate, dar in loc de patrat, va avea forma de dreptunghi A B1 C1 D , mai alungit dupa axa Oy, cu valoarea ey . In cazul unui patrat cu latura 10 . a de 10 metri , rezulta :

la  $j = 10'$  .....  $ey = 0,042 \text{ mm}$   
 la  $j = 30'$  .....  $ey = 0,380 \text{ mm}$   
 la  $j = 1 \text{ grad}$  .....  $ey = 1,523 \text{ mm}$

3.1.7. Abaterea de la perpendicularitate intre ghidajele capului optic (figura 3.8.)

In acest caz, piesa taiata va avea forma de paralelogram A B1 C1 D , in loc de patrat . Capul optic urmareste conturul ABCD . Latura AD nu este deformata, dar latura AB devine A B1 , mai lunga cu valoarea ey :  $ey = 10 \cdot (A B_1 - A B) = \\ = 10 \cdot a \cdot (1 - \cos j) \quad (3.23.)$

Concluzii :  
 1. Abaterea de la perpendicularitate a ghidajului Oy produce erori numai pe axa Oy, iar aceste eror depend de cota piesei.

2. Se produce si o abatere de la perpendicularitate.

In cazul unui patrat cu latura 10.a, de 10 metri

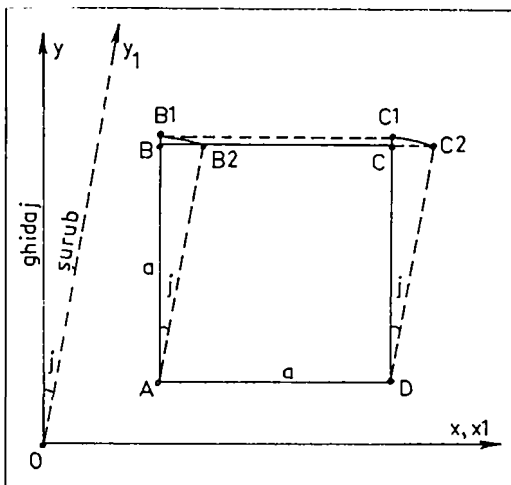


Fig. 3.7. Abaterea de la paralelism intre surubul conductor si ghidaj

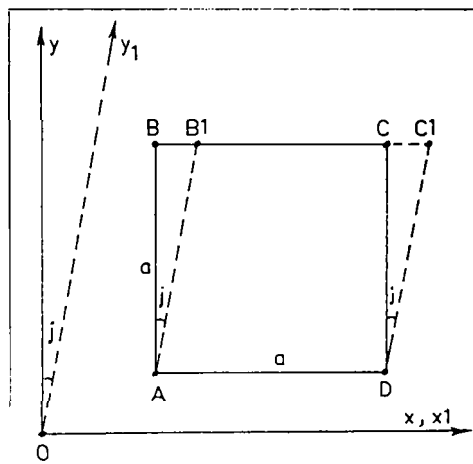


Fig. 3.8. Abaterea de la perpendicularitate intre ghidajele capului optic

déplasare pe cremaliera  $\#x_1'$ :

$$\#x_1' = 3,14 \cdot \frac{d_1 \cdot d_3}{d_2} = 60,000767 \text{ mm} \quad (3.26.)$$

Deci, în decursul unei ture, se produce o eroare exo :

$$exo = \#x_1' - \#x' = 0,000767 \text{ mm} \quad (3.27.)$$

Cota de 10 metri cuprinde un numar de  $10000 / 60$  incremente de control, deci eroarea pe axa O<sub>x</sub> sau O<sub>y</sub>, raportata la o cota de 10 metri, este :

$$ex = ey = \frac{10000}{60} \cdot exo = 0,13 \text{ mm} \quad (3.28.)$$

Scara de urmarire reala este : ( $\#x$  desen = 6 mm)

$$s_1 = \frac{\#x_1'(\text{piesa})}{\#x(\text{desen})} = 10,000128 \quad (3.29.)$$

In concluzie, scara de urmarire este diferita de 10:1, iar eroarea cotei piesei depinde de valoarea cotei.

### 3.1.10. Jocul din reductoarele selsinelor

Se presupune ca exista joc  $J$  numai intre rotile dintate  $z_1$  si  $z_2$  (figura 3.10.), roata  $z_3$  fiind arcuita pe cremaliera.

$$ey = J \cdot \frac{d_3}{d_1} \quad (3.30.)$$

La un joc  $J < 0,1 \text{ mm}$ ,  $d_3 = 91,25 \text{ mm}$ ,  $d_1 = 86 \text{ mm}$ , rezulta :

$$ey = 0,106 \text{ mm} \quad (3.31.)$$

### 3.1.11. Abaterea pasului surubului conducator

Deoarece surubul conducator indeplineste rolul unei rigle de masura, este necesara o executie precisa. O abatere cumulata pe pas la cota de 1 metru, de  $0,01 \text{ mm}$  conduce la erori ale piesei taiate de  $0,1 \text{ mm}$ .

### 3.1.12. Abaterea pasului cremalierei de masura

Eroarea de executie a cremalierei de masura  $x', y'$  se transpunе direct in cota piesei debitate. Cremaliera poate sa introduca abateri de liniaritate. La cota de 10 metri, se recomanda abateri ale cremalierei  $ex = ey$  mai mici de  $0,1 \text{ mm}$ .

3.1.13. Concluzii referitoare la precizia taiierii  
prin urmarire optica la scara 1:10

Analiza a scos in evidenta categoriile de erori prezentate in tabelul 3.1. :

Categoriile de erori

Tabelul 3.1.

Erori de tipul	Cauze de tipul (nr. de ordine cap. 3.1)											
	1	2	3	4	5	6	7	8	9	10	11	12
Erori care depind de cota piesei	-	-	-	-	-	Da	Da	Da	Da	-	Da	Da
Erori de marire sau de micsorare a piesei	Da	Da	-	-	-	-	-	-	-	-	-	-
Erori ale cotei pe una din axe	-	-	-	-	-	Da						
Erori de deplasare a piesei (cote fara erori)	-	-	Da	Da	Da	-	-	-	-	-	-	-
Erori care depind de viteza de taiere	-	-	-	Da	-	-	-	-	-	-	-	-
Erori de perpendicularitate	-	-	-	-	-	Da	Da	-	-	-	-	-
Erori de rectilinitate	-	-	-	-	-	-	-	-	Da	-	-	-

Eroarea totala a sistemului de urmarire rezulta prin insumarea erorilor discutate . In cazurile particulare prezentate ca situatii limita de erori maxim admise, de acelasi semn , rezulta eroarea totala :

$$\begin{aligned}ey = ey_1 + ey_2 + ey_3 + \dots &ey_{12} = \\= 0,058 + 0,200 + 0,020 + 0,200 + 0,090 + 0,042 + 0,042 + \\+ 0,042 + 0,130 + 0,106 + 0,100 + 0,100 = 1,130 \text{ mm} &\quad (3.32.)\end{aligned}$$

STAS 10959/1-84 , DIN 8253-74 si alte norme internationale prevad o eroare maxima de +/- 1,5 mm, raportata la o cota a piesei de 10 metri (in cazul taiierii oxigaz).

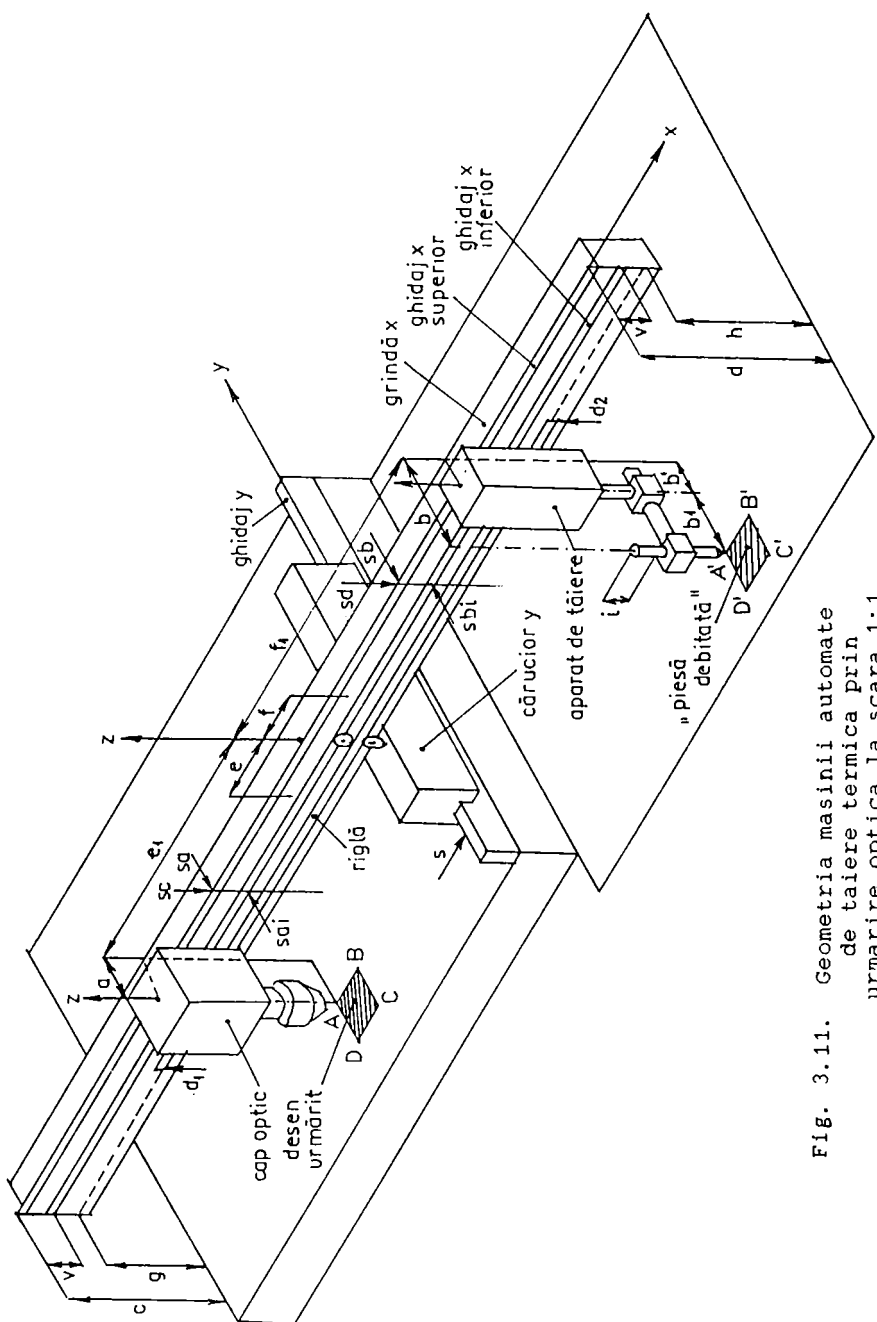


Fig. 3.11. Geometria mașinii automate de tăiere termică prin urmărire optică la scară 1:1

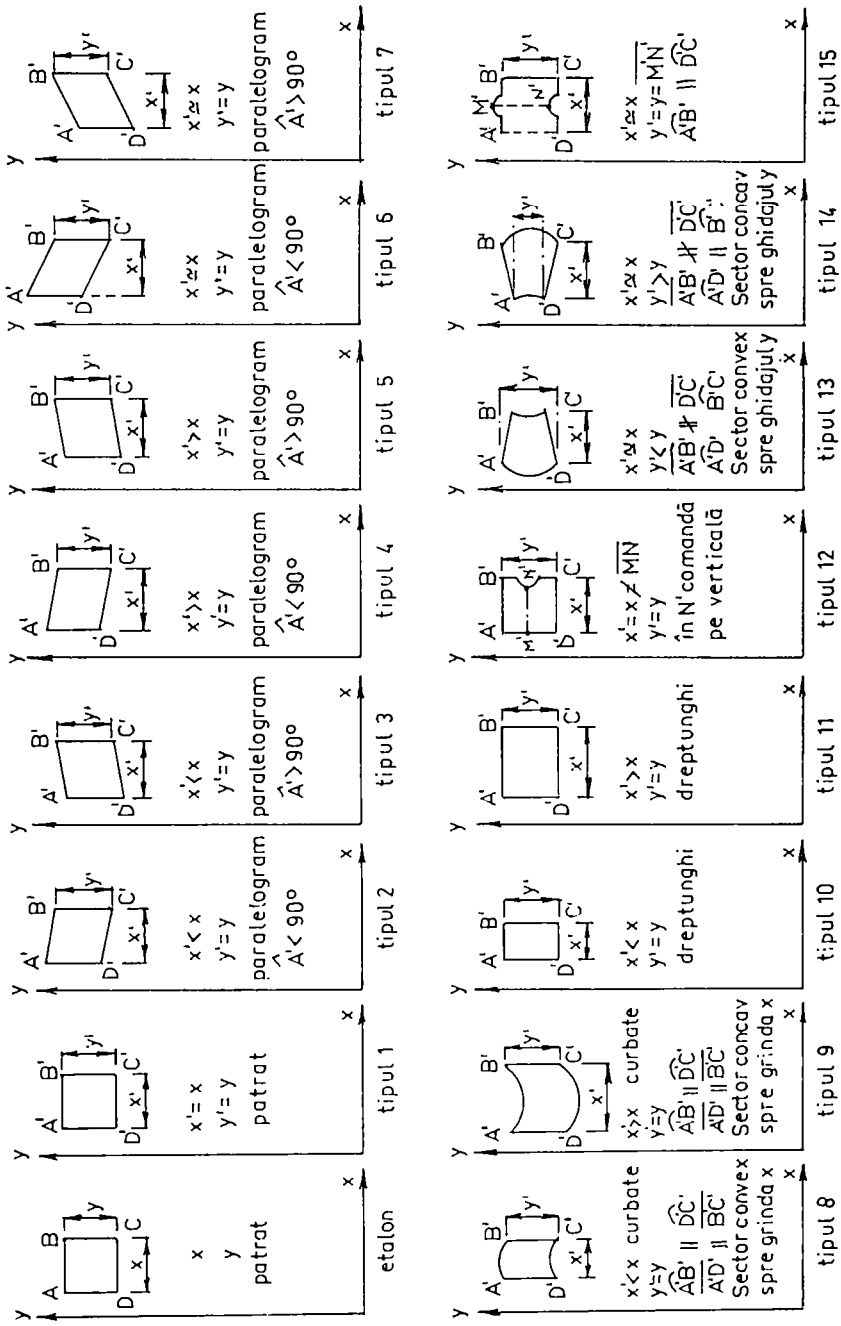


Fig. 3.12. Tipuri de figurii traseate, prin urmarea patratului etalon

3.2. Conditii de precizie geometrica la masinile automate de taiere termica prin urmarire optica la scara 1:1

In figura 3.11. este prezentata, simplificat, geometria masinii scara 1:1. Desenul ABCD este urmarit de un cap optic si sincron cu acesta, aparatul de taiere debiteaza o piesa A'B'C'D'. Capul optic si apparatul de taiere, legate intre ele prin intermediul unei rigle, ruleaza pe doua ghidaje (x superior si x inferior) dispuse pe o grinda x. Grinda este montata transversal pe un carucior care ruleaza in lungul ghidajului y.

Inainte de a determina erorile, se calibreaza zeroul compensarii fantei de taiere. In acest scop, in locul apparatului de taiere se monteaza un dispozitiv de trasare. Se noteaza ca in acest capitol, prin "piesa debitata" se intlege de fapt desenul trasat de acest dispozitiv. Cotele efective ale piesei debitata depind de fenomenele termice de debitare, curbare, tensionare si de locul de incepere a debitarii.

Se urmareste de jur imprejur un segment de dreapta cu grosimea de 2,5 mm. Trebuie ca dreptunghiul trasat de masina sa aiба latimea de 2,5 mm.

Pentru determinarea cauzelor generatoare de erori, se propune "metoda urmaririi patratului etalon", cu latura x paralela cu ghidajul x superior. Prin urmarirea patratului etalon ABCD, va rezulta unul din tipurile de figuri reprezentate in figura 3.12.

3.2.1. Tipul 1

Tipul 1 de figura rezulta in situatiile :

- a) Ghidajele x,y sunt perfecte, unghiul  $p = 90$  grade (figura 3.13.).

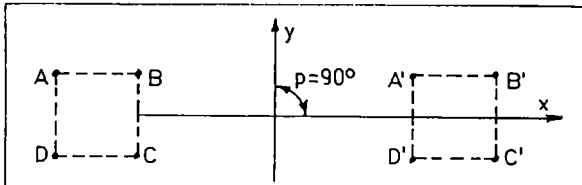


Fig. 3.13. Ghidajele x,y sunt perpendicularare

- b) Ghidajul x nu este perpendicular pe ghidajul y in plan orizontal, unghiul  $p < 90$  grade (figura 3.14.).

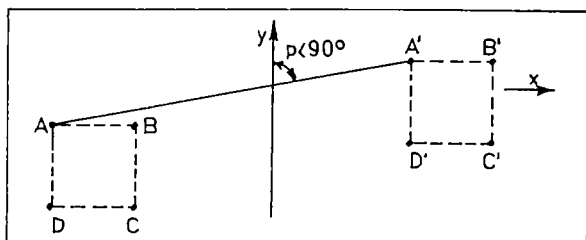


Fig. 3.14. Ghidajele x,y nu sunt perpendicularare si  $p < 90$  grade

c) Ghidajul x nu este perpendicular pe ghidajul y in plan orizontal, unghiul  $p > 90$  grade ( figura 3.15. ).

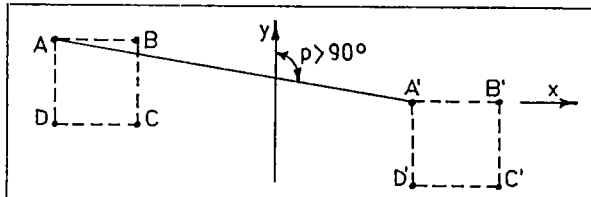


Fig. 3.15. Ghidajele x,y nu sunt perpendiculare si  $p > 90$  grade

d) Ghidajul x este dublu curbat in plan orizontal , cu convexitatile spre spate ( figura 3.16. ).

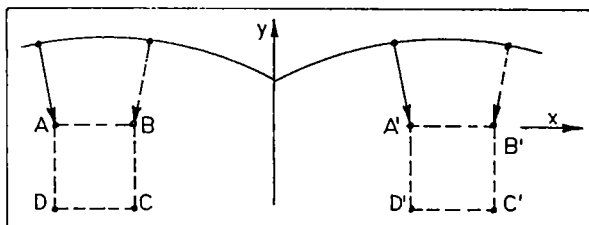


Fig. 3.16. Ghidajul x este dublu curbat cu convexitatea spre spate

e) Ghidajul x este dublu curbat in plan orizontal , cu convexitatile in fata ( figura 3.17. ).

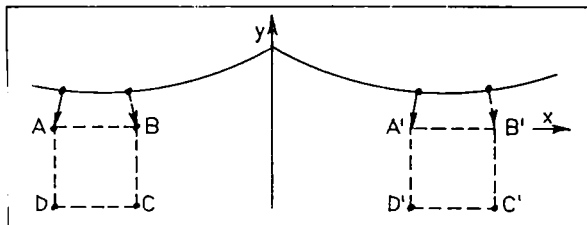


Fig. 3.17. Ghidajul x este dublu curbat cu concavitatea spre spate

Deficiențele b),c),d),e) sint deranjante numai in cazul tăierii benzilor.

### 3.2.2. Tipul 2

rezulta in situatia in care ghidajul x este frant la mijloc , in plan orizontal, avand bratul grinziei cu aparatele de taiere deviat in fata cu unghiul p ( figura 3.18. ).

$$x' = x \cdot \cos p \quad (3.33.)$$

$$ex = x \cdot (1 - \cos p) \quad (3.34.)$$

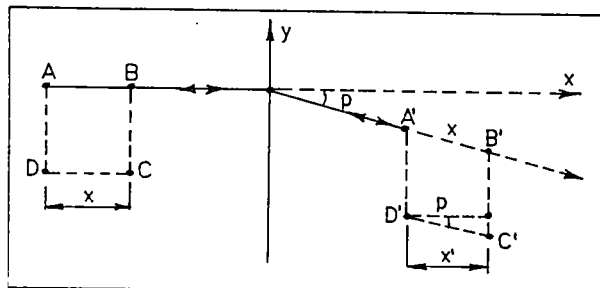


Fig. 3.18. Ghidajul x este frant in plan orizontal, avand bratul grinzii cu aparatele de taiere, deviat inainte

### 3.2.3. Tipul 3

rezulta in situatia in care ghidajul x este frant la mijloc , in plan orizontal, avand bratul grinzii cu aparatele de taiere deviat inapoi cu unghiul p ( figura 3.19. ).

$$x' = x \cdot \cos p \quad (3.35.)$$

$$ex = x \cdot (1 - \cos p) \quad (3.36.)$$

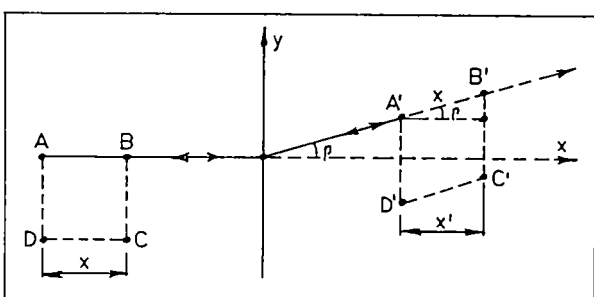


Fig. 3.19. Ghidajul x este frant in plan orizontal, avand bratul grinzii cu capul optic deviat inapoi

### 3.2.4. Tipul 4

rezulta in situatia in care ghidajul x este frant la mijloc , in plan orizontal , avand bratul grinzii cu capul optic deviat in fata cu unghiul p ( figura 3.20. ).

$$AB'' = A'B'''$$

$$x' = \frac{x}{\cos p} \quad (3.37.)$$

$$ex = x \cdot \left( \frac{1}{\cos p} - 1 \right) \quad (3.38.)$$

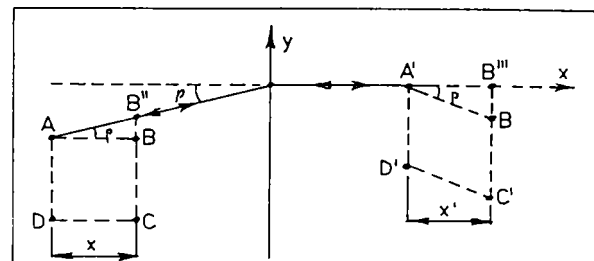


Fig. 3.20. Ghidajul x este frant in plan avand bratul grinzii cu capul optic deviat inainte

### 3.2.5. Tipul 5

rezulta in situatia in care ghidajul este frant la mijloc , in plan orizontal , avand bratul grinziei cu capul optic deviat inapoi cu unghiul p ( figura 3.21. ).

$$AB'' = AB''$$

$$x' = \frac{x}{\cos p} \quad (3.39.)$$

$$ex = x \cdot \frac{1}{\cos p} \quad (3.40.)$$

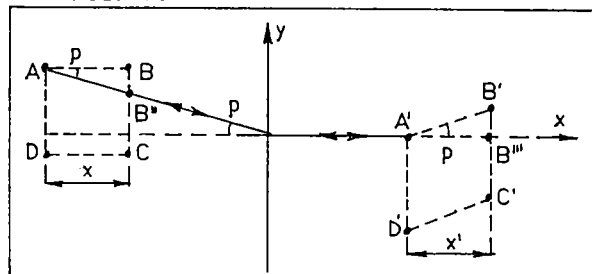


Fig. 3.21. Ghidajul x este frant in plan orizontal , avand bratul grinziei cu capul optic deviat inapoi

### 3.2.6. Tipul 6

rezulta in cazul in care ghidajul x este frant la mijloc , in plan orizontal , avand bratele grinziei deviate cu  $p/2$  in fata ( figura 3.22. ).

$$A'B_1 = AB''$$

$$x' = x \text{ (aprox.)} \quad (3.41.)$$

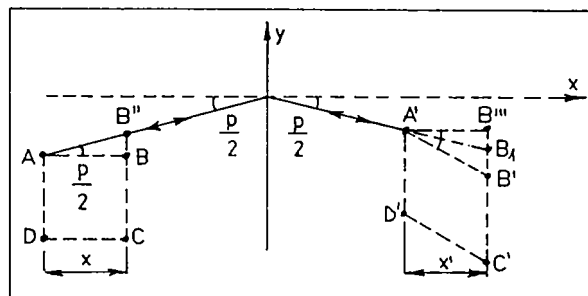


Fig. 3.22. Ghidajul x este frant in plan orizontal , avand ambele brate deviate inainte

### 3.2.7. Tipul 7

rezulta in situatia in care ghidajul x este frant la mijloc , in plan orizontal , avand bratele grinziei deviate cu  $p/2$  inapoi ( figura 3.23. ).

$$A'B_1 = AB''$$

$$x' = x \text{ (aprox.)} \quad (3.42.)$$

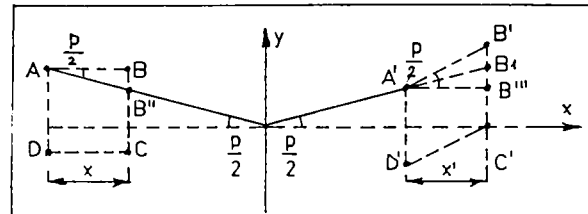


Fig. 3.23. Ghidajul x este frant in plan orizontal, cu ambele brate deviate inapoi

### 3.2.8. Tipul 8

rezulta in situatiile :

a) Bratul grinzi cu capul optic este curb in plan orizontal, avand convexitatea spre capul optic ( figura 3.24. ).  
 $\text{arc. } A_1 B_1 = \text{segm. } A_2 B_2$  ; Cota  $x'$  va rezulta mai mica decit  $x$  cu valoarea :

$$\text{ex} = x - x' \quad (3.43.)$$

Daca in figura 3.25. :

$$x = \text{segm. } AB$$

(cota desen urmarit)

$$x' = \text{arc. } A_1 B_1$$

(cota piesei)

$$a = \text{segm. } A A_1$$

$$= \text{segm. } B B_1$$

(bratul orizontal al capului optic)

$$sa = \text{segm. RP}$$

(sageata in plan orizontal a ghidajului x superior) ;

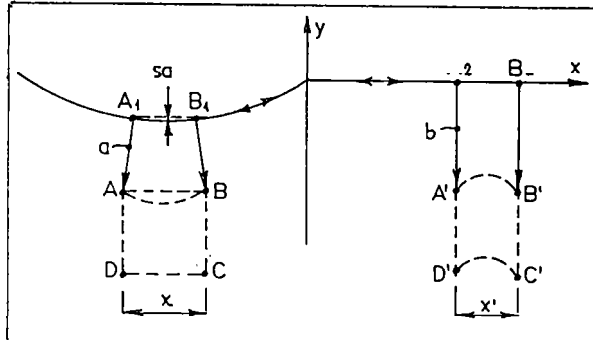


Fig. 3.24 Bratul grinzi cu capul optic este curb in plan orizontal , avand convexitatea spre capul optic

si daca se presupune ca raza de curbura a ghidajului  $x$  este foarte mare in raport cu arcul  $A_1 B_1$ , atunci se poate aproxima :  
 $\text{arc. } A_1 B_1 = \text{segm. } A_1 B_1$  ;  $PR = RS$  ;  $EF = FG$  ;  $\angle B_1 A_1 S = \angle A A_1 A_3$   
 Deoarece la acelasi unghi p raportul intre raza vectoare si arc maturat , este constant , rezulta :

$$\frac{\text{arc. } AA_3}{AA_1} = \frac{PS}{A_1 P} \quad (3.44.)$$

$$\frac{\text{ex} / 2}{a} = \frac{2 \cdot sa}{x / 2} \quad (3.45.)$$

deci eroarea este :

$$\text{ex} = \frac{8 \cdot sa \cdot a}{x} \quad (3.46.)$$

unde  $x' < x$

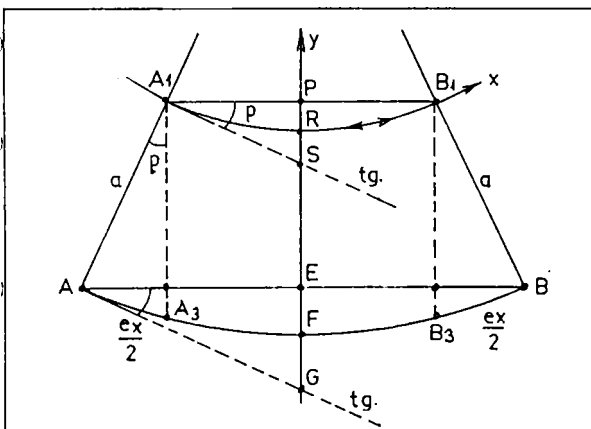


Fig. 3.25. Determinarea erorii in functie de sageata

b) Bratul grinzi cu aparatul de taiere este curb in plan orizontal, avand concavitatea spre apparatul de taiere (fig.3.26.)  
 $A_1 B_1 = \text{arc. } A_2 B_2$  ; Similar, se demonstreaza ca eroarea :

$$\text{ex} = \frac{8 \cdot sb \cdot b}{x} ; \text{ unde } x' < x \quad (3.47.)$$

$sb$  este sageata in plan orizontal a ghidajului  $x$  superior

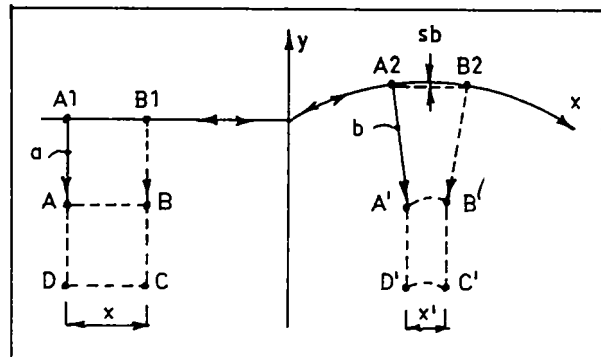


Fig. 3.26. Bratul grinzii cu aparatul de tăiere este curb în plan orizontal, având concavitatea spre aparatul de tăiere

c) Ambele brate ale grinzii sunt curbe în forma de S în plan orizontal, având convexitatea spre aparatul de tăiere (figura 3.27.).  
 $\text{arc. } A_1 B_1 = \text{arc. } A_2 B_2$   
 Aproximind ca :  
 $s_a << x$  și  $s_b << x$   
 rezulta :

$$\text{ex} = \frac{s_a \cdot a}{x} + \frac{s_b \cdot b}{x}$$

(3.48.)

unde  $x' > x$

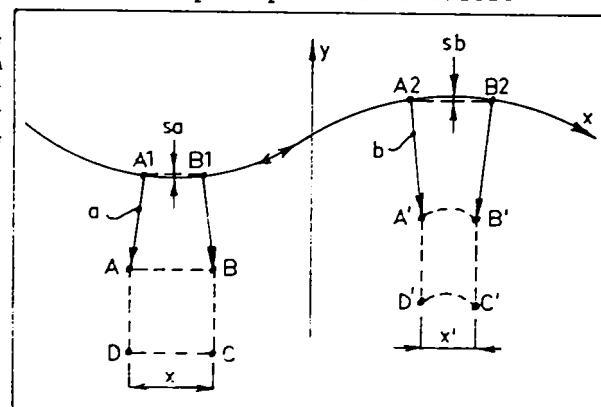


Fig. 3.27. Curbura în forma de S a grinzii, având convexitatea spre capul optic

### 3.2.9. Tipul 9

rezulta în situațiile :  
 a) Bratul grinzii cu capul optic este curb în plan orizontal, având concavitatea spre capul optic (figura 3.28.).

$$\text{arc. } A_1 B_1 = \text{arc. } A_2 B_2$$

eroarea este :

$$\text{ex} = \frac{s_a \cdot a}{x}$$

(3.49.)

unde :  $x' > x$

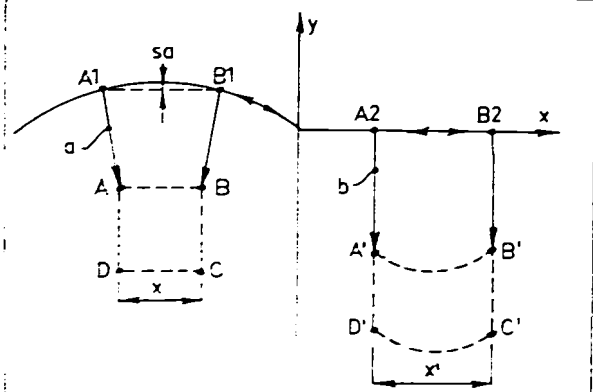


Fig. 3.28. Bratul grinzii cu capul optic este curb în plan orizontal, având concavitatea spre capul optic

b) Bratul grinzi cu aparatul de taiere este curb in plan orizontal, avand convexitatea spre aparatul de taiere (figura 3.29.).

$$\text{segm. } A_1 B_1 = \text{arc. } A_2 B_2$$

Eroarea este:

$$8. \frac{s_b}{x} b \\ \text{ex. } = \frac{-----}{x} \quad (3.50.)$$

unde:  $x' > x$

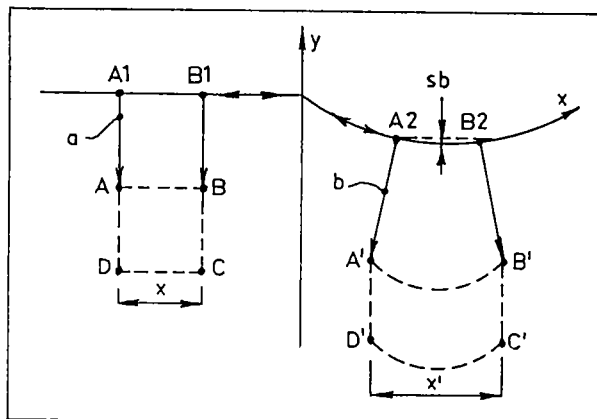


Fig. 3.29. Bratul grinzi cu aparatul de taiere este curb in plan orizontal, avand convexitatea spre aparatul de taiere

c) Ambele brate ale grinzi sunt curbe (forma in S) in plan orizontal, avand concavitatea spre capul optic si convexitatea spre aparatul de taiere (figura 3.30.).

$$\text{arc. } A_1 B_1 = \text{arc. } A_2 B_2$$

Eroarea este:

$$8. \frac{s_a}{x} a + \frac{s_b}{x} b \\ \text{ex. } = \frac{-----}{x} + \frac{-----}{x} \quad (3.51.)$$

unde:  $x' > x$

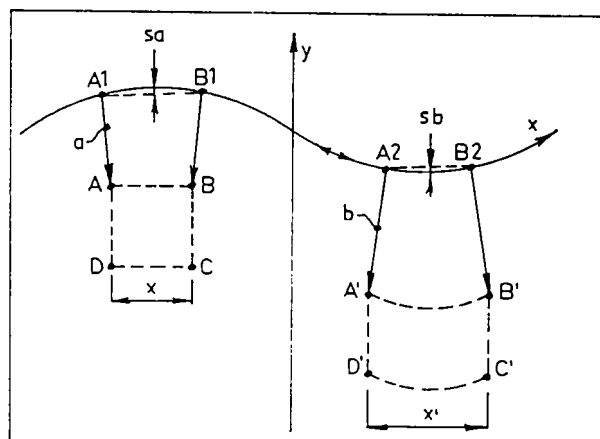


Fig. 3.30. Curbura in forma de S a grinzi x, avand concavitatea spre capul optic

### 3.2.10. Tipul 10

rezulta in situatiile

a) Unul, sau ambele brate ale grinzi sunt curbe (forma in S) in plan vertical; bratul grinzi cu capul optic are  $v_x < j$ , iar bratul grinzi cu aparatul de taiere are concavitatea in jos (figura 3.31.).

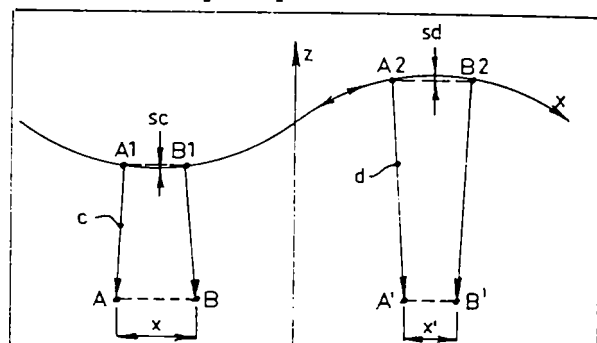


Fig. 3.31. Curbura in forma de S a grinzi x, in plan vertical, avand convexitatea in jos pe bratul cu capul optic

arc.A1 B1 = arc.A2 B2  
 c - distanta intre ghidajul superior x si desenul urmarit  
 d - distanta intre ghidajul superior x si tabla

sc - sageata in plan vertical a ghidajului x superior la capul optic  
 sd - sageata in plan vertical a ghidajului x superior la aparatul de taiere . Eroarea este :

$$ex = \frac{8 \cdot sc \cdot c}{x} + \frac{8 \cdot sd \cdot d}{x}; \quad \text{unde } x' < x \quad (3.52.)$$

Se considera in calcul sagetile ghidajului x superior si sagetile riglei , deoarece, in cazul in care sunt cuplate mai multe aparate de taiere pe rigla, rigla fiind relativ subtire, se incovoiaze sub greutatea aparatelor de taiere si devine paralela cu ghidajul x superior ( figura 3.32. ).

b) Bratul grinzii cu capul optic este frant cu unghiul m , in plan vertical ( figura 3.33. ).  
 segm.A1B1 = segm.A2B2

Eroarea este :

$$ex = x \cdot (1 - \cos m) \quad (3.53.)$$

unde:  $x' < x$

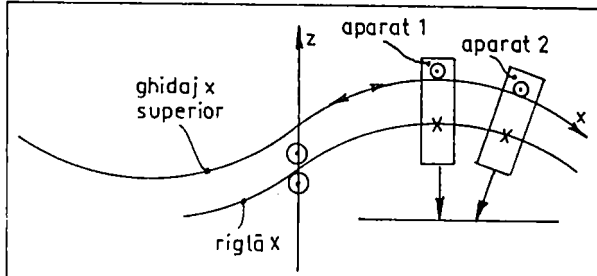


Fig. 3.32. Paralelismul intre rigla x si ghidajul x

Se considera in calcul sagetile ghidajului x superior si sagetile riglei , deoarece, in cazul in care sunt cuplate mai multe aparate de taiere pe rigla, rigla fiind relativ subtire, se incovoiaze sub greutatea aparatelor de taiere si devine paralela cu ghidajul x superior ( figura 3.32. ).

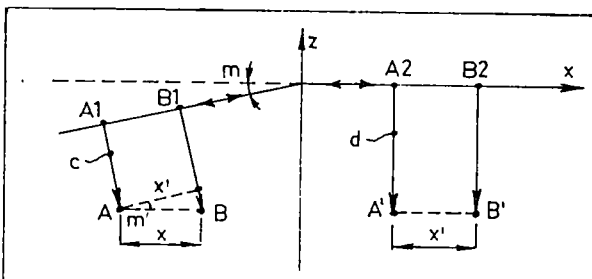


Fig. 3.33. Bratul grinzii cu capul optic este frant in plan vertical

Erorile de acest tip se pot neglaja , deoarece unghiul m este foarte mic practic, fiind impus de conditia ca spotul luminos al capului optic sa nu devieze de sub fotocelula . Aceasta implica necesitatea ca abaterea de la paralelism intre ghidajul x superior si planul desenului sa fie mai mica decat +/- 0,5 mm.

c) Rigla este fortata in sus la capatul drept, cu o sageata d2 (figura 3.34.). Tinand seama de expresiile sagetii si tangentei la bare drepte supuse la incovoiere :

In A, A':

$$d2 = \frac{F1 \cdot f \cdot (f + e + x)}{3 \cdot E \cdot Iz} \quad (3.54.)$$

$$\tan n1 = \frac{ex1}{g} = \frac{F1 \cdot f \cdot (x + e)}{6 \cdot E \cdot Iz} \quad (3.55.)$$

$$\tan n3 = \frac{ex3}{h} = \frac{F1 \cdot f \cdot (3 \cdot f + 2 \cdot x + 2 \cdot e)}{6 \cdot E \cdot Iz} \quad (3.56.)$$

In  $B, B'$ :

$$d_2 = \frac{F_2 \cdot (f + x) \cdot (e + f + x)}{3 \cdot E \cdot I_z} \quad (3.57.)$$

$$\tan n_2 = \frac{ex_2}{g} = \frac{F_2 \cdot (f + x) \cdot e}{6 \cdot E \cdot I_z} \quad (3.58.)$$

$$\tan n_4 = \frac{ex_4}{h} = \frac{F_2 \cdot (f + x) \cdot (3.f + 3.x + 3.e)}{6 \cdot E \cdot I_z} \quad (3.59.)$$

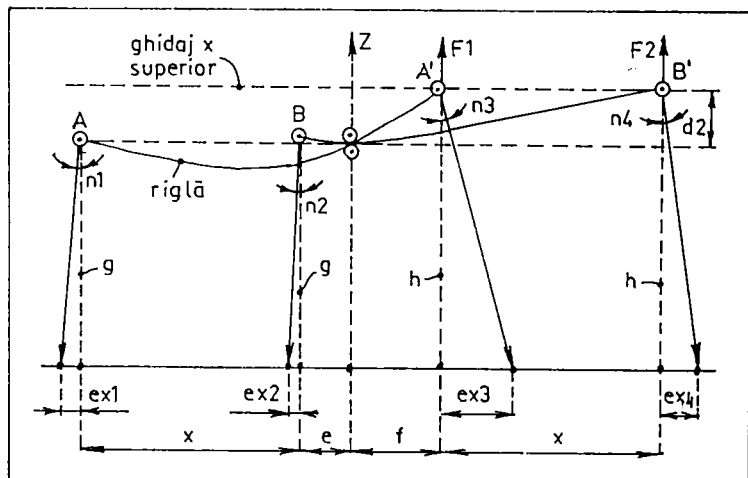


Fig. 3.34. Rigla este fortata in sus la capatul drept

Conform fig. 3.34.:  $ex = (ex_1 - ex_2) + (ex_3 - ex_4)$  (3.60.)

$$ex = \frac{d_2 \cdot x \cdot (2.h + g)}{2 \cdot f \cdot (f + x)} ; \text{ unde } x' < x \quad (3.61.)$$

### 3.2.11. Tipul 11

le:  
l... tii-

a) Unul sau ambele brate ale grin-zii sunt curbe (forma in S) in plan vertical; bratul grin-zii cu capul optic are concavitatea in jos, iar bratul grin-zii cu aparatul de taiere are convexitatea in jos (figura 3.35.).

$$arc.A1B1 = arc.A2B2$$

$$8.sc.c \quad 8....$$

$$ex = \frac{x}{x} + \frac{x}{x} \quad (3.62.)$$

unde:  $x' > x$

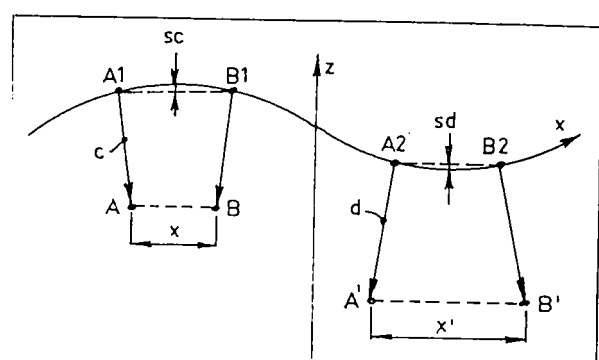


Fig. 3.35. Curbura in forma de S a grin-zii x, in plan vertical, avand concavitatea in jos pe bratul cu capul optic

b) Bratul grinzi, cu aparatul de taiere este frant cu un unghi  $m$  in plan vertical (fig. 3.36.)  
 segm.  $A_2B_2 = \text{segm. } A_1B_1$   
 Eroarea este :

$$\text{ex} = \frac{1}{\cos m} \quad (3.63.)$$

unde:  $x' > x$

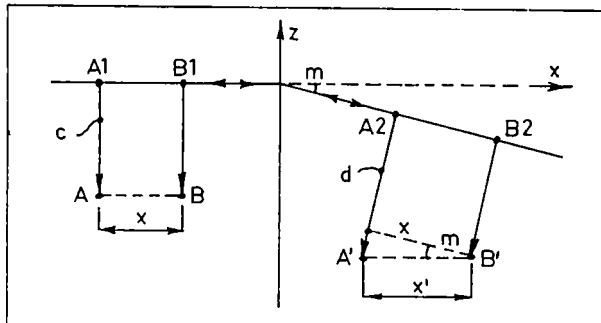


Fig. 3.36. Bratul grinzii cu aparatul de taiere este frant in plan vertical

c) Rigla este fortata in sus la capatul stang, cu o sageata  $d_1$  ( figura 3.37.) . Eroarea este :

$$\text{ex} = \frac{d_1 \cdot x \cdot (2 \cdot g + h)}{2 \cdot e \cdot (e + x)} ; \text{ unde } x' > x \quad (3.64.)$$

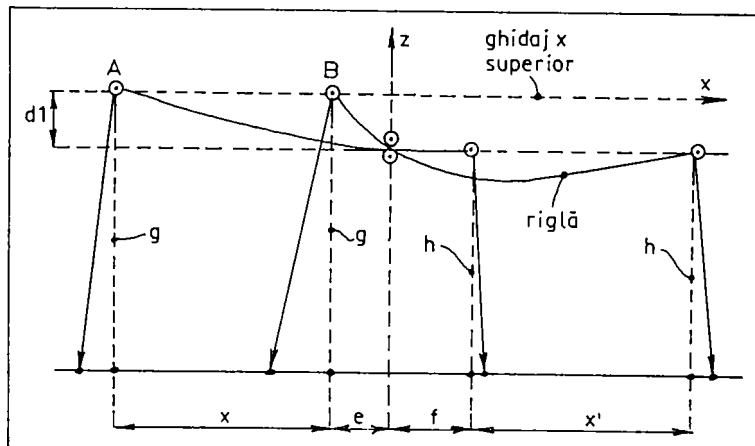


Fig. 3.37. Rigla este fortata in sus la capatul stang

### 3.2.12. Tipul 12

rezulta in situatia in care ghidajul vertical din portaparatul de taiere nu este paralel cu axul rulmentului special ( figura 3.38. ). Daca se noteaza:

$q$  - unghiul de inclinare a ghidajului  $OB''$  fata de axul rulmentului  $O'O''$ .

$i$  - cursa verticala a aparatului de taiere

$b_1$  - bratul orizontal al aparatului de taiere

$b''$  - bratul orizontal de ghidare

rezulta :

$$A'''B''' = i \cdot \sin q \quad (3.65.)$$

$$\frac{A'B'}{A'O'} = \frac{A'''B'''}{A'''O'''} \quad (3.66.)$$

$$\frac{ex}{b_1} = \frac{A''B''}{b'} \quad (3.67.)$$

$$\frac{ex}{b_1} = \frac{i \cdot \sin q}{b'} \quad (3.68.)$$

$$\frac{ex}{b_1} = \frac{b_1 \cdot i}{b'} \cdot \sin q \quad (3.69.)$$

De obicei, la eroarea  $ex$  se mai adauga si o eroare cauzata de joc in rulment (translatie x si pendulara x) si joc pe ghidajul vertical.

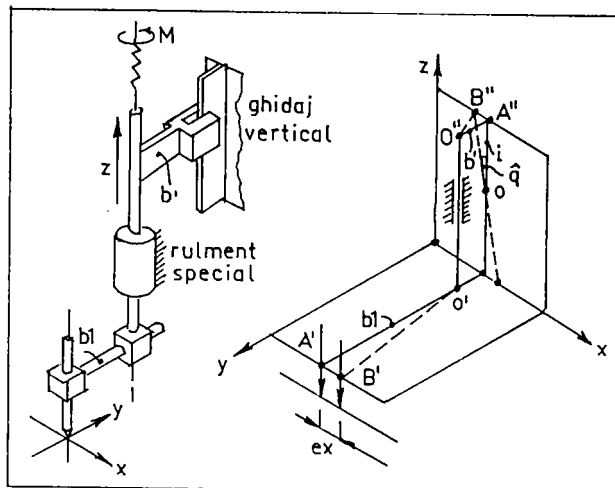


Fig. 3.38. Ghidajul vertical al aparatului de taiere nu este paralel cu axul rulmentului special

### 3.2.13. Tipul 13

rezulta in situatia in care ghidajul y este curb in plan orizontal, avand concavitatea spre aparatul de taiere (figura 3.39.). Eroarea este:

$$\frac{ey}{y} = \frac{8 \cdot s \cdot (e_1 + f_1)}{y} \quad (3.70.)$$

unde:  $y' < y$

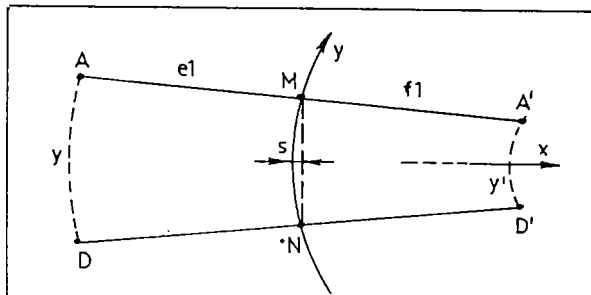


Fig. 3.39. Curbura ghidajului y in plan orizontal, avand concavitatea spre aparatul de taiere

### 3.2.14. Tipul 14

rezulta in situatia in care ghidajul y este curb in plan orizontal, avand convexitatea spre aparatul de taiere (figura 3.40.). Eroarea este:

$$\frac{ey}{y} = \frac{8 \cdot s \cdot (e_1 + f_1)}{y} \quad (3.71.)$$

unde:  $y' > y$

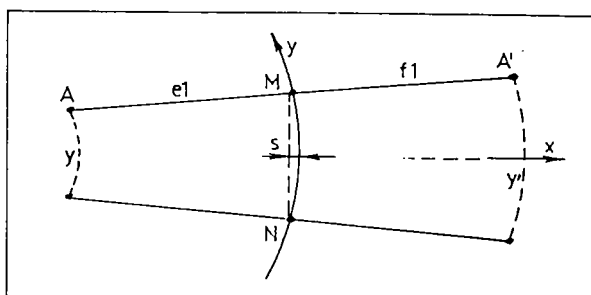


Fig. 3.40. Curbura ghidajului y in plan orizontal, avand convexitatea spre aparatul de taiere

### 3.2.15. Tipul 15

rezulta in situatii-  
l :

a) Ghidajele x pe care ruleaza capul optic nu sunt coplanare (figura 3.41.). Daca "sai" este abaterea de la coplanaritate a ghidajului x inferior, la nivelul capului optic , eroarea este:

$$ey = \frac{c}{v} \cdot sai \quad (3.72.)$$

b) Ghidajele x pe care ruleaza aparatul de taiere , nu sunt coplanare ( figura 3.42. ). Daca "sbi" este abaterea de la coplanaritate a ghidajului x superior , la nivelul aparatului de taiere , eroarea este:

$$ey = \frac{d}{v} \cdot sbi \quad (3.73.)$$

c) Ghidajele x pe care ruleaza capul optic si aparatele de taiere,nu sunt coplanare (se cumuleaza efectele):

$$ey = \frac{c}{v} \cdot sai + \frac{d}{v} \cdot sbi$$

sau:

$$ey = \frac{c}{v} \cdot sai - \frac{d}{v} \cdot sbi$$

(3.74.)

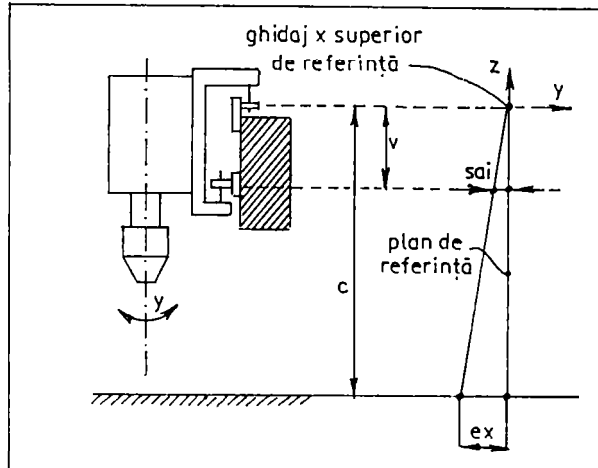


Fig. 3.41. Ghidajele x ale capului optic nu sunt coplanare

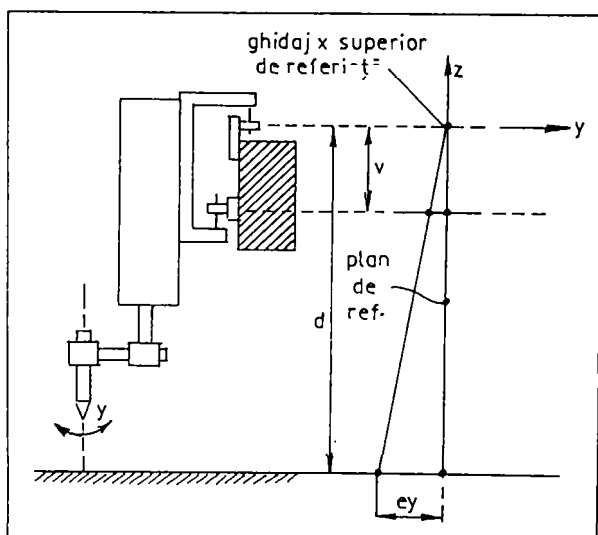


Fig. 3.42. Ghidajele x ale aparatului de taiere nu sunt coplanare

### 3.2.16. Concluzii asupra celor 15 tipuri de erori geometrice

Prin cumularea celor 15 tipuri de erori , in ipoteza ca au acelasi semn :

Cota x' va fi afectata de eroarea totala : (3.75.)

$$ex = x \cdot (1 - \cos p) + x \cdot (1 - \cos m) + \frac{8 \cdot sa \cdot a}{x} + \frac{8 \cdot sc \cdot c}{x}$$

$$+ \frac{8 \cdot sb \cdot b}{x} + \frac{8 \cdot sd \cdot d}{x} + \frac{d2 \cdot x \cdot (2 \cdot h + g)}{2 \cdot f \cdot (f + x)} + \frac{b1 \cdot i}{b'} \cdot \sin q$$

Cota y' va fi afectata de eroarea totala :

$$ey = \frac{8 \cdot s \cdot (e1 + f1)}{y} + \frac{c}{v} \cdot sai + \frac{d}{v} \cdot sbi \quad (3.76.)$$

Daca se impune o eroare maxima de +/- 0,4 mm la cota de 1m, deci de +/- 0,8 mm in planul de lucru de 2 x 2 metri si daca se aloca si partiile electronice - optice o rezerva de +/- 0,1 mm, se poate atribui fiecarui termen o valoare echitabila:

$$ex = 0,7 \text{ mm} = 0,05 + 0,05 + 0,1 + 0,1 + 0,1 + 0,1 + 0,1 + 0,1 \text{ mm} \quad (3.77.)$$

$$ey = 0,7 \text{ mm} = 0,23 + 0,23 + 0,23 \text{ mm} \quad (3.78.)$$

Daca, de exemplu (cazul masinii tip "MATTO-G", varianta 1) geometria masinii consta din :

$x = 2000 \text{ mm}$	$g = 230 \text{ mm}$
$y = 2000 \text{ mm}$	$h = 580 \text{ mm}$
$a = 187 \text{ mm}$	$i = 20 \text{ mm}$
$b = 285 \text{ mm}$	$b' = 60 \text{ mm}$
$c = 390 \text{ mm}$	$b1 = 175 \text{ mm}$
$d = 705 \text{ mm}$	$v = 125 \text{ mm}$
$e = 200 \text{ mm}$	$e1+f1 = e+f+x = 2650 \text{ mm}$
$f = 450 \text{ mm}$	

Rezulta ca reperurile masinii trebuie sa fie executate suficient de precis, ca sa asigure:

$p = \text{max. } 24'$	$d2 = \text{max. } 0,08 \text{ mm}$
$m = \text{max. } 24'$	$q = \text{max. } 6'$
$sa = \text{max. } 0,13 \text{ mm / 2 m}$	$s = \text{max. } 0,09 \text{ mm / 2 m}$
$sb = \text{max. } 0,09 \text{ mm / 2 m}$	$sai = \text{max. } 0,07 \text{ mm / 2 m}$
$sc = \text{max. } 0,06 \text{ mm / 2 m}$	$sbi = \text{max. } 0,04 \text{ mm / 2 m}$
$sd = \text{max. } 0,035 \text{ mm / 2 m}$	

Analiza fiecarui reper generator de eroare, a condus la regandirea solutiei constructive, rezultind varianta a 2-a a masinii tip " MATTO-G ", la care, rigla elastica x a fost inlocuita cu o grinda rigida care se poate translata in lungul grinzelor principale x . Aceasta a condus la reducerea erorilor astfel:

$$ex = - \frac{8}{x} (sa \cdot a - sc \cdot c) + \frac{8}{x} (sb \cdot b - sd \cdot d) + \frac{b1 \cdot i}{b'} \cdot \sin q \quad (3.79.)$$

$$ey = \frac{8 \cdot s \cdot (e1 - f1)}{y} + \frac{c \cdot sai - d \cdot sbi}{v} \quad (3.80.)$$

$$ex = 0 + 0 + 0,1 = 0,1 \text{ mm} ; \quad ey = 0,23 + 0 = 0,23 \text{ mm} \quad (3.81.)$$

### 3.3. Conditii de executie a echipamentului electronic la masinile automate de taiere termica prin urmarire optica la scara 1:1

Partea electronica afecteaza precizia prin aspectele :

1. Decalajul de tensiune generat de traductor optic.
2. Zona de insensibilitate a motorului mz.
3. Zona de insensibilitate a motoarelor  $mx, my$ .

S-au analizat si aspectele:

4. Deriva termica a variatoarelor de turatie  $x, y$ . Acestea nu afecteaza cota piesei, producand numai o translatare a piesei fata de tabla din care se debiteaza, cu cca. 0,01 mm.

5. Abaterea de la forma curbei sinus si forma curbei cosinus la descompunerea in coordonate. Aceasta nu afecteaza cota piesei, produce numai o modificare a vitezei de avans cu cca. 1% Eroarea maxima ar putea sa apara la 45 grade (cand  $vx = vy$ ). In acest caz,  $vx' = vx + \#v$  si  $vy' = vy + \#v$ . In relatii,  $\#v$  este deriva de viteza perturbatoare. Nu se produce o rotire a vectorului viteza tangent la curba rezultant  $vt' = vx' + vy'$ , ci numai o modificare a modulului.

#### 3.3.1. Eroarea cauzata de traductorul optic "eo"

Traductorul optic are rolul de a genera o tensiune  $U_o$ , in functie de nivelul de alb/negru al desenului urmarit. In cazul ideal (eroare zero), dependenta  $U_o = f(x)$ , pentru o diafragma  $f_o$  de 2 mm, este reprezentata in figura 3.43., in care s-a notat:

$+U_a$  - tensiunea generata de nivelul de alb

$-U_n$  - tensiunea generata de nivelul de negru

$x$  - pozitia fotocelulei pe directia normala la contur

La disponerea fotocelulei pe jonctiunea intre alb si negru tensiunea generata  $U_o = 0$  volti.

In cazul real, cu eroare (figura 3.44.), in locul caracteristicii ideale, se dispune de o caracteristica deplasata, ceea ce pune in evidenta faptul ca la jonctiunea intre negru si alb, ( $x = 0$ ), apare o tensiune de decalaj " $\#U_o$ ", variabila in functie de conditiile perturbatoare.

Deoarece sistemul automat de reglare in bucla inchisa reduce fotocelula pe pozitia  $U_o=0V$  apare o eroare eo a pozitiei fotocelulei fata de desen. Din figura 3.44. rezulta :

$$\frac{f_o/2 + eo}{+U_a} = \frac{fo/2 - eo}{-U_n} = \frac{eo}{\#U_o}$$

(3.82.)

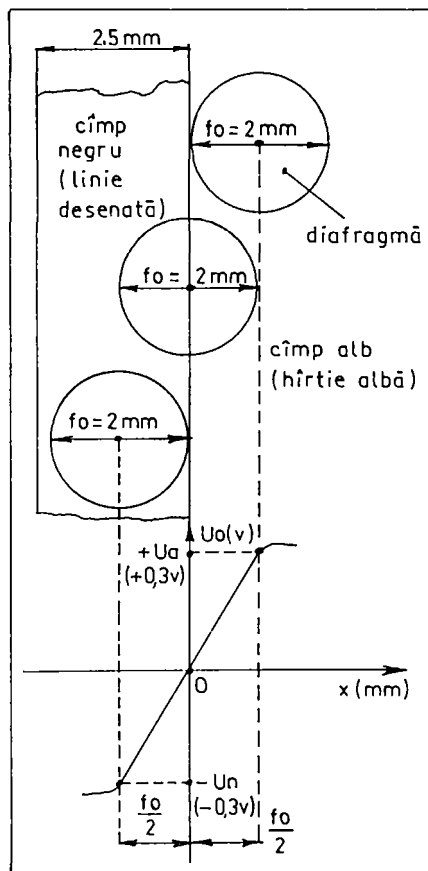


Fig. 3.43. Caracteristica ideală :  $U_o = f(x)$

deci:

$$eo = \frac{\#Uo}{(Ua + Un)} \cdot fo \quad (3.83.)$$

$$\#Uo = \frac{Ua + Un}{2} \quad (3.84.)$$

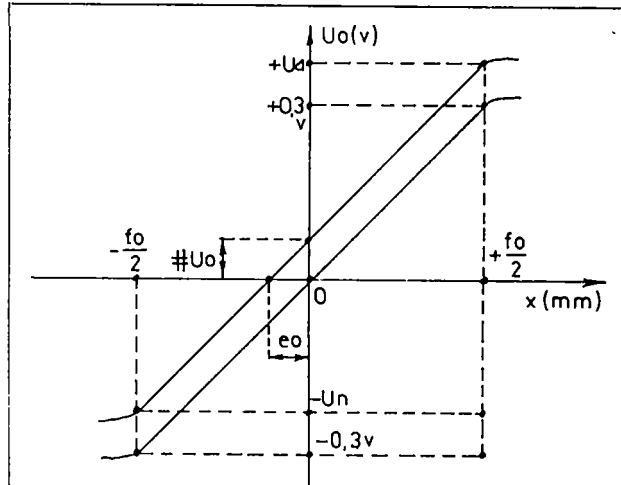


Fig. 3.44. Caracteristica reala:  $Uo = f(x)$

Practic, cu potentiometrul de pe capul optic se regleaza echilibrul  $Ua = Un$ , iar cu potentiometrul de pe placa electronica se regleaza amplificarea  $Ua + Un = 0,6$  V. Diametrul  $fo$  al diafragmei se optimizeaza la  $fo = 2$  mm, ca un compromis intre deriva termica si iluminare. Deoarece elementele perturbatoare nu afecteaza amplificarea ( $Ua + Un = \text{constant} = 0,6$  V), rezulta:

$$eo = \frac{\#Uo}{0,6} \cdot 2 \quad (3.85.)$$

$$eo = 3,33 \cdot \#Uo \quad (3.86.)$$

in care :  $eo$  (mm) ,  $\#Uo$  (V).

Tensiunea de decalaj  $\#Uo$  este cauzata de perturbatiile :

- Variatia distantei intre fotocelula si desenul urmarit. Practic, se impune o variatie a distantei de maxim +/- 0,5 mm in care, in conditia unei centrari corecte a spotului luminos fata de axa diafragmei, produce tensiune de decalaj minima.

- Subiectivismul reglarii echilibrului  $Ua = Un$ . Reglarea se face prin aprecierea echilibrului intre turatia capului optic pe alb si pe negru.

- Deriva termica a fotocelulei si a amplificatorului operational.

### 3.3.2. Eroarea cauzata de zona de insensibilitate a motorului care roteste capul optic "ez"

Motorul mz roteste capul optic prin reglare in bucla inchisa in scopul aducerii tensiunii generate de traductorul optic  $Uo$  la valoarea zero. Din cauza caracteristicii neliniare  $nz = f(Uz)$  in zona turatiilor mici exista o zona de insensibilitate in care la o variatie de tensiune  $Uz$  corespunde o turatie  $nz = 0$ , conform figurii 3.45.

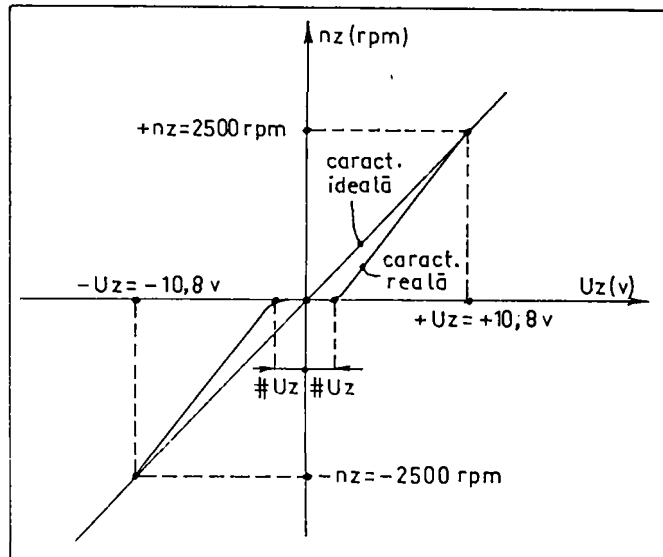


Fig. 3.45. Caracteristica  $nz = f(Uz)$

Tensiunea  $Uz$  este obtinuta prin amplificarea tensiunii generate de traductorul optic,  $Uz = f(Uo)$ , conform figurii 3.46. Din caracteristica  $Uz = f(Uo)$  rezulta :

$$\frac{Ua + Un}{2 \cdot Uz} = \frac{\#Uo}{\#Uz}$$

(3.87.)

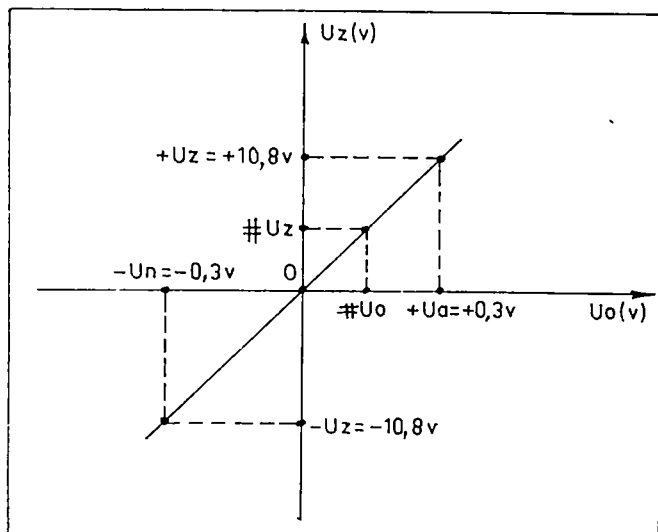


Fig. 3.46. Caracteristica  $Uz = f(Uo)$

Deci traductorul optic genereaza o tensiune  $\#Uo$  care nu reuseste sa roteasca motorul  $mz$ . Acestei tensiuni  $\#Uo$  ii corespunde o eroare  $eo$  fata de linia desenata, la nivelul capului optic, pe care, in acest caz, o notam cu "ez" pentru ca apare din cauza motorului  $mz$ .

$$ez = \frac{fo}{Ua + Un} \cdot \#Uo \quad (3.88.)$$

Din relatiile 3.87. si 3.88 :  $ez = \frac{fo}{2 \cdot Uz} \cdot \#Uz$  (3.89.)  
 fo = 2 mm ; Uz = 10,8 V ; deci :  $ez = 0,092 \cdot \#Uz$  (3.90.)  
 in care : ez = (mm) ; #Uz = (V) ;

3.3.3. Eroarea cauzata de zona de insensibilitate a motoarelor de actionare in coordonate "ex"

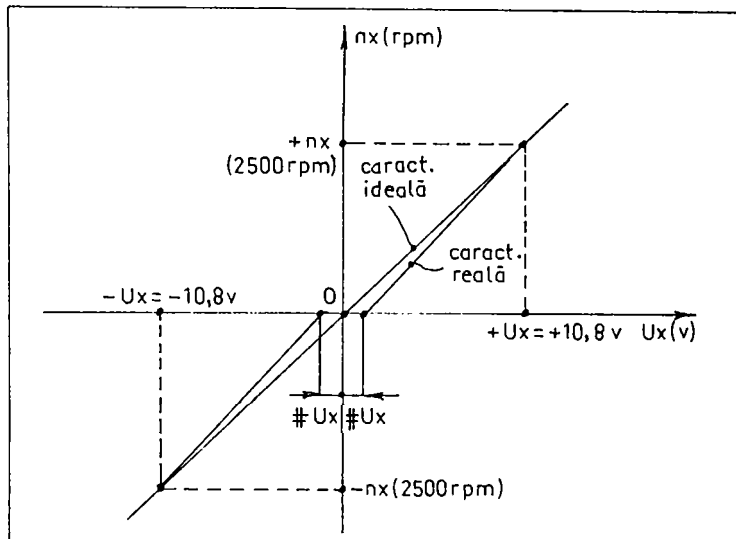


Fig. 3.47. Caracteristica  $nx = f(Ux)$

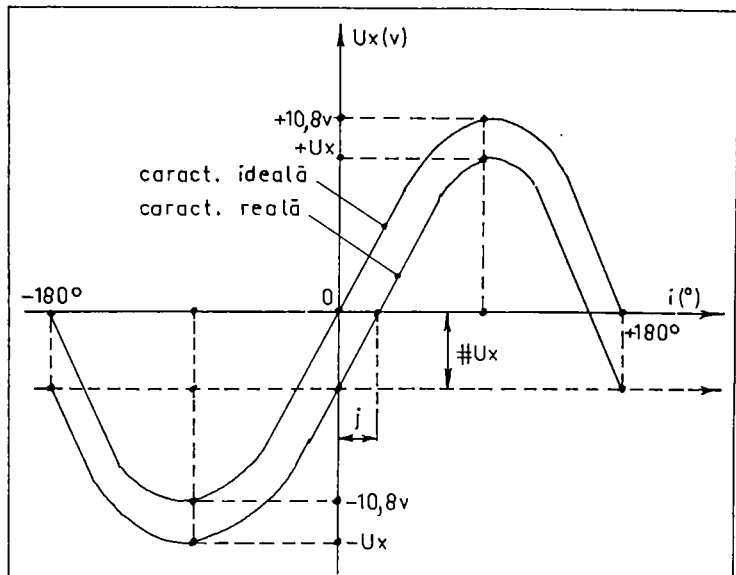


Fig. 3.48. Caracteristica  $Ux = f(i)$

Similar cu motorul mz, motoarele mx si my au zone de insensibilitate. Pe axa x, rezulta o eroare din cauza zonei de insensibilitate  $\#Ux$ , conform figurii 3.47.

Tinind seama de caracteristica descompunerii in coordonate  $Ux = f(i)$ , reprezentata in figura 3.48., rezulta :

$$\#Ux = Ux \cdot \sin j \quad (3.91.)$$

Zonei de insensibilitate  $\#Ux$ , ii corespunde o rotire a rezolverului cu un unghi  $j$  (de eroare fata de  $i$ ). Acestei rotiri  $j$ , tinand seama de excentricitatea "d" a fotocelulei, ii corespunde o eroare " $ex$ ", conform figurii 3.49.

$$ex = d \cdot \sin j \quad (3.92.)$$

Din cele doua relatii rezulta :

$$ex = \frac{d}{Ux} \cdot \#Ux \quad (3.93.)$$

La  $d = 1\text{mm}$  si  $Ux = 10,8\text{ V}$  :

$$ex = 0,092 \cdot \#Ux \quad (3.94.)$$

in care:  $ex = (\text{mm})$ ;  $\#Ux = (\text{V})$

In regim stationar, zonele de insensibilitate  $\#Uz$  si  $\#Ux$  se reduc practic, prin utilarea alimentarii motoarelor mz, mx, prin variatoare de turatie (eventual de tensiune) si prin marirea curentului de circulatie al variatoarelor. Din conditii de incalzire si vibratii, acest curent este limitat superior.

In regim dinamic (in timpul urmaririi conturului), zona de insensibilitate este mai mare din cauza jocului in angrenaje. La reversarea turatiei motorului, pina in momentul preluarii jocului trece un timp mort, timp in care capul optic efectueaza un avans eronat. Timpul mort al actionarilor x, y, este cu atat mai mare, cu cat viteza de avans prescrisa este mai mica.

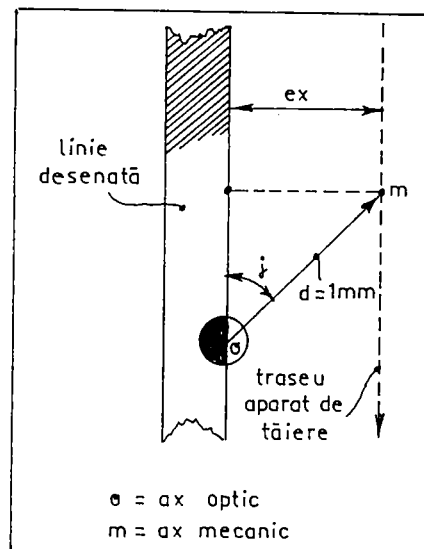


Fig. 3.49. Dependenta  $j = f(ex)$

### 3.3.4. Eroarea totala . Concluzii .

Din cauza inchiderii conturului, cota este eronata cu dublul erorilor calculate in cele 3 situatii :  $eo$ ,  $ez$ ,  $ex$ , conform figurii 3.50.

$$e = 2.eo + 2.ez + 2.ex \quad (3.95.)$$

Pentru partea electrica tratata in acest capitol, se afecteaza  $\pm 0,1\text{ mm}$ . Daca afectam ponderi egale celor 3 cauze, rezulta :

$$eo = ez = ex = \frac{e}{6} = 0,016\text{ mm} \quad (3.96.)$$

Rezulta :

$$\#U_o = \frac{e_o}{3,33} = 0,0048 \text{ V} \quad (3.97.)$$

$$\#U_z = \frac{e_z}{0,092} = 0,174 \text{ V} \quad (3.98.)$$

$$\#U_x = \frac{e_x}{0,092} = 0,174 \text{ V} \quad (3.99.)$$

Valorile deosebit de mici pentru:  $\#U_o$ ,  $\#U_z$ ,  $\#U_x$ , pun în evidență faptul că se prescriu condiții foarte severe, raportat la posibilitatile tehnice de execuție.

Cele trei tipuri de erori discutate, nu depind de cota piesei, deci pentru determinarea experimentală, nu este necesară urmarirea unui desen mare.

Nota :

Valorile concrete, prezentate în acest capitol, se referă la micromotoarele tip "MA-13" ( $m_x, m_y, m_z$ ), cu care sunt echipate mașinile automate de tăiere termică oxigaz tip "MATTO-G". Informativ, unele caracteristici ale acestor motoare, sunt [146]:

- tip constructiv : de curent continuu, cu magneti permanenti
- puterea nominală : 13 watt
- tensiunea nominală : 28 V
- curentul nominal : 0,8 A
- turatia nominala : 6.500 rpm

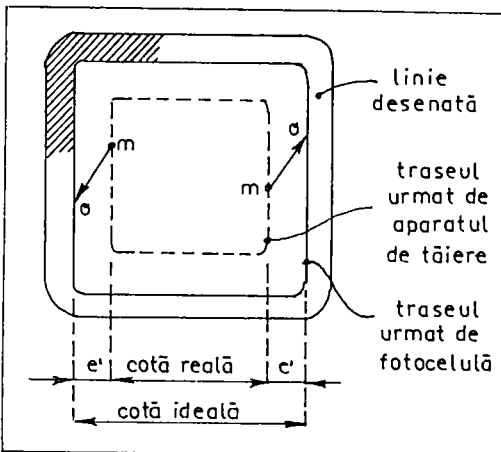


Fig. 3.50. Eroarea totală

## CAPITOLUL 4

SOLUTIE NOUA  
CONCEPUTA SI REALIZATA  
DE CAP OPTIC FARA COMPONENTE  
MECANICE IN MISCARE DE ROTATIE  
IN VEDEREA MARIRII VITEZEI DE  
AVANS SI A PRECIZIEI DEBITARII

#### 4.1. Comanda numerica, sau urmarire optica ?

Desigur, aceasta intrebare si-o pun producatorii de masini automate de debitare prin conturare, dar si beneficiarii.

##### 4.1.1. Dezavantajele comenzi numerice :

- Ceea ce pare paradoxal, este faptul ca precizia conturarii nu este mai mare in cazul comenzi numerice. Practic, erorile la debitare nu sunt determinate de partea electronica a echipamentului, ci de partea mecanica: jocuri, erori ale cremaliereelor de masura, et c. Asa se explica si reglementarea acestor erori, in cazul tacierii oxigaz, prin standardele germane DIN (DIN 8523-74) : - la urmarire optica de desene 1:1, pe curbura lenta

: +/- 0,4 mm

- la comanda numerica : +/- 0,6 mm

Urmarirea optica 1:1 nu necesita cremaliere de masura x,y, nici traductoare de pozitie.

- Sub aspectul pretului, comanda numerica este de 8 ... 20 de ori mai scumpa decit urmarirea optica. Pretul este suplimentat si de necesitatea dotarii cu echipamente conexe : digitizor, scanner, plotter, calculator auxiliar, et c.

- Complexitatea utilajului pune sub semnul intrebarii fiabilitatea.

- Realizarea unor contururi nedeterminate prin relatii matematice necesita operatii laborioase de programare, sau apelarea la statii grafice de inalta rezolutie de digitizare.

##### 4.1.2. Dezavantajele urmaririi optice :

Referirea se face la capurile optice rotitoare.

- Viteza de avans este de cca. 10 ori mai mica decat in cazul comenzi numerice ( cca. 0,6 metri/minut, fata de cca. 6 metri/minut ). Acest lucru este cauzat de existenta pieselor in miscare de rotatie din capul optic ( roti dintate, motor, tahogenerator, rezolver rotativ, inele colectoare, bec de iluminare, tub optic ), jocului mecanic, timpului mort de 10 ... 20 ms din variatorul de turatie, constantelor de timp de filtrare ale demodulatoarelor sincrone, constantei de timp electrice a motorului de actionare din capul optic.

- Tesirea colturilor conturului este relativ mare (2,5mm pe bisectoarea coltului de 90 grade). Or, din prezentarea domeniului de aplicabilitate, rezulta ca ar fi necesare tesiri mai mici ale colturilor. In cazul urmaririi optice se constata o dependenta intre excentricitatea fotocelulei si viteza de avans. Legatura este conditionata de constantele de timp ale sistemului, de jocuri si de timpii morti. Cu cat dorim o viteza de avans mai mare, cu atat suntem obligati sa marim si excentricitatea fotocelulei, altfel sistemul intra in pendular. De exemplu, cu o excentrizare de 0,3 mm nu se poate realiza o viteza de avans mai mare de 0,1 metri/minut, cu o excentrizare de 2,5 mm se poate realiza o viteza de avans de maxim 0,6 metri/minut. Tesirea colturilor este specifica numai urmaririi optice ; in cazul comenzi numerice, tesirea determinata de conturare, nu exista.

- Inelele si periile colectoare din argint necesita operatii periodice de intretinere ( degresare si curatire cu tetraclorura de carbon ), in plus, au o durata limitata, de altfel, ca si rotile dintate din capul optic.

- O problema deosebit de neplacuta in exploatare, o consti-  
tuie necesitatea inlocuirii periodice a becului de iluminare a  
desenului. Utilizarea unor becuri nefiabile conduce la oprirea  
intervale de 2 ... 3 zile, iar operatia de reglare dupa inlocuire  
este relativ dificila, in special in cazul filamentelor excen-  
trice fata de balonul becului. De asemenea, inegrarea interioara  
a balonului conduce la o deriva optica permanenta si la necesi-  
tatea corectiei periodice a " offsetului optic ".

- In practica s-a constatat si o oarecare influenta pertur-  
batoare a lumинii ambiante asupra semnalului generat de fotoce-  
lula, datorita operarii in domeniul vizibil al spectrului de ra-  
diatie .

- Fiabilitatea capului optic nu este cea mai buna, din cau-  
za existentei mai multor subansambluri : motor electric, tahoge-  
nerator, rezolver rotitor, variator de turatie, stabilizator de  
tensiune pentru becul de iluminare , 2 demodulatoare sincrone ,  
peri si colectoare, roti dintate, bec de iluminare.

- Pretul de fabricatie al capului optic nu este cel mai mic

- Raportul semnal/zgomot al traductorului optic nu este su-  
ficient de mare.

#### 4.2. Solutia propusa : un nou tip de cap optic

Nu in mod intimplator , la punctul 4.1. au fost prezentate  
numai dezavantaje.

In continuare , se propune o solutie care elimina toate de-  
zavantajele prezentate: si pentru comanda numerica si pentru ur-  
marirea optica : realizarea unui cap optic fara componente meca-  
nica in miscare de rotatie . Performantele sunt spectaculoase si  
acestea , pentru beneficiar devin interesante :

- Viteza de avans a noului tip de cap optic este de cca.100  
metri/minut , deci de cca. 160 de ori mai mare decit a capurilor  
optice clasice ( rotitoare ) , care au maxim 0,6 metri/minut .  
Raspunsul se obtine in timp real, realizarea functiilor sinus si  
cosinus se face numai pe cale electronica . Daca la capurile opti-  
ce rotitoare limitarea vitezei de avans la 0,6 metri/minut es-  
te determinata chiar de capul optic , in cazul noului tip de cap  
optic , limitarea nu o mai produce acesta , ci actionarile x,y.  
Din cauza acestora , s-a convenit sa se garanteze viteza maxima  
de avans de 6 metri/minut , oricum , de 10 ori mai mare decit  
a capurilor optice rotitoare si similara cu viteza maxima in ca-  
zul comenzi numerice . Prin extinderea domeniului vitezei de a-  
vans, se faciliteaza taierea materialelor, prin procedee de mare  
concentrare energetica : taierea cu plasma si taierea cu laser.

- Marirea preciziei colturilor conturului de 6 ori. Aceasta  
se manifesta prin reducerea tesirii coltului pe bisectoarea un-  
ghiului de 90 grade , de la 2,5 mm la 0,4 mm . Tinand seama de  
faptul ca tesirea de 2,5 mm se obtine la capurile optice roti-  
toare la viteza maxima de 0,6 metri/minut, prin extrapolare , la  
o viteza de 6 metri/minut ar fi necesara o excentricitate de  
 $2,5 \times 10 = 25$  mm ( deci ar rezulta o tesire de 25 mm ). Deci, de  
fapt, reducerea echivalenta a tesirii, raportata la aceeasi vite-  
za de 6 metri/minut, ar fi de  $25 / 0,4 =$  cca. 62 ori.

- Marirea productivitatii de cca. 10 ori este un rezultat  
al maririi vitezei de avans. Bineinteles, trebuie asigurat si un  
aport energetic la tehnologia de taiere sau un aport al densita-  
tii energetice, reflectat in obtinerea unor fante mai inguste a-  
le taieturii.

- Precizia este mai mare decat in cazul comenzi numerice .  
Raportat la o cota a piesei de 10 metri, se asigura o eroare de  
+/- 0,4 mm ( fata de +/- 0,6 mm la 10 metri la cda. numerica ).

Aceasta precizie este facilitata de faptul ca in cazul urmaririi optice 1:1 nu sunt necesare cremaliere de masura x,y, nici traductoare de pozitie x,y. Eroarea de +/- 0,6 mm este conditionata aproape in totalitate de eroarea cremalierelor de masura , desi incrementul de masura al comenzi numerice , sau incremental de programare pot sa fie sensibil mai mici ( de 0,01 ... 0,1 mm, de exemplu, la o cota de 10 metri ).

- Fata de capurile optice clasice ( rotitoare ) de larga circulatie pe piata Europeana, noul tip de cap optic nu contine: motor electric , tahogenerator, rezolver bipolar rotitor, variator de turatie , 2 demodulatoare sincrone , inele colectoare si perii colectoare ( din argint ), roti dintate, bec, stabilizator de tensiune pentru bec. Din aceasta cauza :

- Fiabilitatea este de cca. 100 de ori mai mare decat a capurilor optice rotitoare.

- Gabaritul este de cca. 5 ori mai mic fata de capurile optice pentru urmarire 1:1 si de cca. 20 de ori mai mic fata de capurile optice pentru urmarire 1:10.

- Pretul de fabricatie este de cca. 10 ori mai mic .

- Sistemul de iluminare cu bec cu incandescenta este inlocuit cu un sistem in infraroisu, cu durata de viata infinita, care nu necesita operatii de reglaj . Este garantata o durata de viata de 10 ani , cu regimul de lucru de 24 ore / 24 ore .

- Raportul semnal / zgomot este de cca. 100 de ori mai mare . Prin aceasta , perturbatiile electrice , optice , sunt eliminate . Acest raport marit se realizeaza prin utilizarea foto-detectoarului in domeniul spectral infraroisu .

- Fata de comanda numerica, sistemul urmaririi optice ofera avantajul urmaririi oricaror contururi nedeterminate prin relatii matematice . De fapt , acest cap optic de mare viteza poate lucra in regim de "teacher" pentru "invatarea" conturului. Memorarea se face numeric, separat pe axele x,y ; dupa acest moment, desenul urmarit nu mai este necesar . Nu sunt necesare nici scanare nici digitizoare speciale, capul optic tine locul acestora. Se noteaza ca in cazul acesta , masina trebuie prevazuta cu cremaliere de masura si cu traductoare de pozitie , precum si cu echipamentul de comanda numerica .

#### 4.3. Principiul de realizare a capului optic fara piese inertiale in miscare de rotatie ( figura 4.1. )

Traductorul optic (figura 4.1.) este format din 4, 8, 16, 32, ... celule fotovoltaice dispuse circular (coordonate polare) Rezolutia mai mare se obtine prin utilizarea mai multor celule fotovoltaice . Celulele fotovoltaice au suprafata de forma unor sectoare de cerc . Acestea sunt separate prin interstitii izolante foarte inguste, de cca. 0,1 ... 0,3 mm , iar diametrul exterior este de 7 ... 8 mm.

Compromisul : precizie / numar fotocelule , realizat prin 8 bucati se considera optim .

In figura 4.1., s-au notat fotocelulele cu numere ( 1,2,3, 4,5,6,7,8 ), iar jonctiunile cu litere ( a,b,c,d,e,f,g,h ).

Sistemul cartezian x,y coincide cu ghidajele masinii ( x= transversal , y= longitudinal ) . Jonctiunea h este orientata in sensul axei +x , jonctiunea b in sensul axei +y , et c.

Aria fotosensibila cu diametrul de 7 mm , este impresionata de imaginea marita a unei portiuni din linia desenata . In functie de obiectivul ( lentile ) folositi, se pot " vedea " liniile de diferite grosimi . Conditia care se pune este ca imaginea marita a liniei desenate sa fie mai mare decat diametrul de 7 mm .

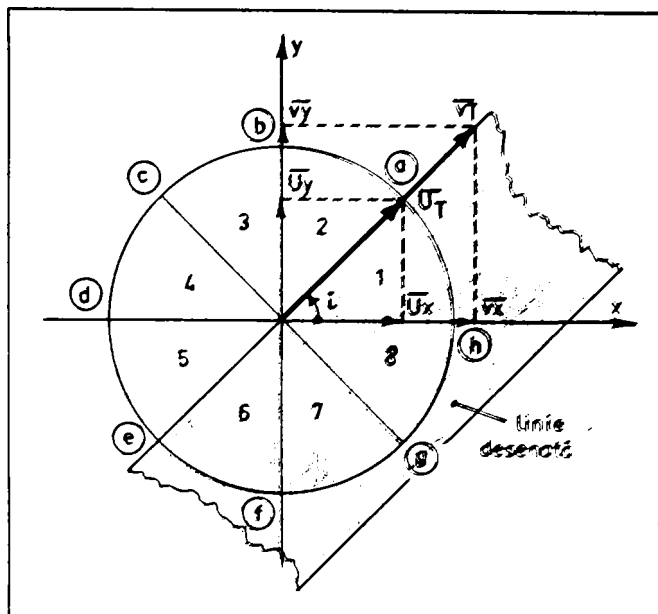


Fig. 4.1. Dispunerea sectoarelor linselor optice fata de axele de coordonate x, y, ale masinii.

Trebuie remarcat faptul ca iluminarea ariei insensibile (fluxul luminos / arie) este proportional cu puterile măririi lentilei. Deci, pentru urmărirea unor linii scurte și fine sunt necesare surse de iluminare puternice.

In figura 4.1. este prezentată situație în care linia desenată este orientată în sensul jonctiunii a. Această vector optic "a" este suprapus peste vectorul viteza tangențială  $v_T$ .

In funcție de poziția unghiulară a liniei desenate pe care se activat căte unul din vectorii optici a,b,c,d,e,f,g,h, și se rezultanta a 2 vectori succesivi.

In cazul particular prezentat in figura 4.1. este activat numai vectorul optic "a". Vectorul optic "e", opus lui "a", nu este activat. Selectia se face prin logica paralela rezultată pe partea dreapta fata de sensul de avans  $v_T$ . Fiecare vector optic a,b,c,d,e,f,g,h, i se asociaza oare cu procesorul analogic pe care îl numim "celula vector".

In figura 4.2. este prezentata "celula vector" și, ca și in cele 8 situații tipice de orientare a vectorului  $v_T$ , genera reaza la ieșirea "a" un semnal (-10 V), numai în cazul 1. In celelalte 7 situații din totalul de 8 , la ieșirea generată este una zero ( 0V ).

Se stabileste regula ca fotocelula pe albastru genereaza -11 V ( logic 1 ), iar fotocelula pe negru genereaza -11 V logic 1

Datorita existentei redresorului ideal, la ieșirea unui vector este posibil sa existe tensiuni pozitive, conform figurii 4.1.

Fiecare celula vector compara numai semnalele generate de 2 fotocelulele adiacente . In exemplul din figura 4.1. -1. acuz contributia numai fotocelulele 1 si 2 .

Dioda Zener de 11V are rolul de a nu permite generarea unei tensiuni in domeniul (-10V ... -15V) , acest lucru se face ca aceasta peste limita admisa de 6 metri/minut .

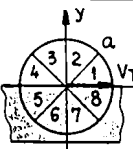
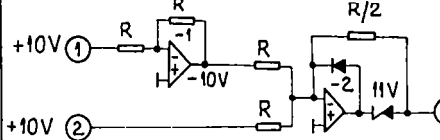
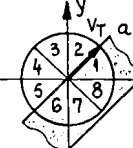
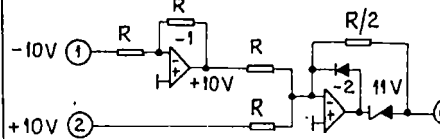
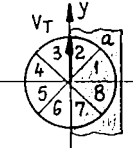
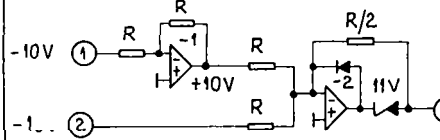
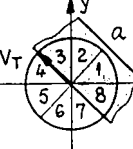
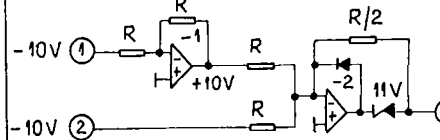
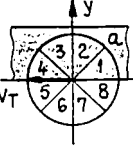
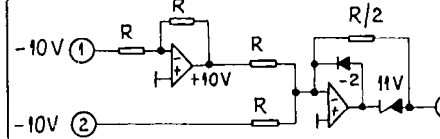
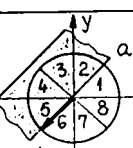
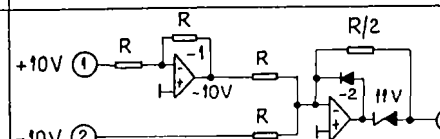
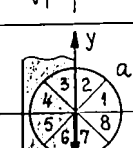
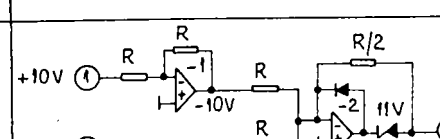
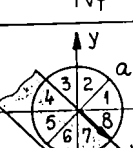
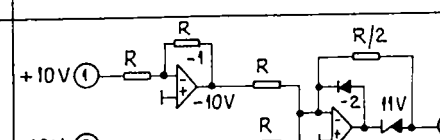
1			$U_h = -10V$ (activ) $U_{a,b,c,d,e,f,g} = 0V$
2			$U_a = -10V$ (activ) $U_{b,c,d,e,f,g,h} = 0V$
3			$U_b = -10V$ (activ) $U_{c,d,e,f,g,h,a} = 0V$
4			$U_c = -10V$ (activ) $U_{d,e,f,g,h,a,b} = 0V$
5			$U_d = -10V$ (activ) $U_{e,f,g,h,a,b,c} = 0V$
6			$U_e = -10V$ (activ) $U_{f,g,h,a,b,c,d} = 0V$
7			$U_f = -10V$ (activ) $U_{g,h,a,b,c,d,e} = 0V$
8			$U_g = -10V$ (activ) $U_{h,a,b,c,d,e,f} = 0V$

Fig. 4.2. Celula vector "a" in 8 situatii tipice de orientare a vectorului viteza tangentiala  $v_T$

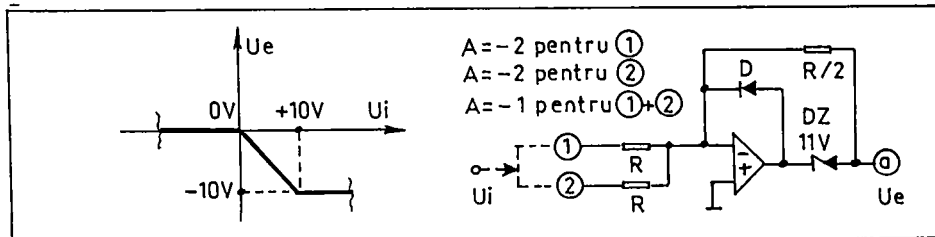


Fig. 4.3. Caracteristica de transfer a circuitului sumator - redresor ideal

#### 4.4. Algoritm "rezolverul optic"

(figura 4.4.)

Analizind figura 4.1., se poate observa ca viteza tangentiala se poate descompune in doua componente  $v_x$ ,  $v_y$ :

$$v_x = v_T \cdot \cos i \quad (4.1.)$$

$$v_y = v_T \cdot \sin i \quad (4.2.)$$

Vectorul optic  $U_T$ , suprapus peste vectorul viteza tangentiala  $v_T$ , se poate descompune in doua componente  $U_x$ ,  $U_y$ :

$$U_x = U_T \cdot \cos i \quad (4.3.)$$

$$U_y = U_T \cdot \sin i \quad (4.4.)$$

Intre vectorul optic  $U_T$  si vectorul viteza tangentiala  $v_T$  exista relatia:

$$v_T = K \cdot U_T \quad (4.5.)$$

In relatie,  $v_T$  se exprima in metri/minut, iar  $U_T$  in volti.

Algoritm matematic de tip rezolver (descompunere in sinus si cosinus) este realizat cu ajutorul sumatoarelor  $x, y$ , pe principiul insumarii ponderate (cu rezistente ponderate), conform figurii 4.4. Se prezinta acest lucru, tabelat:

Tabelul 4.1.

vector activ	la unghiul $i$ (grade)	rezulta $U_x$ (V)	rezulta $U_y$ (V)
h	0	+10	0
a	45	+7	+7
b	90	0	+10
c	135	-7	+7
d	180	-10	0
e	225	-7	-7
f	270	0	-10
g	315	+7	-7

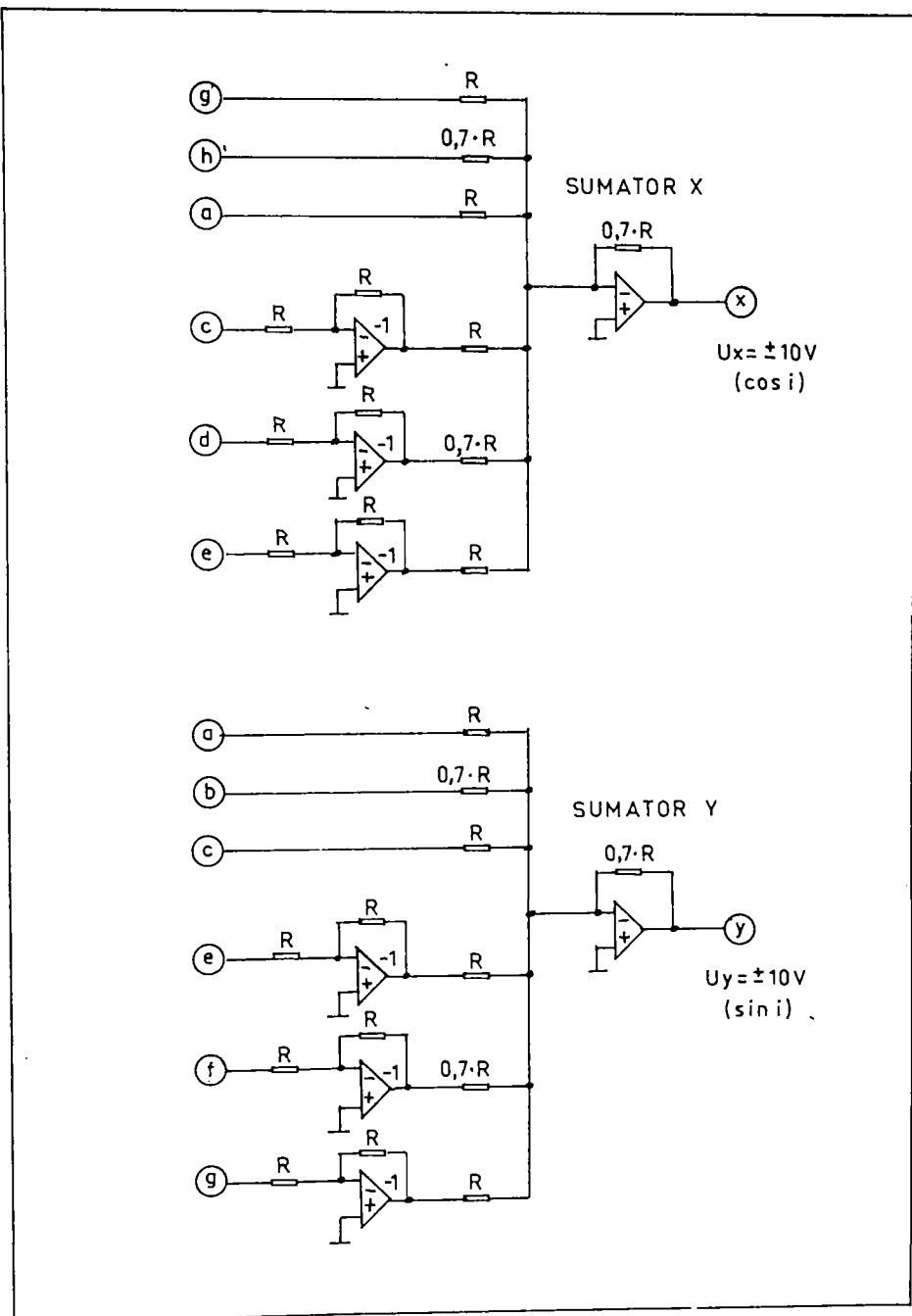


Fig. 4.4. Sumatoarele x, y (rezolverul  $\sin i$ ,  $\cos i$ )

In rezumat,  $U_x$  descrie o caracteristica de tip cosinus, iar  $U_y$  descrie o caracteristica de tip sinus.

$$U_T = 10 \text{ V}$$

$$kv \cdot UT = 0 \dots 10 \text{ V}, \text{ prin prescriere de pe panou}$$

De notat ca in figura 4.4., la formarea tensiunilor  $U_x$ , respectiv  $U_y$ , nu contribuie toate celulele vector. In cazul  $U_x$  nu apar celulele b,f, iar in cazul  $U_y$  nu apar celulele h,d.

4.5. Functionarea in regim de interpolare  
intre doua celule vector succesive  
(figura 4.5.)

In punctele a,b,c,d,e,f,g,h, compunerea vitezei tangentiale  $V_T$  din componente vx,vy, se realizeaza exact, respectand valoarile din curbele sinus, cosinus.

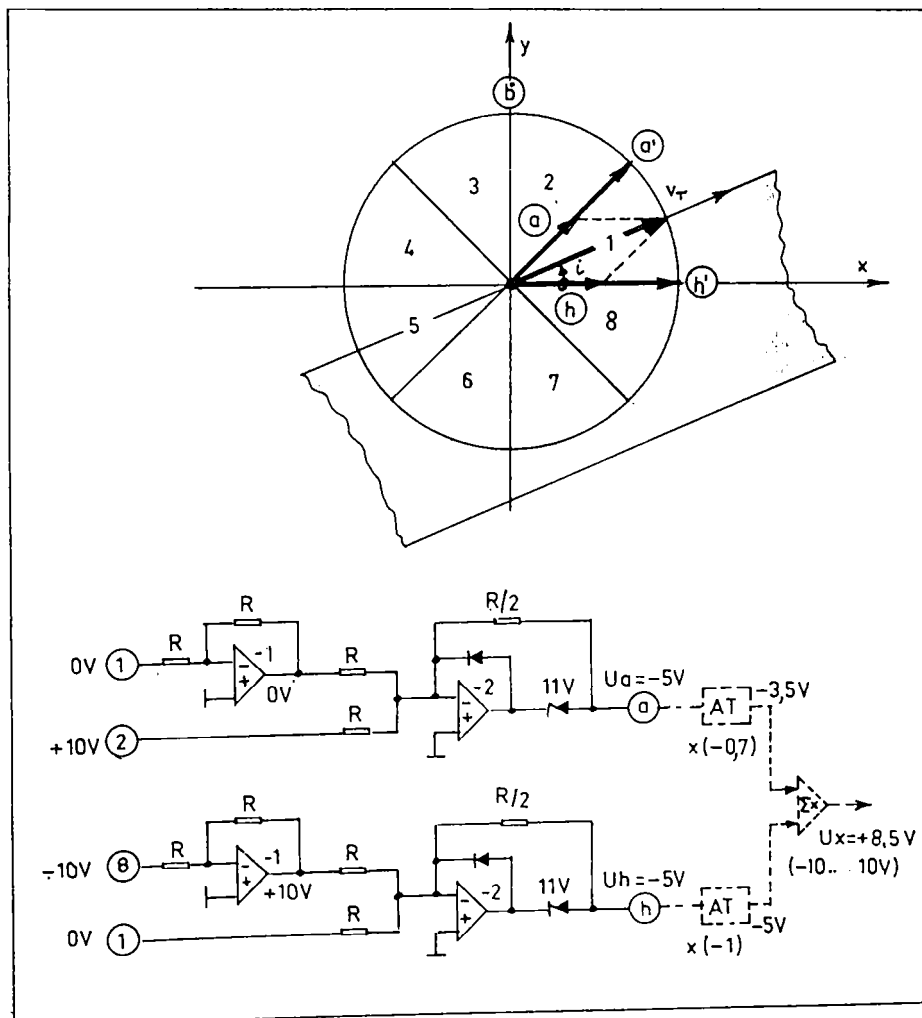


Fig. 4.5. Functionarea in regim de interpolare  
intre doua celule vector succesive

La unghiuri carecare, diferite de cele 8 tipice ( din tabelul 4.1. ), fiecare celula vector realizeaza o interpolare liniara a tensiunii de iesire . De exemplu,  $U_a = 0 \dots -10$  volti , in cadrul unui sector de 45 grade .

In figura 4.5., la unghiul de 22,5 grade, rezulta :  $U_a = -5$  volti,  $U_h = -5$  volti .

$$vT = v_a + v_b + v_h \quad (4.6.)$$

$$U_x = 0,7 \cdot U_a + 0 \cdot U_b + 1 \cdot U_h = 3,5V + 0V + 5V = +8,5V \quad (4.7.)$$

$$U_y = 0,7 \cdot U_a + 0 \cdot U_b + 0 \cdot U_h = 3,5V + 0V + 0V = +3,5V \quad (4.8.)$$

**4.6. Problema erorii de viteza si a erorii de pozitie,  
din cauza interpolarii liniare  
( figura 4.6. si figura 4.7. )**

Algoritmul rezolverului optic ofera garantia realizarii exacte a functiilor sinus si cosinus in punctele a,b,c,d,e,f,g,h de pe curbele :  $U_y = U_T \cdot \sin i$  si  $U_x = U_T \cdot \cos i$ , conform figurii 4.6. In aceste puncte nu exista eroare de viteza , nici eroare de pozitie .

In regimul dintre puncte , procesorul " nu stie " sa interpoleze sinusoidal, ci liniar (pe curba reprezentata cu linie intrerupta - curba reala). Din cauza aceasta, apare o eroare a vitezei  $v_y$ , respectiv  $v_x$  , deci si a vitezei tangentiale  $vT$  rezultante. De asemenea, se pune intrebarea : exista oare si o eroare de pozitie ?

Desigur , eroarea maxima a vitezei exista la jumatea unui sector, acolo unde distanta intre arc si coarda este maxima, respectiv la unghurile  $i_1$  si  $i_2$  .

Stabilirea erorii de viteza si a erorii de pozitie din cauza interpolarii are o importanta deosebita pentru decizia alegarii numarului de sectoare fotosensibile.

Alegerea a numai 4 sectoare fotosensibile, evident , nu intra in discutie, din cauza erorilor mari de cuantificare.

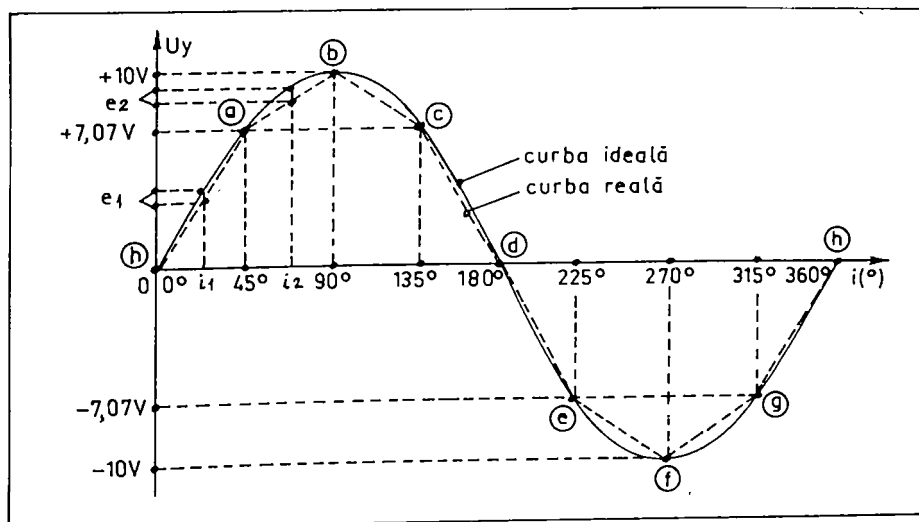


Fig. 4.6. Problema erorii de viteza si a erorii de pozitie

Pă de alta parte , alegerea unui numar mai mare de sectoare fotosensibile , conduce la micsorarea suprafetei fotosensibile a fiecarui sector ( la acelasi diametru exterior ) si in consecinta, conduce la scaderea semnalului generat de fiecare sector fotosensibil, deci la scaderea raportului semnal/zgomot . In aceiasi timp , se complica schema procesorului sinus/cosinus , deci scade fiabilitatea sistemului.

In urma considerariei mai multor variante , s-a stabilit un compromis optim prin utilizarea a 8 sectoare fotosensibile, pentru care , in continuare , ne propunem calculul erorii de viteza si a erorii de pozitie . Se considera cazul urmaririi unei linii desenate cu grosimea  $d_1 = 1 \text{ mm}$  , cu o diafragma  $f_o = 1,91 \text{ mm}$  .

Conform figurii 4.7., eroarea maxima este posibil sa se obtina la jumatarea fiecarui sector: intre h si a, intre a si b, intre b si c, et c. Situatiiile fiind similare, se calculeaza numai cazul h-a , adica pentru unghiul  $i = 22,5 \text{ grade}$  . Referirile se fac la valorile normate, considerind ca la valoarea 1 a functiilor sinus si cosinus , corespunde viteza prescrisa  $v_x = v_T$  , respectiv ,  $v_y = v_T$  .

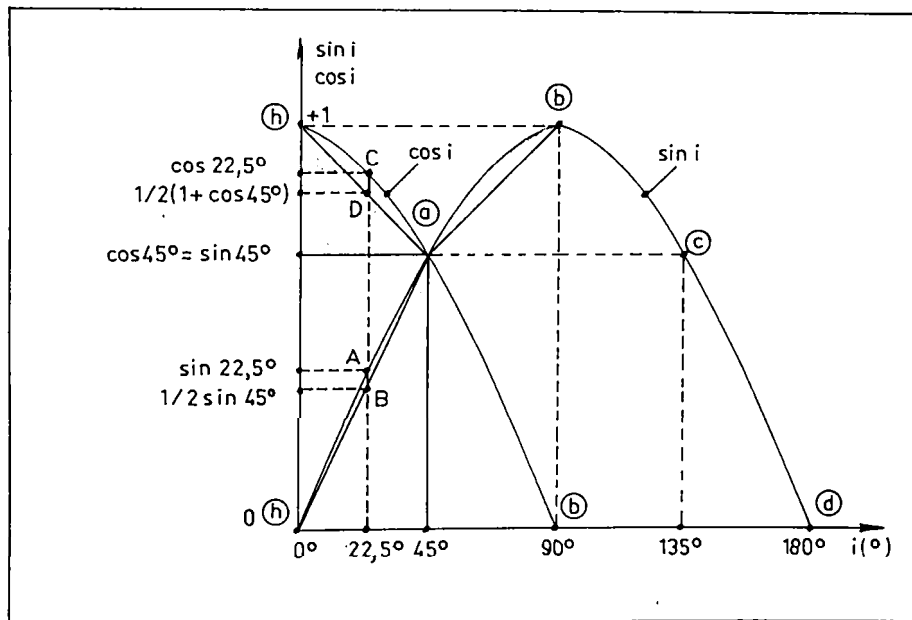


Fig. 4.7. Eroarea de viteza si eroarea de pozitie , la unghiul  $i = 22,5^\circ$

Vectorul  $v_T$  (viteza tangentiala ideală) la unghiul de  $22,5^\circ$  are componentele :

$$v_x : \quad \cos 22,5^\circ = 0,92387954 \quad (4.9.)$$

$$v_y : \quad \sin 22,5^\circ = 0,38268343 \quad (4.10.)$$

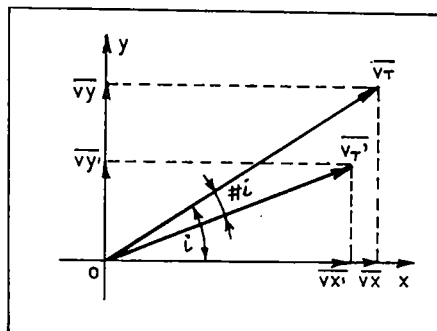
Vectorul  $v_T'$  (viteza tangentiala reală) la unghiul de  $22,5^\circ$  are componentele :

$$v_x' : \quad \frac{1}{2} ( 1 + \cos 45^\circ ) = 0,85355339 \quad (4.11.)$$

$$v_y' : \quad \frac{1}{2} ( \sin 45^\circ ) = 0,3535339 \quad (4.12.)$$

Componerea vectorilor este evidentiată în figura 4.8.

Fig. 4.8.  
Componerea vectorilor  $\vec{v}_T$  și  $\vec{v}_T'$   
în cazul  $\#i$  diferit de 0



#### 4.6.1. Eroarea de viteza :

$$\#v_x = \frac{v_x - v_x'}{v_x} = 0,076120533 \quad (4.13.)$$

(cca. 7,61%)

$$\#v_y = \frac{v_y - v_y'}{v_y} = 0,076171321 \quad (4.14.)$$

(cca. 7,61%)

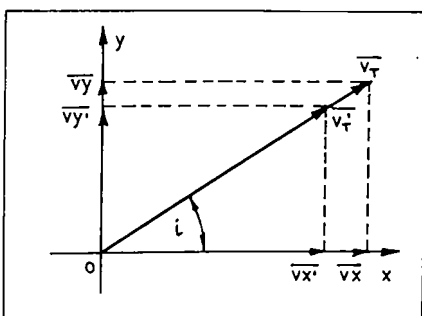
Analizând erorile de viteza  $\#v_x$  și  $\#v_y$ , rezulta două concluzii importante :

a) Viteza de avans  $v_T$  depinde de sensul de avans în planul  $x, y$ . La unghiurile de  $0^\circ, 45^\circ, 90^\circ, 135^\circ, 180^\circ, 225^\circ, 270^\circ, 315^\circ, 360^\circ$  eroarea de viteza este zero.

La jumătatele acestor segmente viteza de avans este mai redusă cu 7,61 %. Dacă se aleg punctele a, b, c, d, e, f, g, h, decalate cu  $(+1/2 \cdot \#v_x)$ , respectiv, cu  $(+1/2 \cdot \#v_y)$ , atunci se poate considera o eroare a vitezei de avans de cca.  $\pm 3,8\%$ . Se notează că abaterea vitezei de avans cu  $\pm 3,8\%$  nu afectează calitatea tăieturii.

b) Remarcând faptul că :  $\#v_x = \#v_y$  (approx.), se concluzionează că nu se produce o rotație a vectorului viteza tangențială  $v_T$ , ci numai o micșorare a modulului, conform figurii 4.9.

Fig. 4.9.  
Componerea vectorilor  $v_T$  și  $v_T'$   
în cazul  $\#i = 0$



#### 4.6.2. Eroarea de poziție :

Dacă totuși dispunem de o doză de ambiție și luăm în considerare și inegalitatea lui  $\#v_x$  cu  $\#v_y$ , putem calcula eroarea de poziție, de fapt, aceasta eroare este esențială, pentru că, dacă ar avea valori mari, ar afecta cotele pieselor debitate.

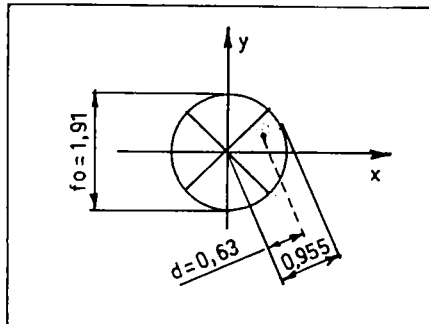
Apare eroare de pozitie "e", numai daca exista o rotire a vectorului  $v_T'$  cu unghiul  $\#i$  fata de vectorul  $v_T$  (ideal) :

$$\#i = \arctg \frac{vy}{vx} - \arctg \frac{vy'}{vx'} = 0,001113^\circ \quad (4.15.)$$

Conform figurii 4.10., vectorul optic (vectorul excentricitate) are modulul de 0,63 mm, in cazul unei diafragme optice  $f_0 = 1,91$  mm.

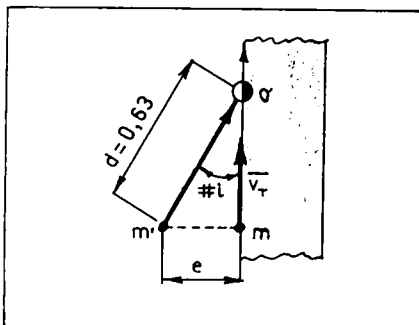
Vectorul excentricitate are modulul egal cu distanta intre centrul diafragmei si centrul sectorului fotosensibil ("centrul de greutate" devine "centru de suprafata").

Fig. 4. 10.  
Excentricitatea echivalenta "d", in cazul diafragmei optice  $f_0 = 1,91$  mm



Rotirea vectorului optic  $m'$  fata de vectorul viteza tangentiala  $v_T$ , de fapt se manifesta printre-decalare a centrului diafragmei (axul mecanic se decaleaza din  $m$  in  $m'$ ), pe normala la contur conform figurii 4.11.

Fig. 4.11.  
Eroarea de pozitie "e", din vina interpolarii liniare



Eroarea de pozitie "e" are expresia :

$$e = d \cdot \sin \#i = 0,000012238 \text{ mm} \quad (4.16.)$$

Rezultatul confirma ipoteza initiala, deci se poate considera ca eroarea de pozitie din vina interpolarii este, practic, zero.

#### 4.7. Cazul translatiei (figura 4.12.)

La o deplasare laterală a liniei desenate, conform figurii 4.12., singura celula vector activa este "a" (in acest exemplu). In acest caz insa, la iesirea "a" nu rezulta o valoare maxima :  $U_a = -10V$ , ci o valoare mai mica, de exemplu  $U_a = -2,5V$ .

Valoarea  $U_a$  este proportionala cu suprafata de negru din sectiunea 1 .

Celula vector "h" nu este activata din cauza ca diferența intre tensiunile generate de sectoarele 8 si 1 este zero , deci  $U_h = 0$  volti .

Celula vector "g" nu este activata din cauza redresorului ideal, care taie valorile pozitive  $U_g$ . Deci  $U_g = 0$  volti .

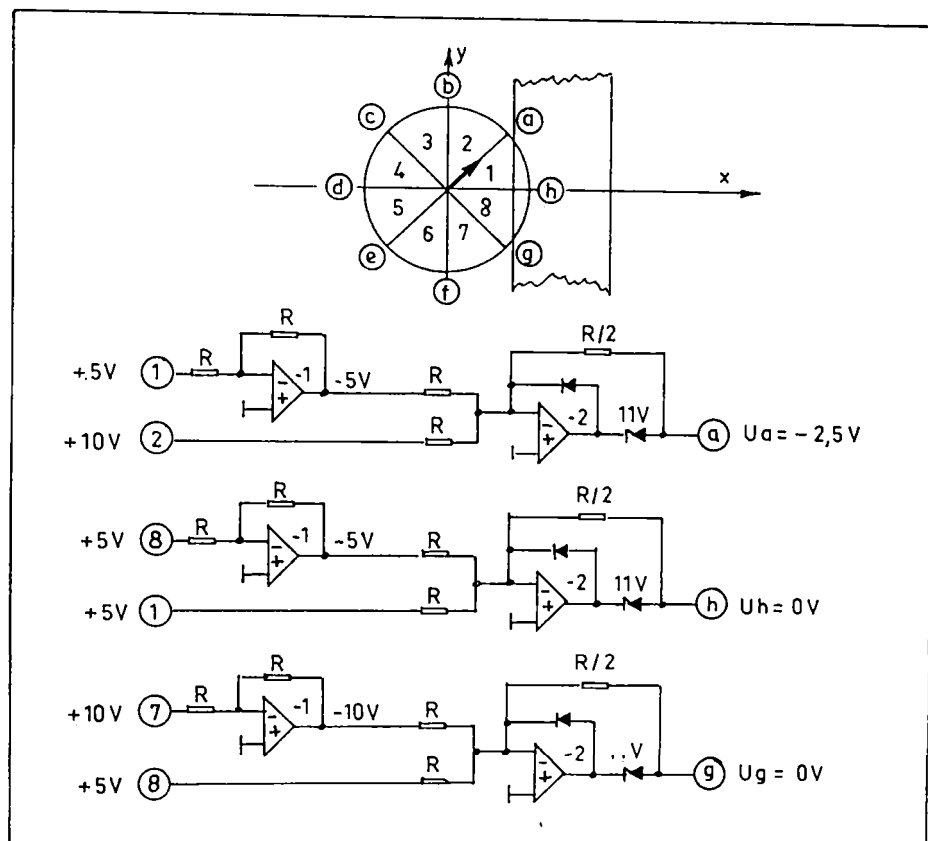


Fig. 4.12. Cazul translatiei (numai celula vector "a" este activata)

Rezulta urmatoarea concluzie : Orice iesire de pe curba , conduce la micsorarea vitezei de avans  $vT$  . Acest lucru este extrem de util, deoarece o tendinta de intrare in pendular conduce la o micsorare a vitezei de avans (reactie negativa), deci se obtine un efect stabilizant.

Intotdeauna vectorul activat este orientat spre linia desenata.

In cazul extrem, de iesire totala pe alb, sau de iesire totala pe negru, nu este activat nici un vector viteza, deci capul optic se opreste. Acesta este un fapt deosebit de util, deoarece se pierderea traiectoriei PT (a liniei desenate), avansul se opreste instantaneu , automat, evitindu-se rebutarea piesei debitate .

4.8. Cazul coltului  
(figura 4.13.)

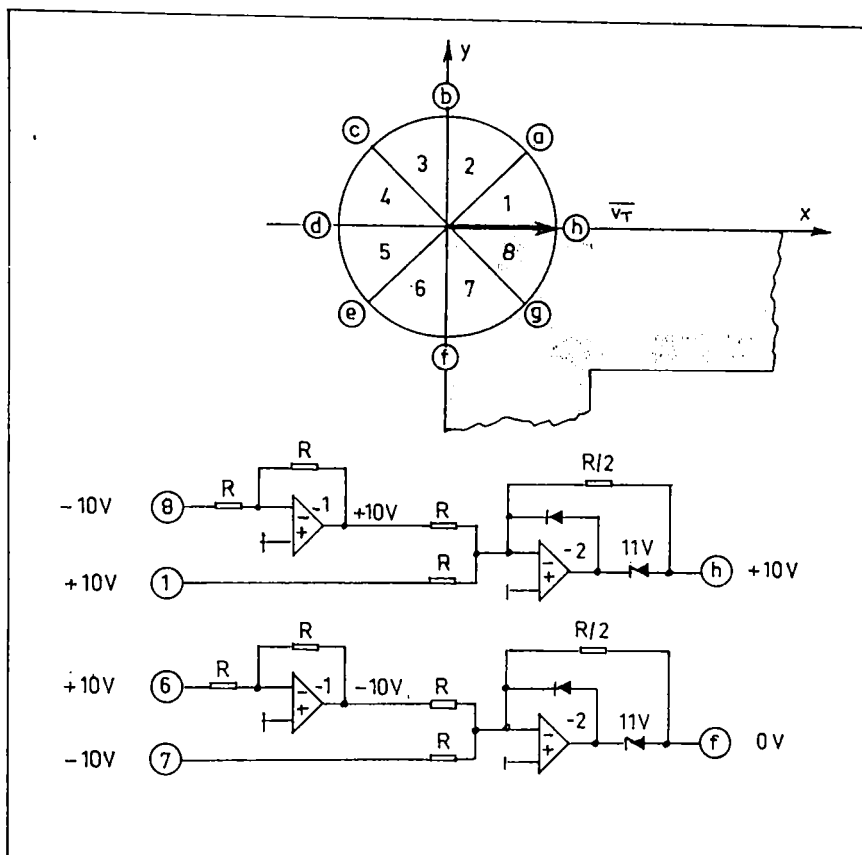


Fig. 4.13. Cazul coltului (numai celula vector "h" este activă)

In cazul exemplului din figura 4.13, in timpul urmaririi, se trece de la vectorul activ "b" la vectorul activ "h" ( dupa colt ).

4.9. Problema derivei optice  
(figura 4.14. )

Analizind functionarea unei celule vector a, b, c, d, e, f, g, h, se constata ca o variatie perturbatoare a iluminarii desenului nu afecteaza tensiunea de la iesirea celulei vector. Explicatia este evidentă: celula lucreaza diferențial, deci o variație în același sens a celor două semnale de la intrare, conduce la efecte contrare la iesirea celulei vector.

Fara deriva optica:

$$U_a = - \left( U_2/2 - U_1/2 \right) = - (U_2 - U_1) / 2 \quad (4.17.)$$

Cu deriva optica:

$$U_a = - \left( (U_2 + U_e)/2 - (U_1 + U_e)/2 \right) = - (U_2 - U_1) / 2 \quad (4.18.)$$

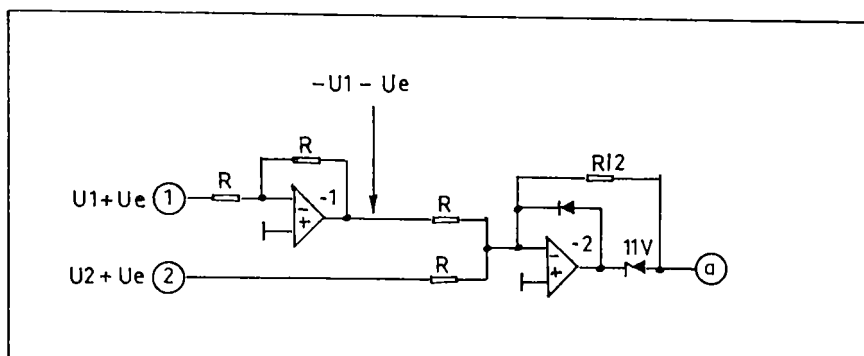


Fig. 4.14. Problema derivei optice

**4.10. Circuitele de " agatare automata a traiectoriei " (A) si de " pierdere a traiectoriei " (PT)**  
( figura 4.15. )

Desi la iesirea pe alb, sau la iesirea pe negru , viteza de avans devine zero , totusi este necesara si sesizarea de tip re-leu, a pierderii traiectoriei, in scopul opririi taierii (oxigenul in cazul taierii oxigaz, obturatorul in cazul taierii cu laser, et c.) .

De asemenea, la initierea taierii inafara conturului , este necesar sa existe un vector de viteza de avans , desi toate cele 8 fotocelule sint pe alb . La atingerea traiectoriei, trebuie sa existe un dispozitiv care sesizeaza acest lucru si care sa comande comutarea prescrierii de viteza de la o tensiune fixa , la o tensiune generata de rezolverul optic.

S-a ales urmatorul mod de sesizare : Daca exista cel putin un vector optic ( logic SAU - a,b,c,d,e,f,g,h, ) mai mare decit 70 % din nivelul activ (-7 volti) , atunci se produce "agatarea" aproape instantaneu ( temporizare tA = max. 0,1 secunde ).

Daca in timpul urmaririi traiectoriei apare , la un moment dat situatia iesirii pe alb a capului optic, deci situatia nu este activ nici un vector optic (a,b,c,d,e,f,g,h) si daca aceasta situatie se menține fara intrerupere mai mult de 1,5 secunde si daca nici un vector optic nu-i mai mare decit 30 % din nivelul activ, atunci se da automata comanda " pierderea traiectoriei ".

Dupa fiecare tranzitie: A --> PT sau PT --> A , se automantine comanda, printr-un circuit de tip bistabil.

Analizand figura 4.15., se remarcă logica SAU cu diode , pentru semnal (-10V), circuitul de deplasare a nivelului R1, R2, amplificatorul operational AO, comparatorul cu histerezis CI.1 , reeleul de timp CI.2.

Semnalul E de la iesire se poate utiliza la interblocajile altor circuite conexe .

Cu R5 se stabilesc pragurile zonei de histerezis (PS = prag sus , PJ = prag jos ).

Cu R6 se stabileste temporizarea la "agatare" ( $t_A = 0,1$  s)

Cu R7 se stabileste temporizarea la "pierdere trajectoriei" ( $t_{PT} = 1,5$  s).

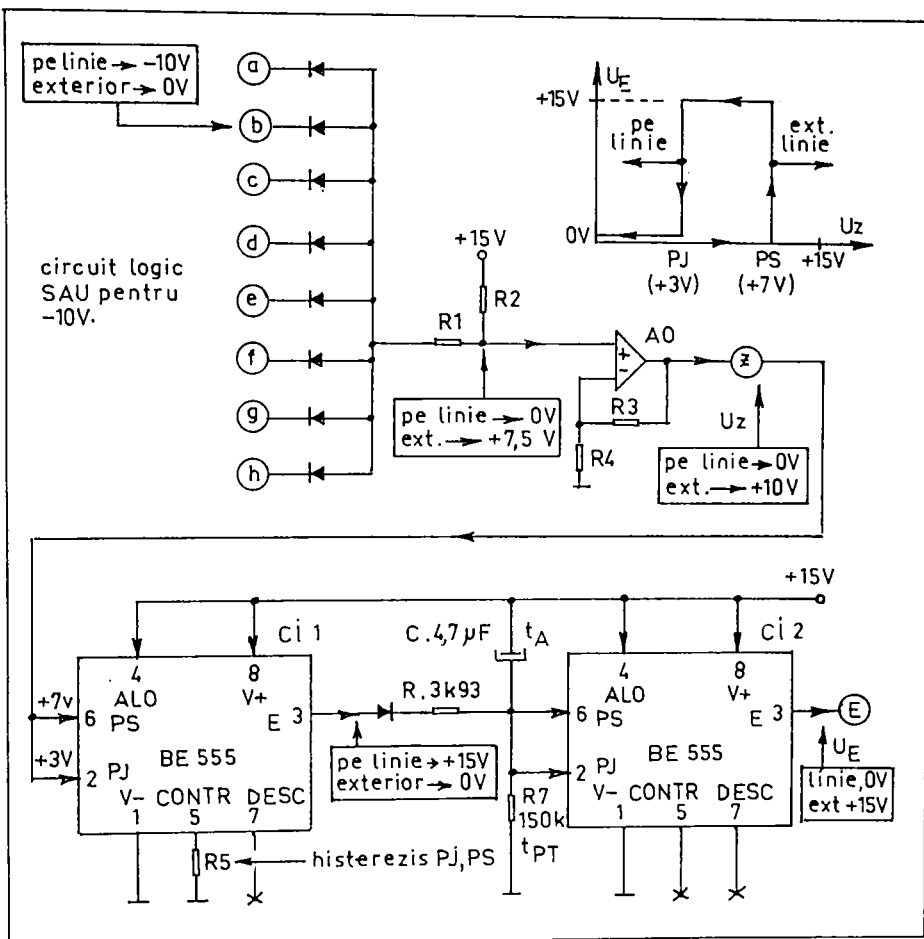


Fig. 4.15. Circuitele de "agatare automata a trajectoriei" (A) si de "pierdere trajectoriei" (PT)

-  $t_A$  = temporizare la "agatare linie" (0,1 secunde)

-  $t_{PT}$  = temporizare la "pierdere trajectorie" (1,5 secunde)

- PJ = prag jos (la "pierdere trajectorie")

- PS = prag sus (la "agatare trajectorie")

- Cu  $R_5 = 680 \Omega$  ---> PJ = +1,2V si PS = +2 V

- Cu  $R_5 = 4,64 \text{ k}\Omega$  ---> PJ = +3 V si PS = +7 V

- Cu  $R_5 = 10 \text{ M}\Omega$  ---> PJ = +5 V si PS = +10V

Spre deosebire de capurile optice clasice , unde inainte de "agatare" , prescrierea se poate face pentru orice sens de avans de catre rezolver , in cazul capului optic fara piese in miscare de rotatie , prescrierea avansului este posibila numai in 8 sensuri fixe: +x, -x, +y, -y, si 4 sensuri intermedii (diagonale)

#### 4.11. Calitatea sistemului de actionare x,y

Desigur ca in cazul unui cap optic "lenses" (cu piese inertiiale in miscare de rotatie) cu timpi de raspuns de ordinul 0,2 secunde, calitatea actionarilor x,y nu trebuie sa fie prea buna. Tinand seama ca din conditia de stabilitate , timpul de raspuns al actionarilor x,y trebuie sa fie de cca. 10 ori mai mare decit al capului optic, deci de cca. 2 secunde, jocurile la angrenajele x,y, constantele de timp mecanice si electrice, timpii morti, rigiditatea insuficienta, nu pot constitui impedimente.

In cazul capului optic rapid, (de cca.160 de ori mai rapid) toata calitatea va fi limitata de actionarile x,y . Deci trebuie realizata o constructie mecanica x,y conexa , de inalta performanta: jocuri zero, inertie mica, rigiditate perfecta. De asemenea, variatoarele de turatie x,y trebuie sa lucreze cu constante de timp cat mai mici si timpi morti cat mai mici.

Jocurile pe ghidaje trebuie sa fie cel putin cu un ordin de marime mai mici decat eroarea garantata , deci sub 0,01 mm , iar timpii morti sa fie sub 10 ms.

#### 4.12. Considerente constructive

Capul optic fara piese inertiiale in miscare de rotatie a fost realizat practic in varianta prezentata in figura 4.16.

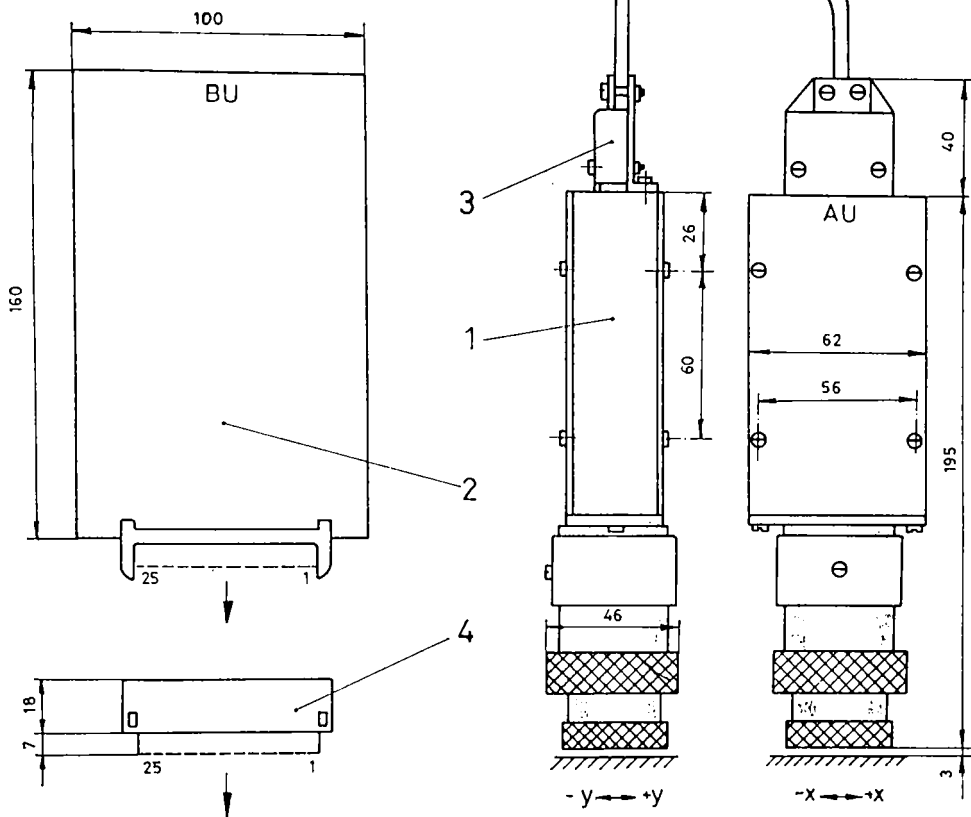
Varianta realizata este constituita din elementele:

- Capul optic AU (sistemul optic AU + bufferele AU)
- Procesorul BU (genereaza functiile sin i, cos i)
- Cablul de legatura (echipat cu fise / prize)

Figura 4.16. ofera indicatiile de utilizare si de montaj.

In figura 4.17. este prezentat capul optic AU . Acesta este format din urmatoarele repere :

- |                       |                          |
|-----------------------|--------------------------|
| 1. Placa imprimata AU | 15. Rondela imprimata    |
| 2. Rama               | 16. Piulita olandeza 1   |
| 3. Stift              | 17. Suport lentila / led |
| 4. Capac plan         | 18. Piulita olandeza 2   |
| 5. Coltar             | 19. Stift filetat M3x5   |
| 6. Bucsa distanțoare  | 20. Piulita M3           |
| 7. Suport priza       | 21. Surub M3x30          |
| 8. Coltar priza       | 22. Surub M3x10          |
| 9. Capac priza        | 23. Surub M3x7           |
| 10. Placuta prescare  | 24. Surub M3x10          |
| 11. Corp intermediar  | 25. Conector priza       |
| 12. Capac circular    | 26. Fotodetector special |
| 13. Corp obiectiv     | 27. Lentila (dublet)     |
| 14. Diafragma         | 28. Dioda LED            |



- 1 Cap optic AU
- 2 Procesor BU
- 3 Cablu cu conector
- 4 Conector

- 1 Optical head AU
- 2 Processor BU
- 3 Cable and plug socket
- 4 Plug socket

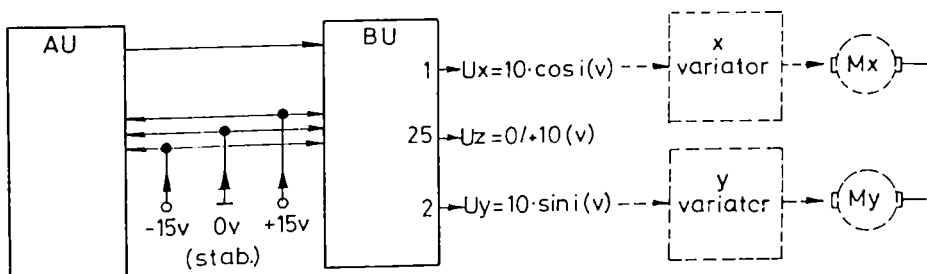


Fig. 4.16. Componenta constructiva

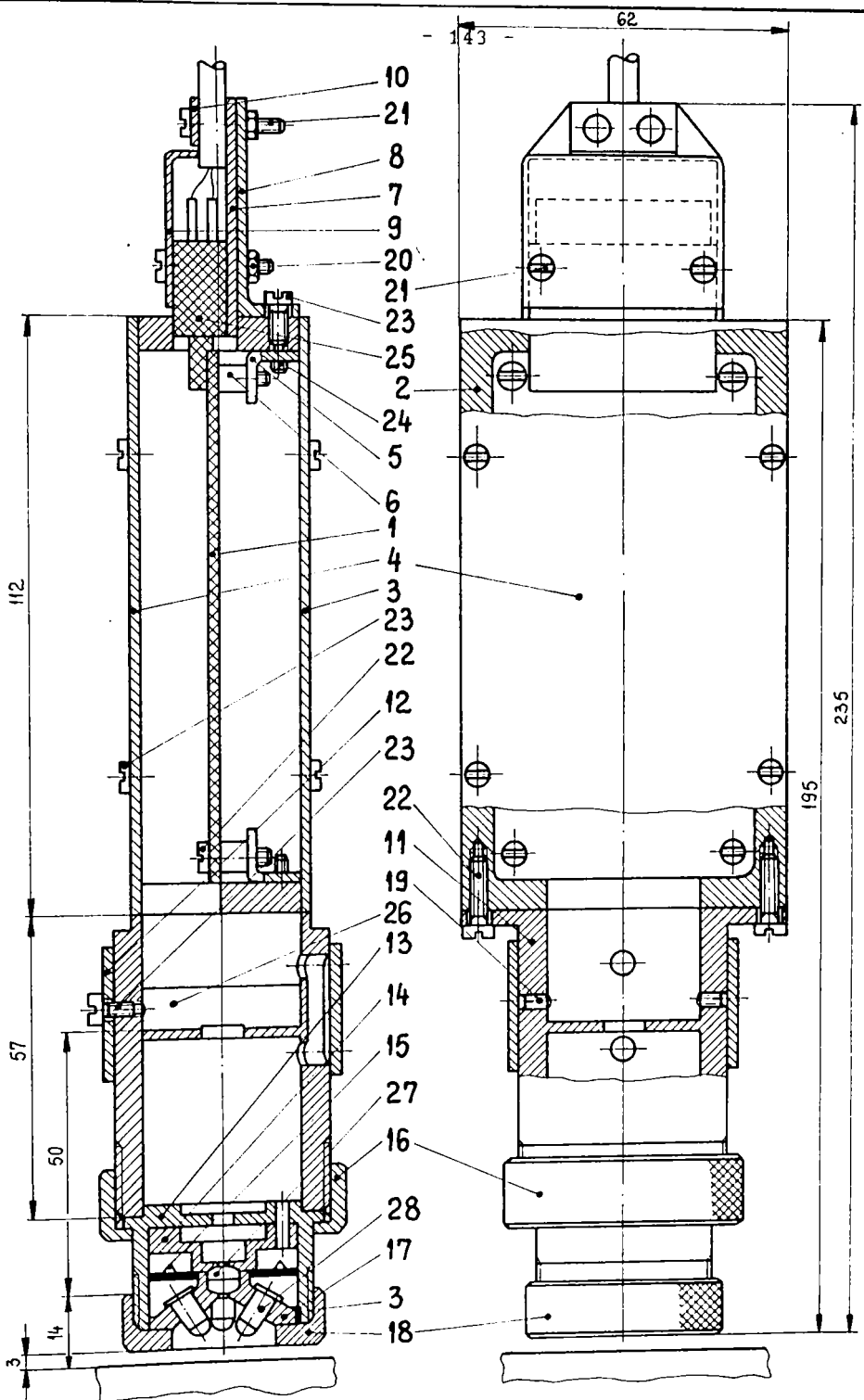


Fig. 4.17. Capul optic AU

#### 4.13. Obiectivul optic detasabil

Reperele 3,13,14,15,16,17,18,27,28 formeaza obiectivul optic detasabil. Acesta se poate construi in diferite variante, in functie de grosimea liniei desenate pe care capul optic o urmareste: 0,3 ... 2,5 mm. In figura 4.17. este prezentat un obiectiv optic pentru linii desenate cu grosimea de 1 mm . Se noteaza faptul ca exista o corelare intre diafragma optica si grosimea liniei desenate : grosimea liniei desenate trebuie sa fie mai mare decat 1/2 din diafragma optica . Avand in vedere faptul ca sistemul optic dispune de un complex de diafragme, prin "diafragma optica" se inteleaga , de fapt , cea mai mica dintre ele. Celelalte au numai rolul diminuarii reflexiilor multiple de pe peretii interiori ai tubului optic . Diafragma optica este corelata cu marirea lentilelor utilizate in obiectivul optic.

#### 4.14. Dispozitivul radiant

In cazul figurii 4.17., dispozitivul radiant 28 este constituit din 4 diode electroluminiscente (LED) de tipul "ROL-09", care lucreaza in domeniul spectral 700 ... 900 nm ( infrarosu ). Acestea au rolul de a "ilumina" desenul in zona "vazuta" de fotodetectatorul 26 . La varianta din figura 4.17., zona "vazuta" este de forma circulara si are diametrul de 1,91 mm . Iluminarea acestei zone trebuie sa fie cat mai mare si cat mai uniforma. In acest sens, s-au experimentat variantele : cu 2 diode, cu 4 diode , cu 6 diode , cu 8 diode . S-a constatat ca un numar mare de diode conduce la necesitatea maririi distantei intre diode si desen si din aceasta cauza, iluminarea scade. Traductorul de măsura este chiar fotodetectatorul 26 . Un numar mic de diode ( 2 de exemplu ) conduce la neuniformitatea iluminarii. S-a stabilit un optim la 4 diode.

Iluminarea desenului variaza cu patratul distantei "r" intre desen (receptor) si dispozitivul radiant (emitor), conform legii patratelor distantei:

$$E = I / r^2 \quad (4.19.)$$

E - iluminarea ;      I - intensitatea radianta

Din aceasta cauza , este rational sa se lucreze cu distante mici intre capul optic si desen.

Diodele electroluminiscente ROL-09 sunt alimentate cu un curent de 60 mA in regim permanent . Marirea distantei fata de desen, sau urmarea unor linii desenate mai subtiri ( intre 0,3 si 0,5 mm ) conduce la necesitatea alimentarii diodelor in impulsuri de supracurent , respectand durata relativa de utilizare DA %. Diodele ROL-09 suporta un curent de 1A. In cazul alimentarii in impulsuri, semnalul pulsatoriu generat de traductorul optic trebuie sa fie filtrat. Acest lucru, insa, introduce in sistem o constanta de timp electrica , ceea ce conduce la inrăutarea raspunsului sistemului automat la viteze mari de avans in planul x, y . Totusi , situatia nu este deosebit de deranjanta , pentru ca desenele cu linii subtiri se utilizeaza la masinile cu urmarire la scara 10:1 . In acest caz , daca aparatul de taiere se deplaseaza cu viteza de maxim 6 metri/minut , capul optic se deplaseaza cu o viteza de 10 ori mai mica (la scara 1:10) , deci maxim 0,6 metri/minut.

#### 4.15. Fotodetectorul in infrarosu

Fotodetectorul 26 din figura 4.17., de fapt, este "minicamera" capului optic, cu operare in domeniul spectral infrarosu. Aceasta receptineaza imaginea liniei desenate pe o suprafata circulara cu diametrul de 7 mm.

Spre deosebire de sistemul clasic de televiziune, cu pixeli in linie si baleaj linii + cadre, sistemul acestui cap optic are pixelii dispusi circular, in cazul de fata pe 1 nivel (o singura raza vectoare). Se poate spune ca se utilizeaza un sistem de vizionare in coordonate polare, iar procesorul BU realizeaza trecerea de la coordonate polare la coordonate carteziene.

S-a acordat o deosebita importanta realizarii celor 8 sectoare fotosensibile pe un singur cip, in conditii tehnologice identice, pentru asigurarea unei dispersii mai mici a semnalelor generate.

Fotodetectorul ROL-280 realizat la ICCE Bucuresti, in baza unei comenzi speciale, are o dispersie relativ mica a "tensiunii de circuit deschis" Uoc. Astfel, in cazul a 20 fotodetectoare, fiecare format din 8 sectoare fotosensibile, iluminate cu o temperatura de culoare de 2856 °K, la o iluminare de 1 klux, masurata cu un fotometru Tektronix - s-au obtinut urmatoarele valori pentru Uoc :

Tensiunea Uoc ( mV )

Tabelul 4.2.

sector nr.								
fotodetector	-----	-----	-----	-----	-----	-----	-----	-----
nr.	1	2	3	4	5	6	7	8
1.	372	365	370	380	375	375	380	370
2.	385	380	375	380	385	380	385	375
3.	380	380	380	365	375	380	385	380
4.	380	385	380	375	380	385	375	380
5.	390	385	385	390	380	385	390	385
6.	385	375	380	375	375	380	385	380
7.	380	375	370	375	375	370	380	385
8.	375	380	375	380	375	380	385	380
9.	365	370	375	365	370	370	375	375
10.	380	385	385	375	380	385	380	385
11.	375	380	380	385	375	380	380	375
12.	370	375	375	380	380	375	370	380
13.	365	360	370	370	365	375	360	365
14.	385	385	380	385	380	375	380	375
15.	390	380	390	380	385	390	380	385
16.	375	370	380	375	380	375	380	365
17.	380	385	385	380	385	375	385	375
18.	370	375	370	375	370	375	370	380
19.	380	380	385	385	380	385	385	385
20.	385	385	380	385	380	380	385	380

In cazul acestui esantion de  $20 \times 8 = 160$  sectoare fotosensibile, extretele sunt : 360 mV, 390 mV, deci variatia relativa fata de medie, este :

$$\frac{390 - 360}{375} = \frac{30}{375} = 0,08 \quad (+/- 4\%) \quad (4.20.)$$

Intereseaza , de fapt , dispersia intre cele 8 sectoare ale unui singur fotodetector . Din cele 20 fotodetectoare , cel mai defavorabil este cel cu nr.1 :

$$\frac{380 - 365}{372,5} = 0,04 \quad (+/- 2\%) \quad (4.21.)$$

Desi aceasta valoare de +/- 2 % este suficient de mica, se poate compensa total , la nivelul bufferelor din blocul electronic AU (offset si amplificare).

Dupa 200 de ore de functionare , s-au masurat aceiasi parametri.

Caracteristica  $I = f(U)$  a fotodetectorului ROL-280 , la limita maxima  $I, U$ , in cazul unei iluminari foarte puternice (peste 1 klux) , este reprezentata in figura 4.18.

La  $\alpha = 45^\circ$  , pentru punctul M1 , in cazul unei iluminari puternice , rezistenta de sarcina  $R_s$  are valoarea :

$$R_s = \tan \alpha = U_1 / I_1 = U_{oc} / I_{sc}$$

$$R_s = 375 \text{ (mV)} / 0,016 \text{ (mA)}$$

$$= 23,4 \text{ k}\Omega \quad (4.22.)$$

Datorita puterii , relativ reduse a sursei de radiatie (4 diode LED tip ROL-09) , curentul de scurtcircuit  $I_{sc}$  este foarte redus , deci pentru obtinerea unei tensiuni notabile  $U_1$  , este necesar sa se lucreze cu rezistente de sarcina  $R_s$  mari , de ordinul 1 ... 2  $M\Omega$  .

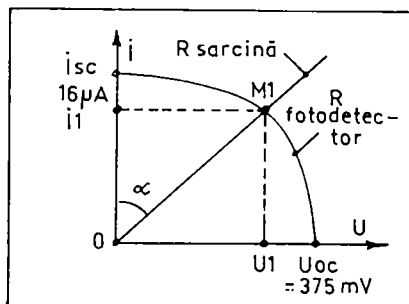


Fig. 4.18. Caracteristica  $I = f(U)$  , ROL-280

#### 4.16. Sistemul optic

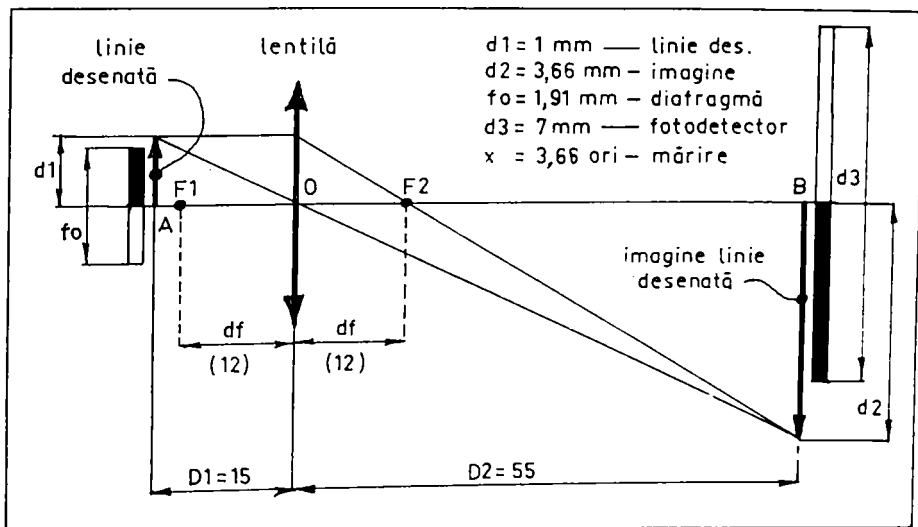


Fig. 4.19. Determinarea grafica a sistemului optic

- Conceperea sistemului optic este conditionata de urmatoarele date initiale :
- grosimea liniei desenate "d1"
- distanta intre lentila obiectiv si desen "D1"
- diametrul fotodetectorului "d3"

Se tine seama de faptul ca puterea radianta necesara este proportionala cu patratul distantei intre lentila obiectiv si desen "D1" si cu patratul "maririi". Marirea "n" este definita ca raport intre imaginea creata pe fotodetector "d2" si grosimea liniei desenate "d1".

In figura 4.19. este prezentata determinarea grafica a sistemului optic.

Pe figura 4.19. i-a ero-il. d.  
procesare , in cazul urmaririi  
jonctiunii alb/negru a liniei  
desenate , trebuie indeplinita  
conditia :

$$d_2 > d_3 / 2 \quad (4.23.)$$

conform figurii 4.20.

Pentru a obtine distante D1 mici, se lucreaza cu lentele cu distanta focala "df" mica. Alegerea distantei D1 este un compromis intre efectele :

- La valori mari D1 , rezulta necesitatea unei puteri radiante mari pentru "iluminarea" desenului.

- La valori mici D1 , rezulta un efect perturbator al variatiei distantei D1, din cauza ondulatiilor hirtiei port-desen.

In cazul in care se decide a se lucra cu distanta D1 mare , simultan cu urmarirea unor lini subtiri ( d1 mic ) , rezulta un tub optic foarte lung ( D1 + D2 ).

Modelul realizat in prima varianta si reprezentat in figura 4.19. este caracterizat prin marimile :

- grosimea liniei desenate,  $d_1 = 1 \text{ mm}$
- diametrul fotodetectorului,  $d_3 = 7 \text{ mm}$
- distanta obiectiv-desen,  $D_1 = 15 \text{ mm}$
- distanta obiectiv-fotodetector,  $D_2 = 55 \text{ mm}$
- marirea imaginii,  $d_2/d_1 = 3,66 \text{ ori}$
- imaginea liniei desenate,  $d_2 = 3,66 \text{ mm}$
- diafragma,  $f_o = 7/3,66 = 1,91 \text{ mm}$
- distanta focala dublet,  $df = 12 \text{ mm}$
- lungimea tubului optic,  $D_1+D_2 = 70 \text{ mm}$
- este indeplinita conditia:  $d_2 > d_3/2$
- lentile: cod 2.360.02.005.0., diametru 6,2 mm (-0,013,-0,027), cu distanta focala  $df_1 = 24 \text{ mm}$

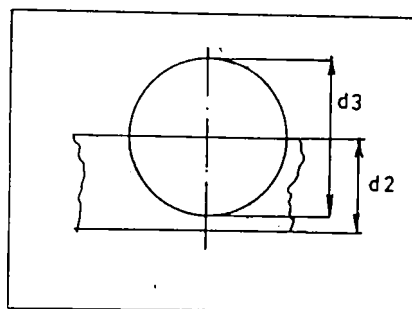


Fig. 4.20. Raportul  $d_3/d_2$

#### 4.17. Eficacitatea traductorului optic Problema diafragmelor

Eficacitatea traductorului optic, notata cu " $\mu$ ", este definita prin relatia :

$$\mu = \frac{I_{alb} - I_{negru}}{I_{alb}} \quad (4.24.)$$

Ialb - curentul generat de fotodetector, pe alb  
Inegru - curentul generat de fotodetector, pe negru  
(pe linia desenata)

Eficacitatea sporita este asociata unui contrast mare . Acesta se obtine atunci cand sunt eliminate reflexiile pe pereti interiori ai tubului optic, ceea ce, in tehnica fotografica inseamna realizarea unei profunzimi sporite .

Există două cai pentru marirea eficacitatii :

- dispunerea de diafragme in tubul optic
- vopsirea peretilor interiori ai tubului optic cu negru mat

Practic , s-a constatat ca a doua cale nu conduce la rezultate notabile .

Determinarea eficacitatii nu se face indirect , tinand seama de faptul ca :

$$\frac{I_{alb} - I_{negru}}{I_{alb}} = \frac{U_{alb} - U_{negru}}{U_{alb}} \quad (4.25.)$$

Ualb - tensiunea generata de amplificatorul traductorului optic, pe alb  
Unegru - tensiunea generata de amplificatorul traductorului optic, pe negru (pe linia desenata)

Aceste marimi sunt evidențiate in figura 4.21.

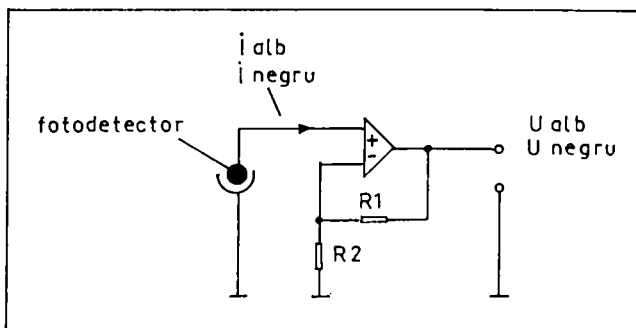


Fig. 4.21. Eficacitatea traductorului optic

Experimental , s-a determinat o eficacitate de cca. 5 % in cazul tuburilor fara diafragme si cca. 80 % in cazul tuburilor echipate cu 4 diafragme, ca in figura 4.22.

Depasirea eficacitatii de 80 % nu este posibila din cauza faptului ca tusul cu care se deseneaza , privit ca substanta chimica , nu are coeficient de absorbtie egal cu 1 (ideal) , ci de cca. 0,8 . Coeficientul de reflexie este de cca. 0,2 la nivelul liniei desenate si cca. 0,95 la nivelul hartiei albe .

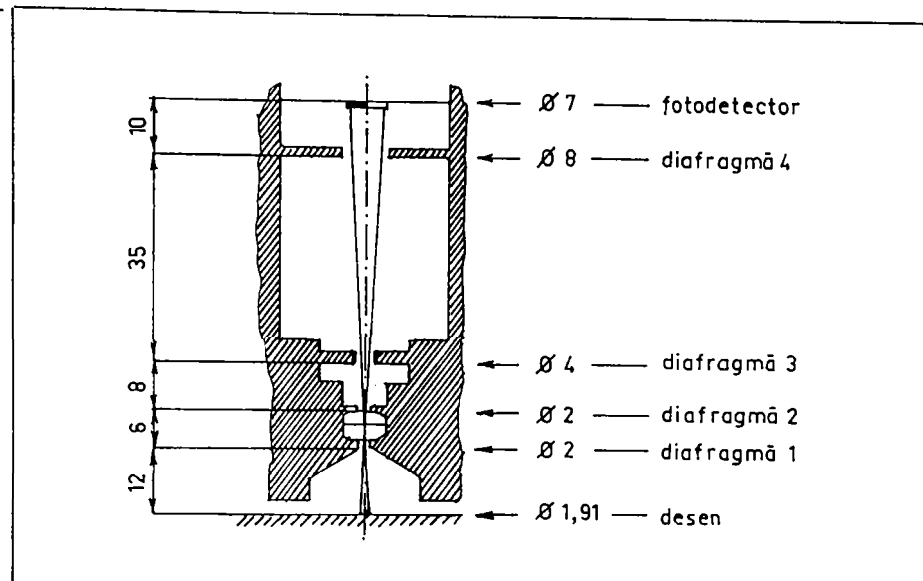


Fig. 4.22. Dispunerea diafragmelor in tubul optic

#### 4.18. Descrierea schemei electrice

In figurile 4.23. ... 4.32. este prezentat un exemplu de echipament electric aferent unui cap optic fara componente mecanice in miscare de rotatie. Echipamentul a fost realizat practic.

In figura 4.23. este prezentata schema generala de principiu. Echipamentul electric cuprinde 3 unitati :

- Cutia cu echipament electric CEE ( unitatea centrala )
- Capul optic CO
- Cutia cu transformatoare CT

Echipamentele periferice sunt :

- Actionarile x,y : MX, TX, MY, TY
- Limitatoarele de cursa : +X, -X, +Y, -Y
- Releul pentru oprirea taierii KT ( la conectorul X11 )

##### 4.18.1. Blocul bufferelor AU ( figura 4.24. )

Amplificatoarele operationale AO.1 ... AO.8 au rolul de a prelua semnalele mici (sub 375 mV si sub 16  $\mu$ A) generate de cele 8 sectoare fotosensibile (la pinii 1,2,3,4,5,6,7,8) sub o impedanta de sarcina de cca. 1M $\Omega$  si de a le aduce la nivelul de +/-5V cu o impedanta mica. In acest fel, aceste semnale sunt capabile de a fi transmise la distanta de cca. 3 metri prin cablu neecranat, la un raport semnal/zgomot sub 1/1000 .

Este foarte important ca legaturile intre fotodetector si placă AU sa fie cat mai scurte (sub 50 mm) si ecranate .

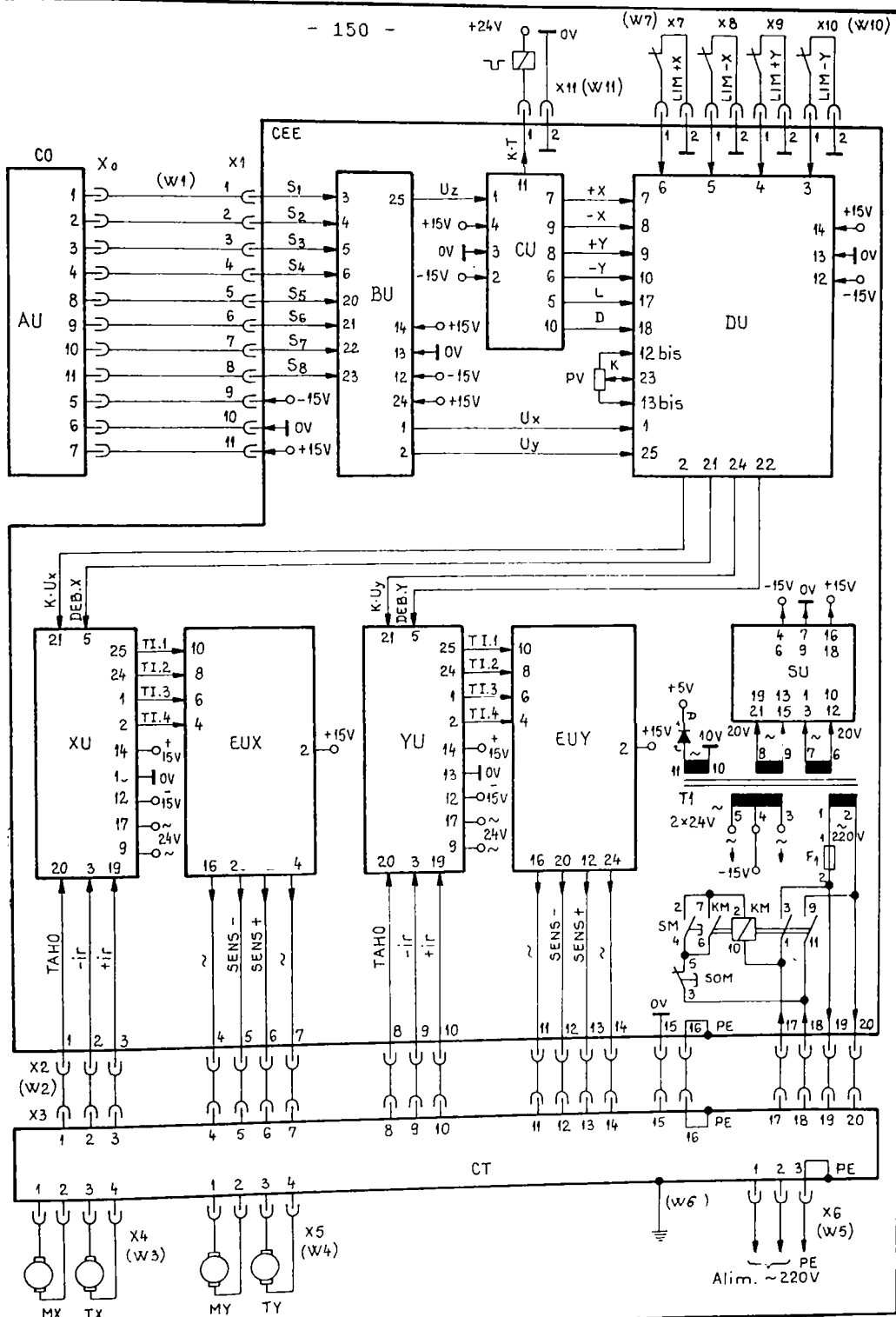


Fig. 4.23. Schema generala de principiu

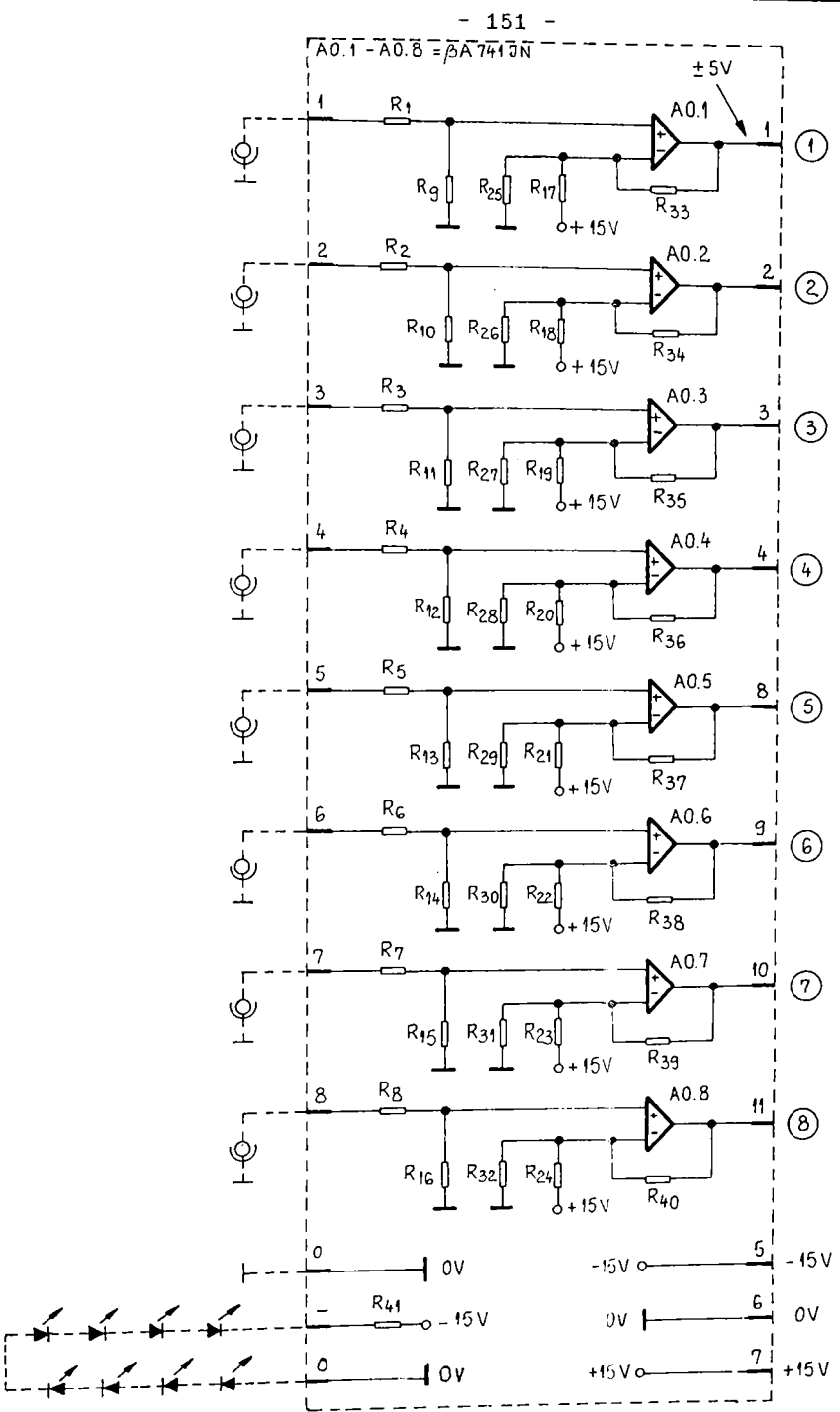


Fig. 4.24. Blocul bufferelor AU

Practic, fotodetectorul si placa AU sunt dispuse in aceeasi cutie "CO".

Rezistentele R9 ... R16 au rolul de a polariza intrarea ne-inversoare (+) a amplificatoarelor operationale cu 0V , atunci cand celulele fotovoltaice lucreaza in domeniul de "intuneric" (vizioneaza linia desenata) . In domeniul de "intuneric", curentul generat de fotodetector (in regim fotovoltaic) ajunge chiar la valoarea zero, deci practic , amplificatorul operational are intrarea "in aer". In aceasta situatie, ar apare o deriva puternica a tensiunii de iesire (offset).

Rezistentele R17 ... R24 de valoare 5 ... 10 M $\Omega$  , au rolul de a introduce o decalare a tensiunii de iesire , de asa maniera incat zeroul tensiunii de iesire sa corespunda cu jumatea tranzitiei de la negru la alb a fiecarui sector fotosensibil.

Rezistenta R41 , in serie cu lantul diodelor electroluminiscente in infrarosu ROL-09 , stabileste curentul de 60 mA .

#### 4.18.2. Procesorul BU (figura 4.25.)

Functiile procesorului BU sunt:

- Realizarea algoritmului de transfer de la coordonate polare la coordonate carteziene (Ux,Uy).
- Realizarea algoritmului de sesizare a liniei desenate (Uz). Amplificatoarele operationale AO.25 ... AO.32, pe de o parte, asigura nivelul de +/- 10 V la iesire, pe de alta parte, realizeaza deplasarea nivelului (offset) actionand P1 ... P8 .

Diodele electroluminiscente D25 ... D32 sunt aprinse cand fotodetectorul este pe "negru". Acest fapt usureaza eventuala operatie de depanare , punand rapid in evidenta care din cele 8 linii de intrare S1 ... S8. este defecta .

Algoritmul de transfer de la coordonate polare la coordonate carteziene (algoritm rezolverului optic) a fost prezentat la punctele 4.3. .... 4.9., iar algoritmul de sesizare a liniei desenate a fost prezentat la punctul 4.10.

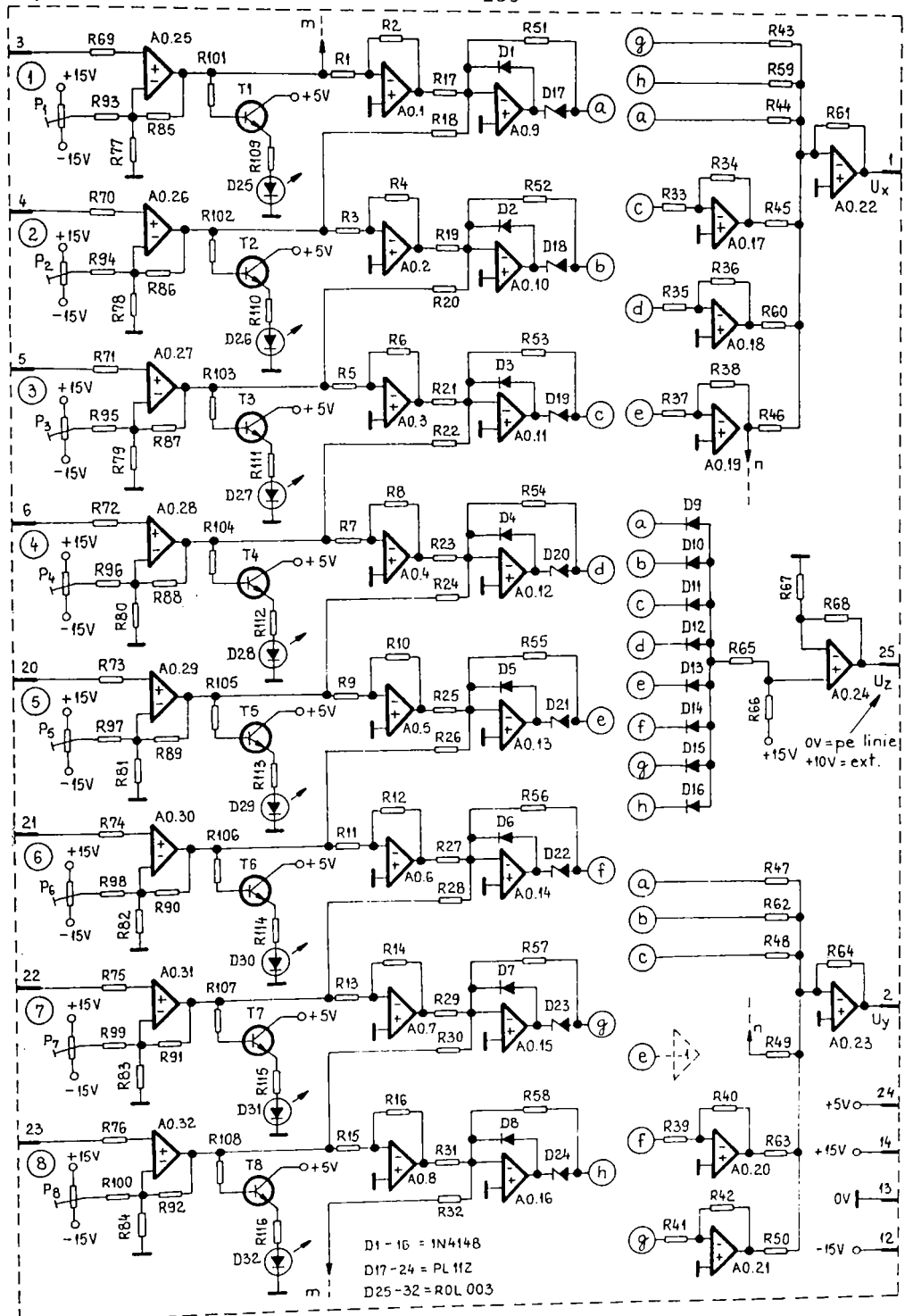
#### 4.18.3. Procesorul CU (figura 4.26.)

Procesorul "CU" face medierea intre tastatura senzoriala aflată la indemăna operatorului si actionarile x,y . Medierea se face interblocat cu semnalul Uz de sesizare a liniei desenate si cu selectorul K.

Tastatura senzoriala reprezentata in figura 4.27. contine 9 taste senzoriale si 9 diode electroluminiscente care confirmă executia comenzii .

La un moment dat , poate fi activa numai actiunea unei taste . Cu acestea se initiaza avansul apparatului de taiere in plateau . Cu acestea se initiaza avansul apparatului de taiere in plateau x , y , in unul din cele 8 sensuri de avans (la intervale unghiulare de 45°).

Din motive tehnologice , operatia de strapungere a materialului se face in afara conturului, pe partea deseului.



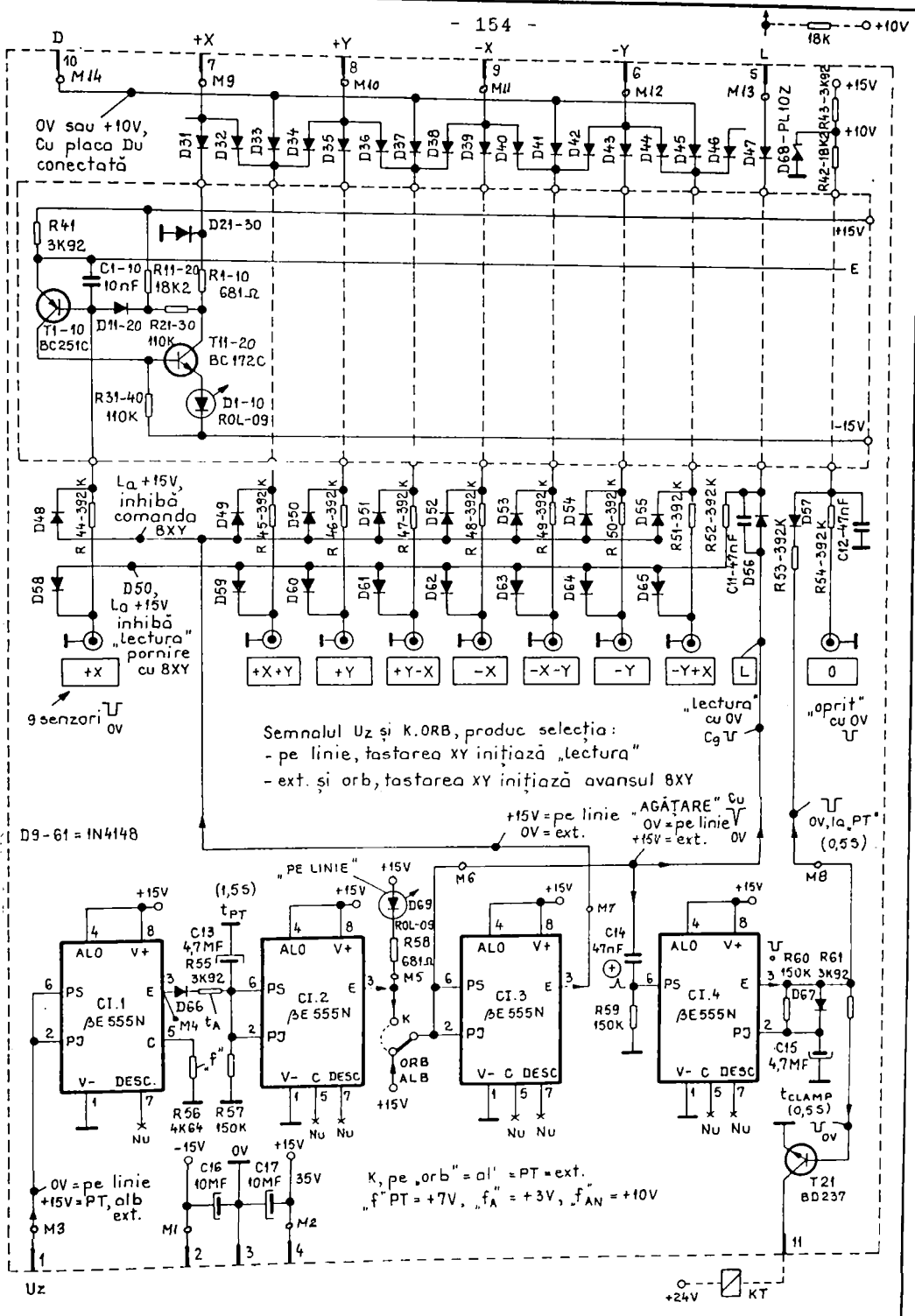


Fig. 4.26. Procesorul CU

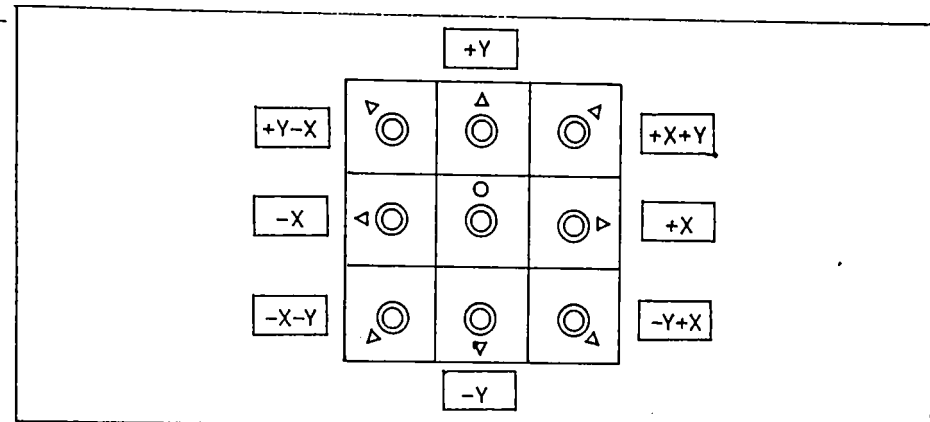


Fig. 4.27. Blocul tastelor senzoriale

Se prescrie un sens de avans, aproximativ spre contur, prin actionarea unei taste senzoriale adecvate.

In momentul in care capul optic ajunge la linia desenata, un dispozitiv format din CI.1 si CI.2 , sesizeaza acest lucru si comuta modul de avans : de la avansul dupa sens prescris , la avansul prin "lectura" a liniei desenate ("agatare"). Trecerea se face instantaneu.

Daca selectorul K se afla pe pozitia "orb", aceasta trecere la "lectura" nu se mai produce (capul optic este "orb" - nu vede linia desenata).

Dioda electroluminiscenta D69 este activa cand capul optic este pe jonctiunea alb/negru a liniei desenate.

Dioda electroluminiscenta D9 este activa in timpul "lecturii" liniei desenate ("L").

La punerea sub tensiune , intotdeauna echipamentul se auto-seteaza in pozitia "O" ; LED-ul rosu "O" (STOP) este aprins si avansul nu-i initiat .

Daca se porneste "pe linie" , iar K se afla pe pozitia "ne-orb" , atunci orice actionare x,y (pe oricare sens din cele 8) inițiaza chiar "lectura" (avansul automat pe linia desenata).

In timp ce masina avanseaza pe un sens , in scopul trecerii la alt sens de avans , nu este necesara oprirea (cu "O") , ci se poate actiona direct un nou sens de avans , cu ajutorul tastelor senzoriale.

Daca in timpul "lecturii" se trece K de pe pozitia "orb" pe pozitia "neorb" , avansul se opreste imediat , in mod automat , sesizind o "pierdere de traекторie" (PT) virtuala , prin sesizarea unui nivel de alb.

Daca in timpul "lecturii" capul optic pierde linia desenata dispozitivul electronic da comanda opririi taierei , dupa o temporizare de 1,5 secunde (R57,C13) . Avansul se opreste instantaneu , datorita realizarii semnalelor  $U_x = 0$  ,  $U_y = 0$ .

La "pierderea traectoriei" , releul KT primeste comanda de intrerupere timp de cca. 0,5 secunde (R60,C15) . Acest timp de "clamp" este suficient pentru anularea automentinerii releului "clamp" (la "taiere") . Releul KT , dispus in echipamentul KT (anclansat la "taiere") , actioneaza asupra electrovalvei oxigenului de conex , de taiere , actioneaza asupra electrovalvei laser (la taiere (la taierea oxigaz) , sau asupra obturatorului laser (la taierea cu fascicul laser) , sau asupra sursei de plasma (la taierea cu plasma) , et c.

Registrul de memorie format din 10 celule T1 + T11 , cuplate prin rezistenta comună din emitoarele T1 ... T10 (reactie pozitiva multipla), are proprietatea ca la activarea unei celule , se dezactiveaza automat celelalte 9 celule. Activarea consta in conductia unuia din tranzistoarele T11 ... T20 , deci aprinderea LED-ului corespunzator D1 ... D10. Activarea unei celule coincide si cu trecerea iesirilor 1 ... 10 (anodul diodelor D21 - D30) in starea logica zero (-10V), in timp ce diodele D1 ... D10 ale celorlalte celule sunt in starea logica 1 (+10V) . Registrul posedă calitatea unui consum deosebit de mic , deoarece cele 9 celule inactive au cele 18 tranzistoare blocate. Tot curentul consumat, practic este cel care trece prin LED-ul (D1 ... D10) activ de aproximativ 30 mA.

S-au experimentat si variantele cu circuite integrate consacrate ( SAS 560, SAS 570, sau MOS ), dar s-a renuntat la acestea, din cauza nerealizarii imunitatii la zgomot foarte puternic ( tiristoarele din oscilatorul de amorsare a generatorului de plasma , sau variatoarele de turatie ). Condensatoarele C1 - C11 asigura aceasta deparazitare.

Cele 10 iesiri din registrul de memorie sunt conectate la o matrice de codificare cu diode (D31 ... D47), cu iesirile +X, +Y -X, -Y, L, D . Aceste iesiri deblocheaza variatoarele de turatie x, y, in sensurile de rotire motoare mx, my : +x, +y, -x, -y, astfel :

- un singur motor mx sau my , cu unul din sensurile de rotire +X, +Y, -X, -Y, sau prescrise manual.
- doua motoare simultan mx si my, pentru miscarile pe diagonale in planul x, y, prescrise manual.
- doua motoare simultan mx si my, prin prescriere automata de lectura "L".
- reducerea turatiei la 70 % , in cazul miscarii pe diagonale si prescriere manuala , prin iesirea "D" ("diagonale"), in scopul mentinerii vitezei tangentiale la aceeasi valoare ca in cazul avansului dupa axe x,y.

#### 4.18.4. Procesorul DU (figura 4.28.)

Procesorul "DU" face medierea intre intrarile :

- registrul de memorie al tastelor senzoriale de prescriere a avansului ( +X, +Y, -X, -Y, L, D ).
- cele 4 limitatoare de cursa ( +X, +Y, -X, -Y )
- referintele de viteza Ux (cos i), Uy (sin i)
- prescrierea vitezei cu Pv ( k = 0 ... 1 )

si iesirile :

- deblocarea variatoarelor de turatie x,y (M19, M20)
- referintele de viteza atenuata k.Ux , k.Uy

Prin analizarea figurii 4.28. se remarcă existența a două lanturi ale referintelor de viteza :

- axa x : AO.1 ... AO.5
- axa y : AO.6 ... AO.10

Acestea sunt influențate de circuitele comune: AO.11,AO.12 AO.13, CI.1, T3, T5 ... T10.

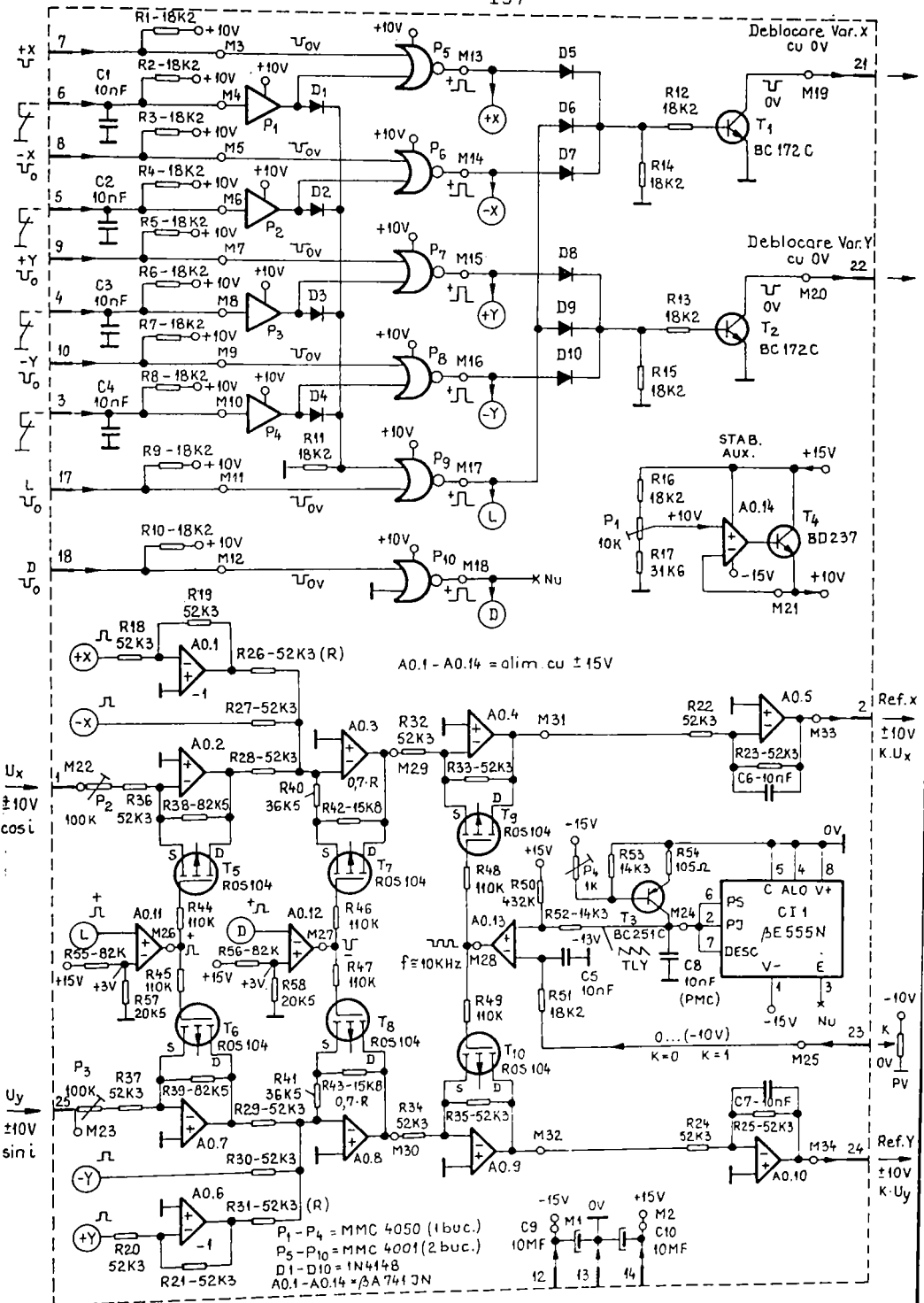


Fig. 4.28. Procesrul DU

Circuitele CI.1 , T3 genereaza tensiune liniar variabila (TLV) in scopul choppului , la o frecventa relativ mare ( 20-50 kHz , reglabilă cu P4 ) . Coeficientul de umplere al chopperului este comandat in tensiune cu Pv ( 0 ... -10V ).

In tabelul 4.3. sunt prezentate tensiunile in punctele de masura M3 ... M34 in 10 situatii de avans in planul x,y. Se presupune situatia in care limitatoarele de cursa nu sunt activate.

Punctele de masura M la procesorul DU :

Tabelul 4.3.

SITUATIA DE AVANS IN PLANUL X,Y :

UM ... (V)	STOP	+X +Y	+X -Y	+Y -X	-X	-X -Y	-Y +X	L
UM3	+10	0	0	+10	+10	+10	+10	0 +10
UM4	0	0	0	0	0	0	0	0 0
UM5	+10	+10	+10	+10	0	0	+10	+10 +10
UM6	0	0	0	0	0	0	0	0 0
UM7	+10	+10	0	0	0	+10	+10	+10 +10
UM8	0	0	0	0	0	0	0	0 0
UM9	+10	+10	+10	+10	+10	+10	0	0 +10
UM10	0	0	0	0	0	0	0	0 0
UM11	+10	+10	+10	+10	+10	+10	+10	+10 0
UM12	+10	+10	0	+10	0	+10	0	+10 +10
UM13	0	+10	+10	0	0	0	0	+10 0
UM14	0	0	0	+10	+10	+10	0	0 0
UM15	0	0	+10	+10	+10	0	0	0 0
UM16	0	0	0	0	0	+10	+10	+10 0
UM17	0	0	0	0	0	0	0	0 +10
UM18	0	0	+10	0	+10	0	+10	0 +10
UM19	+10	0	0	+10	0	0	+10	0 0
UM20	+10	+10	0	0	0	+10	0	0 0
UM21	+10	+10	+10	+10	+10	+10	+10	+10 +10
UM22	Ux	Ux	Ux	Ux	Ux	Ux	Ux	Ux Ux
UM23	Uy	Uy	Uy	Uy	Uy	Uy	Uy	Uy Uy
UM24	TLV	TLV	TLV	TLV	TLV	TLV	TLV	TLV TLV
UM25	K	K	K	K	K	K	K	K K
UM26	-15	-15	-15	-15	-15	-15	-15	-15 +15
UM27	+15	-15	-15	+15	-15	+15	-15	+15 -15
UM28	CHP	CHP	CHP	CHP	CHP	CHP	CHP	CHP CHP
UM29	0	+10	+7	0	-7	-10	-7	0 +7 Ux
UM30	0	0	+7	+10	+7	0	-7	-10 -7 Uy
UM31	0	-10K	-7K	0	+7K	+10K	+7K	0 -7K -KUx
UM32	0	0	-7K	-10K	-7K	0	+7K	+10K +7K -KUy
UM33	0	+10K	+7K	0	-7K	-10K	-7K	0 +7K KUx
UM34	0	0	+7K	+10K	+7K	0	-7K	-10K -7K KUy

Notatii in tabelul 4.3.:

Ux = -10 ... 0 ... +10 V (cos i , de la rezolver)  
Uy = -10 ... 0 ... +10 V (sin i , de la rezolver)

TLV = tensiune liniar variabila 0/-10 V, 20-50 kHz

K = 0 ... -10 V (K = 0 ... 1)

CHP = chopper, semnal dreptunghiular +15/-15 V, 20-50 kHz

KUx = (0 ... 1) . (-10 ... 0 ... +10) V

KUy = (0 ... 1) . (-10 ... 0 ... +10) V

+7K = (+7 V) . (0 ... 1) , ca exemplu

#### 4.18.5. Regulatoarele de turatie si de curent XU,YU (figura 4.29.)

Problema esentiala in cazul conturarii in coordonate carteziene este realizarea unei game foarte largi de reglare a turatiei la motoarele reversibile de actionare. In special, se urmareste eliminarea discontinuitatii in originea axelor x,y , a caracteristicii  $n = f(U)$  a motoarelor electrice , pentru a nu rezulta o taietură in trepte . Aceasta s-ar manifesta prin rizuri de 0,5 ... 3 mm la nivelul fantei taieturii. Regulatorul prezentat in figura 4.29. se situeaza la un nivel relativ ridicat de pretentii , asigurand o gama de turatie cuprinsa intre 0,5 si 3000 rpm . Bineintele, motoarele de actionare trebuie sa fie si ele la un nivel corespunzator a gamei de turatie. De aceea, s-au utilizat servomotoare cu rotor disc ( de tipul SRD-350, cu taho-generator incorporat ).

S-a preferat schema din figura 4.29., realizata la un grad mai mic de integrare , din considerentul posibilitatilor multiple de decuplare capacitive in diferite puncte din circuit , in scopul deparazitarii fata de unele surse foarte puternice de perturbatii , cum ar fi, de exemplu , oscilatorul de amorsare al generatorului de plasma.

O alta cerinta este rezolvarea unui timp de raspuns cat mai mic, in scopul eliminarii tesirii culturilor conturului, in special in cazul vitezei mari de avans.

Analizand circuitele din figura 4.29., se constata existenta celor 4 tranzistoare T9, T10, T11, T12, la care sunt cuplate transformatoarele de impuls pentru cele 4 tiristoare, cate 2 pentru fiecare faza si sens de rotatie ( T11, T12 pentru sens pozitiv si T13, T14 pentru sens negativ ).

Regulatorul de turatie reversibila este realizat cu AO.4 , regulatorul de curent pentru sens pozitiv - cu AO.5. iar regulatorul de curent pentru sens negativ - cu AO.8.

AO.6 si AO.9 compara o tensiune liniar variabila (TLV) generata de T3,T4, AO.3 in M8, cu semnalul de eroare de la ieșirea celor doua regulatoare de curent, in scopul convertirii tensiune --> faza , la o frecventa de 100 Hz.

Regulatoarele sunt conectate in cascada.

Reactia de turatie se aplica la pinul 20 (M5). La acest pin este conectat si detectorul de turatie zero, realizat cu AO.1 , AO.2, T1, T2. Acest circuit are rolul de a opri comanda pe grila numai dupa frinarea in contracurent realizata in mod implicit in regimul de invertor, deci cu o intarziere fata de momentul aplicarii prescrierii zero pentru referinta de viteza la pinul 21 (M3), sau 23 (M4).

T5 si T6 au rolul de a bloca impulsul de comanda pe poarta la tiristoarele care nu sunt in conductie in faza respectiva.

Cu P2 se stabileste curentul de circulatie prin cele 4 tiristoare , la o valoare de 0,2 ... 0,5 A.

La pinii 9 si 17 se aplica tensiunea de sincronizare 2x24 V la 50 Hz, iar la pinul 5 se da comanda de deblocare (cu 0V).

La pinii 19 si 3 se aplica reactiile de curent corespunzatoare celor 2 sensuri de rotatie.

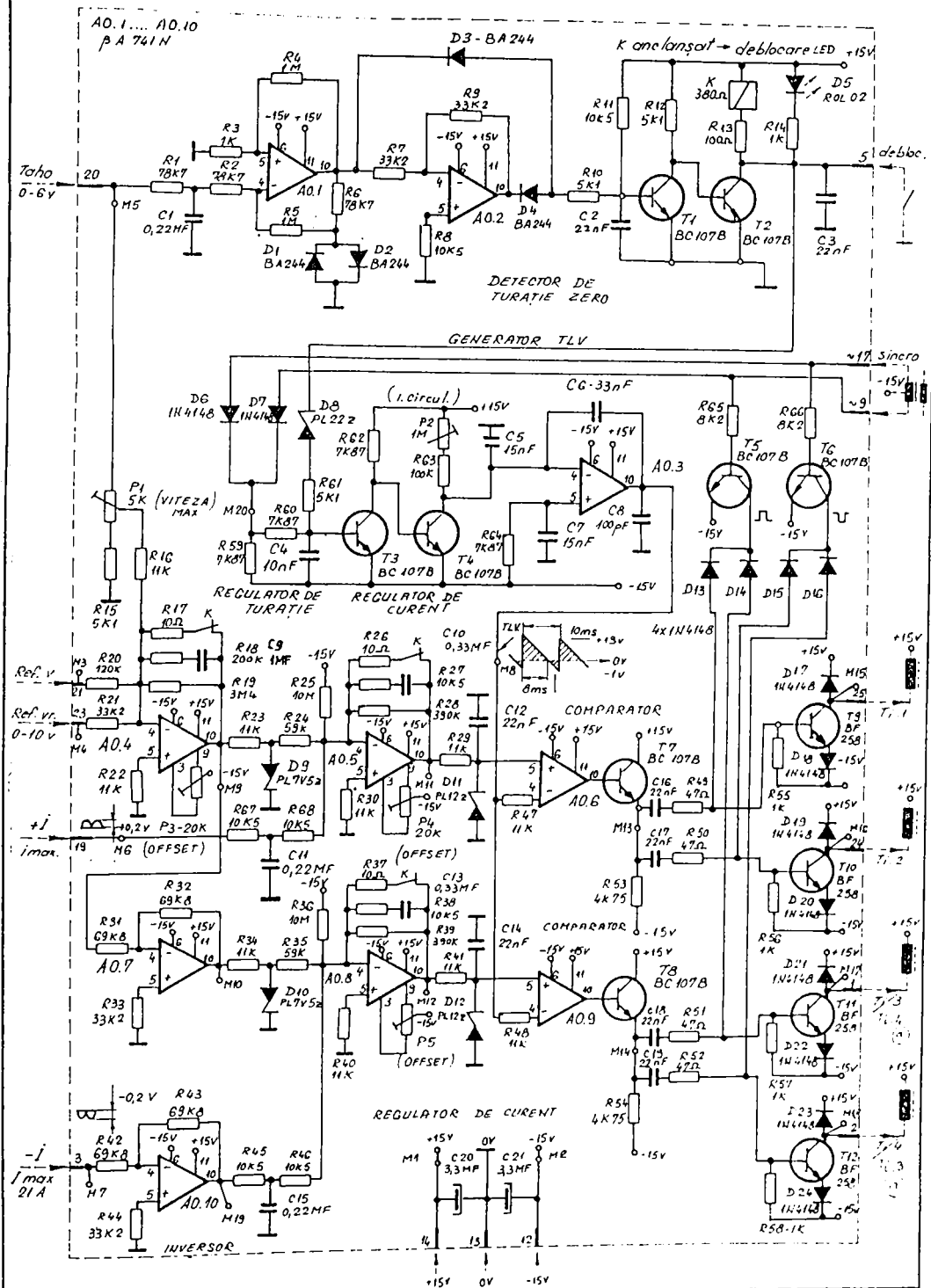


Fig. 4.29. Régulatoarele de turatie si de curent XU, YU

4.18.6. Transformatoarele de impuls, tiristoarele si  
circuitele de protectie, EU  
(figura 4.30.)

Tiristoarele Ti1 si Ti2 aplică motorului M, o tensiune pozitiva, iar tiristoarele Ti3, Ti4 - o tensiune negativa .

Grupurile R,C, în paralel pe tiristoare, realizează protecția tiristoarelor fata de  $dU/dt$  , iar grupul D5-D8, R5, R6, C6 , realizează separarea tensiunilor de comutatie din retea si spre retea .

Sunturile de pe care se ia reactia de curent (  $+Ir$ ,  $-Ir$  ) sunt de  $0,1 \Omega$  .

4.18.7. Stabilizatoarele de tensiune SU  
(figura 4.31.)

Circuitele nu presupun probleme deosebite, reprezentand o solutie clasica . "SU" genereaza la cei 3 pini : -15V, 0V, +15V, la un curent de  $+/- 0,5 A$  .

4.18.8. Cutia cu transformatoare CT  
(figura 4.32.)

De fapt , inafara de transformatoarele T1 - T4 , CT contine in plus : droselele de filtraj TD1 - TD4 , sunturile pentru reactiile de curent R1 - R4 , sigurantele fuzibile F1 - F6 si intrerupatoarele automate F7, F8 ("AMRO-10"), care realizeaza protectia motoarelor electrice cu rotor disc ( termic la suprasarcini mici cu durata mare si electromagnetic la suprasarcini mari cu durata mica ).

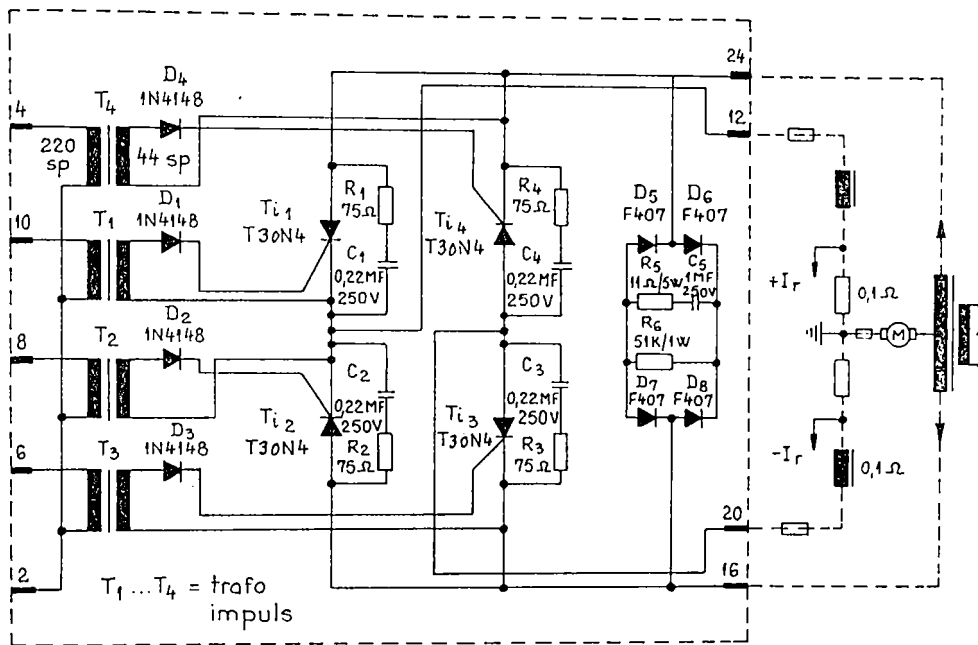


Fig. 4.30. Transformatoarele de impuls, tiristoarele si circuitele de protectie EU

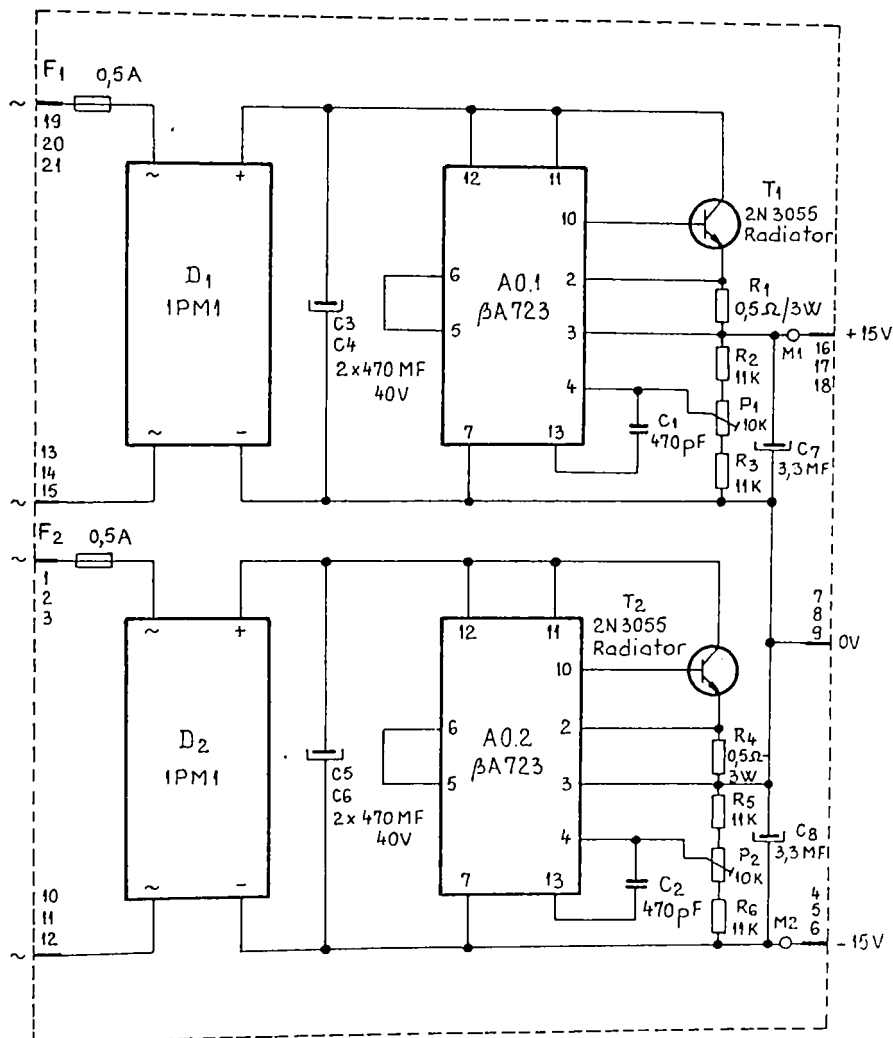


Fig. 4.31. Stabilizatoarele de tensiune SU

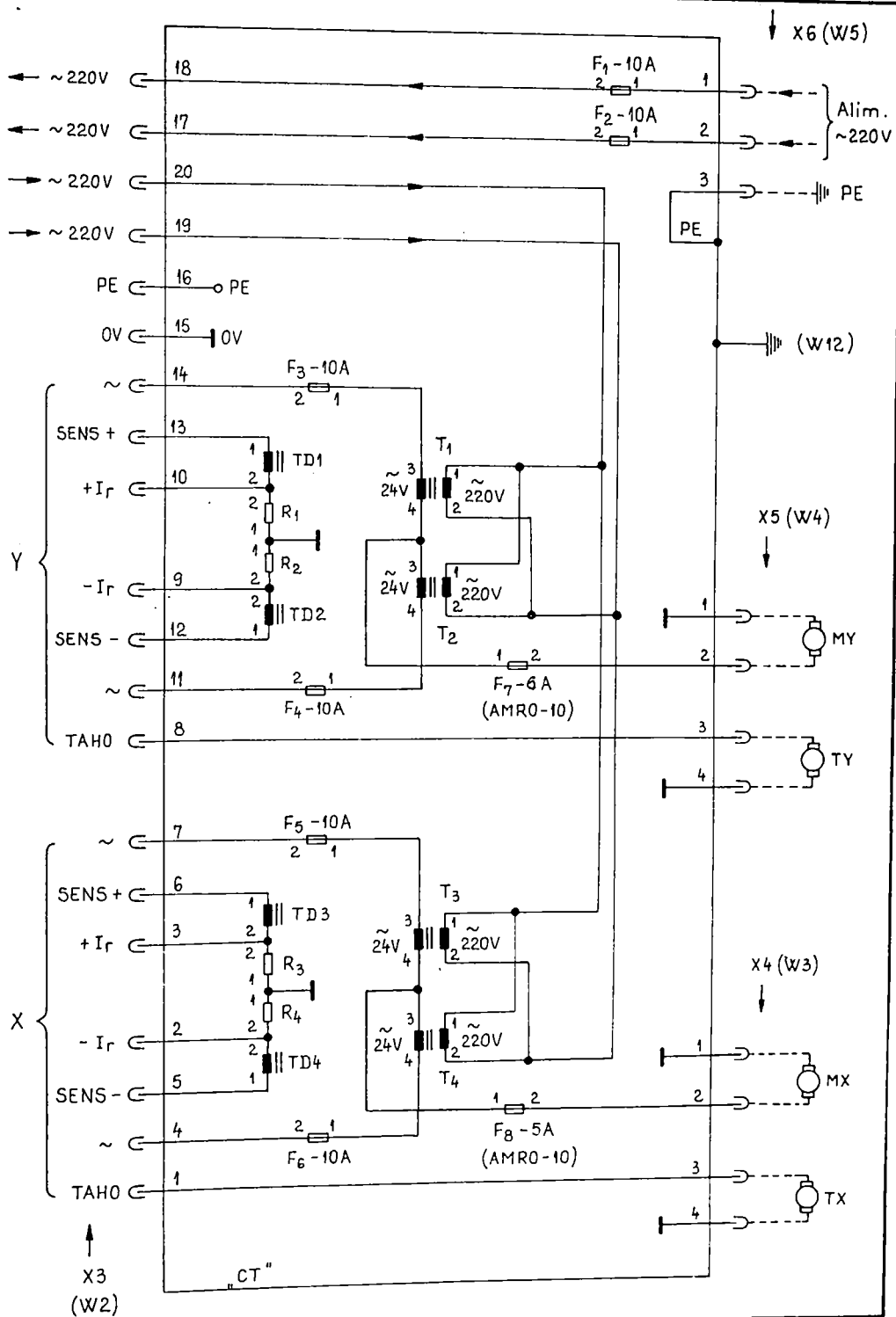


Fig. 4.32. Cutia cu transformatoare CT

## CAPITOLUL 5

REZULTATE EXPERIMENTALE.  
VITEZA, PRECIZIA SI  
STABILITATEA CONTURARII  
IN CAZUL UTILIZARII  
CAPURILOR OPTICE FARA  
COMPONENTE INERTIALE IN  
MISCARE DE ROTATIE

### 5.1. Ansamblul experimental

In scopul stabilirii performantelor capului optic fara componente inertiale in miscare de rotatie , s-a realizat un ansamblu experimental, conform figurilor 5.1., 5.2., 5.3., format din reperele :

- cap optic rapid "COR"
- sistem de actionare in coordonate "SAC-70W"
- 2 module mecanice de translatie x,y

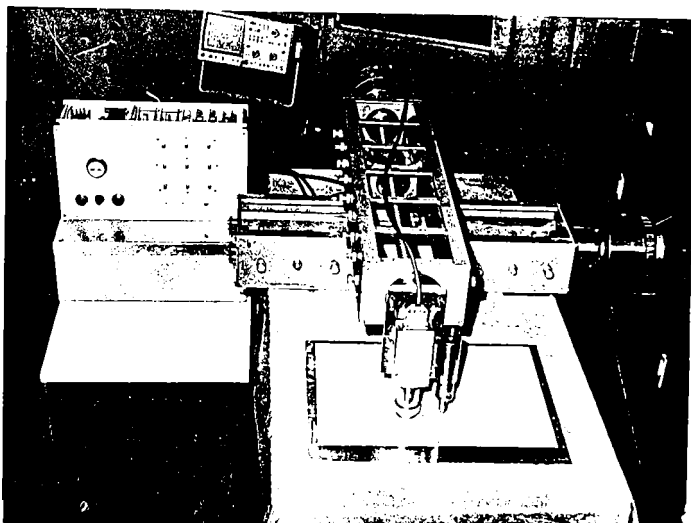


Fig. 5.1. Ansamblu experimental cap optic rapid "COR", sistem de actionare in coordonate "SAC-70W" si module mecanice de translatie x,y

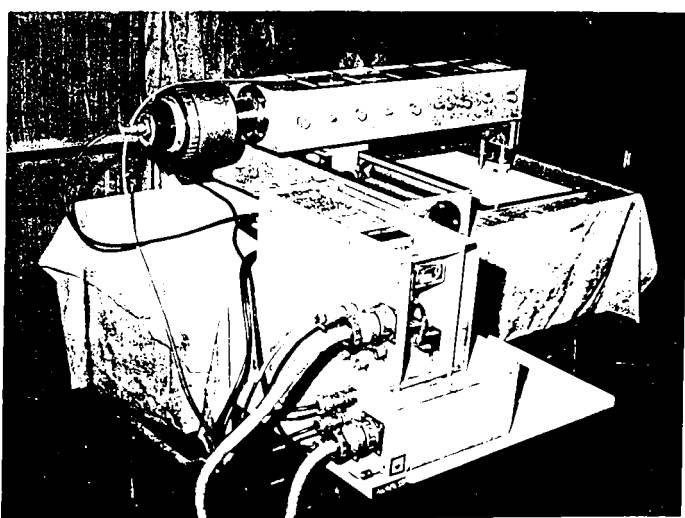


Fig. 5.2. Ansamblu experimental cap optic rapid "COR", sistem de actionare in coordonate "SAC-70W" si module mecanice de translatie x,y

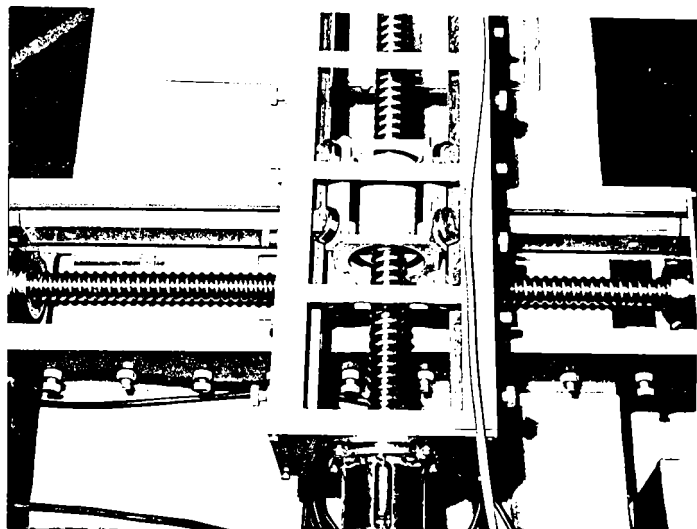


Fig. 5.3. Ansamblu experimental cap optic rapid "COR", sistem de actionare in coordonate "SAC-70W" si module mecanice de translatie x,y

In figurile 5.4. si 5.5. sunt prezentate : capul optic rapid "COR" si sistemul de actionare in coordonate "SAC-70".

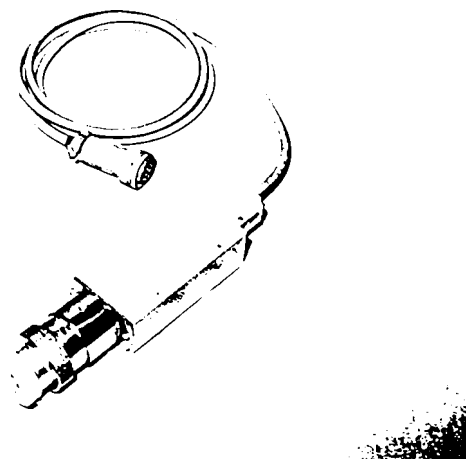


Fig. 5.4. Cap optic rapid "COR"

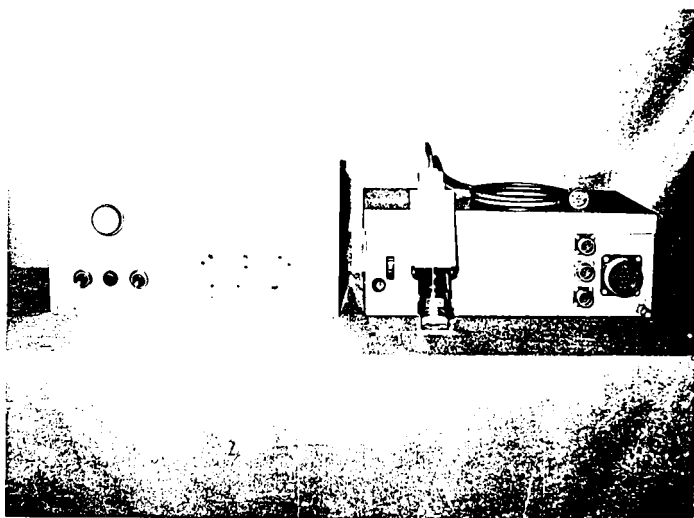


Fig. 5.5. Cap optic rapid si sistem de actionare  
in coordonate "COR-SAC 70W"

Echipamentul electric "COR-SAC 70W" este cel prezentat in capitolul 4, figurile 4.23. ... 4.32.

### 5.2. Viteza de avans intrinseca "vx" a capului optic rapid "COR"

Viteza de avans intrinseca este una din performantele prin care capul optic rapid "COR" (fara componente inertiale in miscare de rotatie) excelegeaza fata de capul optic de tip rotitor prezent in echipamentele actuale realizate pe plan european.

Daca, in general, viteza maxima de avans a capului optic de tip rotitor, in conditii de stabilitate fata de pendulari, este de 0,6 metri/minut, in cazul capului optic "COR" viteza de avans intrinseca maxima garantata este de 100 metri/minut.

Viteza de avans intrinseca maxima de 100 metri/minut se garantza prin inexistentia constantei de timp electromecanice de rotatie a capului optic ( $T_m=0$ ) si prin garantarea unei constante de timp electrice  $T_e$ , a tensiunilor  $U_x$ ,  $U_y$ , suficient de mica. Promptitudinea raspunsului electric se pune in evidenta prin raportarea regimului dinamic la regimul stationar. Regimul dinamic se stabileste prin deplasarea cu viteza de 100 metri/minut, a unei linii desenate de 1 mm grosime, pe sub obiectivul capului optic in sensul perpendicular pe linia desenata.

Conform figurii 5.6., din variatia tensiunii  $U_x$ , vizionata la un osciloscop, se stabileste viteza de avans a liniei desenate pe sub capul optic, "vx" :

$$vx = x / tx \quad (5.1.)$$

$tx$  este timpul necesar pentru parcurgerea distantei  $x$ . In cazul nostru,  $x = 1 \text{ mm}$ ,  $vx = 100 \text{ metri/minut} = 1666 \text{ mm/s}$ .  
Deci,  $tx = x / vx = 1 / 1666 = 0,6 \text{ ms}$

Timpul tx se citeste de pe ecranul osciloscopului buie sa fie mai mic de 0,6 ms , pentru regimul dinamic . In acest caz, se citeste ampliu'nea tensiunii "Uxd" ( pentru regimul dinamic), care, in principiu, este mai mica decat "Uxs" ( pentru regim stationar).

Deoarece in regim dinamic amplitudinea variatiei de tensiune Uxd, este mai mica decat variația de tensiune in regim lent (stationar) Uxs , se accepta o buna functionare, daca aceasta scadere nu este prea mare, de exemplu 10% din Uxs (stationara).

Raportul intre variația tensiunii in regim dinamic s' variația tensiunii in regim stationar se noteaza "kds":

$$kds = \frac{Uxd}{Uxs} \quad (5.2.)$$

si trebuie sa fie 0,9 ... 1 (ideal,1). Informativ, Uxs = +10Vcc. Experimental, CTC-ISIM a determinat valorile : tx = 0,3 ms, Uxs = +10 Vcc, Uxd = +9,8 Vcc si prin calcul, a rezultat:  $v_x = x/t_x = 3,33 \text{ mm/ms}$  (3330 mm/s), deci cca. 200 metri/minut ! Tot prin calcul a rezultat kds = 0,98 .

### 5.3. Tesirea colturilor conturului "ec" a capului optic "COR"

Tesirea colturui "ec" de la figura 5.7. Aceasta tesire "ec" de fapt , este o eroare de urmarire a conturului. Daca la capul optic de tip rotitor, tesirea este de cca. 2,5 mm , in cazul capului optic rapid "COR", tesirea este sub 0,4 mm .

Aceasta tesire mica a fost determinata experimental si a fost certificata de CTC-ISIM .

rea mare , in cazul capului optic de tip rotitor , se explica prin raportul intre excentricitatea fotoceleulei si viteza de avans , pentru o anumita masa inertiala in rotatie . Raportul este constant .

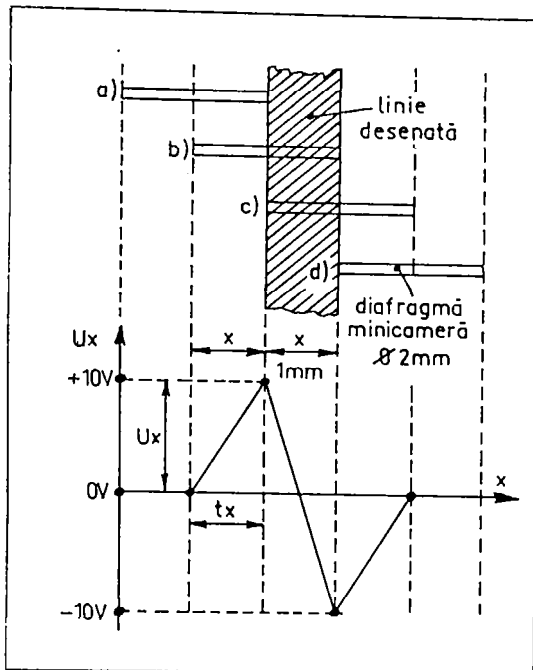


Fig. 5.6. Viteza de avans intrinseca maxima

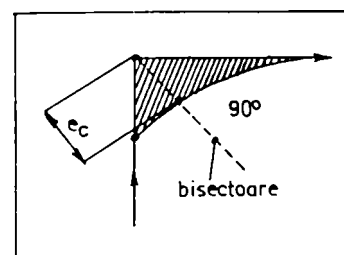


Fig.5.7. Tesirea colturui "ec"

In cazul majoritatii capurilor optice rotitoare , pentru a obtine o viteza de avans de 0,6 metri/minut, este necesara o excentricitate "d" (si tesire "ec",deci) de 2,5 mm , in conditiile unei rezerve fata de intrarea in pendulara a capului optic .

Constanta de tesire a coltului "ktc" se defineste :

$$ktc = ec / vT \quad (5.3.)$$

si se exprima in secunde, deci are valoare temporala si caracterizeaza regimul dinamic al parcurgerii coltului :  $ktc = 2,5 \text{ mm} / 600 \text{ mm} / 60 \text{ s} = 0,25 \text{ secunde}$  .

In cazul capului optic rapid "COR" :  $ktc = 0,4 \text{ mm} / 100.000 \text{ mm} / 60 \text{ s} = 0,00024 \text{ secunde}$  .

In practica,viteza de avans  $vT$  este limitata la cca.6 m/min din vina maselor inertiale ale actionarilor x,y . In acest caz :  $ktc = 0,4 \text{ mm} / 6000 \text{ mm} / 60 \text{ s} = 0,004 \text{ secunde}$  .

In cazul echiparii capului optic cu un obiectiv cu diafragma foarte mica, se pot realiza tesiri ale coltului foarte mici , de ordinul 0,04 mm . In acest caz, viteza de avans  $vT = ec / ktc = 0,04 \text{ mm} / 0,004 \text{ s} = 10 \text{ mm} / \text{s}$  ( adica 0,6 metri/minut ). Limitarea vitezei la 0,6 metri/minut corespunzatoare tesirii "ec" de 0,04 mm, nu este produsa de capul optic, ci de jocurile si elasticitatile sistemului mecanic al actionarilor x, y . Daca acestea ar fi ideale , capul optic ar putea asigura o tesire intrinseca "ec" de 0,04 mm la o viteza de avans  $vT = ec / ktc = 0,04 / 0,00024 \text{ s} = 166,6 \text{ mm/s}$  ( adica 10 metri/minut ).

#### 5.4. Precizia de urmarire pe contur lent curbat a capului optic rapid "COR"

Eroarea maxima garantata este de +/- 0,1 mm , in conditiile variatiei perturbatoare a distantei intre obiectivul capului optic si desen cu +/- 0,5 mm .

Experimental , CTC ISIM a certificat acest lucru .

Eroarea zero se obtine la compensare zero , prin reglarea potentiometrelor P1 ... P8 din procesorul BU ( figura 4.25 ) .

Eroarea maxima garantata de +/-0,1 mm se refera la obiective optice cu distanta focala de 12 mm si diafragma de 1,91 mm .

In cazul unor obiective cu diafragme mai mici (sub 1,91 mm) si eroarea de urmarire este mai mica decat +/- 0,1 mm, proportional. In cazul unor obiective cu distanta focala mai mare, tubul optic rezulta mai lung , ceea ce nu este convenabil ; in schimb, se permit abateri mai mari ale distantei obiectiv - desen , ceea ce este convenabil .

#### 5.5. Alegerea sistemului de actionare in coordonate x, y

La alegerea echipamentului mecanic si electric se tine seama de aspectele : performante, pret, gabarit, fiabilitate.

In domeniul performantelor :

Sistemul mecanic de actionare in coordonate x, y trebuie sa nu aiba joc ( eventual sub 0,01 mm) , sa nu fie elastic , sa aiuna inertiie mica , sa nu prezinte fenomenul de lipire - dezlipire ( "step-stick" ) pe ghidaje .

Ansamblul prezentat in figurile 5.1, 5.2., 5.3., utilizeaza 2 suruburi cu bile cu diametrul de 32 mm si pasul de 10 mm. In acest caz, pentru a obtine viteza de 6 metri/minut, turatia motorului de antrenare ( $m_x, m_y$ ) trebuie sa fie de 600 rpm. Masa transportata (inclusiv caruciorul) este de 30 kg. Functionarea la turatii joase necesita o reductie mecanica mica, facilitand un joc axial mic, dar conduce la o supradimensionare a puterii motorului de antrenare. De fapt, primeaza precizia si timpul de raspuns, deci cuplul disponibil al motorului este destinat in proportie de 70-90 % pentru compensarea cuplului dinamic.

Alegerea unor variatoare de turatie cu 2 pulsuri (monofazate, bialternanata) in regim de comutatie naturala de la retea de 50 Hz, conduce la echipamente usoare, ieftine, fiabile si la posibilitatea racordarii la retea monofazata de 220 V (nu necesita racord trifazat). Pentru inceput, s-a preferat acest sistem, scopul initial fiind punerea in evidenta, in timp scurt a functionabilitatii noului tip de cap optic. Desigur ca in cazul comutatiei naturale de la retea cu 3 sau 6 pulsuri, sau mai mult, in cazul utilizarii regimului de chopper la frecventa mare, sau comutatie cu tranzistoare (in loc de tiristoare), se obtine o calitate dinamica superioara. Insa, in acest caz, gabaritul si pretul echipamentului cresc, fiabilitatea este mai mica.

Regimul de conturare necesita domeniu mare de reglare a turatiei, in special garantarea unor turatii foarte mici, chiar 0,5 rpm, pentru a rezulta o calitate superioara a taieturii (fara rizuri sau trepte).

Deasemenea, se recomanda reactia de turatie.

Motoarele utilizate in montajul experimental din figurile 5.1., 5.2., 5.3., sunt de tipul "SRD-350", cu rotor disc si cu tahogenerator incorporat, exceland prin inertie redusa si gama foarte larga de reglare a turatiei.

### 5.6. Motorul electric SRD-350 in regim nominal fara reactie de turatie

Regimul nominal ("n") reprezentat in figura 5.8. se refera la posibilitatile maxime din conditii de incalzire, prescrise de fabricantul motorului

Date de catalog :

$P_n = 350 \text{ W}$  (puterea nominala utila)  
 $M_n = 1,12 \text{ Nm}$  (cuplul nominal)  
 $I_{An} = 8,14 \text{ A}$  (currentul nominal)  
 $U_{An} = 62 \text{ V}$  (tensiunea nominala)  
 $R_A = 1,4 \Omega$  (rezistenta rotorului)  
 $J_m = 0,00016 \text{ kg.mp}$  (m.de inertie)  
 $K = 0,172 \text{ N.m/A}$  (cuplul pe amper)  
 $I_{A,imp} = 80 \text{ A}$  (current imp. max. admis)  
 $M_{imp} = 15,82 \text{ N.m}$  (cuplu imp. max. adm.)  
 $A_0 = 0,78 \text{ A}$  (currentul la mers in gol)  
 $n_{max} = 5000 \text{ rpm}$  (turatia max. admisa)  
 $T_A = 0$  (constantă de timp electrică)

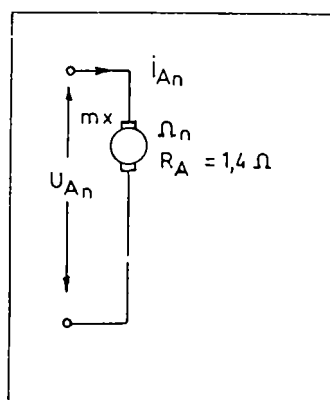


Fig. 5.8. Regimul nominal  
la SRD-350

Relatii utilizate :

$$\begin{aligned} UA &= EA + RA \cdot IA + LA \cdot (dIA/dt) & (5.4.) \\ UA &= K \cdot \Omega o & (5.5.) \\ EA &= K \cdot \Omega & (5.6.) \\ LA &= TA \cdot RA & (5.7.) \\ M &= MR = Jm \cdot (d\Omega/dt) & (5.8.) \\ M &= K \cdot IA & (5.9.) \\ Jm &= Tm \cdot K \cdot K & (5.10.) \\ \Omega &= 2 \cdot \pi \cdot n / 60 & (5.11.) \end{aligned}$$

Notatiile au semnificatiile :

- UA - tensiunea la borne (V)
- EA - tensiunea electromotoare (V)
- IA - curentul prin rotor (A)
- LA - inductanta rotorului (H)
- RA - rezistenta rotorului ( $\Omega$ )
- M - cuplul motor (N.m)
- MR - cuplul static rezistent (N.m)
- Jm - momentul de inertie al rotorului (kg.mp)
- $\Omega$  - viteza unghiulara (rad/s)
- n - turatia (rpm)
- K - cuplul pe amper (N.m/A)
- Tm - constanta de timp electromecanica (s)
- TA - constanta de timp electrica (s)

Constantele de timp au expresiile :

$$\begin{aligned} TA &= LA / RA & (5.12.) \\ Tm &= Jm \cdot RA / K \cdot K & (5.13.) \end{aligned}$$

Viteza unghiulara nominala  $\Omega_n$  (in regim stationar) :

$$\Omega_n = (UA_n - RA \cdot IA_n) / K = \text{cca. } 294 \text{ rad/s} \quad (5.14.)$$

Turatia nominala  $n_n$  (in regim stationar):

$$n_n = 60 \cdot \Omega_n / 2 \cdot \pi = 2807 \text{ rpm} \quad (5.15.)$$

Constanta de timp electromecanica  $T_m$  :

$$T_m = Jm \cdot RA / K \cdot K \quad (5.16.)$$

Viteza unghiulara in gol  $\Omega_0$  :

$$\Omega_0 = UA / K = \text{cca. } 360 \text{ rad/s} \quad (5.17.)$$

Curentul la pornire  $I_{Ap}$  :

$$I_{Ap} = UA / RA = 44,3 \text{ A} \quad (5.18.)$$

Curentul la franare in

contracurent  $I_{Af}$  :

$$I_{Af} = 2 \cdot I_{Ap} = 88,6 \text{ A} \quad (5.19.)$$

Cuplul la pornire  $M_p$  :

$$M_p = K \cdot I_{Ap} = 7,6 \text{ N.m} \quad (5.20.)$$

Cuplul la franare in con-

tracurent  $M_f$  :

$$M_f = K \cdot I_{Af} = 15,2 \text{ N.m} \quad (5.21.)$$

Caracteristica :

$\Omega = f(I_A)$  este prezentata  
in figura 5.9.

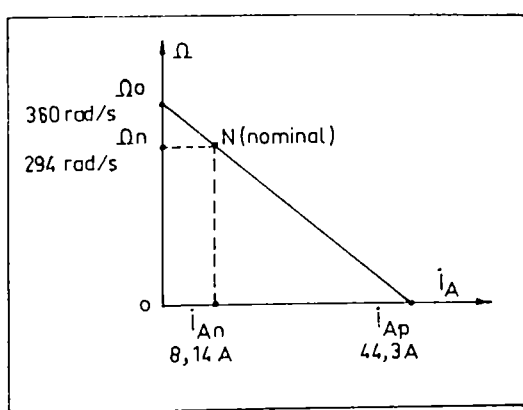


Fig. 5.9. Caracteristica  $\Omega = f(I_A)$   
in regim nominal

### 5.7. Motorul electric SRD-350 in regim stationar specific fara reactie de turatie

Regimul stationar specific ("s") reprezentat in figura 5.10. se refera la utilizarea concreta, in montajul experimental din figurile 5.1., 5.2., 5.3., la turatia stationara de 600 rpm fara reactie de turatie .

Date disponibile :

$R_A = 1,4 \Omega$  (rezistenta rotorului)  
 $R = 0,17 \Omega$  (rezistenta suntului)  
 $\Omega_s = 62,8 \text{ rad/s}$  (viteza unghiulara stationara)  
 $n_s = 600 \text{ rpm}$  (turatia stationara)  
 (la  $v_s = 6 \text{ metri/minut}$ )  
 $I_{As} = 1,8 \text{ A}$  (currentul stationar, valoare medie masurata)  
 $K = 0,172 \text{ N.m/A}$  (cuplul pe amper, specific motorului SRD-350)  
 $J_m = 0,00016 \text{ kg.mp}$  (momentul de inertie propriu al motorului)  
 $J_{surub} = 0,00042 \text{ kg.mp}$  (momentul de inertie al surubului cu bile)  
 $J_{cuplaj} = 0,00014 \text{ kg.mp}$  (momentul de inertie al cuplajului)  
 $J_{translatie} = 0,00007 \text{ kg.mp}$  (momentul de inertie al sarcinii care este translatata, cca. 30 kg cu viteza de 6 metri/minut)

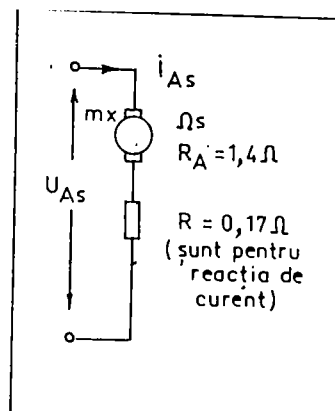


Fig.5.10.  
Regimul stationar specific, SRD-350

Fabricantul motorului mx "SRD-350" recomanda ca la turatia nominala  $n_n = 2807 \text{ rpm}$ , momentul de inertie al sarcinii " $J_s$ " sa nu depaseasca momentul de inertie propriu al rotorului disc " $J_m$ " pentru a nu se ajunge la curenti impulsionali care ar distruge rotorul disc. DAr, avand in vedere ca turatia maxima de utilizare " $n_s$ " nu depaseste 600 rpm, se admite un moment de inertie al sarcinii  $J_s$  mai mare si anume unul echivalent care ar produce acelasi efect  $I_{Af}.I_{Af.t}$  (curba limita de tip fuzibil) :

$$\frac{n_n}{n_s}^2 = \frac{J_s \cdot \text{max} + J_m}{2 \cdot J_m} \quad (5.22.)$$

Daca  $J_m = 0,00016 \text{ kg.mp}$ , rezulta  $J_s \cdot \text{max} = 0,007 \text{ kg.mp}$  (de cca. 44 ori mai mare).

La montajul experimental :

$$J_s = J_{surub} + J_{cuplaj} + J_{translatie} = 0,00063 \text{ kg.mp} \quad (5.23.)$$

care este mai mic decat 0,007 kg.mp maxim admis de fabricant.

$$J = J_m + J_s \quad (5.24.)$$

Constanta de timp electromecanica  $T_m$  :

$$T_m = J \cdot (R_A + R) / K \cdot K = 42 \text{ ms} \quad (5.25.)$$

Cuplul in regim stationar specific  $M_s$  :

$$M_s = K \cdot I_{As} = \text{cca. } 0,31 \text{ N.m} \quad (5.26.)$$

Tensiunea la borne in regim stationar specific  $U_{As}$  :

$$U_{As} = K \cdot \Omega_s + (R_A + R) \cdot I_{As} = \text{cca. } 13,6 \text{ V} \quad (5.27.)$$

Curentul la pornire  $I_{Ap}$  :  
 $I_{Ap} = U_{As}/(R_A + R) = 8,66 \text{ A}$   
 (5.28.)

Viteza unghi. in gol  $\Omega_0$  :  
 $\Omega_0 = U_{As}/K = \text{cca. } 79 \text{ rad/s}$   
 (5.29.)

Curentul la frânare in contracurent  $I_{Af}$  :  
 $I_{Af} = 2 \cdot I_{Ap} = \text{cca. } 17,32 \text{ A}$   
 (5.30.)

Cuplul la pornire  $M_p$  :  
 $M_p = K \cdot I_{Ap} = 1,48 \text{ N.m}$   
 (5.31.)

Cuplul la frânare  $M_f$  :  
 $M_f = K \cdot I_{Af} = 2,98 \text{ N.m}$   
 (5.32.)

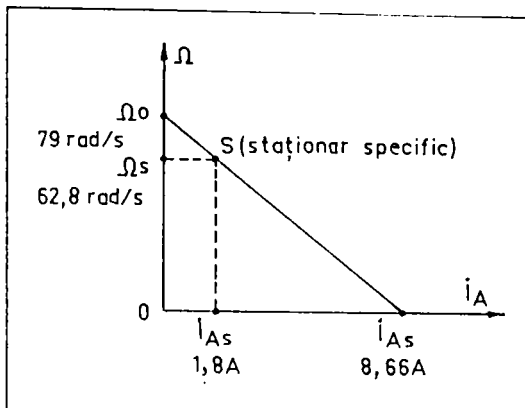


Fig. 5.11.  
Caracteristica  $\Omega = f(I_A)$   
in regim stationar specific

Caracteristica  $\Omega = f(I_A)$  este prezentata in figura 5.11.

### 5.8. Motorul electric SRD-350 in regim stationar specific cu reactie de turatie

Diferenta fata de regimul prezentat la punctul 5.7. este aceea ca in regim de sinusoida completa (unghi de aprindere zero) tensiunea care se aplica la borne  $U_{A\max}$ , este mai mare (19,6V) fata de cea necesara regimului stationar specific  $U_{As}$  (13,6V).

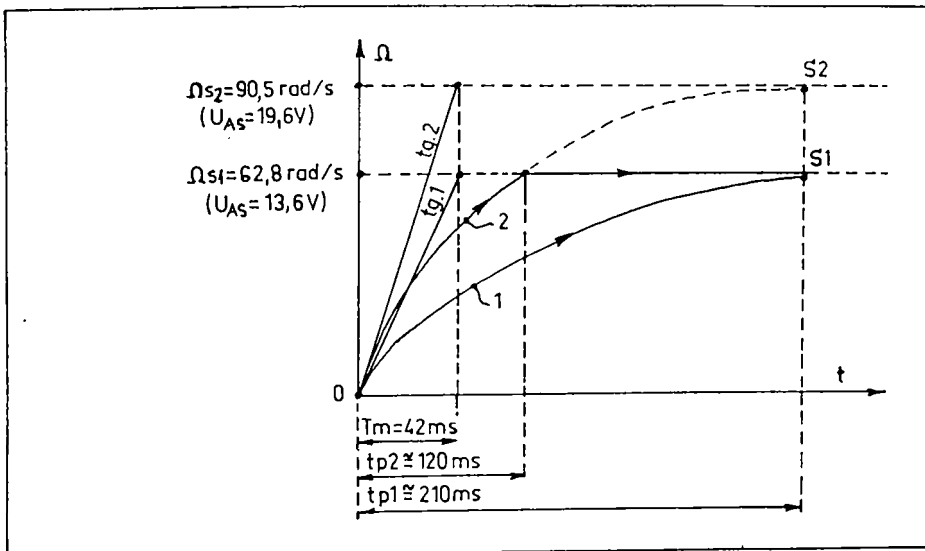


Fig. 5.12. Fortarea timpului de pornire

Aceasta rezerva de tensiune:  $19,6V - 13,6V = 6V$  este utilizata de regulatorul de turatie pentru fortarea pornirii si frânării, deci pentru reducerea timpului de pornire si de frânare. Nu este vorba de reducerea constantei de timp electromecanice:  $T_m = J.(RA+R)/K.K = \text{cca. } 42 \text{ ms}$ , pentru ca  $T_m$  nu depinde de tensiunea de alimentare  $U_A$ , conform figurii 5.12., ci se reduce timpul de pornire de la valoarea  $tp_1 = \text{cca. } 210 \text{ ms}$ , la valoarea  $tp_2 = \text{cca. } 120 \text{ ms}$  (cu reglare automata).

Dupa parcurgerea timpului de pornire  $tp_2$ , regulatorul de turatie marestea automat unghiul de aprindere pana la o valoare corespunzatoare tensiunii  $U_{As} = 13,6 \text{ V}$  (valoare medie - regim stationar specific pentru turatie de 600 rpm).

Tensiunea maxima  $U_{A,max}$  (corespunzatoare unghiului de aprindere zero) se determina cu relatia:

$$U_{A,max} = (2\sqrt{2}/\pi) \cdot U_{ef.trafo} - UD \\ = 19,6V \text{ (valoare medie)}$$

(5.33.)

$U_{ef.trafo} = 24 \text{ V.ef.}$  (din secundar)  
 $UD = \text{cca. } 2V$  (caderea de tensiune pe tiristor)

Relatia 5.33. este valabila pentru o schema de redresare bialternanta, cu priza mediana, conform figurii 5.13.

Se noteaza ca unghiul de aprindere zero nu este permis. Se asigura o rezerva de  $30^\circ$  si in regim de motor (motor) si in regim de invertor (generator). Limitarea se realizeaza in dispozitivul de comanda pe grila (diodele Zener D11,D12 din figura 4.29.). Astfel, regimul de redresor se

realizeaza cu unghiul de aprindere  $30^\circ \dots 90^\circ$ , iar regimul de invertor se realizeaza cu unghiul de aprindere  $90^\circ \dots 150^\circ$ . Din aceasta cauza,  $U_{A,max}$  este mai mica de  $19,6 \text{ V}$  si, in consecinta, si timpul de pornire  $tp_2$  nu este  $120 \text{ ms}$ , ci  $160-180 \text{ ms}$ .

Pentru inceput, s-a ales tensiunea secundara efectiva:  $U_{ef.trafo}$  de  $24 \text{ V}$ , din motive de operativitate si de aprovisionare, transformatoarele cu tensiunea secundara de  $24 \text{ V}$  fiind tipizate si procurabile. In acest fel, rezerva necesara fortarii timpului de pornire, este relativ mica.

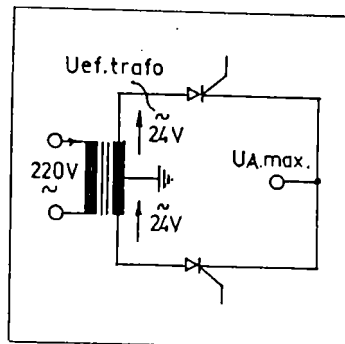


Fig. 5.13.  
Varianta de redresare utilizata

### 5.9. Acordarea regulatoarelor de curent

In figura 4.29., regulatoarele de curent pentru cele 2 sensuri de rotatie, sunt realizate cu amplificatoarele operationale AO.5 si AO.8. In figura 5.14. sunt prezentate elementele care intereseaza din acest punct de vedere.

Marimile la care face referire figura 5.14. sunt :

- Uen - tensiunea de eroare de turatie (referinta de curent) ( $0 \dots 7,5 \text{ V}$ )
- Uei - tensiunea de eroare de curent ( $0 \dots 13 \text{ v}$ )
- Uo-v - tensiunea pe suntel R (proportionala cu curentul IA) (reactie de curent)
- Icirc - curentul de circulatie

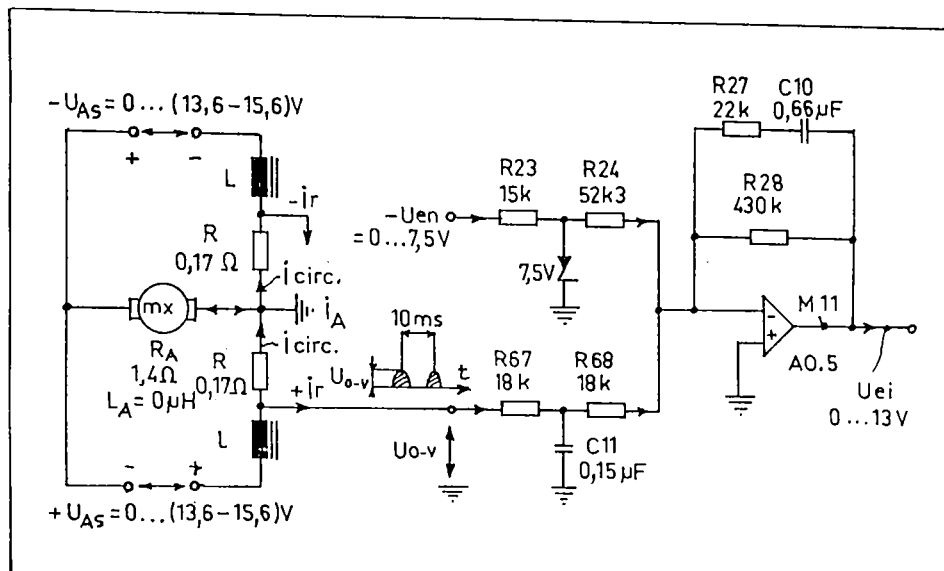


Fig. 5.14. Acordarea regulatorului de curent

Elementele cu care se acordeaza regulatorul "PI" (proporțional-integral) sunt :  $R_{24} = 52,3 \text{ k}\Omega$ ,  $R_{27} = 22 \text{ k}\Omega$ ,  $R_{28} = 430 \text{ k}\Omega$ ,  $R_{67} = 18 \text{ k}\Omega$ ,  $R_{68} = 18 \text{ k}\Omega$ ,  $C_{11} = 0,15 \mu F$ ,  $C_{10} = 0,66 \mu F$ .

Constanta de timp de filtrare a reactiei de curent "tir" :

$$tir = R_{67} \cdot C_{11} = 2,7 \text{ ms} \quad (5.34.)$$

Constanta de timp a regulatorului de curent "ti" :

$$ti = R_{27} \cdot C_{10} = 14,5 \text{ ms} \quad (5.35.)$$

Amplificarea erorii de curent in momentul zero "Aio" :

$$Aio = R_{27} / R_{24} = 0,4 \quad (5.36.)$$

Amplificarea erorii de curent in regim stationar "Ais" :

$$Ais = R_{28} / R_{24} = 8,22 \quad (5.37.)$$

Se remarcă faptul ca amplificarea creste de la 0,4 la 8,22 in cca. 3.  $ti = 43 \text{ ms}$ .

Tensiunea  $U_{o-v}$  pe suntel R =  $1,17 \Omega$ , este proportionala cu curentul ( $I_{As} + I_{circ}$ ), prin R. In regim stationar, s-a masurat  $I_{As} = 1,8 \text{ A}$  (valoare medie). In tabelul 5.1. se prezinta valorile  $U_{o-v}$ ,  $I_a + I_{circ}$ , si IA . Curentul de circulatie s-a stabilit la  $0,2 \text{ A}$ .

Tabelul 5.1.

Regim la motorul mx	$U_{o-v}$ (o-varf)	$I_a + I_{circ}$ (v.med)	IA (v.med)
<hr/>			
La turatie zero, regim stationar ( $I_{As} = 0$ , $I_{circ} = 0,2 \text{ A}$ )	0,1 V	0,2 A	0
<hr/>			
La turatie 600 rpm, regim stationar ( $I_{As} = 1,8 \text{ A}$ , $I_{circ} = 0,2 \text{ A}$ )	1,0 V	2,0 A	1,8 A
<hr/>			
La pornire, cu treapta $\Omega_s = 62,8 \text{ rad/s}$ ( $n = + 600 \text{ rpm}$ , $v = + 6 \text{ m/min}$ )	2,0 V	4,0 A	3,8 A
<hr/>			
La franare, cu treapta $\Omega_s = 62,8 \text{ rad/s}$ ( $n = +/- 600 \text{ rpm}$ , $v = +/- 6 \text{ m/min}$ )	4,0 V	8,0 A	7,8 A
<hr/>			
( $k = 2 \text{ A med.} / V_{o-v}$ )			

Se remarcă faptul că, în cazul utilizării regulatorului de curent, curentul impulsional este mai mic decât în cazul conectorii directe la sursă  $U_{AS} = 13,6$  V și anume: la pornire este de 3,8 A în loc de 8,66 A, iar la frânare în contracurent este de 7,8 A în loc de 17,32 A. Acest fapt este cauzat de constanța de timp  $\tau_i = 43$  ms, din cauza careia, la prima semialternanță, unghiul de aprindere este mai mare decât la a 2-a semialternanță. Amplificarea "A<sub>io</sub>" fiind 0,4, înseamnă că la o treapta a referinței de curent de 7,5 V, la ieșirea din AO.5 (M11), tensiunea U<sub>ei</sub> este de 7,5V.  $0,4 = 3$ V. Deci la ieșirea din comparatorul AO.6, unghiul de aprindere este  $((13V-3V)/13V) \cdot 180^\circ = 138^\circ$ . De la aceasta valoare de început, unghiul de aprindere scade până la  $30^\circ$  în cca. 30 ms. Acest lucru s-a pus în evidență prin vizionarea la osciloscop a tensiunii de la ieșirea regulatorului de curent AO.5, "U<sub>ei</sub>" (în M11), conform figurii 5.15.

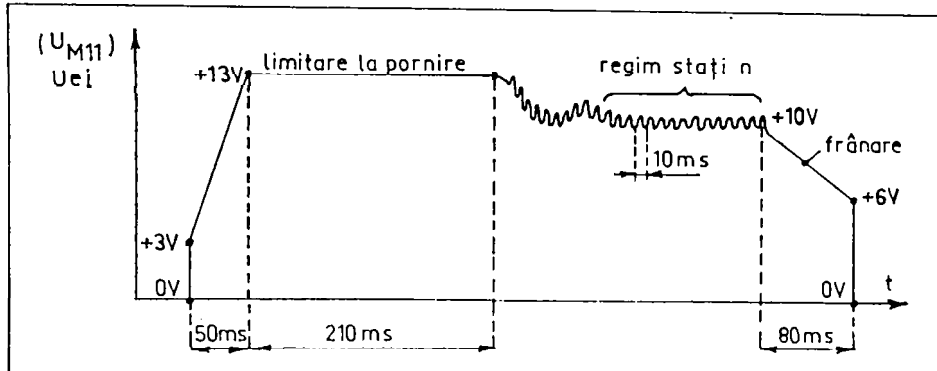


Fig. 5.15. Tensiunea la ieșirea regulatorului de curent de la pornire până la frânare, în cazul  $R_{24} = 52,3$  k $\Omega$

Se remarcă faptul că la U<sub>ei</sub> = 7,5 V (în M11), unghiul de aprindere este de aproximativ  $90^\circ$ . Regimul de redresor există în domeniul U<sub>ei</sub> = 7,5V ... 13V, iar regimul de invertor există în domeniul U<sub>ei</sub> = 0V .. 7,5V. Regimul stationar motor se realizează la valoarea de aproximativ U<sub>ei</sub> = 10V (în M11).

S-a experimentat și varianta în care  $R_{24} = 22$  k $\Omega$ . În acest caz, tensiunea la ieșirea regulatorului de curent AO.5 (M11) se prezintă la osciloscop conform figurii 5.16.

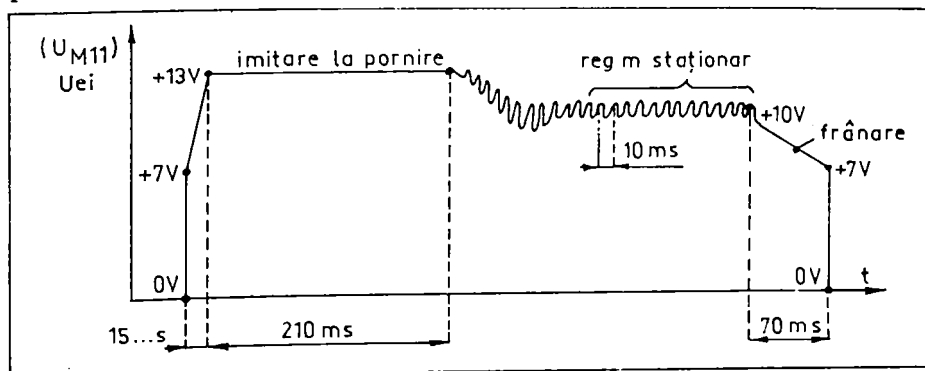


Fig. 5.16. Tensiunea la ieșirea regulatorului de curent de la pornire până la frânare, în cazul  $R_{24} = 22$  k $\Omega$

In acest caz ,  $A_{io} = 1$ ,  $A_{is} = 19,5$  . Unghiul de aprindere , imediat dupa pornire , variaza de la cca. $90^\circ$  la  $150^\circ$  intr-un interval de timp de 15 ms . Este important de notat faptul ca desi intrarea in limitare de curent ( $U_{ei} = +13V$ ) se produce foarte rapid , in 15 ms (fata de 50 ms), nu se castiga mare lucru asupra timpului de pornire , adica asupra timpului in care turatia creste de la 0 la valoarea stationara de 600 rpm. S-a determinat practic , prin vizionarea la osciloscop a tensiunii pe tachogenerator, ca in ambele cazuri, timpul de pornire  $t_{p1} = 160$  ms In cazul  $R_{24} = 22 \text{ k}\Omega$  , se constata o tendinta de intrare in pendulara a buclei de curent , din cauza amplificarii marite  $A_{is} = 19,5$  fata de  $A_{is} = 8,22$  .

Prin vizionarea tensiunii  $U_{o-v}$  pe suntul  $R = 0,17 \text{ }\Omega$ , in cazul  $R_{24} = 22 \text{ k}\Omega$  , se constata aceleasi valori din tabelul 5.1.

### 5.10. Acordarea regulatorului de turatie

In figura 4.29. regulatorul de turatie reversibil este realizat cu amplificatorul operational AO.4. In figura 5.17. sunt prezentate elementele care intereseaza din acest punct de vedere

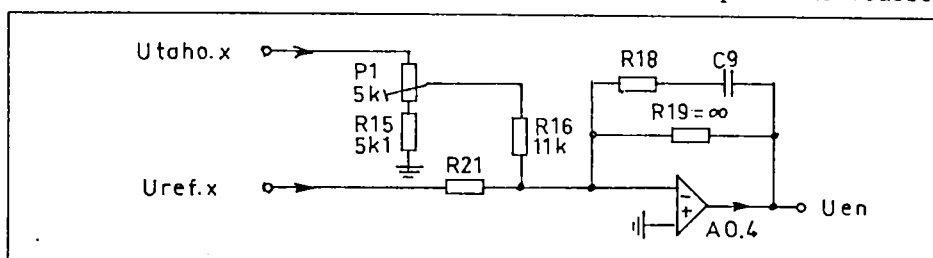


Fig. 5.17. Acordarea regulatorului de turatie

Pentru a obtine o eroare foarte mica de turatie in regim stationar , se alege  $R_{19}$  de valoare infinit de mare , rezultand o amplificare infinita a erorii stationare :

$$A_{is} = R_{19} / R_{21} = \infty \quad (5.38.)$$

In acest fel, pe portiunile lent curbat ale liniei desenate urmarite de capul optic, eroarea de urmarire este foarte mica (sub 0,1 mm). Totusi valoarea reala practica  $R_{19} = \text{cca.}(1\dots 2)\text{M}\Omega$ , din cauza rezistentei de intrare a amplificatorului operational AO.4 Deci  $A_{is} = 30\dots 60$ , avand in vedere faptul ca  $R_{21} = 31,6 \text{ k}\Omega$ .

In rezumat , elementele de acordare a buclei de turatie au valorile :  $C_9 = 1,5 \mu\text{F}$ ,  $R_{18} = 820 \text{ k}\Omega$ ,  $R_{19} = \infty$ ,  $R_{21} = 31,6 \text{ k}\Omega$ ,  $R_{16} = 5,1 \text{ k}\Omega$  .

Amplificarea in momentul initial al aplicarii semnalului treapta  $U_{ref.x} = +10\text{Vcc}$ , este :

$$A_{io} = R_{18} / R_{21} = 26 \quad (5.39.)$$

Cu ajutorul unui osciloscop cu memorie , s-a determinat experimental regimul tranzitoriu de pornire si franare in contra-current, ca rezultat al aplicarii unor trepte ale tensiunii  $U_{ref.x}$  de  $0\text{V} \rightarrow +10\text{V}$  si de  $+10\text{V} \rightarrow 0\text{V}$  . Tensiunea  $U_{taho.x}$  , ca măsura a turatiei  $nx$  si a vitezei  $v_x$  , variaza in timp conform figurii 5.18.

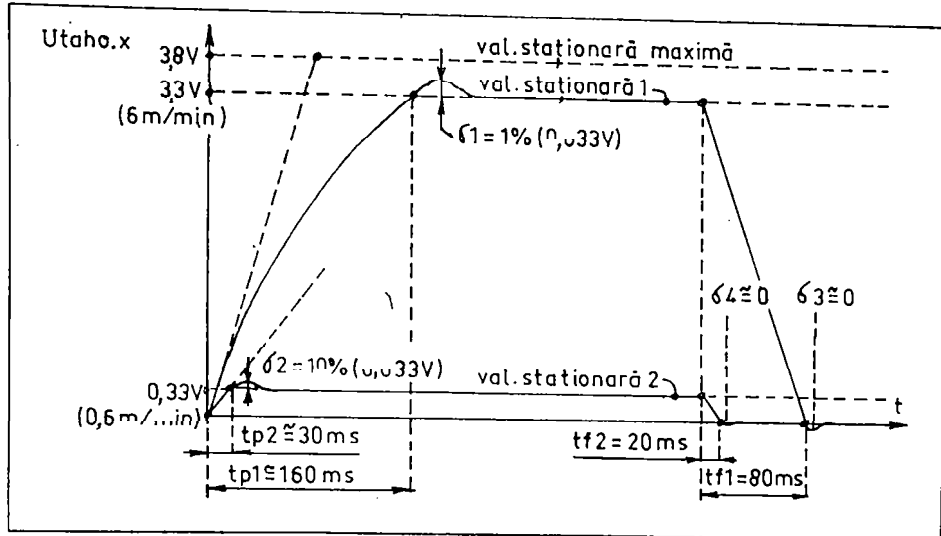


Fig. 5.18. Caracteristica de raspuns a vitezei de avans , fata de semnal treapta a prescrierii Uref. x

In timpul pornirii,  $t_{p1} = 160 \text{ ms}$ , caracteristica are forma exponentiala si nu dreapta, din cauza rezervei mici de supraalimentare  $U_{Amax} = 15,6 \text{ V}$ , fata de  $U_{As1} = 13,6 \text{ V}$ . Tensiunea maxima Utaho.x este de cca.  $3,8 \text{ V}$ , iar pentru a realiza valoarea stationara a vitezei de avans  $v_x = 6 \text{ m/min}$ , trebuie ca Utaho.x sa fie de  $3,3 \text{ V}$ . Timpul de franare in contracurent  $t_{f1} = 80 \text{ ms}$ .

In cazul prescrierii unei viteze mai mici de avans , de exemplu  $0,6 \text{ metri/minut}$  ( Utaho.x =  $0,33 \text{ V}$  ), se constata un timp de pornire  $t_{p2} = 30 \text{ ms}$ , deci foarte mic. Aceasta se explica prin rezerva relativ mare de supraalimentare  $U_{Amax} = 15,6 \text{ V}$  fata de  $U_{As2} = 1,36 \text{ V}$ . Timpul de franare  $t_{f2} = 20 \text{ ms}$ .

Timpul de franare  $t_{f2} = 20 \text{ ms}$ , fiind foarte mic , devine compatibil cu perioada tensiunii de la retea ( $T = 20 \text{ ms}$ ), deci exista o incertitudine a realizarii exacte din cauza nesincronizarii momentului franarii cu trecerea prin zero a tensiunii retelei electrice . Acest lucru motiveaza in plus dece nu se alege o supratensiune mare de fortare a pornirii  $U_{Amax}$  . In acest caz , s-ar ajunge la un timp de franare sub  $20 \text{ ms}$  , ceea ce ar conduce la vibratii nepermise si la incertitudinea realizarii opririi cu precizie la turatia zero .

### 5.11. Timpul maxim de franare

La parcurgerea unui colt de  $90^\circ$  al conturului, cu viteza de avans de  $6 \text{ metri/minut}$ , este necesar un timp cat mai mic de franare . Astfel, conform figurii 5.19., daca cele doua laturi sunt paralele cu axele de coordonate x,y (ghidajele mecanice), variatorul de turatie pentru coordonata y (motorul electric my) trebuie sa realizeze o trecere cat mai brusca de la turatia maxima ( $v_y = 6 \text{ m/min}$ ) la turatia zero . Daca timpul de franare este prea mare, capul optic paraseste linia desenata , trece "pe alb", unde viteza devine zero in orice sens in planul x,y ( pozitia c. din figura 5.19.

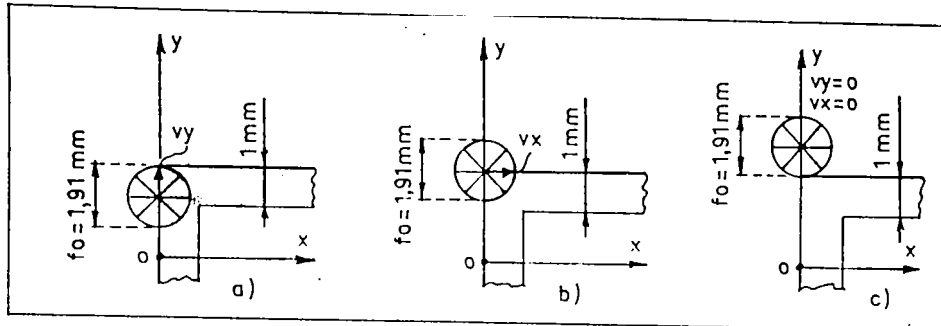


Fig. 5.19. Timpul maxim de franare

Daca viteza de avans este de 6 metri/minut (1 mm / 100 ms, adica 1,91 mm / 191 ms), timpul de franare  $t_{f1}$  pe care-l poate realiza regulatorul de turatie trebuie sa fie mai mic decat 191 ms. In figura 5.19. "f<sub>0</sub>" reprezinta diafragma optica de 1,91 mm.

Experimental, conform figurii 5.18., s-a determinat  $t_{f1}=80$  ms care satisface conditia de a fi mai mic decat 191 ms maxim admis.

Timpul de pornire  $t_{p1} = 160$  ms nu este deranjant prin faptul ca este lung, pentru ca in acest interval, capul optic nu a parasit conturul.

La viteze mari de avans (6 metri/minut), se obtine o suprareglare a pozitiei " $\sigma c$ " = 0,3 mm, iar la viteze mici de avans, suprareglarea  $\sigma c$  este neglijabila, conform figurii 5.20.

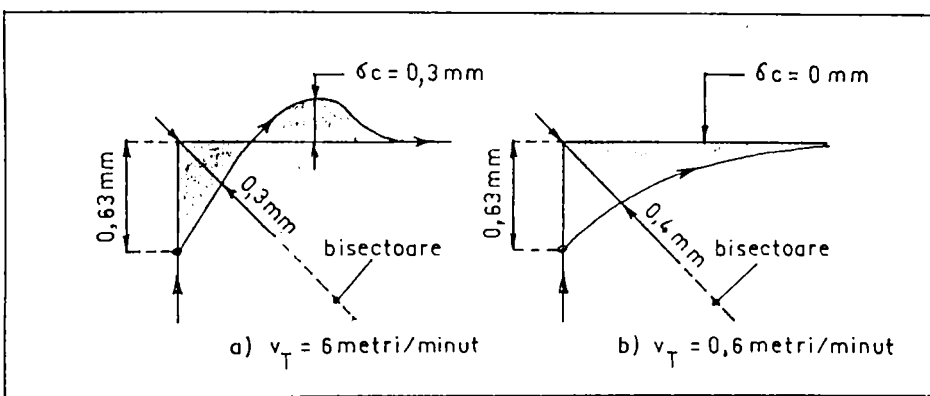


Fig. 5.20. Suprareglarea de pozitie, la parcurgerea coltului de 90°

Se noteaza faptul ca daca sistemul mecanic este elastic sau are jocuri, suprareglarea de pozitie  $\sigma c$ , la viteze mari, poate depasi valoarea de 0,3 mm.

## CONCLUZII

Premisa majora a elaborarii prezentei lucrari este faptul ca in Romania exista la ora actuala cateva mii de masini automate de taiere termica, in special cu flacara oxigaz si cu plasma, achizitionate din import sau din tara in ultimii 20 de ani , la o valoare globala de peste 100 miliarde de lei . O mare parte din aceste masini sunt la ora actuala in stare de nefunctionare: fie din cauza uzurii normate (10 ani), fie din cauza lipsei de calificare a utilizatorilor in domeniu. Aceasta a 2-a deficiente este intretinuta si de absenta aproape totala in literatura tehnica indigena a tratarii acestui subiect.

Lucrarea de fata vine in intamplinarea acestui deziderat.

Există in tara 3 categorii de echipamente de conturare pentru taiere termica :

a) Echipamentele cu cap magnetic si sablon metalic au fost achizitionate in tara in numar de cca. 500 , printre politica gresita de investitie, acestea fiind depasite moral chiar in momentul achizitiei . Cu aceste echipamente nu se pot realiza conturi pe contur, datorita rolei magnetice de rostogolire si necezita manopera multa pentru confectionarea sablonului metalic , gros de cca. 10 mm . In prezent , aceste echipamente pot fi retehnologizate prin adaptarea urmaririi optice de desene .

b) Echipamentele cu cap optic si urmarire de desene ocupa volumul cel mai mare , de cateva mii in tara . Optiunile beneficiarilor de a alege aceasta varianta , au fost motivate de cel mai bun compromis intre pret, precizia debitarii si fiabilitate. Aceasta alegere este mentionata si in prezent, in conditiile aparitiei concurrentiale a conturarii prin control numeric . Pretul este de 8 ... 20 mil. lei la echipamentele indigene ( la taierea oxigaz ) si de 70 ... 130 mil. lei la echipamentele din import .

c) Echipamentele cu control numeric ocupa in tara un volum mic , de cateva zeci in domeniul taierii oxigaz . Cererea este scazuta din cauza pretului, de 250 ... 400 mil lei, din import .

Din experienta proprie de 20 de ani in domeniu , a rezultat ca in tara exista o solicitare acuta pentru asistenta tehnica la aceste utilaje, in perioada exploatarii lor. Cele mai multe utilaje achizitionate din import stationeaza din cauza lipsei valutelor necesare pentru plata asistentei tehnice .

In conjunctura cu starea de fapt prezentata la punctele a), b), c), elementul de noutate din lucrarea de fata: cap optic rapid, fara componente inertiale in miscare de rotatie "COR" produce un salt calitativ. Fata de capurile optice rotative actuale prezinta performantele :

- de 100 de ori mai rapid
- de 6 ori mai precis
- de 100 de ori mai fiabil
- de 10 ori mai ieftin
- de 10 ori mai durabil
- de 10 ori mai economic (consum)
- fara inele si perii colectoare
- fara bec de iluminare
- fara stabilizator pentru bec
- fara motor electric
- fara variator de turatie
- fara rezolver bipolar rotativ
- fara roti dintate

Oferindu-se posibilitatea demonstratiei practice a functionarii acestui cap optic si in conditiile unui pret mic , s-a ajuns la o solicitare deosebita de livrare , in special pe piata interna , necesitand largirea colectivului de productie. Datorita performantelor de precizie si de viteza , ale capului optic nou conceput, se deschide cu succes posibilitatea aplicarii sale in domeniul taierii cu fascicul laser .

Desigur ca pe parcursul conceptiei, executiei si exploatarii echipamentelor de taiere a materialelor au aparut intrebari numeroase. O parte a raspunsurilor se concretizeaza prin concluziile prezentate in continuare :

- In cazul taierii oxigaz, se obtin rezultate tehnice favorabile ( fanta a taieturii ingusta , viteza de avans mai mare , zgomot redus , consum de gaze redus ), daca se lucreaza cu diuze divergente tip Laval si presiune marita a oxigenului de taiere . In tara nu este pusa la punct tehnologia de realizare a orificiilor divergente Laval cu diametru foarte mic (0,5 mm) si lungime mare (15-20 mm), in cupru. Acesta este unul din obiectivele continuarii cercetarilor .

- In cazul otelurilor cu continut scazut de carbon , in domeniul grosimilor mici , este utila trecerea de la procedeul de taiere oxigaz , la taierea cu fascicul laser , obtinandu-se : fanta a taieturii mai ingusta , zona influentata termic redusa, productivitate mai mare , calitate si precizie mai buna , consum energetic pe metrul de taiatura - mai redus . Acest lucru insa , conduce la necesitatea cresterii vitezei de avans si a conceptiei unor echipamente de conturare mai performante .

- O problema deosebit de spinoasa in cazul capului optic de tip rotitor , a fost aceea a realizarii contactului electric la perile colectoare . Desi s-a crezut initial ca ar fi necesare inele din aur , incercandu-se tot felul de variante, inclusiv cu perii din carbune , in final, solutia a fost simpla si a dat rezultate exceptionale : inele din alama moale fara Pb,S,Fe si perii din argint dur, simultan cu dublarea perilor .

- Pentru descompunerea in sinus / cosinus s-a cristalizat sistemul cu rezolver bipolar fara perii , concluzionandu-se ca varianta cu potentiometru dublu este foarte nefiabila .

- Pentru a se obtine constante de timp de filtrare mici, se alege alimentarea rezolverului din capul optic si a celor de sincronizare , cu frecventa mare ( 1,3 kHz in loc de 50Hz ) . Desi s-au incercat ambele variante, bineinteles cu rezolvare specifice frecventei respective , alimentarea la 50 Hz a condus la pendulare peste o anumita limita a vitezei de avans a capului optic

- S-au incercat mai multe variante de demodulatoare sincrone , dispozitive in conexiune cu rezolverele . Varianta propusa nu contine transformatoare defazoare . In acest fel , se elibera manopera de bobinare , iar gabaritul este de cca. 20 de ori mai mic . Precizia si stabilitatea semnalului demodulat este de ordinul 0,01 % fata de semnalul util .

- Multiplicarea cu o constanta (kv) a referintelor de viteza pe axe x,y , are o comportare proasta in varianta cu potentiometru dublu . Varianta propusa , cu chopper cu divizare variabila in timp, ofera o precizie si stabilitate deosebita . Constanta de timp de filtrare este mica ( f chopper = cca.10 kHz ).

- Utilizarea unor motoare electrice si a unor variatoare de turatie cu zona mare de insensibilitate in jurul turatiei zero , conduce la o taietura de proasta calitate , cu rizuri . In cazul in care capul optic este de tip rotitor, efectul zonei de insensibilitate a motorului care roteste capul optic , este obtinerea unor erori stationare de pozitie , de erori ale cotelor pieselor debitante . Practic , in acest caz, daca se urmareste un cerc desenat , piesa debitata tinde spre un patrat cu laturile paralele cu ghidajele masinii . "Turtirea" este in jur de 0,7 mm in cazul unei zone mari de insensibilitate ( peste 5 % ) .

- In cazul taierei oxigaz, precizia de urmarire a desenelor este reglementata la valorile :  $+/-0,4$  mm la scara 1:1 si  $+/-1,5$  mm la scara 1:10. Acest raport este incorrect, desi a fost stipulat si in ISO si DIN , iar in Romania s-a preluat fara a se analiza corectitudinea . Si din experienta si din studiul lantului de erori s-a remarcat faptul ca eroarea cea mai mare o produce sistemul mecanic x,y care conduce capul optic . In cazul scarii 1:10 , aceste erori se transpun in domeniul piesei debitate (planul x',y') la scara 10:1, deci sunt de 10 ori mai mari. Deci daca se ia ca baza eroarea de  $+/-0,4$  mm la nivelul capului optic, atunci la nivelul aparatului de taiere eroarea ar trebui sa fie de  $+/-4$  mm, deci nu de  $+/-1,5$  mm . Acest lucru s-a constatat si practic . Fortarea unor erori sub  $+/-1,5$  mm, conduce la conditiile deosebit de pretentioase asupra executiei mecanice. Din aceasta cauza , in cazul unor piese mari , necesare de obicei in sanitierile navale , nu se recomanda urmarirea optica la scara 1:10 , ci comanda numerica . In cazul unor piese mici , de talia 2 ... 4 metri , se recomanda urmarirea optica de desene la scara 1:1 , comanda numerica fiind mai scumpa .

- Sistemul cel mai elastic in exploatare si mai modern, facand abstractie de pretul ridicat, este sistemul mixt : optic la scara 1:1 + numeric . In acest caz, capul optic performant "COR" este deosebit de util pentru regimul de invatare - memorare a conturului parcurs o singura data ("teatcher") .

- Desi pare neesential, cele mai mari probleme practice, in cazul taierei cu plasma, le creeaza perturbatia pe care o produce oscilatorul de intretinerea arcului, asupra circuitelor electro-nice ale echipamentului de conturare x,y . In cazul comenzi numerice , perturbatia este si mai deranjanta . De aceea , cablarea masinii si conexiunile interioare trebuie proiectate si realizate dupa cele mai riguroase reguli : conectarea intr-un singur punct a circuitelor de masa , evitarea conexiunilor tip "ghirlanda", evitarea buclelor inchise ale circuitelor de alimentare, ecranarea, et c. Mai mult , unele circuite integrate nu se pot utiliza . De exemplu sistemul senzorial SAS-560, SAS-570 nu se poate utiliza, fiind necesare circuite discrete specifice.

- Datorita aparitiei distorsiunilor de pozitie la urmarirea compensata a conturilor, compensarea automata a fantei taieturii pe normala la contur , nu este o metoda prea fericita . Oricum , este discutabil daca nu ar fi mai recomandabila desenarea compensata, decat compensarea fata de desen .

- Incrementul de control pe axe x,y , in scopul sincronizarii de pozitie la masinile automate cu urmarire la scara 10:1, are o valoare optimizata la 60 mm / tura selsina bipolară . Aceasta valoare este impusa de domeniul de  $+/- 6$  mm necesar compensarii electronice a fantei taieturii .

- La fabricatie sau in exploatare , suntem pusi in situatia constatarii unor erori mari ale cotelor pieselor debitate . Depistarea cauzei este dificila din cauza unui lant de elemente care contribuie la aceasta eroare globala . In lucrare sunt prezentate metode de depistare a elementului generator de erori . Concluzia generala este aceea ca, practic, partea mecanica a masinii contribuie in proportie de peste 90 % la eroarea globala . De aceea, adaptarea unui control numeric nu rezolva precizia masinii, ci elimina desenul ca purtator de informatie etalon .

- In cazul solutiei de cap optic fara componente inertiale in miscare de rotatie, s-a pus intrebarea : ce eroare de pozitie se produce din vina interpolarii liniare in loc de interpolare cosinusoidală, utilizand numai 8 sectoare fotosensibile. Concluzia este ca eroarea este de 0,000012...mm (determinata prin calcul), deci practic neglijabila. Eroarea globala de pozitie (care include pe cea cauzata de interpolarea liniara) s-a determinat si experimental, rezultand sub 0,1 mm . Valoarea este de fapt si mai mica; sub 0,1 mm nu s-a putut verifica din cauza erorii proprii a dispozitivului de masura ( dispozitivul de trasaj ).

- Pentru marirea eficacitatii traductorului optic , s-a constatat practic faptul ca prin inegrarea peretilor interiori ai tubului optic nu se obtin rezultate notabile . Solutia cu efect benefic consta in introducerea unui sistem de diafragme , rezultand o crestere a eficacitatii de la cca.5 % la cca.80 % . Valoarea eficacitatii are o importanta deosebita asupra raportului semnal / zgomot generat de traductorul optic .

- Pentru punerea in evidenta a functionalitatii algoritmului de procesare a capului optic "COR" s-a realizat un stand de verificare , care, de fapt, este un " sistem de actionare in coordonate " ( "SAC" ) . Pentru inceput , nu s-au cheltuit fonduri mari pentru acesta ("SAC") , ramanand loc pentru cresterea performantelor dinamice , contand pe un cap optic performant "COR".

- Performantele capului optic fara componente inertiale in miscare de rotatie "COR" au fost certificate de CTC, la Institutul de Sudura si Incercari de Materiale din Timisoara. Capul optic "COR" precum si standul de verificare (de actionare in coordonate "SAC") se afla la ISIM Timisoara .

BIBLIOGRAFIE

- 1 - KEITEL,S. - CO<sub>2</sub> Laserschweißen im ZIS - ZIS Report , Zentralinstitut für Schweißtechnik der DDR, Halle, nr.1/1990 p. 7-10.
- 2 - HAUSER,F. - Externe Optiken für CO<sub>2</sub> Hochleistungslaser - ZIS Report nr.1/1990, p.10-14.
- 3 - GREIFZU,M. - Selection of Nozzles for Flame Cutting and Gas Welding - Swetsaren, ESAB Sweden, nr.1/1990, p.16-19.
- 4 - TELZER,H.J. - Betriebserfahrungen mit der Laserschneidanlage LCS 400-2 im ZIS Halle -ZIS Report, nr.5/1990, p.6-8.
- 5 - TELZER,H.J. - Laserschneidanlage LCS 400-2 - ZIS Report, nr.5/1990, p.8-12.
- 6 - ROLOFF,H.J. - Schwingungsmessung an der Laserschneidanlage LCS 400-2 - ZIS Report nr.5/1990, p.12-13.
- 7 - FROHLICH,H. - Steigerung der Flammenleistung bei Schweiß und Schneiddusen - ZIS Report nr.5/1990, p.28-30.
- 8 - LANG,C. - Der industrielle Einsatz des bulgarischen Laserkomplexes TLK 1 A - ZIS Report nr.5/1990, p.14-17.
- 9 - TREPTZ,M. - Acetylen Sauerstoff Flammen - ZIS Report nr.5/1990, p.32-34.
- 10 - VIGNARDET,L. - Ferronnerie d'art et coloration à la flamme - Souder, revue pratique du soudage nr.2/1989, p.22-24.
- 11 - VIGNARDET,L. - Ferronnerie d'art et coupe thermique - Souder, revue pratique du sondage nr.1/1989, p.37-41.
- 12 - QUARANTA,L. - Le coupe plasma avec injection d'eau - Souder, revue pratique du soudage nr.1/1989, p.29-33.
- 13 - QUARANTA,L. - Etude comparative entre le découpage plasma injection d'eau et l'oxidecoupe - Souder, revue pratique du soudage nr.1/1989, p.34-36.
- 14 - KERST,T. - Continuous-path controlled water jet cutting - Svetsaren, ESAB Sweden, nr.2/1989, p.10-11.
- 15 - BAKOWSCHY,L. - Materialbearbeitung mit Hochleistungs CO<sub>2</sub> Lasern - Trennen + Fügen , Messer Griesheim GmbH nr.13/1984, p.20-24.
- 16 - BAKOWSCHY,L. - Systeme für die Laserbearbeitung in der industriellen Serienproduktion - Trennen + Fügen , Messer G. GmbH nr.14/1985, p.43-45.
- 17 - HIRSCHBERG,H. - Das thermische Schneiden in den 80 Jahren- Trennen + Fügen , Messer Griesheim GmbH nr.14/1985, p.8-15.
- 18 - ANDERL,P. - Elektronenstahl - Tiefschweißen mit dem 60 kW Hochleistungsgenerator - Trennen + Fügen, Messer Griesheim GmbH nr.14/1985, p.38-42.
- 19 - MAID,M. - Cutting with high-energy water-jet in industrial applications - Welding review, the international Journal of Welding nr.8/1988, p. 12-15.
- 20 - BORN,K.,DORN,H. - Plasma, Laser, Elektronenstrahl drei Strahl - Schweiß - und Schneidverfahren im Vergleich - Sonderdruck, Messer Griesheim GmbH, Blech Rohre Profile nr.9/1973.
- 21 - \*\*\* - Hochleistungs CO<sub>2</sub>-Gas-Laser GL 350 A - prospekt .Messer Griesheim GmbH , 1980.
- 22 - \*\*\* - Zuschneiden mit dem Hochleistungs CO<sub>2</sub>-Laser - prospekt .Messer Griesheim GmbH , 1980.
- 23 - \*\*\* - Betriebstabelle Cutting Table - prospect Kjelberg Eberle GmbH , 1980.
- 24 - Wasserinjektions Plamaschneidanlage typ Hypertherm - prospect ESAB GmbH Sweden , 1986.
- 25 - \*\*\* - Brennschneideeinrichtung "Longcav", senkt Kosten der Schweißfugen-Herstellung - prospect Messer Griesheim GmbH, 1980.

- 26 - LANGE, G. - Das "Longcav" Verfahren - Die maschine nr. 5  
1970, Messer Griesheim GmbH.
- 27 - LANGE, G. - Brennschneiden auf mitelgroßen Maschinen-Prd  
duction nr. 9/1973, Messer Griesheim GmbH.
- 28 - \*\*\* - Corta K und Corta KS, leistungsfähige fotoelektrisc  
gesteuerte Koordinater Brennschneidmaschinen mit viele  
Einsatzmöglichkeiten - prospect Messer Griesheim GmbH, 198
- 29 - \*\*\* - Brennschneidmaschine Picorex PXA - prospect ESA  
Sweden, 1985.
- 30 - \*\*\* - Gas Cutting Maschine Picorex PXB - prospect ESA  
Sweden, 1986.
- 31 - \*\*\* - Brennschneidmaschine Kordirex KXB - prospect ESA  
Sweden, 1986.
- 32 - \*\*\* - Wirtschaftlich automatisches brennschneider Oekomat  
Monomat, Codimat - prospect Schichau/Suag, 1981.
- 33 - \*\*\* - Gas Cutting Machine Suprarex SMB - prospect ESA  
Sweden, 1986.
- 34 - \*\*\* - Shape cutting system CM-250 - prospect Union Carbide  
Corporation, 1986.
- 35 - \*\*\* - Logatome , machine automatique d'oxicoupage - prosp  
L'Air Liquide France, 1976.
- 36 - \*\*\* - Ergatome , machine d'oxicoupage a commande numeriqu  
prospect L'Air Liquide France, 1976.
- 37 - \*\*\* - Algatome , machine d'oxicoupage a commande numeriqu  
prospect L'Air Liquide France, 1976.
- 38 - \*\*\* - Masina automata de taiere termica prin urmarire op  
tica scara 1:1 tip MATTO-G - proiect ISIM Timisoara, 198
- 39 - \*\*\* - Masina automata de taiere termica cu urmarire opti  
ca a desenelor executate la scara redusa 1:10 tip MATTOR  
proiect ISIM Timisoara, 1980.
- 40 - \*\*\* - Masina automata de taiere termica cu urmarire opti  
ca a desenelor executate la scara redusa 1:10 tip MATTOR  
proiect ISIM Timisoara, 1985.
- 41 - \*\*\* - Masina automata de taiere termica cu urmarire opti  
ca scara 1:1, cu oxigaz si cu plasma tip MATTO-GP - pro  
iect ISIM Timisoara, 1985.
- 42 - \*\*\* - Masina automata de taiere termica cu urmarire opti  
ca scara 1:1, cu microplasma, tip MATTO-P - proiect ISI  
Timisoara, 1984.
- 43 - \*\*\* - Masina automata de taiere termica cu urmarire opti  
ca si magnetica, scara 1:1, tip MATTO-G - proiect ISI  
Timisoara, 1986.
- 44 - \*\*\* - Masina automata de taiere termica cu urmarire opti  
ca a desenelor, de gabarit redus, tip MINI-MATTO - proiect  
ISIM Timisoara, 1986.
- 45 - \*\*\* - Masina automata de taiere termica cu urmarire opti  
ca, ferestre wagon, tip MATTO-FV - proiect ISIM Timisoara  
1988.
- 46 - \*\*\* - Masina automata de taiere termica cu plasma, cu co  
mando numerica, tip MATT-P-CN - proiect ISIM Timisoara  
1985.
- 47 - \*\*\* - Masina portal de debitat cu oxigaz si cu plasma, c  
omanda numerica, tip MATT-PG-CN - proiect ISIM Timisoara  
1985.
- 48 - \*\*\* - Instalatie de copiere optica dupa desen scara 1:1  
pentru prelucrare cu fascicul laser, tip ICO-PL - proiect  
ISIM Timisoara, 1982.
- 49 - \*\*\* - Masina de frezat de sus cu 3 agregate si citire op  
tica, pentru prelucrarea in axele de coordonate x,y, ti  
SMF - proiect ISIM Timisoara, 1989.
- 50 - \*\*\* - Masina automata de taiere termica cu gaze a tablelc  
- proiect ISIM Timisoara 1986.

- 51 - \*\*\* - Masina automata de taiere termica oxigaz a semilaminiatelor, tip MATT-S - proiect ISIM Timisoara, 1976.
- 52 - ALBU,A. - Precizia statica a masinilor automate de taiere termica prin copiere dupa desene executate la scara 1:10 Constructia de masini nr. 7/1981, p.347-353.
- 53 - ALBU,A. - Conditii de precizie geometrica la masinile automate de taiere termica prin copiere optica la scara 1:1 Constructia de masini nr. 2/1986, p.72-79.
- 54 - ALBU,A. - Analyse des Einflusses der elektronischen Ausrustung auf die Genauigkeit thermischer Schneidmaschinen mit optischer Steuerung - ZIS Report Halle Germany, nr.3/1990 p.29-31.
- 55 - ALBU,A.sa. - Metoda si dispozitiv de compensare a fantei de taiere la masinile de taiere termica cu copiere dupa desene - brevet de inventie nr.73482/30.07.1979.
- 56 - ALBU,A.sa. - Masina automata de taiere termica prin urmatoare de desene - brevet de inventie nr.85756/28.07.1984.
- 57 - ALBU,A. - Extinderea posibilitatilor de lucru la masinile de taiere termica prin copiere de desene , scara 1:10, tip MATTOR 1 - certificat de inovatie nr.126/31.01.1989, ISIM Timisoara.
- 58 - ALBU,A.sa. - Masina automata de taiere termica prin copiere optica de desene executate la scara 1:1 , cu gaz si plasma, tip MATTO-GP - certificat de inovatie nr.146/31.0 1989, ISIM Timisoara.
- 59 - ALBU,A.sa. - Masina automata de taiere termica prin copiere optica de desene executate la scara 1:1, cu oxigaz, tip MATTO-G - certificat de inovatie nr.127/31.01.1989 , ISIM Timisoara.
- 60 - ALBU,A.sa. - Cap optic 1:10 pentru MATTOR - certificat de inovatie nr.75/13.09.1984, ISIM Timisoara.
- 61 - \*\*\* - STAS 10959/1-84 - Masini automate de taiere termica. Prescriptii de precizie.
- 62 - \*\*\* - Steelworks cutting equipment - prospect BOC, England 1980.
- 63 - \*\*\* - Gas Cutting Machine Suprarex SXD - prospect ESAB Sweden, 1986.
- 64 - \*\*\* - Numerische Bahnsteuerung MG 14 - prospect Messe Griesheim GmbH, 1980.
- 65 - \*\*\* - Rohr-Brennschneidmaschine PIPER - prospect ESAB Sweden, 1980.
- 66 - \*\*\* - Weldtec Rohrbrennschneidmaschine type 760 - prospect Schweiss Technik GmbH, 1980.
- 67 - \*\*\* - Pipe cutting system for profile and straight cuts from 50 to 1200 mm diameter type TUBOSEC - prospect Messe Griesheim GmbH, 1976.
- 68 - \*\*\* - Pulver - Brennschneidanlage AC 4 - prospect Messe Griesheim GmbH, 1980.
- 69 - KEEL,C.G.,BALE,P. - Les machines a decouper les tubes - Marche Suisse des machines nr.10/1965, p.1-14.
- 70 - \*\*\* - Huttenwerks-Maschinen. Steel Mill Machinery - prospect Messer Griesheim GmbH, 1974.
- 71 - \*\*\* - On line Digitalisiertisch D 16 - prospect Messer Griesheim GmbH, 1980.
- 72 - \*\*\* - CNC-gesteuerte Schneidmaschine Corta KSP - prospect Messer Griesheim GmbH, 1981.
- 73 - \*\*\* - Rechnersystem OMNIDATA - prospect Messer Griesheim GmbH, 1981.
- 74 - \*\*\* - CNC-Betrieb mit MULTISEC NC - prospect Messer Griesheim GmbH, 1979.
- 75 - \*\*\* - CNC-Bahnsteuerung NCE 500 - prospect ESAB Sweden ,

- 76 - \*\*\* - Micro - Processor gesteuerte CNC-Bahnsteuerung fur Brennschneidmaschinen System NCE 400 - prospect ESAB Sweden, 1986.
- 77 - \*\*\* - CNC - Bahnsteuerung fur Brennschneidmaschinen System NCE 300 - prospect ESAB Sweden, 1986.
- 78 - \*\*\* - CNC - Brennschneidmaschine ERGOREX EXA - prospect ESAB Sweden, 1986.
- 79 - \*\*\* - Programming System PSE 200 - prospect ESAB Sweden , 1981.
- 80 - \*\*\* - Programming System PSE 100 - prospect ESAB Sweden , 1981.
- 81 - \*\*\* - La comande numerique en construction navale, methode "Autokon" - com. L'Air Liquide France, 1976.
- 82 - \*\*\* - NC Kongsberg systems - prospect Kongsberg Norway , 1976.
- 83 - \*\*\* - Kongsberg PC 100 Progammming Station for preparation and verification of NC programs - prospect Kongsberg Norway, 1976.
- 84 - \*\*\* - Contourage pour oxycoupage. Comande numerique CC 222 NO - prospect CIT-ALCATEL France, 1976.
- 85 - \*\*\* - Systeme de programmation des machines - outils a command numerique PROMO - prospect Compagnie internationale pour l'informatique France, 1976.
- 86 - \*\*\* - Le dessin automatique - prospect Benson France, 1976
- 87 - LARUE, J.P. - Methodes et equipements pour ameliorer la productivite dans les ateliers utilisant le coupe thermique mecanise - document IIS (Institut International de Soudure) nr.653/1979 , L'Air Liquide France.
- 88 - GUNNERT, R. - The relation between the cutting oxygen nozzle bore and the kerf Width - document AGA Lidingo Sweden , 1980.
- 89 - \*\*\* - Numerical path control system with process computer for flame cutting machines and drawing echipment MG 16 - prospect Messer Griesheim GmbH, 1976.
- 90 - \*\*\* - Numerische Bahnsteuerung MG 12 (SE,PE) - prospect Messer Griesheim GmbH, 1976.
- 91 - \*\*\* - Koordinaten-Brennschneidmaschine KORTA KS mit Brenneranordnung rechts - prospect Messer Griesheim GmbH, 1980.
- 92 - \*\*\* - Fuhrungsmaschine STATOSEC KM fur automatisches Auftragen von Klebe- und Dichtungsmasse - prospect Messer Griesheim GmbH, 1980.
- 93 - \*\*\* - Periferic KSR, ASR, RO ( perforatrice, imprimante ) - prospect La societe "Periferic" France, 1976.
- 94 - \*\*\* - Bretagne Oxycoupage - prospect Bretagne Oxycoupage , France, 1976.
- 95 - \*\*\* - A completely new TELEREX for heavy duty gas cutting - doc. ESAB-KEBE GMBH, 1986.
- 96 - \*\*\* - OMNIMAT,SICOMAT,zuschneiden,markieren,zeichnen - doc. Messer Griesheim GmbH, 1986.
- 97 - \*\*\* - Hancock NC , fully automatic oxygen cutting machines with punched tape control - doc. G.D.Peters & Co.Ltd. Hancock Division, England, 1978.
- 98 - \*\*\* - Symposium 73 - doc. L'Air Liquide France, 1973.
- 99 - \*\*\* - Comment utiliser les LOGATOME - doc. L'Air Liquide France, 1976.
- 100 - \*\*\* - Maschinen-Schneidbrenner PRESTOCUT 1200 - doc.Messer Griesheim GmbH, 1980.
- 101 - HIRSCHBERG,H. - Automatische Einrichtungen an modernen Brennschneidmaschinen zur Steigerung der Wirtschaftlichkeit - Sonderdruck (Messer Griesheim GmbH) nr.6/1971.
- 102 - MUNZEL,J. - Numerische Bahnsteuerung fur Brennschneidmaschinen - Sonderdruck (messer Griesheim GmbH), nr.3/1973.

- 103 - ICHIKAWA,S.,TAKEHANA,H.,UEMATSU,Y. - A study on the Aspect of Gas Cutting Surface - doc. Ship Research Institute MWS Tokyo, Japan, 1983.
- 104 - HIROSE,M.,MASUYAMA,Y.,TOYOHARA,T. - Development of power up equipment for numerically controlled burning machine - doc. Ship Building Department, Mitsubishi Heavy Industries Ltd., Japan, doc. International Institute of Welding ,1973
- 105 - OWEN,B.D. - Execution de pieces de dimensions donnees et technique de la Soudure - doc. de l'Institut Britannique de la Soudure , doc. Institute International de la Soudure 1973.
- 106 - OWEN,B.D.,WELD,M. - Dimensional control of profiles and recommended machine flame-cutting techniques - doc. Institute International de la Soudure, 1973.
- 107 - \*\*\* - Project of classification of surfaces obtained by thermal cutting - doc. Institut International de la Soudure, 1969.
- 108 - ANTONOV,I.A.,SPEKTOR,O.C. - Heating temperature of low and medium alloy carbon steels before oxy-cutting - doc. Institut International de la Soudure, 1973.
- 109 - \*\*\* - Caracteristici pentru o comanda a unei masini de tajere cu flacara , KONGSBERG CC 250 - doc. L'Air Liquide France, 1978.
- 110 - \*\*\* - Ploter KONGSBERG 5640 - doc. L'Air Liquide France , 1978.
- 111 - \*\*\* - Caracteristiques et performances de MEGATOME 4 , et MEGATOME 5 - prospect La Soudure Autogene Francaise (SAF) 1978.
- 112 - \*\*\* - Slab cutter SG ("PRESTOCUT") - doc. Messer Griesheim GmbH, 1978.
- 113 - BASISTA,M.,STEPITA,M. - Influence of some factors on the flame on nozzle and external gas mixing - doc. Welding Research Institute Bratislava Czechoslovakia, 1980.
- 114 - \*\*\* - OK-REX, PHOTOMAT P - prospect Kjellberg-Eberle GmbH 1979.
- 115 - \*\*\* - MONOREX, Preisgünstige Präzision-Brennschneidmaschine - prospect Kjellberg-Eberle GmbH, 1979.
- 116 - \*\*\* - KORDIREX - idem.
- 117 - \*\*\* - SUPRAREX SM - idem.
- 118 - \*\*\* - SUPRAREX PA - idem.
- 119 - \*\*\* - MAGNAT, PSR - idem.
- 120 - \*\*\* - NUMOREX - idem.
- 121 - \*\*\* - TELEREX - idem.
- 122 - ALBU,A. - Cap optic cu urmarire rapida de desene, realizat fara piese inertiale in miscare de rotatie - Sudura nr.4 / 1992, 24.03.1993 , p.23-28.
- 123 - POWELL,J. - CO2 Laser Cutting - doc. Laser Expertise Limited - Nottingham , England - 1993 - 246 p.
- 124 - ELZA,D.,WHITE,G. - Laser Beam Machining - England , 1993. 5 p.
- 125 - POWELL,J. - Guidelines and Data for Laser Cutting - doc. Laser Expertise Ltd. - England , 1993 , 12 p.
- 126 - JOHNSTON,C.E. - Waterjet / Abrasive Waterjet Machining - 1993 , 8 p.
- 127 - \*\*\* - Laser cutting - doc. AGA , Sweden , 1993 , 21 p.
- 128 - \*\*\* - Gases and laser light for optimum performance in materials processing - doc. AGA , Sweden , 1993 , 4 p.
- 129 - \*\*\* - Increase the life of surface coatings by pretreating with flame cleaning - doc. AGA , Sweden , 1993 , 4 p.
- 130 - \*\*\* - Laser line gases - doc. AGA , Sweden , 1993 , 2 p.
- 131 - \*\*\* - Meet your demands for the future with AGA Laser Line

- 132 - \*\*\* - Laser Gas Supply Systems - doc. AGA , Sweden , 1993  
12 p.
- 133 - \*\*\* - Laser Gases for CO<sub>2</sub> Lasers - doc. AGA , Sweden , 1993  
14 p.
- 134 - \*\*\* - Lasers in engineering production - doc. AGA , Sweden  
1993 , 24 p.
- 135 - \*\*\* - Cutting speed cutting economy and nozzle - doc. AGA,  
Sweden , 1993 , 8 p.
- 136 - JULICH,H.Z. - Wasser schneidet jeden Werkstoff - Der praktiker, Schweiessen & Schneiden, nr.1/1993, DVS, p.10-13.
- 137 - \*\*\* - One-off welding and contouring of bridge sections -  
IGM News (Viena) , nr.1/1993 , p.10-11.
- 138 - SCHUMACHER,M. - Le micropercage au jet d'eau (Soc. Carlosa  
Suisse ) - Souder, revue pratique du soudage, nr.6/1992 ,  
p. 23-26.
- 139 - \*\*\* - Systemtechnik tonangebend 2-D-Laserschneiden ver-  
drangt traditionelle Duhn- und Dickblech-Trennverfahren  
(EuroLas) - Trennen & Fugen, Messer Griesheim, nr.23/1992,  
p. 11-18.
- 140 - \*\*\* - Die S-klasse fur thermisches Trennen- Neues Prazi-  
sions - Laserschneidsystem vorgestellt - Trennen & Fugen ,  
Messer Griesheim, nr.22/1992, p.24-24.
- 141 - \*\*\* - Reiner Sauerstoff spart Kosten beim Laserbrenn-  
schneiden ungleierter Stahle - Trennen & Fugen , Messer  
Griesheim , nr.22/1993, p.25-27.
- 142 - VAS,A. ,JONI,N. ,CHEVERESAN,T. ,ZAVULAN,G., - Aplicatiile in-  
dustriale ale plasmei termice - Editura Facila Timisoara,  
1979, 178 pg.
- 143 - KOTTING,H. - Die unterschiedlichen Techniken des Plasma-  
schneidens und ihre mechanisierte Anwendung - doc. "L-TEC"  
Germania - Seminarul SLV de la Mannheim, 3 sept.1992.
- 144 - FELLEISEN,R. - Energietrager Laser und Elektronenstrahl -  
doc. SLV - Mannheim, Germania - Seminarul SLV de la Mann-  
heim, 3 sept.1992.
- 145 - \*\*\* - Servomotoare cu rotor disc - prospect IFMA , 1993 .
- 146 - \*\*\* - Micromotor MA-13 - prospect ICPE , 1993 .

## CUPRINS

	Pg.
INTRODUCERE .....	1
LISTA PRINCIPALELOR SIMBOLURI SI NOTATII UTILIZATE .....	3
<b>CAP. 1 TEHNOLOGII MODERNE DE TAIERE A MATERIALELOR IN SCOPUL CRESTERII CALITATII TAIETURII, A PRODUC- TIVITATII SI A ECONOMICITATII .....</b>	<b>9</b>
1. 1. Iстория и мотивация .....	10
1. 2. Тайерса термична оксигаз .....	12
1. 2. 1. Скорост на продвижение в функции от толщина материала .....	12
1. 2. 2. Интенсивност пламени оксигаз .....	13
1. 2. 3. Отношение между факелом и диаметром дырок .....	14
1. 2. 4. Диузы с большим количеством форсунок .....	15
1. 2. 5. Тайерса с высокой скоростью резки («higher cutting speed»). Диуза с расходящимися струями Laval .....	16
1. 2. 6. Чистота кислородной смеси .....	16
1. 2. 7. Аддукция горючего газа .....	17
1. 2. 8. Установка режущего инструмента .....	17
1. 2. 9. Снижение времени разогрева, путем использования «high-low» .....	17
1. 2. 10. Технологии режущих инструментов .....	18
1. 2. 11. Потребление газов на тайерсу термичную оксигаз .....	19
1. 2. 12. Тайерса термична оксигаз с помощью инъекции пульп металлических частиц. Тайерса отверстий с большой толщиной .....	20
1. 2. 13. Тайерса горючих газов с пламенем оксигаз .....	23
1. 3. Тайерса с плазмой .....	24
1. 3. 1. Режимы тайерса с плазмой .....	24
1. 3. 2. Тайерса с плазмой азота и инъекцией воды .....	25
1. 3. 3. Тайерса с плазмой воздуха .....	28
1. 3. 4. Тайерса с плазмой азота и инъекцией кислорода .....	29
1. 3. 5. Тайерса с плазмой азота и инъекцией водорода .....	29
1. 3. 6. Тайерса с плазмой аргона и инъекцией водорода или азота .....	29
1. 3. 7. Тайерса с плазмой водорода и инъекцией аргона .....	30
1. 3. 8. Тайерса с плазмой водорода и инъекцией воздуха .....	30
1. 4. Тайерса лазером .....	31
1. 4. 1. Категории лазеров для тайерса .....	31
1. 4. 2. Коэффициент поглощения радиации .....	31
1. 4. 3. Лазер Nd:YAG .....	32
1. 4. 4. Лазер биксида углерода .....	32

1.4.5.	Constructia capului laser pentru taierei de materiale .....	33
1.4.6.	Focalizarea fasciculului laser .....	34
1.4.7.	Focalizarea fata de piesa debitata .....	36
1.4.8.	Diuza capului laser .....	37
1.4.9.	Eficienta taierei cu laser .....	38
1.4.10.	Gazul mediu laser .....	38
1.4.11.	Gazul de taiere .....	38
1.4.12.	Puterea electrica instalata a laserilor .....	38
1.4.13.	Taierea otelurilor slab aliate .....	39
1.4.14.	Taierea otelurilor inalt aliate .....	39
1.4.15.	Taierea metalelor neferoase .....	40
1.4.16.	Taierea materialelor nemetalice .....	42
1.4.17.	Taierea materialelor termoplastice (PVC) .....	42
1.4.18.	Taierea lemnului .....	43
1.4.19.	Taierea ceramicii si sticlei .....	43
1.4.20.	Taierea materialelor textile , compozite si alimentare .....	44
1.4.21.	Prezentare rezumativa a taierei cu laserii cu Nd:YAG si cu CO <sub>2</sub> .....	44
1.5.	Taierea cu jet de apa sub presiune .....	49
1.5.1.	Presiunea si viteza la impact .....	49
1.5.2.	Echipamentul de taiere cu jet de apa sub presiune .....	49
1.5.3.	Taierea cu apa, fara pulbere abraziva ..	50
1.5.4.	Avantaje si dezavantaje ale taierei cu jet de apa sub presiune, fata de taierea cu laser .....	51
1.6.	Analiza comparativa a procedeelor de taiere : cu oxigaz , cu plasma, cu laser , cu jet de apa sub presiune .....	51
1.6.1.	Performantele unor procedee de taiere, fata de taiere cu laser cu CO <sub>2</sub> .....	51
1.6.2.	Taierea otelului nealiat .....	52

CAP. 2	ECHIPAMENTE DE CONTURARE X,Y PRIN URMARIRE DE DENESE, CU CAPURI OPTICE ROTITOARE .....	54
2.1.	Probleme generale specifice .....	55
2.1.1.	Principiul conturarii x,y, prin urmarire optica .....	55
2.1.2.	Moduri de urmarire a liniei desenate ..	57
2.1.3.	Incentinirea la colt .....	57
2.1.4.	Problema contactului electric la perile colectoare .....	58
2.1.5.	Dispozitive pentru descompunerea in coordonate sinus/cosinus .....	58
2.1.6.	Urmarirea la scara redusa .....	61
2.1.7.	Reductorul RED al motorului mz din capul optic .....	62
2.1.8.	Aspecte constructive de ordin mecanic ..	62
2.2.	Blocuri electronice functionale .....	65
2.2.1.	Excitarea rezolverului bipolar si a sellinelor emitatoare. Oscilatorul pilot ..	65
2.2.2.	Formarea tensiunii rectangulare , in scopul refacerii purtatoarei .....	66
2.2.3.	Demodularea sincrona in lantul referintelor de viteza x,y si in lantul erorilor de pozitie x-x', y-y' .....	66

2.2.4.	Realizarea accelerarii constante . Demaroarele X,Y .....	67
2.2.5.	Multiplicarea cu o constanta kv, a referintelor de viteza x,y .....	68
2.2.6.	Detectia pierderii sincronismului 'x-x', 'y-y' .....	70
2.2.7.	Reglarea automata a distantei intre diuza si materialul de taiat .....	71
2.2.8.	Sanfrenarea tripla automata pe contur ..	72
2.2.9.	Reglarea turatiei x,y. Variatoare de turatie specifice echipamentelor de conturare .....	74
2.3.	Compensarea automata pe normala la contur,a fantei taieturii .....	77
2.3.1.	Fanta taieturii .....	77
2.3.2.	Problema compensarii fantei taieturii ..	77
2.3.3.	Compensarea mecanica .....	79
2.3.4.	Compensarea electronica .....	82
2.4.	Marcarea automata in timpul urmaririi conturului .....	86
2.4.1.	Scopul marcarii .....	86
2.4.2.	Sisteme de marcare a pieselor .....	87
2.4.3.	Sisteme de marcare a desenelor .....	88

CAP.3 PRECIZIA CONTURARII LA MASINILE AUTOMATE DE TAIERE TERMICA PRIN URMARIRE DE DESENE LA SCARA 1:1, 1:10 91

3.1.	Conditii de precizie geometrica si electrica la masinile automate de taiere termica prin urmariere optica la scara 1:10 .....	92
3.1.1.	Abaterea unghiulara a statorului rezolverului in colier .....	93
3.1.2.	Abaterea citirii desenului din cauza tractoarului optic .....	94
3.1.3.	Deriva termica a demodulatoarelor sincrone din lantul referintelor de viteza .....	95
3.1.4.	Deriva termica a multiplicatoarelor din lantul referintelor de viteza .....	96
3.1.5.	Deriva termica a demodulatoarelor sincrone din buclele de pozitie x-x',y-y' ..	97
3.1.6.	Abaterea de la paralelism intre surubul conductor si ghidaj .....	99
3.1.7.	Abaterea de la perpendicularitate intre ghidajele capului optic .....	99
3.1.8.	Abaterea de la perpendicularitate intre ghidajele apparatului de taiere .....	100
3.1.9.	Abaterea scarii de urmarire fata de scara 10:1 .....	100
3.1.10.	Jocul din reductoarele selsinelor .....	101
3.1.11.	Abaterea pasului surubului conductor ..	101
3.1.12.	Abaterea pasului cremalierei de masura ..	101
3.1.13.	Concluzii referitoare la precizia taieriei prin urmarire optica la scara 1:10 ..	102
3.2.	Conditii de precizie geometrica la masinile automate de taiere termica prin urmariere optica la scara 1:1 .....	105
3.2.1.	Tipul 1 .....	105
3.2.2.	Tipul 2 .....	106
3.2.3.	Tipul 3 .....	107
3.2.4.	Tipul 4 .....	107
3.2.5.	Tipul 5 .....	108

3.2.6.	Tipul 6 . . . . .	108
3.2.7.	Tipul 7 . . . . .	108
3.2.8.	Tipul 8 . . . . .	109
3.2.9.	Tipul 9 . . . . .	110
3.2.10.	Tipul 10 . . . . .	111
3.2.11.	Tipul 11 . . . . .	113
3.2.12.	Tipul 12 . . . . .	114
3.2.13.	Tipul 13 . . . . .	115
3.2.14.	Tipul 14 . . . . .	115
3.2.15.	Tipul 15 . . . . .	116
3.2.16.	Concluzii asupra celor 15 tipuri . . . . .	116
3.3.	Conditii de executie a echipamentului electronic la masinile automate de taiere termica prin urmarire optica la scara 1:1 . . . . .	118
3.3.1.	Eroarea cauzata de traductorul optic "eo"	118
3.3.2.	Eroarea cauzata de zona de insensibilitate a motorului care roteste capul optic "ez" . . . . .	119
3.3.3.	Eroarea cauzata de zona de insensibilitate a motoarelor de actionare in coordinate "ex" . . . . .	121
3.3.4.	Eroarea totala. Concluzii . . . . .	122
<b>CAP.4.</b>	<b>SOLUTIE NOUA CONCEPUTA SI REALIZATA , DE CAP OPTIC FARA COMPONENTE MECANICE IN MISCARE DE ROTATIE, IN VEDEREA MARIRII VITEZEI DE AVANS SI A PRECIZIEI DEBITARII . . . . .</b>	<b>124</b>
4.1.	Comanda numerica, sau urmarire optica ? . . . . .	125
4.1.1.	Dezavantajele comenzii numerice . . . . .	125
4.1.2.	Dezavantajele urmaririi optice . . . . .	125
4.2.	Solutia propusa : un nou tip de cap optic . . . . .	126
4.3.	Principiul de realizare a capului optic fara piese inertiale in miscare de rotatie . . . . .	127
4.4.	Algoritmul "rezolverului optic" . . . . .	130
4.5.	Functionarea in regim de interpolare intre doua celule vector succesive . . . . .	132
4.6.	Problema erorii de viteza si a erorii de pozitie din cauza interpolarii liniare . . . . .	133
4.6.1.	Eroarea de viteza . . . . .	135
4.6.2.	Eroarea de pozitie . . . . .	135
4.7.	Cazul translatiei . . . . .	136
4.8.	Cazul coltului . . . . .	138
4.9.	Problema derivei optice . . . . .	138
4.10.	Circuitele de "agatare automata a traectoriei " (A) si de "pierdere a traectoriei" (PT) . . . . .	139
4.11.	Calitatea sistemului de actionare x,y . . . . .	141
4.12.	Considerante constructive . . . . .	141
4.13.	Obiectivul optic detasabil . . . . .	144
4.14.	Dispozitivul radiant . . . . .	144
4.15.	Fotodetectorul in infraroosu . . . . .	145
4.16.	Sistemul optic . . . . .	146
4.17.	Eficacitatea traductorului optic . Problema diafragmelor . . . . .	147
4.18.	Descrierea schemei electrice . . . . .	149
4.18.1.	Blocul bufferelor AU . . . . .	149
4.18.2.	Procesorul BU . . . . .	152
4.18.3.	Procesorul CU . . . . .	152
4.18.4.	Procesorul DU . . . . .	156

4.18.5. Regulatoarele de turatie si de curent XU, YU .....	15!
4.18.6. Transformatoarele de impuls, tiristoarele si circuitele de protectie, EU .....	16:
4.18.7. Stabilizatoarele de tensiune SU .....	16:
4.18.8. Cutia cu transformatoare CT .....	16:
CAP.5. REZULTATE EXPERIMENTALE . VITEZA, PRECIZIA SI STABILITATEA CONTURARII IN CAZUL UTILIZARII CAPURILOR OPTICE FARA COMPOENENTE INERTIALE IN MISCARA DE ROTATIE .....	16!
5.1. Ansamblul experimental .....	16!
5.2. Viteza de avans intrinseca "vx" a capului optic rapid "COR" .....	16:
5.3. Tesirea colturilor conturului "ec" a capului optic "COR" .....	16!
5.4. Precizia de urmarire pe contur lent curbat a capului optic rapid "COR" .....	17!
5.5. Alegerea sistemului de actionare in coordonate x,y .....	17!
5.6. Motorul electric SRD-350 in regim nominal fara reactie de turatie .....	17:
5.7. Motorul electric SRD-350 in regim stationar specific fara reactie de turatie .....	17:
5.8. Motorul electric SRD-350 in regim stationar specific cu reactie de turatie .....	17:
5.9. Acordarea regulatoarelor de curent .....	17!
5.10. Acordarea regulatorului de turatie .....	17!
5.11. Timpul maxim de franare .....	17!
CONCLUZII .....	18:
BIBLIOGRAFIE .....	18!